

INSTITUTUL POLITEHNIC "TRAIAN VUIA" TIMISOARA
FACULTATEA DE MECANICA

Tiberiu Schulz

Teză de doctorat

ANALIZA STATISTICA A SPECTRELOR DE SOLICITARE ALEATOARE DIN
STRUCTURILE DE REZISTENTA ALE CONSTRUCTIILOR DE MASINI

Conducător științific:

Prof. dr. ing. Lazăr Boleanțu

BIBLIOTECA CENTRALĂ
UNIVERSITATEA "POLITEHNICA"
TIMIȘOARA

1979

INSTITUTUL POLITEHNIC TIMISOARA
BIBLIOTECA CENTRALA
Volumul nr. 403206
Data No. 14. 7

C U P R I N S

	<u>Pag.</u>
Introducere	I-VI
Cap.1 Dezvoltarea și problematica actuală în domeniul analizei și sintezei proceselor de sollicitare aleatoare (Studiu din bibliografie)...	1
Cap.2 Considerații teoretice și contribuții la analiza și sinteza spectrelor de sollicitare aleatoare	8
<u>1.</u> Considerații teoretice generale	8
<u>1.1.</u> Elemente de teoria proceselor aleatoare	8
<u>1.1.1.</u> Descrierea generală a caracteristicilor unui proces aleator	8
<u>1.1.2.</u> Ipoteze acceptate la aplicarea conceptelor teoriei proceselor aleatoare....	11
<u>1.1.3.</u> Reprezentarea spectrală a proceselor aleatoare	13
<u>1.2.</u> Analiza statistică a spectrelor de sollicitare	15
<u>1.2.1.</u> Considerații generale	15
<u>1.2.2.</u> Componenta spectrelor de sollicitare...	15
<u>1.2.3.</u> Prelucrarea digitală a spectrelor extensometrice prin clasare. Modele matematice acceptate	18
<u>2.</u> O nouă metodă de analiză a proceselor de sollicitare aleatoare	21
<u>2.1.</u> Contribuții teoretice	21
<u>2.1.1.</u> Studiul aplicabilității modelării prin procese de tip Markov	21
<u>2.1.2.</u> Modelul matematic propus. Procesul de tip Markov de ordinul II	25

	<u>Pag.</u>
<u>2.1.2.1.</u> Descriere generală. Ipoteze de valabilitate	25
<u>2.1.2.2.</u> Modul de reprezentare a informației asupra structurii statistice a procesului	28
<u>2.1.3.</u> Compatibilitatea modelului propus cu procesele aleatoare ou creșteri independente	30
<u>2.2.</u> Considerații operaționale. Corelarea metodei de clasare ou modelul matematic al analizei	34
<u>2.3.</u> Conținutul informațional al rezultatelor analizei. Comparație ou metodele de clasare cunoscută	38
<u>2.4.</u> Evaluarea, din datele analizei, a caracteristicilor definitorii ale capacității de degradare a procesului	43
<u>2.4.1.</u> Colectivul de solicitare	43
<u>2.4.2.</u> Stabilirea colectivelor de solicitare din datele analizei	45
<u>2.4.3.</u> Extrapolarea colectivelor de solicitare	50
<u>2.5.</u> Modificări de program	53
<u>2.5.1.</u> Medierea	54
<u>2.5.2.</u> Trunchierea	57
<u>3.</u> O nouă metodă de sinteză a proceselor aleatoare	61
<u>3.1.</u> Considerații generale	61
<u>3.2.</u> Algoritmul sintezei	63
<u>3.2.1.</u> Generarea unei traiectorii a procesului Markov	63
<u>3.2.2.</u> Generarea numerelor aleatoare uniforme	65

	<u>Pag.</u>
<u>3.2.3.</u> Algoritmul desfășurării matricilor multiple	66
<u>3.3.</u> Comparația ou alte metode de sinteză a proceselor aleatoare	67
Cap.3 Contribuții la elaborarea și aplicarea metodologiei experimentale	71
<u>1.</u> Aplicarea extensometriei electrice rezistive la urmărirea spectrelor de sollicitare aleatoare	71
<u>2.</u> Metodologia culegerii, prelevării și prelucrării datelor extensometrice	75
<u>2.1.</u> Lanțul de măsurare, prelevare și prelucrare a datelor	75
<u>2.2.</u> Culegerea și prelevarea datelor primare în vederea analizei	77
<u>2.2.1.</u> Volumul selecției înregistrate	77
<u>2.2.2.</u> Reducția analogică de date	78
<u>2.2.3.</u> Conversia analog-digitală	79
<u>2.3.</u> Analiza spectrului extensometric.....	80
<u>2.3.1.</u> Clasarea digitală biparametrică dublu corelată	80
<u>2.3.2.</u> Detecția extremelor	82
<u>2.4.</u> Stabilirea caracteristicilor definatorii pentru capacitatea de degradare a procesului de sollicitare	85
<u>2.4.1.</u> Stabilirea colectivelor de sollicitare	85
<u>2.4.2.</u> Ajustarea analitică a colectivelor de sollicitare	85
<u>2.4.3.</u> Determinarea caracteristicilor definatorii ale colectivelor	89
<u>2.4.4.</u> Stabilirea colectivelor de sollicitare de calcul	90
<u>3.</u> Evaluarea erorilor propagate în fluxul de oulegere, prelevare și prelucrare a datelor	91

	<u>Pag.</u>
<u>3.1.</u> Erorile metodei de măsurare	91
<u>3.2.</u> Erorile în lanțul de prelevare	93
<u>3.3.</u> Erorile la prelucrarea datelor	94
Cap.4 Cercetări experimentale asupra procesului de solicitare în exploatarea materialului rulant	99
<u>1.</u> Determinări extensometrice	99
<u>1.1.</u> Obiectul cercetării	99
<u>1.2.</u> Efectuarea cercetărilor statice. Rezul- tate experimentale	103
<u>2.</u> Prelucrarea și interpretarea spectrelor extensometrice	106
<u>2.1.</u> Analiza spectrelor extensometrice	106
<u>2.1.1.</u> Aplicarea metodologiei de analiză propuse	106
<u>2.1.2.</u> Confruntarea cu rezultatele metodelor de analiză cunoscute	117
<u>2.2.</u> Sinteza procesului de solicitare. Con- fruntare cu metode de sinteză cunoscute	124
<u>2.3.</u> Programul de calcul	130
Cap.5 Valorificarea rezultatelor cercetării	131
<u>1.</u> Studiul previzional al fiabilității elemen- telor celor mai solicitate ale boghiului M.D.	131
<u>1.1.</u> Concluziile calculelor estimative de durabilitate	131
<u>1.2.</u> Evaluarea probabilității de defectare...	132
<u>1.2.1.</u> Adaptarea specifică a metodei de calcul	132
<u>1.2.2.</u> Aplicarea metodei de calcul	137
<u>2.</u> Optimizarea soluției constructive a îmbi- nării sudate a cadrului boghiului. Redimen- sionarea economică. v.....	140
<u>3.</u> Eficiența economică a aplicării rezulta- telor cercetării	144
Sinteza principalelor contribuții	147
Bibliografie	149
Anexe	

I N T R O D U C E R E

1. Prezentarea problematicei generale

Ridicarea calității produselor, ca una din direcțiile principale în care acționează revoluția tehnico-științifică aflată în plină desfășurare în țara noastră, devine o necesitate obiectivă, o sarcină centrală a procesului amplu de dezvoltare a tuturor ramurilor economiei naționale și în special a industriei. Prin creșterea continuă a calității produselor trebuie să se reflecte transformările esențiale în procesul producției materiale aduse de dezvoltarea impetuoasă a științei și, subsevent, de ritmul rapid al progresului tehnico. În acest context apare, strins legat de noțiunea de calitate, și imperativul unei eficiențe economice cât mai ridicate a realizării produselor, vizînd în primul rînd reducerea consumurilor de materii prime, materiale, energie și combustibili.

În construcțiile de mașini, satisfacerea acestor cerințe impune, pe lângă aplicarea unor tehnologii moderne în procesul de fabricație, și elaborarea și implementarea unor metode de proiectare perfecționate, orientate spre realizarea unor construcții economice și ușoare, prin utilizarea rațională a capacității lor de încălzire. Un factor esențial al funcției de calitate a construcțiilor de mașini, supuse în exploatare la procese de sollicitare variabile ciclice - de exemplu : vehicule feroviare, rutiere și aeronautice, aparate de ridicat și transportat, utilaje tehnologice grele de tipul laminatoarelor, preselor de forjare etc.- este siguranța în funcționare. Studiul fiabilității, bazat pînă nu demult pe o analiză de constatare a defectărilor și avariilor în exploatare, este în prezent tot mai larg implementat în faza de concepție și proiectare .

Realizarea compromisului tehnico-economic între cerințele economicității și fiabilității construcțiilor este posibilă doar

II

în cadrul unor metode de calcul fiabiliste, care se înscriu în aria unor preocupări generale ale teoriei siguranței sistemelor ; aceste metode, bazate pe o interpretare probabilistă a interacțiunii dintre procesul de solicitare și capacitatea de rezistență a construcțiilor, permit o proiectare pentru o durată de funcționare limitată, economică, la un nivel impus al siguranței în exploatare.

Accepțiunea fiabilistă asupra predicției durabilității construcțiilor, supuse în exploatare unor procese de solicitare variabile oclioce, ridică o serie de probleme incomplet soluționate pînă în prezent, avînd în vedere caracterul pronunțat aleator al acțiunii sarcinilor în exploatare și implicit al reacțiunii construcțiilor la aceste sarcini.

Exactitatea nesatisfăcătoare cu care se caracterizează procesul de solicitare, descris prin structura sa probabilistă în cadrul unor modele matematice simplificate, cunoscută în prezent, are implicații directe asupra exactității calculului de predicție a durabilității.

În concepția previzional-fiabilistă, în prezent s-au cristalizat și se aprofundează în continuare două modalități de studiu :

- prin simularea anticipată a comportării dinamice a construcției, pe baza unui model matematic care permite determinarea procesului de solicitare ca răspuns al construcției la procesul de încărcare în exploatare ;
- prin determinarea experimentală a procesului de solicitare real pentru construcția realizată, în condiții de exploatare semnificative.

Metoda determinării experimentale are o importanță deosebită în cazul sistemelor complexe neliniare sau cu un număr mare de grade de libertate, la care ipotezele simplificatoare acceptate și dificultățile de calcul implicate de metoda simulării nu permit obținerea unor rezultate suficient de exacte. Aceste două metode sînt complementare, întrucît determinările experimentale pot aduce, printr-o reacție negativă informațională, corecții în vederea perfecționării modelului matematic al simulării.

2. Prezentarea tematicii tezei

Prin tematica abordată, teza își propune să aducă o contribuție la rezolvarea unor probleme încă neelucidate, legate de determinarea experimentală și studiul statistic al proceselor de solicitare în exploatarea construcțiilor, în vederea descrierii cantitative cât mai exacte a acestora ; rezultatele acestui studiu statistic constituie baza atât a calculelor de dimensionare și verificare fiabilistă a durabilității, cât și a verificării experimentale a durabilității și fiabilității construcțiilor prin testarea lor simulativă în condiții de laborator.

Ca metodă experimentală s-a adoptat extensometria electrică rezistivă, fiind o metodă eficientă și suficient de precisă pentru investigarea stării de deformații și tensiuni în construcții de rezistență.

Prin această metodă, procesul de solicitare în exploatare se determină sub forma spectrelor extensometrice, care reprezintă înregistrări ale variației în timp a deformațiilor specifice locale în elementele construcției, în timpul funcționării.

În limitele restrânse ale domeniului studiat, prin analiză se definește preluorarea statistică a spectrelor extensometrice digitalizate în vederea determinării structurii statistice a procesului și stabilirii unor caracteristici cantitative deterministe necesare calculelor de verificare.

În strânsă legătură cu analiza apare noțiunea de sinteză: generarea unui nou proces aleator - pornind de la caracteristicile deterministe stabilite prin analiză - și care să reediteze, în condițiile unor simplificări impuse de tehnicile experimentale, structura statistică a procesului de solicitare original. Procesul generat prin sinteză se utilizează ca mărime de comandă la efectuarea testărilor simulative în condiții de laborator.

Noua metodă de analiză și sinteză, propusă în cadrul tezei, este fundamentată teoretic pe modelul matematic al procesului de tip Markov omogen, cu un număr finit de stări, cu considerarea probabilităților de trecere de ordinul II. Acest model matematic, mai evoluat decât cele utilizate în prezent la studiul proceselor de solicitare, asigură o descriere probabilistă mai

IV

exactă a unei clase largi de procese ovasi-staționare, caracteristică unei game de construcții la care aplicarea metodelor cunoscute nu dădea o rezolvare corespunzătoare. Modelul matematic propus poate conserva informații esențiale asupra istoriei procesului de solicitare ; prin tratarea digitală atât a analizei cât și a sintezei, se pretează la o prelucrare automată pe calculatorul numeric.

Considerațiile teoretice s-au verificat și confirmat la studiul proceselor de solicitare în exploatarea materialului rulant, cu aplicare concretă la boghiul M.D. de tip greu destinat unor vagoane cu viteză de circulație mare. Aceste cercetări au fost generate de necesitatea introducerii unor noi metode de calcul și de verificare a durabilității și fiabilității materialului rulant, în condițiile în care permanenta ridicare a eficienței transporturilor feroviare impune mărirea tonajelor și a vitezei de circulație a trenurilor ; față de complexitatea tot mai accentuată a procesului de solicitare în exploatare, cresc și cerințele de siguranță în funcționare, iar normativele de calcul existente pe plan mondial apar inadecvate pentru asigurarea unei concepții și dimensionări economice a construcțiilor de material rulant.

Cercetările experimentale, efectuate în colaborare de către Institutul de cercetări și proiectări tehnologice în transporturi - ICPTT - București și Institutul de sudură și încercări de materiale - ISIM Timișoara în cadrul unui contract încheiat cu Intreprinderea de vagoane-IVA - Arad au fost dezvoltate și aprofundate în prezenta lucrare. Rezultatele cercetării s-au valorificat prin optimizarea concepției constructive a boghiului și propuneri de redimensionare.

Asigurându-se o fiabilitate mai ridicată a boghiului, prin redimensionarea optimizată se poate reduce greutatea proprie a construcției cu 13,26% față de soluția inițială . Ca efecte economice obținabile, evaluate la nivelul producției medii anuale de boghiuri se obține :

- reducerea consumului de metal cu 81,179 tone,
- reducerea consumului energetic la tracțiune cu 6693,75 MWh, reprezentând 2543,6 tone combustibil convențional,

care totalizează 2.065.864 lei.

În afară de aceste economii se apreciază că prin consolidarea boghiurilor seriei testate, necorespunzătoare în soluția constructivă inițială, se elimină risoul unor defectări și avarii în exploatare ; se evită cheltuieli suplimentare, datorită remediilor și a înlocuirii boghiurilor defectate, de aproximativ 2.820.000 lei.

Teza este structurată pe 5 capitole.

În capitolul 1 se prezintă un studiu bibliografic asupra evoluției și stadiului actual al cunoștințelor în domeniul analizei și sintezei spectrelor extensometrice.

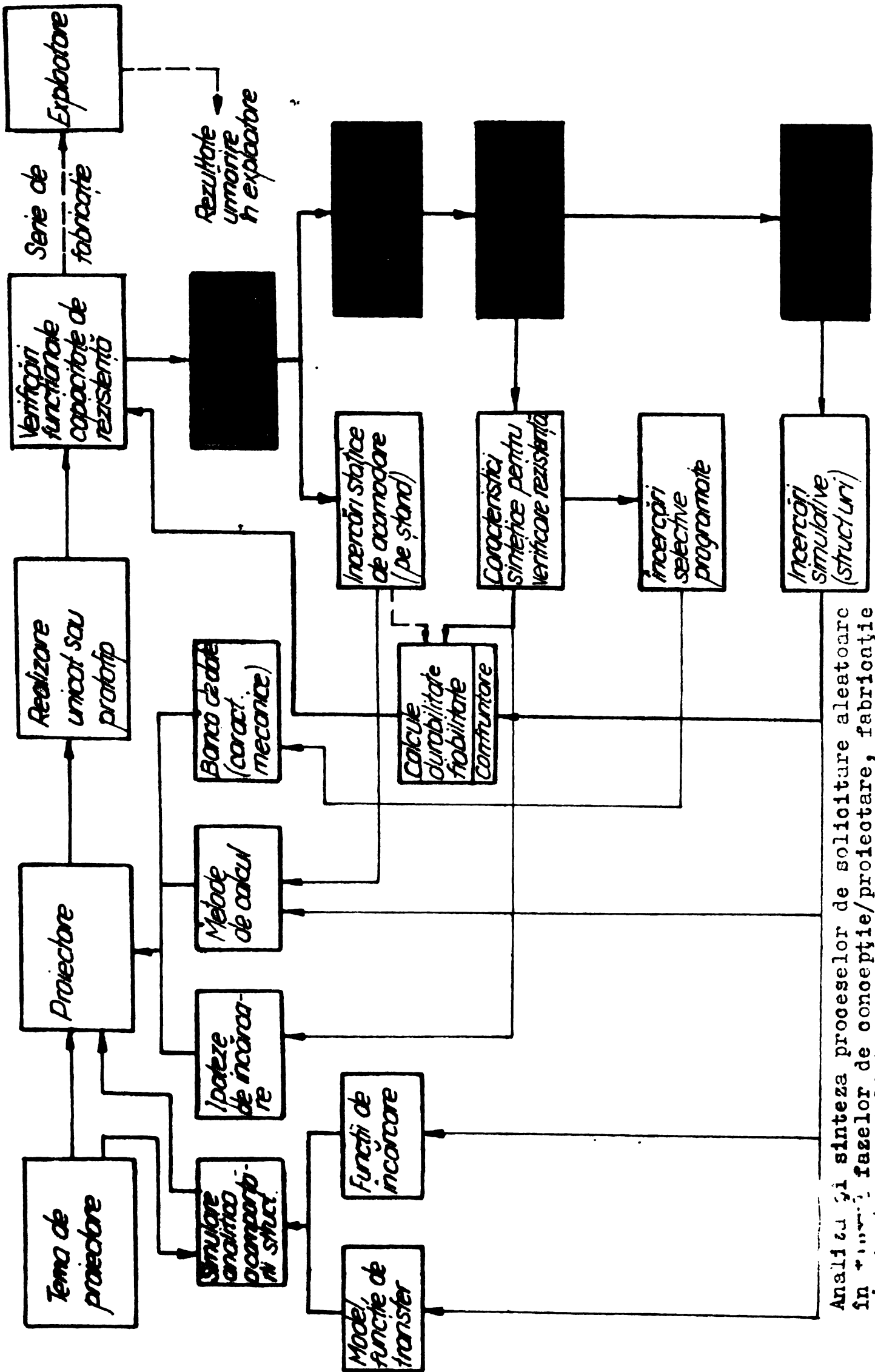
Capitolul 2 cuprinde contribuțiile originale la fundamentarea teoretică a noii metode de analiză și sinteză propuse, pornind de la un studiu asupra aplicabilității modelului matematic al procesului de tip Markov la descrierea spectrelor extensometrice aleatoare. Se prezintă algoritmul și procedurile de efectuare pe principii digitale a analizei și sintezei și modul de utilizare a rezultatelor analizei în calcule de durabilitate.

În scopul unei prezentări cursive, în capitolul 3 se prezintă contribuțiile la elaborarea unei metodologii experimentale de culegere, prelevare și prelucrare a datelor extensometrice după modelul teoretic adoptat.

În capitolul 4 se prezintă aplicarea metodologiei experimentale la studiul procesului de solicitare în exploatarea unui boghiu de tip M.D.; rezultatele experimentale obținute după modelul teoretic propus sînt confruntate cu rezultatele obținute după modele cunoscute în prezent, evidențiindu-se acuratețea și relevanța mai ridicată a modelului propus.

În capitolul 5 se prezintă valorificarea rezultatelor cercetării prin optimizarea dimensional-constructivă a construcției cadrului sudat al boghiului, adoptîndu-se în acest scop o metodă de calcul fiabilistă, bazată pe descrierea statistică a procesului de exploatare, furnizată de analiză. Eficiența economică a aplicării rezultatelor cercetării se evaluează printr-un calcul estimativ prezentat la sfîrșitul acestui capitol.

În încheiere se rezumă principalele contribuții aduse în cadrul tezei la rezolvarea tematicii abordate.



Analiza și sinteza proceselor de solicitare aleatoare în timpul fazelor de concepție/proiectare, fabricație și exploatare a calității construcțiilor de rezistență

CAP. 1 - DEZVOILTAREA SI PROBLEMATICA ACTUALA IN
DOMENIUL ANALIZEI SI SINTEZEI PROCESELOR
DE SOLICITARE ALEATOARE

(Studiu din bibliografie)

Dezvoltarea metodelor de analiză și sinteză a proceselor de solicitare aleatoare este strâns legată de evoluția cunoștințelor teoretice și experimentale în domeniul rezistenței la solicitări variabile, fiind grevată de asemenea de nivelul tehnico al echipamentelor și mașinilor de încercare și al instrumentației de măsurare și investigare a stării de solicitare în elementele construcțiilor de mașini.

Primele cercetări sistematice în domeniul rezistenței la solicitări variabile, începând cu lucrările lui WÖHLER (1858-1870) și continuând cu cele ale lui BACH (1889), HAIGH (1916), GOUGH (1924), PALMGREN (1924), KOMMERS și MOORE (1927), THUM și colectiv (1937) și alții au furnizat un vast volum de informații privind fenomenul de oboseală, prin elucidarea influenței tipului solicitării, a concentrării tensiunii, asimetriei ciclurilor de solicitare, factorului dimensional, stării de solicitare poli-axiale, formei constructive etc., și care au putut fi unificate și sistematizate prin interpretări analitice și ulterior prin elaborarea unor prescripții de verificare a calculelor de proiectare.

La acea vreme, problema rezistenței la solicitări variabile a materialelor și a construcțiilor de mașini nu a putut găsi o rezolvare exhaustivă pentru a satisface cerințele unor aplicații practice tot mai complexe, având în vedere că aspectul procesului de solicitare a fost tratat idealizat sub forma unei variații ciclice deterministe cu amplitudine constantă.

Neconcordanța dintre predicția de durabilitate pe baza metodelor de calcul și durabilitatea reală în exploatare a condus la necesitatea investigării procesului de solicitare real. Începând cu anul 1930 se înregistrează primele cercetări experimentale asupra proceselor de solicitare prin investigarea unor spectre în exploatarea autovehiculelor - KLOTH (1930) - respectiv a unor

construcții aeronautice la NACA (precursoarea actualei NASA). Cu această ocazie s-a evidențiat caracterul întâmplător al valorilor și succesiunii ciclurilor individuale în cadrul procesului de solicitare, acesta neputând fi descris prin funcții analitice deterministe.

Ideea unor determinări experimentale ale durabilității la procese de solicitare simulative - derivate din colectivul de solicitare ca reprezentare schematizată diahronică a distribuției amplitudinilor - a fost realizată prin propunerea lui GASSNER (1939 a) privind încercarea în blocuri programate determinist cu 8 nivele discrete de solicitare. Urmează o serie de cercetări experimentale : GASSNER (1939 b), GASSNER (1941), TEICHMANN (1941), GASSNER și TEICHMANN (1943), dedicate studiului spectrelor de solicitare și determinării experimentale a rezistenței la solicitări variabile a construcțiilor aeronautice. Pornind de la observația că majoritatea spectrelor de solicitare au un caracter de proces de bandă largă, TEICHMANN și GASSNER (1942) arată necesitatea unei prelucrări statistice biparametrice a spectrelor, după amplitudini și valori medii instantanee ; datorită carențelor în cunoștințele teoretice asupra proceselor aleatoare și a lipsei de aparatură automată, această metodă de analiză a ajuns să fie dezvoltată și aplicată abia două decenii mai târziu.

În perioada de după 1950, dezvoltarea metodelor experimentale de investigare a stării de deformații și tensiuni în elementele construcțiilor de mașini și în special a extensometriei electrice rezistive - RUGE (1947) - capabilă să furnizeze înregistrări analogice ale spectrelor de solicitare, a condus la extinderea și aprofundarea studiilor asupra proceselor de solicitare reale.

Având în vedere structurile statistice diferite ale spectrelor înregistrate pentru diferite clase de construcții, s-a ajuns la definitivarea unor metode de analiză bazate pe metode de clasare specifice : SVENSON (1952), LAMBIE (1953), TAYLOR (1953), VERHAGEN și DE DOES (1956), WALKER și COPP (1959), KOWALEWSKI (1960), SCHIJVE și JACOB (1961), SJÖSTRÖM (1961), SCHIJVE (1961), HAAS (1962), fără a găsi însă o metodă de clasare unitară care să conducă la obținerea unor colective de solicitare ce

caracterizează univoc capacitatea de degradare a procesului de sollicitare.

Dezvoltarea impetuoasă în domeniul construcțiilor aeronautice a ridicat o serie de probleme irezolvabile în cadrul concepției bazate pe colectivul de sollicitare. Aceste probleme au fost sesizate în urma unor determinări experimentale ou simularea spectrelor de sollicitare prin blocuri ou nivele discrete, programate determinist ; rezultatele de laborator s-au dovedit a fi neacoperitoare față de experiența din exploatare.

Primele încercări ou simulare aleatoare s-au efectuat pe principii digitale, prin aplicarea unor blocuri de cioruri discretizate în trepte, programate aleator ou durată și succesiune, astfel încât să se realizeze distribuția globală a acestora în cadrul colectivelor de sollicitare : FREUDENTHAL (1953), GASSNER (1956), PAYNE (1956), WHALEY (1957) și mai târziu HELLER și colectiv (1964).

Primele programe de încercare pe construcții întregi sau subansamble, ou simularea mai apropiată a condițiilor de zbor, au fost efectuate în 1956 la firma LOCKHEED - după SCHÜTZ (1974) - continuate ou cercetările lui MALCOLM și colectiv (1962), care a confruntat rezultatele încercărilor ou reeditarea nemijlocită a spectrelor de sollicitare înregistrate în exploatare respectiv ou procese de sollicitare obținute prin randomizarea blocurilor rezultate prin discretizarea colectivelor de sollicitare; și cercetările lui NAUMANN și EUGENE (1963), SCHIJVE (1965) urmărind confruntarea acestor două metode de simulare, au evidențiat caracterul neconservativ al rezultatelor experimentale ou programe în blocuri randomizate față de constatările din exploatare.

Din necesitatea unor criterii fiabile pentru evaluarea previzională a durabilității la sollicitări variabile, s-au dezvoltat teorii de cumulare a degradărilor, a căror evoluție este legată de evoluția accepțiunii asupra fenomenului de oboseală și de asemenea de volumul și natura informațiilor furnizate de analiza proceselor de sollicitare reale.

Dezvoltarea în continuare a metodelor de analiză a fost posibilă doar prin reevaluarea lor în lumina lucrărilor fundamentale ale teoriei proceselor aleatoare - WIENER (1930), RICE(1954),

formulându-se o serie de ipoteze restrictive privind staționari-tatea și ergodicitatea spectrelor, banda de frecvențe, posibili-tatea caracterizării proceselor prin reprezentări în domeniul spec-tral și temporal. În consecință, metodele de analiză bazate pe clasarea monoparametrică a spectrelor s-au dovedit a fi necores-punzătoare pentru a furniza o reprezentare completă a procesului în domeniul amplitudinii, întrucât se denaturează o serie de carac-teristici esențiale pentru caracterizarea capacității de degradare a procesului.

Pornind de la necesitatea departajării spectrelor de soli-citare în funcție de conținutul de oscilații suprapuse având frec-vențe diferite, specifice proceselor aleatoare de bandă largă, s-au dezvoltat pe lângă metodele de clasare uzuale și metode de analiză în domeniul spectral, bazate pe stabilirea funcției densității spectrale de putere. În general, pentru utilizarea metodelor de anali-ză spectrală ca instrument ajutător se admit anumite ipoteze simplificatoare privind procesul staționar normal ; după CRANDALL și MARK (1963), RICE și colectiv (1965), MERCER și LIVESEY (1972), din această analiză se pot deduce distribuțiile extremelor (vîrfu-rilor pozitive și negative), a variațiilor interextreme și facto-rul de neregularitate. Astfel s-au acumulat informații complemen-tare desorierii în domeniul amplitudinilor și s-au stabilit crite-rii pentru aprecierea aplicabilității, în cazuri specifice de spec-tre, a metodelor analizei prin clasare digitală. Aceste metode s-au dovedit totuși a fi mai relevante în desorierea proceselor de solicitare din punct de vedere a capacității de degradare, fiind de asemenea mai accesibile în privința dotării cu aparate și echi-pamente automate. Încercările de a utiliza funcția densității spec-trale de putere ca bază a calculului de dimensionare respectiv de verificare a durabilității, fundamentat în prezent pe distribuția amplitudinilor, nu au putut oferi soluții concludente - HANEL (1975, 1976), BÖHME (1976).

Înainte de implementarea tehnicilor de tratare digitală automată a datelor, în vederea unor simulări complet randomizate s-au dezvoltat metode de generare analogică a mărimii de oman-dă, bazate pe fenomene fizice (termoemisia electronică, oboseala acustică, etc.) - TRAPP și FORNEY (1964), EDGE și RUCKER (1965), THOMAS (1965), WALLACE (1965). Aceste metode de generare a procese-

lor aleatoare ca mărime de comandă la încercări simulative, având o versatilitate limitată și posibilități reduse de modelare a unei game largi de structuri statistice, au fost abandonate odată cu apariția echipamentelor electronice de calcul digital de tipul calculatoarelor de proces în dotarea utilajelor și standurilor de încercare servohidraulice cu comandă electronică în circuit închis - KOWALEWSKI (1969), JACOBI (1972 a,b), GASSNER (1973) SCHÜTZ (1974).

Posibilitatea prelucrării rapide a unui volum mare de date și a stocării informației rezultate a impulsionat dezvoltarea în continuare a metodelor de analiză și sinteză a proceselor de solicitare aleatoare.

În prezent, problema analizei și sintezei aleatoare este abordată printr-o tratare numerică în domeniul amplitudinii, bazată pe teoria proceselor aleatoare de tip Markov de ordinul I și sugerată încă de SHERRATT și FISHER (1972), AICHER (1973), plecând de la reprezentarea distribuției biparametrice a procesului aleator sub forma unui câmp corelațional. Matricea stohastică a probabilităților de trecere între extremele succesive ale procesului caracterizează complet distribuția amplitudinilor - definiție pentru fenomenul de rezistență la solicitări variabile - și conține și o serie de date legate de banda de frecvențe a procesului. Metodologia propusă, elaborată de ARGYRIS și colectiv (1976), SCHÜTZ (1976) este utilizată în prezent la studiul experimental al fiabilității construcției de rezistență a unor tipuri de avioane speciale.

Ca o metodă de analiză - sinteză unitară dezvoltată pentru necesitățile specifice domeniului construcțiilor aerospațiale, metoda bazată pe matricea stohastică a procesului Markov de ordinul I este aplicabilă restrictiv în condițiile unor procese de solicitare staționar-ergodice sau a unor procese nestacionare de tipul spectrelor de zbor sol-aer-sol, care se caracterizează prin modificări ovasideterministe ale componentei medii și pot fi descompuse în sevențe staționare. Din acest motiv nu este posibilă extinderea metodei la studiul unor spectre ovasistaționare, caracteristice altor clase de construcții (material rulant, vehicule rutiere, utilaje tehnologice).

Pentru sinteza proceselor aleatoare nestaționare s-a dezvoltat o metodă de generare bazată pe dezvoltarea canonică a funcției aleatoare-BILY (1968), BILY și BUKOVECZKY (1976), CACKO și BILY (1978), urmărindu-se și modelarea funcției densității spectrale de putere; aplicarea metodei necesită efectuarea unui volum mare de calcule, care în cazul rezolvării în timp real reclamă capacități și performanțe ridicate ale calculatorului. Această metodă nu găsește în prezent o aplicabilitate largă, întrucât pe de o parte influența alurei funcției densității spectrale de putere asupra degradării prin oboseală nu a fost elucidată, pe de altă parte nu există metode de analiză eficiente compatibile cu metoda de sinteză propusă și ale cărei rezultate să poată fi utilizate în calculele de durabilitate.

În țară au existat preocupări susținute în domeniul rezistenței la solicitări variabile, oglindite într-o serie de lucrări valoroase : NĂDĂȘAN (1955,1956), BUZDUGAN (1955), NĂDĂȘAN și HAJDU (1956,1958), HAJDU și colectiv (1960), NĂDĂȘAN și colectiv (1962), BERNATH și SAFTA (1972), MOCANU (1972), BUZDUGAN și colectiv (1972), CIOCLOV (1975). Au fost efectuate o serie de studii și investigații asupra proceselor de solicitare din exploatarea unor construcții ca material rulant: RAȚIU și colectiv (1971), RAȚIU (1971,1973), BOLEANȚU și colectiv (1972,1974), TARAN și colectiv (1977), RAȚIU și SCHULZ (1977), RAȚIU, HALCHINI și SCHULZ (1978); construcții de poduri metalice de căi ferate: HALCHINI și SĂLĂGEAN (1976); mașini de ridicat și transportat : BOLEANȚU și DOBRE (1974). S-au efectuat studii experimentale asupra vibrațiilor și a durabilității la vehicule rutiere : PEREȘ și colectiv (1977), PETRESCU (1977), DOBRE (1977), BOLEANȚU și DOBRE (1978). Pentru utilizarea statisticii proceselor de solicitare în calculele de verificare a durabilității au fost elaborate metode de predicție bazate pe teorii fenomenologice de cumulare a degradărilor cu considerarea istoriei procesului - CIOCLOV (1971, 1977, 1978).

Din cele expuse rezultă că în prezent metodele de analiză și sinteză a proceselor de solicitare aleatoare nu satisfac deoft partțial cerințele realizării unor construcții de mașini optimizate sub raport tehnic și economic, cu o înaltă siguranță

in exploatare. In vederea soluționării acestei probleme, se impune elaborarea unor metode noi de analiză și sinteză, care să abordeze într-un mod unitar atât analiza cât și sinteza, pe baza unui model matematic adecvat descrierii cât mai exacte a proceselor de solicitare evasistaționare, ale căror date intermediare și finale să fie compatibile cu date inițiale ale prescripțiilor de verificare prin calcul a durabilității și fiabilității construcțiilor. De asemenea, pentru ridicarea eficienței prelucrării volumului de date, metodele de analiză-sinteză trebuie să fie programabile pe calculatoare electronice de capacitate mică și mijlocie.

**CAP. 2 - CONSIDERATII TEORETICE SI CONTRIBUTII
LA ANALIZA SI SINTEZA SPECTRELOR DE
SOLICITARE ALEATOARE**

1. Considerații teoretice generale

1.1. Elemente de teoria proceselor aleatoare

1.1.1. Descrierea generală a caracteristicilor unui proces aleator

Procesele de solicitare variabile cu un pronunțat caracter întâmplător, evidențiat de exploatarea a numeroase clase de construcții de rezistență prin înregistrarea unor selecții asupra procesului, nu admit o descriere analitică într-o accepțiune deterministă ; rezolvarea acestei probleme este posibilă doar în cadrul teoriei proceselor aleatoare, utilizând metodele de analiză probabilistică.

La definirea unui proces aleator se poate pleca de la o mărime aleatoare $\xi(t)$ care variază în raport cu parametrul t (în general t - timp). Se numește proces aleator $\xi = \xi(t)$ o funcție de parametru real $t \in R$, ale căror valori pentru fiecare t sînt variabile aleatoare.

Legile care generează procesul aleator $\xi(t)$, $t \in R$ sînt complet determinate prin distribuțiile simultane de probabilitate $f(t_1), \dots, f(t_n)$, pentru diferite valori ale argumentului : t_1, \dots, t_n . Studiul procesului aleator presupune înregistrarea, în condiții identice, a unui mare număr de selecții sau realizări particulare ale procesului, care formează împreună ansamblul $\{ \xi(t) \}^{1,n}$; acest ansamblu poate caracteriza, într-o măsură dependentă de extinderea (volumul) de selecție, proprietățile funcției aleatoare $\xi(t)$ (de exemplu : fig.2.1.) -RICE (1954), BENDAT și PIERSOL (1971).

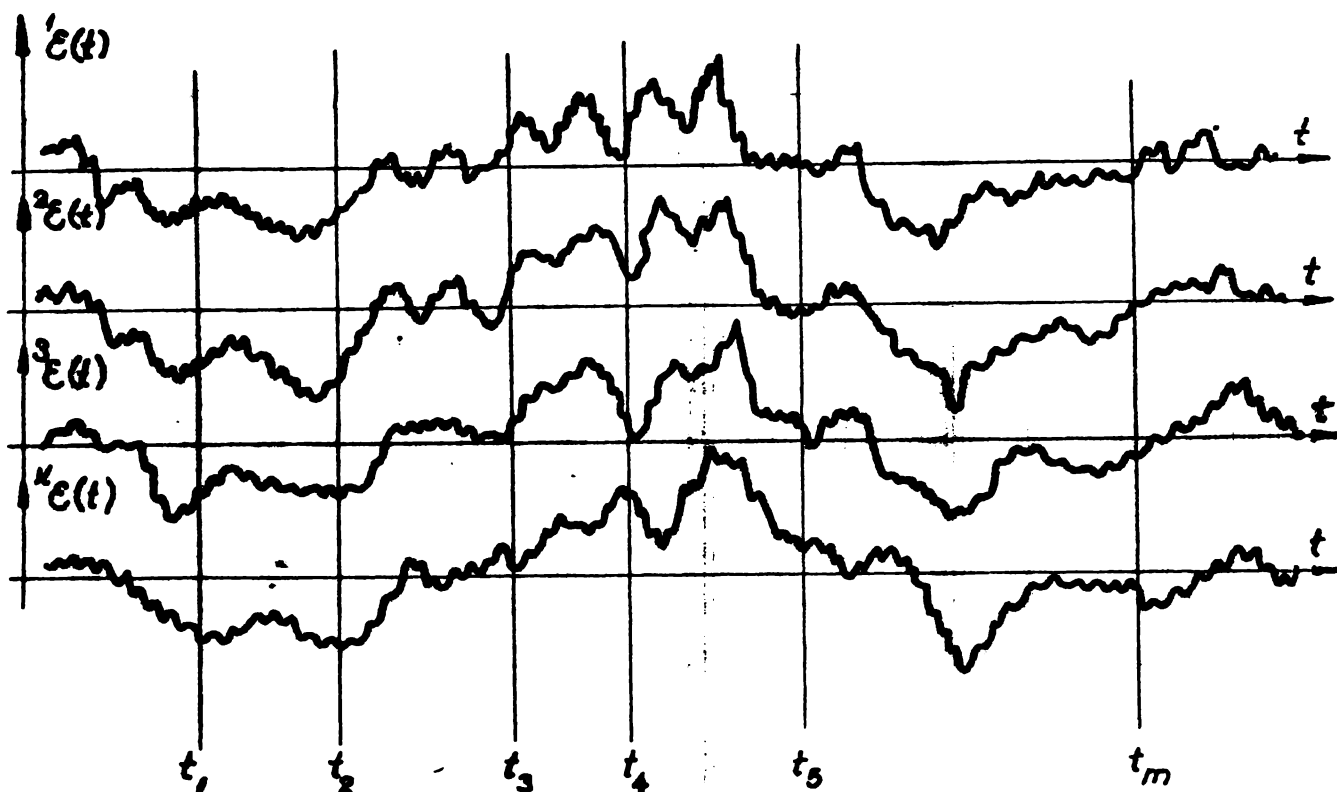


Fig.2.1 - Ansamblul de selecții înregistrate în condiții similare în exploatarea unui boghiu de cale ferată - după RATIU, HALCHINI și SCHULZ (1975)

Stabilirea și utilizarea în calcule a densității de probabilitate n - dimensională $p_{t_1, t_2, \dots, t_n}(x_1, \dots, x_n)$ este dificilă cu excepția unor cazuri particulare, de exemplu procese normale, la care distribuția mono-și bidimensională (proces de bandă îngustă respectiv de bandă largă) sînt necesare și suficiente pentru o descriere completă - ROZANOV (1975).

Caracteristicile descriptive ale proceselor aleatoare se rezumă la parametrii numerici ai legilor de distribuție și în particular la momentele inițiale de diferite ordine.

$$M_{(k_1, k_2, \dots, k_n)}^k = M\left\{ \left[\xi(t_1) \right]^{k_1} \cdot \left[\xi(t_2) \right]^{k_2} \cdot \dots \cdot \left[\xi(t_n) \right]^{k_n} \right\} \quad (2.1)$$

$$k = \sum_{i=1}^n k_i$$

in care M este operatorul de mediere, respectiv momentele centrate de diferite ordine :

$${}^0M_{(k_1, k_2, \dots, k_n)}^k = M \left\{ \left[\xi(t_1) - m_\xi(t_1) \right]^{k_1} \cdot \left[\xi(t_2) - m_\xi(t_2) \right]^{k_2} \cdot \dots \cdot \left[\xi(t_n) - m_\xi(t_n) \right]^{k_n} \right\} \quad (2.2)$$

in care intervin funcțiile aleatoare centrate

$${}^0\xi(t_i) = \xi(t_i) - m_\xi(t_i) \quad (2.3.)$$

unde :

$$m_\xi(t_i) = M^1 = M[\xi(t_i)] = \int_{-\infty}^{\infty} x \cdot p_{t_i}(x) \cdot dx \quad (2.4)$$

este așteptarea matematică a funcției aleatoare.

Dintre aceste momente, pentru descrierea caracteristicilor de bază a procesului aleator, se utilizează frecvent - BOLEAN-TU și DOBRE (1978) :

- așteptarea matematică - rel.(2.4)
- momentul de ordinul II (neocentrat, neocorelat) sau valoarea medie pătratică

$$Y_J^2 = M^2 = M \left\{ \left[\xi(t_1) \right]^2 \right\} = \int_{-\infty}^{\infty} x^2 \cdot p_{t_1}(x) \cdot dx \quad (2.5)$$

oare înglobează atât componenta staționară a procesului, exprimată prin valoarea medie, cât și componenta variabilă, exprimată prin dispersia procesului

- momentul de ordinul doi corelat

$$M_{(1,2)}^2 = M \left\{ \xi(t_1) \cdot \xi(t_2) \right\} \quad (2.6)$$

- momentul de ordinul doi centrat (neocorelat) sau dispersia :

$$d_J^2 = {}^0M^2 = M \left\{ \left[\xi(t_1) - m_\xi(t_1) \right]^2 \right\} = \int_{-\infty}^{\infty} \left[x - m_\xi(t_1) \right]^2 \cdot p_{t_1}(x) \cdot dx \quad (2.7)$$

- momentul de ordinul doi centrat corelat sau funcția de autocorelație :

$$\begin{aligned} C_J(t_1, t_2) &= {}^0M_{(1,2)}^2 = M \left\{ \left[\xi(t_1) - m_\xi(t_1) \right] \cdot \left[\xi(t_2) - m_\xi(t_2) \right] \right\} = \\ &= \iint_{-\infty}^{\infty} \left[x_1 - m_\xi(t_1) \right] \cdot \left[x_2 - m_\xi(t_2) \right] \cdot p_{t_1, t_2}(x_1, x_2) \cdot dx_1 \cdot dx_2 \end{aligned} \quad (2,8)$$

1.1.2. Ipoteze acceptate la aplicarea conceptelor teoriei proceselor aleatoare

Aplicabilitatea unor metode eficiente de tratare statistică în studiul proceselor aleatoare este condiționată de acceptarea anumitor ipoteze restrictive asupra caracterului procesului: staționaritatea și ergodicitatea.

Staționaritatea în sens restrâns presupune independența proprietăților procesului aleator de alegerea originii axei pentru variabila generică $t \in \mathbb{R}$, astfel încât densitatea de probabilitate multidimensională, pentru orice set de secțiuni (t_1, t_2, \dots, t_n) , $n \in \mathbb{N}$, să nu depindă de translație cu valoarea $\tau = t_i - t_1; (i = 1, \dots, n)$ a variabilei t :

$$p_{t_1, t_2, \dots, t_n}(x_1, x_2, \dots, x_n) = p_{t_1 + \tau, t_2 + \tau, \dots, t_n + \tau}(x_1, x_2, \dots, x_n) \quad (2.9)$$

Staționaritatea în sens larg presupune independența doar a momentelor de ordinul întâi și doi de translatarea originii variabile $t \in \mathbb{R}$, deci valoarea medie și dispersia sînt constante

$$\begin{aligned} m_{\xi}(t) &= \int_{-\infty}^{\infty} x \cdot p(x) \cdot dx = m_{\xi} = const. \\ d_{\xi}^2(t) &= \int_{-\infty}^{\infty} (x - m_{\xi})^2 \cdot p(x) \cdot dx = d_{\xi}^2 = const. \end{aligned} \quad (2.10)$$

respectiv funcția de autoocorelație depinde doar de deplasarea temporală $\tau = t_2 - t_1$:

$$C_{\xi}(t_1, t_2) = \int_{-\infty}^{\infty} (x_1 - m_{\xi})(x_2 - m_{\xi}) \cdot p_{t_1, t_2}(x_1, x_2) \cdot dx_1 \cdot dx_2 = C_{\xi}(\tau) \quad (2.11)$$

spre deosebire de criteriul de staționaritate în sens restrîns care implică și momentele de ordin superior.

În cazul proceselor aleatoare normale, rel.(2.10) și (2.11) reprezintă condiția necesară și suficientă de staționaritate și în sens restrîns, deoarece aceste procese sînt caracterizate complet prin primele două momente, momentele de ordin superior exprimîndu-se funcție de acestea.

În general, obținerea pe cale experimentală a unui ansamblu suficient de mare de înregistrări (selecții) ca realizări posibile ale procesului aleator nu este posibilă și ar deveni economic prohibitivă. Pentru a putea aplica metodele de

de evaluarea a caracteristicilor statistice avind la dispoziție numai o singură înregistrare ou o extindere temporală suficient mare, trebuie verificată ipoteza de ergodicitate. Ergodicitatea caracterizează o subclasă a proceselor staționare - deci staționaritatea este o condiție necesară - a căror descriere statistică se bazează pe echivalența, în sensul unei convergențe în probabilitate, între caracteristicile statistice determinate pe ansamblu respectiv cele determinate prin mediere temporală pentru o singură înregistrare.

Deși problema stabilirii condițiilor de suficiență ale ergodicității nu este încă soluționată complet, ipoteza ergodică este larg acceptată în studiul proceselor fizice și în particular la analiza spectrelor de sollicitare.

Avind în vedere importanța așteptării matematice ca medie temporală și a funcției de autocorelație, ergodicitatea se poate defini :

- în raport ou așteptarea matematică; condiția de ergodicitate reprezintă egalitatea mediilor pe ansamblu respectiv temporală :

$$\lim_{T \rightarrow \infty} M \left\{ \left[\frac{1}{T} \int_{t_0}^{t_0+T} \xi(t) \cdot dt - m_{\xi} \right]^2 \right\} = 0 \quad (2.12)$$

- în raport ou funcția de autocorelație :

$$\lim_{T \rightarrow \infty} M \left\{ \left[\frac{1}{T} \int_{t_0}^{t_0+T} [\xi(t) - m_{\xi}] [\xi(t+\tau) - m_{\xi}] \cdot dt - C_{\xi}(\tau) \right]^2 \right\} = 0 \quad (2.13)$$

Această condiție presupune și ergodicitatea în raport ou dispersia, ceea ce rezultă prin particularizare pentru $\tau = 0$ ($C_{\xi}(\tau) = d_{\xi}^2$).

Deoarece în aplicații este dificilă verificarea acestor criterii, se acceptă ca o condiție suficientă de ergodicitate dacă funcția de autocorelație este pătratic integrabilă :

$$\lim_{T \rightarrow \infty} \frac{1}{T} \int_{t_0}^{t_0+T} [C_{\xi}(\tau)]^2 \cdot d\tau < \infty \quad (2.14)$$

condiție care este satisfăcută doar dacă $\lim_{\tau \rightarrow \infty} C_{\xi}(\tau) = 0$; din punct de vedere fizic aceasta înseamnă că odată ou creșterea deplasării temporale τ , gradul de dependență între două valori

$\xi(t)$ și $\xi(t+\tau)$ tinde către zero.

Similar cu rel.(2.4), (2.5) și (2.7), valoarea medie, dispersia și valoarea medie pătratică se pot exprima în cazul unui proces aleator staționar ergodic ca valori integrate pe perioada de selecție T, utilizând funcția densității de probabilitate $P_{\xi}(x)$.

Pentru o selecție cu variație temporală $\xi(t)$, probabilitatea menținerii valorii lui ξ între două limite x, $x+\Delta x$ este

$$P_{\xi} [x < \xi(t) \leq x + \Delta x] = \lim_{T \rightarrow \infty} \frac{T_x}{T} \quad (2.15)$$

unde $T_x = \sum_{i=1}^n \Delta t_i$ este durata totală de menținere a semnalului între limitele date.

Funcția densității de probabilitate se definește :

$$P_{\xi}(x) = \lim_{\Delta x \rightarrow 0} \frac{P_{\xi}[x < \xi(t) \leq x + \Delta x]}{\Delta x} = \lim_{\Delta x \rightarrow 0} \lim_{T \rightarrow \infty} \frac{1}{T} \left(\frac{T_x}{\Delta x} \right) \quad (2.16)$$

1.1.3. Reprezentarea spectrală a proceselor aleatoare

De mare importanță într-o serie de aplicații legate de studiul răspunsului dinamic al construcțiilor de rezistență excitate aleator este reprezentarea în domeniul frecvenței a proceselor aleatoare staționare. Funcția densității spectrale de putere bilaterală a procesului $\xi(t)$ se poate defini prin transformata Fourier a funcției de autocorelație :

$$S_{\xi}(f) = \int_{-\infty}^{\infty} C_{\xi}(\tau) \cdot e^{-j 2\pi f \tau} \cdot d\tau \quad (j^2 = -1) \quad (2.17)$$

În baza reversibilității transformatei Fourier rezultă :

$$C_{\xi}(\tau) = \int_{-\infty}^{\infty} S_{\xi}(f) \cdot e^{j 2\pi f \tau} \cdot df \quad (2.18)$$

Ecuațiile (2.17) și (2.18) reprezintă formularea matematică a teoremei WIENER - HINCIN, care permite echivalarea reprezentărilor temporale și spectrale ale unui proces aleator staționar, cu spectru de frecvențe continuu.

Pentru a evita extinderea formală a integrării în domeniul frecvențelor negative, acceptată ipotetic în analiza armonică a funcțiilor aperiodice, în baza proprietății de paritate a funcției bilaterale $S_{\xi}(f)$ se definește funcția densității spectrale de putere unilaterală, fizic realizabilă :

$$G_{\xi}(f) = 2 S(f) \quad (2.19)$$

și exprimând funcțiile exponențiale în raport cu funcțiile trigonometrice reale rezultă :

$$\begin{aligned} G_{\xi}(f) &= 4 \int_0^{\infty} C_{\xi}(\tau) \cdot \cos(2\pi f\tau) \cdot d\tau \\ C_{\xi}(\tau) &= \int_0^{\infty} G_{\xi}(f) \cdot \cos(2\pi f\tau) \cdot df \quad f \in [0, \infty) \end{aligned} \quad (2.20)$$

Ca interpretare fizică, funcția densității spectrale de putere descrie procesul aleator în domeniul frecvenței, indicând componența sa generală în funcție de densitatea spectrală a valorii medii pătratice :

$$G_{\xi}(f) = \lim_{\Delta f \rightarrow 0} \lim_{T \rightarrow \infty} \frac{1}{\Delta f \cdot T} \int_{t_0}^{t_0+T} \xi^2(t, f, \Delta f) \cdot dt \quad (2.21)$$

unde, pentru procesul staționar-ergodic $\xi(t)$, valoarea medie pătratică în fereastra de frecvență $[f, f+\Delta f]$ s-a definit ca:

$$\Psi_{\xi}^2(f, f+\Delta f) = \lim_{T \rightarrow \infty} \frac{1}{T} \int_{t_0}^{t_0+T} \xi^2(t, f, \Delta f) \cdot dt \quad (2.22)$$

Intre parametrii statistici fundamentali și funcția densității spectrale de putere există relațiile :

$$m_{\xi} = \left[\int_{0^-}^{0^+} G_{\xi}(f) \cdot df \right]^{\frac{1}{2}} \quad (2.23)$$

$$\Psi_{\xi}^2 = \int_0^{\infty} G_{\xi}(f) \cdot df \quad (2.24)$$

Reprezentarea spectrală, temporală respectiv prin distribuțiile multidimensionale (și a momentelor de ordin superior deduse din aceste distribuții) sînt deci complementare : utilizarea lor în aplicații practice depinde de natura problemei de rezolvat.

1.2. Analiza statistică a spectrelor de solicitare

1.2.1. Considerații generale

Prin analiză se înțelege preluorarea statistică a unui spectru extensometric în scopul stabilirii caracteristicilor statistice deterministe care să descrie cât mai exact structura probabilistă a procesului aleator. În cadrul analizei spectrelor extensometrice, metodele de preluorare derivate din teoria proceselor aleatoare trebuie aplicate în mod specific, corelat cu particularitățile fenomenului fizic al degradării prin solicitări variabile.

Pornind de la faptul că degradarea indusă prin solicitări variabile depinde esențial de amplitudinea și valoarea medie a ciclurilor individuale de solicitare, precum și istoria (succesiunea) ciclurilor, analiza trebuie să urmărească în primul rând descrierea structurii în domeniul amplitudinii.

Informațiile furnizate de analiză trebuie să fie utilizabile nemijlocit ca date inițiale în calculele de verificare previzională a durabilității, respectiv să constituie o bază de date necesară și suficientă pentru sinteza unui proces aleator cu structură probabilistă cât mai apropiată de cea a procesului original.

Relevanța analizei, determinată de volumul și calitatea informațiilor asupra structurii probabilistice a procesului aleator depind de modelul matematic și implicit de metoda statistică de analiză adoptată; alegerea modelului matematic și a metodei statistice de analiză trebuie să fie adecvată descrierii pertinente a proceselor de bandă largă, cu o componentă complexă.

1.2.2. Componenta spectrelor de solicitare

Factorul primordial care definește durabilitatea unei construcții este desfășurarea în timp a acțiunii simultane a diverselor sarcini care sînt specifice regimului de încărcare în exploatare :

- sarcini constante, date de greutatea proprie și încărcarea statică utilă
- sarcini variabile ciclice sau aciclice, date de manevrarea și funcționarea utilajelor în regimuri specifice

- perturbații exterioare, date de vibrații, condițiile căii de rulare (la vehicule terestre), turbulențe atmosferice (la vehicule aeronautice), etc.

Pentru evaluarea durabilității elementelor componente și a construcției în ansamblu, este determinant răspunsul construcției la procesul de încărcare, într-o strinsă dependență cu specificul construcției: material, formă constructivă, condiții de asamblare, caracteristici de rigiditate/complianță, capacitate de amortizare, etc.

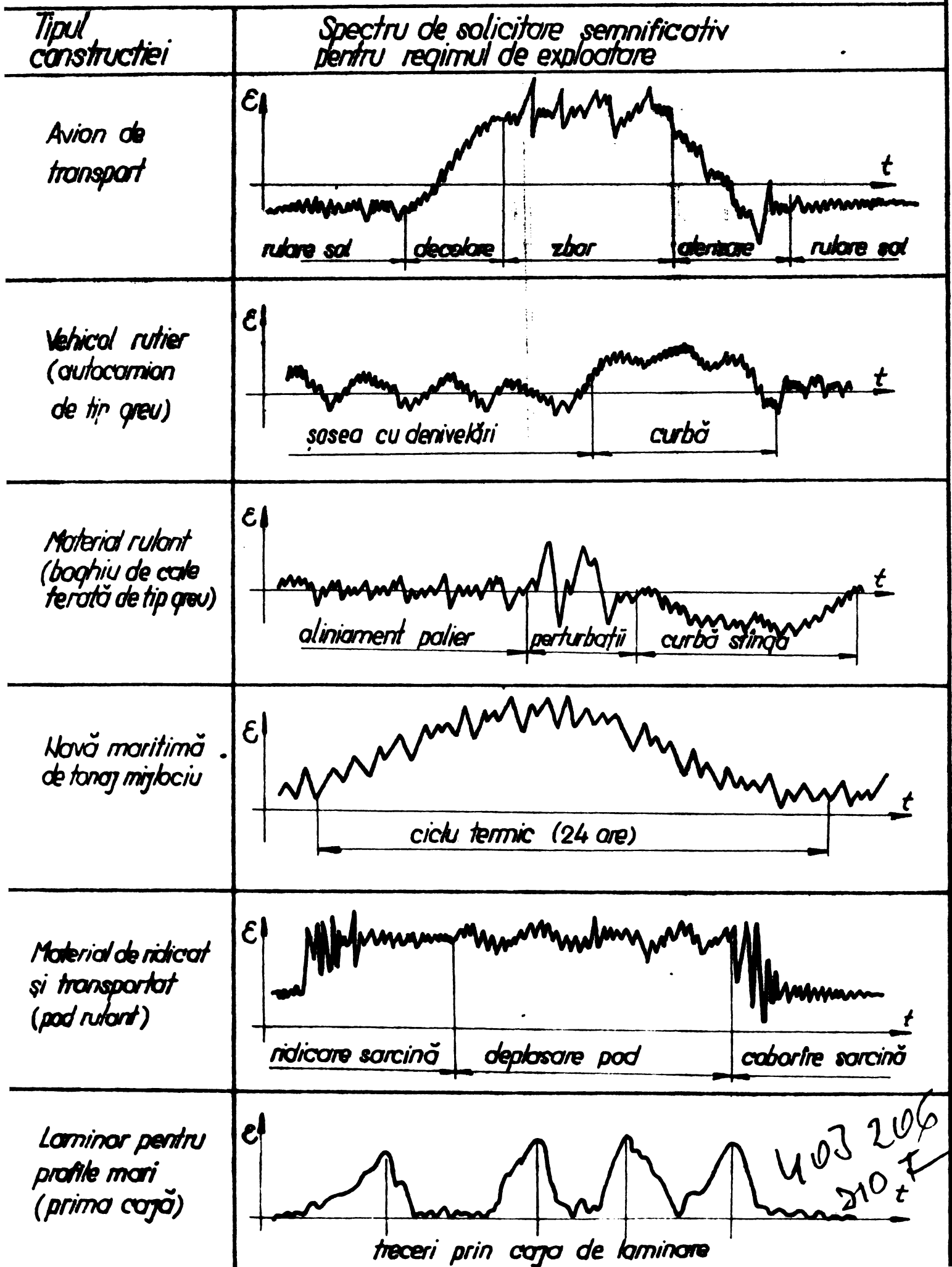
Intr-o accepțiune generală, ansamblul continuu sau discret al tuturor valorilor de deformații/tensiuni care se produc într-o zonă sau într-un punct al unei construcții în timpul funcționării sub acțiunea procesului de încărcare, se numește spectru de sollicitare. Spectrele de sollicitare se obțin pe cale experimentală, prin înregistrări extensometrice $\epsilon(t)$ în cursul unor probe de exploatare. La evaluarea durabilității se preferă înregistrarea spectrelor extensometrice, deoarece deformația specifică este o mărime concomitentă a sollicitării locale și permite transpunerea în tensiuni, ca mărime fundamentală în calculele de proiectare/verificare; într-o primă analiză, înregistrarea altor mărimi (deplasări, accelerații) nu este la fel de operantă la evaluarea durabilității, decât în cazul când se urmărește corelarea cu studiul dinamicii construcției.

Numeroase studii experimentale arată că în general spectrul de frecvențe al proceselor de sollicitare aleatoare este continuu, iar funcția densității spectrale de putere prezintă unul sau mai multe maxime, corespunzătoare unor frecvențe caracteristice ale procesului de încărcare și/sau ale construcției - KOWALEWSKI (1969), SHERRATT și FISHER (1972), GASSNER (1973), ARGYRIS și colectiv (1976).

Din punct de vedere a componentei procesului de încărcare și al efectului asupra degradărilor incluse, procesul de sollicitare global poate fi privit ca o suprapunere a unei componente induse și a unei componente aleatoare. Componenta indusă sau fundamentală este produsă de condițiile de exploatare specifice sau manevre care reprezintă variații, de frecvență foarte joasă, ale valorii medii a procesului global. Componenta aleatoare sau suprapusă reprezintă variații de frecvență mai ridicată, datorită interacțiunii între factorii de încărcare aleatori și sistemul oscilant al construcției, fig.2.2.

403206
310 F

Fig. 2.2 Componenta spectrelor de solicitare pentru diferite construcții - după IACOBY (1973), ARGYRIS (1976), RAȚU, HALCHINI ȘI SCHULZ (1978)



Măsurările efectuate evidențiază că în general nu sînt satisfăcute condițiile de staționaritate în sens larg, atît datorită variației valorii medii (a componentei fundamentale) cît și datorită variației dispersiei (a componentei suprapuse), corespunzător diferitelor regimuri de funcționare în exploatare. Pentru a putea aplica totuși metodele de analiză statistică temporală ale teoriei proceselor aleatoare staționar-ergodice, selecțiunile ou variații net demarșate ale valorii medii și/sau a dispersiei se împart în secvențe, pentru care condițiile de staționaritate sînt satisfăcute (de exemplu : construcții aeronautice, macarale, conform fig.2.2).

Intrucît această metodă de convenționalizare nu se poate aplica la spectre extensometrice ou variații lente , sinusoidale ale valorii medii, la tratarea statistică globală se admite ipoteza ovasistaționarității, prin care se reduce gradul de restricție a condiției de staționaritate în raport ou valoarea medie.

1.2.3. Prelucrare digitală a spectrelor extensometrice prin clasare. Modele matematice acceptate.

Analiza în domeniul amplitudinii se bazează pe o prelucrare digitală a semnalului aleator înregistrat (oa mărime analogică sau digitalizată prin eșantionare temporală), utilizînd metodele de clasare digitală. Clasarea digitală constă în subdivizarea plajei de variație a semnalului aleator $\xi(t)$ într-un număr finit de clase, ou intervalul de clasă constant, și numărarea frecvenței de apariție în cadrul fiecărei clase, a unuia sau mai multor parametri considerați semnificativi pentru caracterizarea ciclului de solicitare. Deoarece timpul de menținere într-o clasă nu este determinant pentru capacitatea de degradare a procesului, se urmăresc drept parametri fundamentali ai ciclului de solicitare (fig.2.3) :

- maximul
- minimul
- amplitudinea
- valoarea medie instantanee.

Sub aspect operațional sînt uneori mai avantajoase metode de clasare a unor parametri derivați oa : frecvența depășirii nivelelor, interextreme, perechi de valori interextreme etc. ANEXA 1

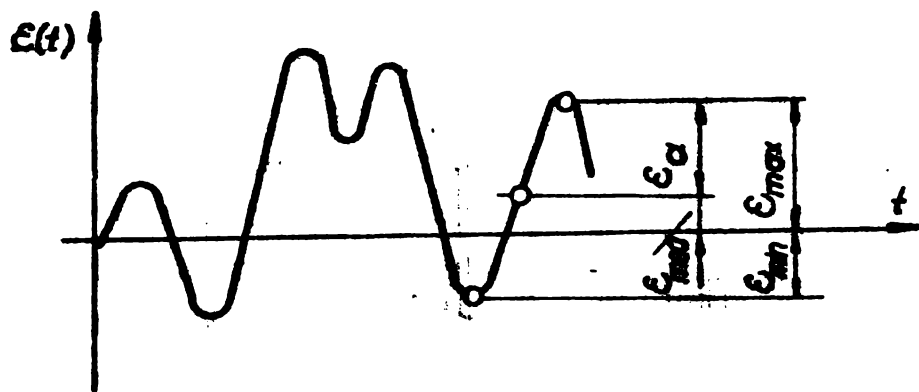


Fig.2.3 - Parametri fundamentali ai ciclului de sollicitare.

Prin alegerea metodei de clasare se acceptă implicit un model matematic al procesului aleator original ; informațiile rezultate prin clasare sînt afectate de erori și alterează structura statistică a procesului clasat în măsura în care modelul se îndepărtează de procesul aleator original.

a).- Clasarea monoparametrică constă în stabilirea frecvențelor de clasă a unui singur parametru fundamental sau derivat al ciclului de sollicitare. Modelul matematic acceptat este acela al unui proces staționar de bandă îngustă ; informația se obține sub forma unei distribuții empirice monoparametrice, care este o reprezentare alterată a structurii statistice în cazul proceselor staționare de bandă largă respectiv ovasi-staționare, care se îndepărtează de modelul acceptat. Se pierde orice informație asupra istoriei procesului de sollicitare.

b).- Clasarea biparametrică necorelată constă în stabilirea simultană și independentă a frecvențelor de clasă a doi parametri fundamentali ai ciclului de sollicitare. Modelul matematic acceptat este acela al unui proces staționar, cu creșteri independente și cu distribuție normală ; informația se obține sub forma a două distribuții empirice monoparametrice, care pot reda exact structura statistică a proceselor staționare cu creșteri independente și cu distribuție normală, indiferent de lățimea benzii, prin deducerea distribuțiilor bidimensionale respectiv

In cazul proceselor 6vasi-staționare, avind creșteri dependente de variația componentei fundamentale, rezultă o alterare a structurii statistice a procesului aleator original.

o).- Clasarea biparametrică corelată constă în stabilirea simultană a frecvențelor de clasă a doi parametri fundamentali ai ciclului de solicitare și înregistrarea frecvențelor corelate a succesiunii acestor parametri. Modelul matematic acceptat este acela al unui proces staționar, cu creșteri independente, cu distribuție în general diferită de cea normală; informația se obține sub forma unei distribuții empirice biparametrice a probabilităților condiționate, ale căror elemente reprezintă probabilități de trecere de tip Markov, de ordinul I. Această metodă nu se pretează la tratarea proceselor aleatoare ovasistaționare.

d).- In vederea tratării unitare a proceselor aleatoare staționare și ovasistaționare prin metoda de analiză propusă de autor, se recurge la clasarea biparametrică dublu corelată, elaborată special pentru a fi compatibilă cu modelul matematic acceptat. Clasarea biparametrică dublu corelată constă în stabilirea a doi parametri fundamentali ai ciclului de solicitare (maximul și minimul) și înregistrarea frecvențelor dublelor treceri între extreme. Informația se obține sub forma unor distribuții empirice spațiale, ale căror elemente reprezintă probabilități de trecere de ordin superior de tip Markov, caracteristice proceselor cu istorie.

Prin metoda propusă se conservă de asemenea o informație globală asupra componentei spectrale a procesului, exprimată prin factorul de neregularitate I. Factorul de neregularitate I caracterizează banda de frecvențe, fiind legat de reprezentarea spectrală respectiv temporală a procesului. Din momentele centrate de ordinul II ale procesului și ale derivatelor sale exprimate în raport cu funcția densității spectrale de putere (respectiv funcția de autocorelație) :

$$d_{\epsilon}^2 = \int_0^{\infty} G(f) \cdot df = C_{\epsilon}(0) \quad (2.25)$$

$$d_{\epsilon}^{\cdot 2} = (2\pi)^2 \int_0^{\infty} f^2 \cdot G(f) \cdot df = - \left. \frac{d^2 C_{\epsilon}(\tau)}{d\tau^2} \right|_{\tau=0}$$

$$d_{\epsilon}^{\cdot\cdot 2} = (2\pi)^4 \int_0^{\infty} f^4 \cdot G(f) \cdot df = \left. \frac{d^4 C_{\epsilon}(\tau)}{d\tau^4} \right|_{\tau=0}$$

se poate determina numărul mediu, în unitatea de timp, al trecerilor în sens pozitiv prin valoarea medie - după RICE (1954)

$$N_0 = \frac{1}{2\pi} \frac{d\dot{\epsilon}}{d\epsilon} = \left[\frac{\int_0^\infty f^2 \cdot G(f) \cdot df}{\int_0^\infty G(f) \cdot df} \right]^{\frac{1}{2}} \quad (2.26)$$

respectiv numărul mediu, în unitatea de timp al ciorurilor (respectiv al maximelor) :

$$N_1 = \frac{1}{2\pi} \frac{d\ddot{\epsilon}}{d\dot{\epsilon}} = \left[\frac{\int_0^\infty f^4 \cdot G(f) \cdot df}{\int_0^\infty f^2 \cdot G(f) \cdot df} \right]^{\frac{1}{2}} \quad (2.27)$$

Factorul de neregularitate rezultă deci ca o caracteristică sintetică a reprezentării spectrale :

$$I = \frac{N_0}{N_1} = \frac{\int_0^\infty f^2 \cdot G(f) \cdot df}{\left[\left(\int_0^\infty G(f) \cdot df \right) \cdot \left(\int_0^\infty f^4 \cdot G(f) \cdot df \right) \right]^{\frac{1}{2}}} \quad (2.28)$$

Aplicarea concretă a metodei de clasare biparametrică dublu corelate se va exemplifica în cadrul paragrafului următor, în contextul aplicării metodei de analiză propuse.

2. O nouă metodă de analiză a proceselor de sollicitare

2.1. Contribuții teoretice

2.1.1. Studiul aplicabilității modelării prin procese de tip Markov

Din punct de vedere al capacității de degradare, succesiunea extremelor de tip minim și maxim - deci a semioclurilor individuale - ou neglijarea în primă instanță a frecvenței, descrie complet procesul de sollicitare aleator. Această transpunere posibilă a unei variații în raport cu timpul într-o succesiune de evenimente conduce la ideea modelării procesului de sollicitare printr-un proces aleator de tip Markov, care poate descrie

realizările posibile ale procesului pe baza probabilităților de trecere de ordinul I sau de ordin superior. Mărimea de stare a căreia modificare caracterizează desfășurarea în timp a procesului este extremul (maximul și minimul) ciclului de solicitare individual.

Un proces aleator $\xi = \xi(t)$ se numește proces de tip Markov, dacă la orice moment μ , pentru o valoare fixată

$\xi(\mu) = x$, variabilele aleatoare $\xi(t)$, $t \geq \mu$ nu depind de valorile $\xi(s)$, $s \leq \mu$. Un proces de tip Markov apare deci ca un proces cu memorie limitată, sau în sens restrâns, fără memorie.

Dacă $\xi(t)$ este mărimea de stare a sistemului fizic la momentul t , procesul Markov $\xi = \xi(t)$ care descrie evoluția sistemului poate fi caracterizat astfel: comportarea sistemului ulterior momentului $t = \mu$ când sistemul se află într-o stare $\xi(\mu) = x$ dată, nu depinde de comportarea anterioară momentului $t = \mu$.

Pentru spațiul stărilor posibile ale procesului se introduce probabilitatea de trecere $P(s, x, t, B)$ ca probabilitatea trecerii din starea inițială $x = \xi(s)$ într-una din stările y ale ansamblului de stări B după un interval de timp $(t-s)$. Formal $P(s, x, t, B)$ este probabilitatea condiționată a realizării stărilor $\xi(t) \in B$ dacă $\xi(s) = x$, $s \leq t$. Variabila aleatoare se consideră discretă, cu un număr finit de stări posibile, corespunzător discretizării variației în cadrul analizei de nivel prin clasare digitală.

Pentru un ansamblu finit de stări:

$$P(s, x, t, B) = \sum_{y \in B} P(s, x, t, y) \quad (2.29)$$

unde în cazul general $\xi(t)$ poate fi un vector aleator în spațiul n -dimensional E^n .

Din punct de vedere al modelării proceselor de solicitare aleatoare, este importantă considerarea unor proprietăți particulare ale proceselor de tip Markov.

Procesele de tip Markov cu creșteri independente formează o clasă importantă la care distribuția creșterilor $[\xi(t) - \xi(t_0)]$ este independentă de valorile $\xi(s)$, $s \leq t_0 \leq t$.

Un proces de tip Markov $\xi = \xi(t)$, este staționar, (omogen) dacă legea sa de comportare pe intervalul (s, t) , pentru $\xi(s) = x$, nu depinde de translația acestui interval pe axa timpu-

lui. Probabilitățile de trecere nu mai sînt funcție de timp, ci doar de diferența $t - s$:

$$P(s, x, t, B) = P(t-s, x, B) \quad (2.30)$$

Pentru un proces de tip Markov cu creșteri independente și staționar, funcția de autocorelație :

$$C_f(s, t) = M\{[\xi(s) - m_f(s)][\xi(t) - m_f(t)]\} = C_f(\tau) \quad (2.31)$$

depinde doar de retardarea $\tau = t - s$ și scade monoton spre valoarea zero pentru $\tau \rightarrow \infty$.

Din punct de vedere al modelului markovian, procesele de sollicitare aleatoare ovasistaționare nu sînt procese cu creșteri independente și oarecare nici omogene. Acest fapt reiese clar și din alurile pe care le poate lua funcția de autocorelație în cazul unui proces aleator ovasistaționar, cu un anumit grad de corelare a valorilor succesive datorită existenței componentei induse-
fig.2.4.

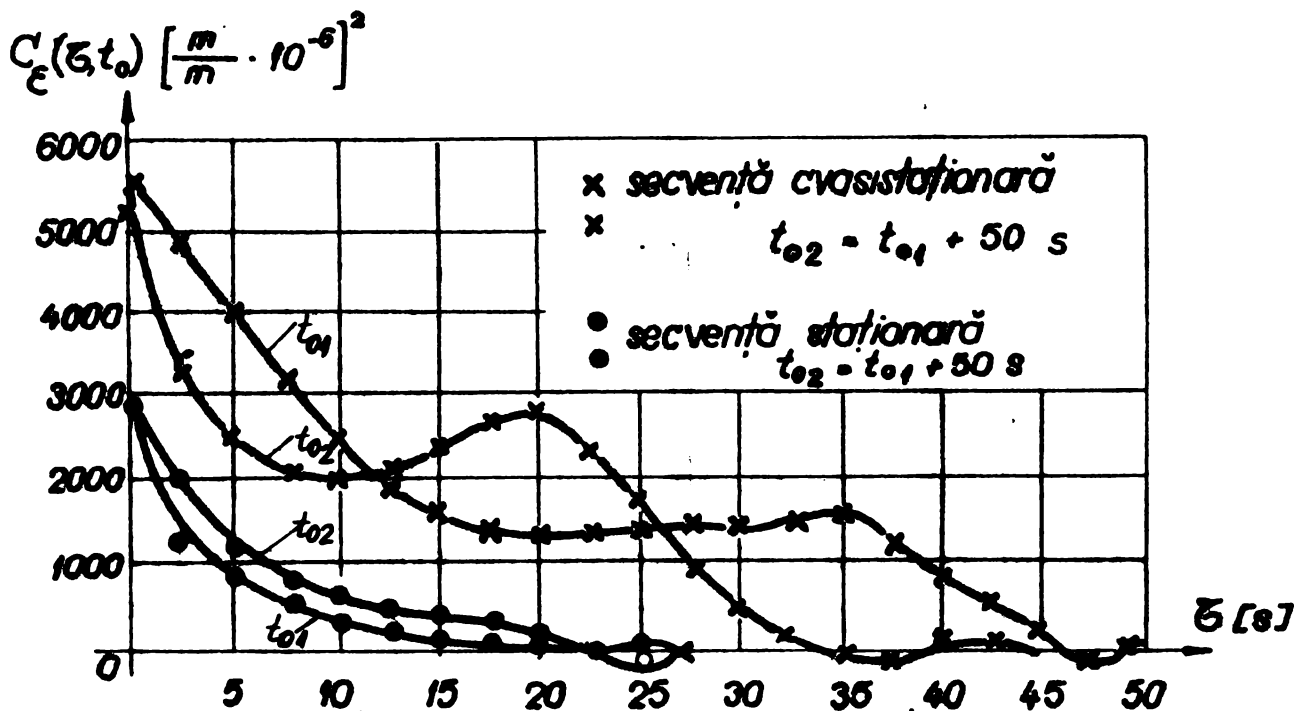


Fig.2.4 - Funcții de autocorelație pentru un proces de sollicitare ovasi-staționar, cu alegerea diferită a originii timpului t_0 - SCHULZ (1978)

Din considerente teoretice, o descriere probabilistă adecvată se poate obține prin asimilarea procesului de solicitare cu un proces de tip Markov cu legături complete. Variabila aleatoare $f(t)$ - reprezintă extremul (maximul și minimul) ciclului de solicitare și este deci o variabilă de tip discret, compatibilă cu modelul procesului de tip Markov.

Făcând abstracție de frecvența procesului, se consideră că variabila t poate lua doar valorile discrete $t = 0, 1, 2, \dots, n$, unde n aparține mulțimii numerelor naturale. Procesul se va analiza la momente discrete, aflate la distanțe multipli întregi ai intervalului $\Delta t = 1$, care la scara timpului real t^* va avea valoarea $\Delta t = 1/2f = t^*(n) - t^*(n-1)$, întrucât Δt este semiperioada ciclului de solicitare, luându-se în considerație de fapt semiciclurile minim-maxim și maxim-minim.

Pentru un proces de tip Markov cu legături complete și număr finit de stări, expresia probabilității de trecere se notează :

$$P(f_n = j_n / f_{n-1} = j_{n-1}, f_{n-2} = j_{n-2}, \dots, f_1 = j_1) = p_{j_1 \dots j_{n-1} j_n} \quad (2.32)$$

$$\bar{p}_{j_1 \dots j_{n-1}} = \left\{ p_{j_1 \dots j_{n-1} b_1}, p_{j_1 \dots j_{n-1} b_2}, \dots, p_{j_1 \dots j_{n-1} b_m} \right\} \quad (2.33)$$

unde vectorul $\bar{p}_{j_1 \dots j_{n-1}}$ reprezintă distribuția de probabilitate la trecerea de rang $(n-1) \rightarrow (n)$ într-una din stările $B = \{b_1, b_2, \dots, b_m\}$, deci :

$$p_{j_1 \dots j_{n-1} j_n} \geq 0 ; \quad \sum_{j_n \in B} p_{j_1 \dots j_{n-1} j_n} = 1 \quad (2.34)$$

Deși sînt modele mai exacte ale istoriei procesului de solicitare, procesele de tip Markov cu legături complete ridică o serie de probleme legate nu numai de dificultățile tratării matematice, ci mai ales de volumul mare de calcul și de date inițiale și intermediare, care trebuie stocate în cazul unor lanțuri cu un număr mai mare de pași. Sub aspect operațional, prelucrarea automată a datelor pe calculatorul numeric ar necesita un spațiu de memorie exagerat de mare, iar programul de calcul ar fi neperformant și nu ar permite prelucrarea datelor în timp real.

2.1.2. Modelul matematic propus. Procesul de tip Markov de ordinul II

2.1.2.1. Descriere generală. Ipoteze de valabilitate

Din considerațiile făcute rezultă că pentru a putea caracteriza totuși gradul de corelare a realizărilor succesive ale procesului aleator, trebuie adoptat ca model matematic procesul de tip Markov cu "memorie", deci cu considerarea unor probabilități de trecere de ordin superior. În urma unei evaluări a volumului de date necesare a fi stocate, în condițiile utilizării unor calculatoare de capacitate mică sau mijlocie, competitive din punct de vedere al costului, rezultă că modelul procesului de tip Markov cu considerarea probabilităților de trecere de ordinul II satisface această condiție esențială; și din punct de vedere al gradului de aproximare a proceselor reale ovasistaționare, modelul propus este adecvat, întrucât poate caracteriza istoria proceselor, având o "memorie" față de gradul de corelare a realizărilor succesive.

Considerând dubla trecere între trei stări succesive de rang $(n-2) \rightarrow (n-1) \rightarrow (n)$ independentă de realizările anterioare momentului $t = n-2$, probabilitățile de trecere se scriu:

$$P(\xi_n = j_n / \xi_{n-1} = j_{n-1}, \xi_{n-2} = j_{n-2}) = p_{j_{n-2} j_{n-1} j_n} \quad (2.35)$$

Deoarece reprezintă probabilități :

$$p_{j_{n-2} j_{n-1} j_n} \geq 0 \quad (2.36)$$

$$\sum_{j_n \in B} p_{j_{n-2} j_{n-1} j_n} = 1$$

Vectorul :

$$\bar{p}_{j_{n-2} j_{n-1}} = \{ p_{j_{n-2} j_{n-1} b_1}, p_{j_{n-2} j_{n-1} b_2}, \dots, p_{j_{n-2} j_{n-1} b_m} \} \quad (2.37)$$

reprezintă distribuția de probabilitate a trecerilor din starea $j_{n-1} = j_{n-1}$ în starea $\xi_n = j_n \in B$, dacă la trecerea anterioară s-a realizat tranziția din starea $\xi_{n-2} = j_{n-2}$ în starea $j_{n-1} = j_{n-1}$.

Numărul posibil al stărilor în spațiul discret $B = \{b_1, b_2, \dots, b_m\}$ corespunde numărului de clase m în care se subdivide pla-ja de variație a spectrului extensometric în vederea clasării digitale.

La modelarea proceselor de solicitare prin procesul de tip Markov trebuie să se țină seama de încă o mărime de stare : tipul extremului. Această mărime de stare asociată este deterministă și caracterizează succesiunea extremelor $MIN \rightarrow MAX \rightarrow MIN \dots$. Notînd această mărime de stare prin variabila de tip logic

$$\eta_n = A_n ; A_n \in A = \{MIN, MAX\}$$

rezultă :

$$P(\eta_n = A_n / \eta_{n-1} = A_{n-1}) = \begin{cases} 1 & \text{dacă } A_n = \bar{A}_{n-1} \\ 0 & \text{dacă } A_n = A_{n-1} \end{cases} \quad (2.38)$$

Stările succesive prin care trece procesul se caracterizează deci prin două mărimi de stare :

$$\xi_n = j_n \quad - \text{valoarea (nivelul) extremului, } j_n \in B$$

$$\eta_n = A_n \quad - \text{tipul extremului, } A_n \in A = \{MIN, MAX\}$$

Particularitatea distribuțiilor probabilităților de trecere de ordinul II între extremele succesive ale dublelor treceri

$\xi_{n-2} \rightarrow \xi_{n-1} \rightarrow \xi_n$ constă în faptul că :

- pentru o dublă trecere $MIN \rightarrow MAX \rightarrow MIN$ ($\eta_{n-2} = MIN$) :

$$P(\xi_n = j_n / \xi_{n-1} = j_{n-1}, \xi_{n-2} = j_{n-2}) \begin{cases} = 0 & (j_{n-2} > j_{n-1}) \cup (j_{n-1} < j_n) \\ \geq 0 & (j_{n-2} < j_{n-1}) \cap (j_{n-1} > j_n) \end{cases} \quad (2.39 \text{ a})$$

- pentru o dublă trecere $MAX \rightarrow MIN \rightarrow MAX$ ($\eta_{n-2} = MAX$) :

$$P(\xi_n = j_n / \xi_{n-1} = j_{n-1}, \xi_{n-2} = j_{n-2}) \begin{cases} = 0 & (j_{n-2} < j_{n-1}) \cup (j_{n-1} > j_n) \\ \geq 0 & (j_{n-2} > j_{n-1}) \cap (j_{n-1} < j_n) \end{cases} \quad (2.39 \text{ b})$$

Aceste relații arată că datorită condițiilor de compatibilitate a succesiunii extremelor (valoarea unui maxim este întotdeauna mai mare, cel mult egală cu cea a minimumului următor), apar stări inaccesibile în cadrul dublelor treceri - fig.2.5.

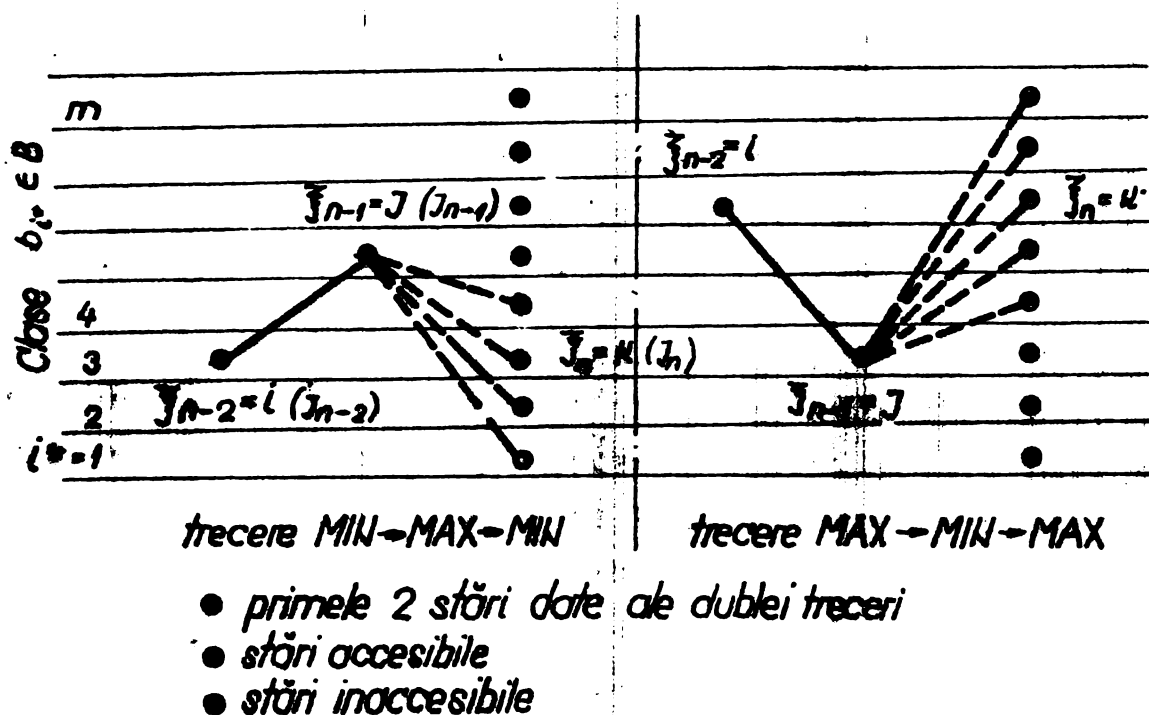


Fig.2.5. - Stări inaccesibile în cadrul dublelor treceri între extreme succesive

Inegalitățile care definesc condițiile de compatibilitate nu pot conține semnul de egalitate, dacă la analiză se neglijează extremele succesive de tip diferit care se situează în aceeași clasă.

În afară de aceste stări inaccesibile, existente a priori datorită condițiilor de compatibilitate a succesiunii extremelor, pot apărea și alte stări inaccesibile datorită structurii statistice particulare a procesului aleator modelat. Într-o accepțiune generală, pentru un proces aleator fără aceste restricții, toate stările ansamblului B sînt teoretic accesibile, adică aparțin aceluiași clase de echivalență, deoarece există întotdeauna un număr întreg $s > 0$ astfel încît probabilitatea de trecere dintr-o stare $j_n = j_n$ într-o stare $j_{n+s} = j_{n+s}$ să fie pozitivă. În particular $s > 1$, deoarece pentru $s = 1$ sînt inaccesibile acele stări care nu satisfac condițiile de compatibilitate a succesiunii extremelor.

2.1.2.2. Modul de reprezentare a informațiilor asupra structurii statistice a procesului

Structura statistică a procesului de tip Markov cu considerarea probabilităților de trecere de ordinul II este complet caracterizată prin m^2 vectori de forma dată de rel.(2.37), care reprezintă distribuții de probabilitate având cel mult m valori discrete.

Din motive de organizare a structurii informației asupra procesului la reprezentarea în calculatorul numeric în cadrul prelucrării automate a datelor, acești vectori pot fi aranjați într-o distribuție spațială, având ca bază o matrice "masoă" pătratică cu m^2 elemente ; pe fiecare element determinat univoc prin coordonatele sale (j_{n-2}, j_{n-1}) , este situat vectorul corespunzător $\bar{p}_{j_{n-2} j_{n-1}}$, după direcția celei de-a treia coordonate ortogonale j_n - fig. 2.6.

Diagonala principală a matricii "masoă" corespunde unor vectori de probabilitate având elementele identice ou zero :

$$\bar{p}_{j_{n-2} j_{n-1}} \equiv \{0\} \quad , \quad j_{n-2} = j_{n-1}$$

dacă la clasare nu se iau în considerație succesiunile de extreme încadrate în aceeași clasă i^* .

În matricea "masoă", elementele situate deasupra diagonalei principale $(j_{n-2} > j_{n-1})$ reprezintă duble treceri, la care prima trecere este de tip MAX \rightarrow MIN. Vectorii așezați pe aceste elemente reprezintă distribuția de probabilitate a trecerii la ultima stare a dublei treceri. $(j_n = j_n \in B; \eta_n = MAX)$, deci o trecere de tip MIN \rightarrow MAX, dacă prima trecere $j_{n-2} \rightarrow j_{n-1}$ este fixată.

Similar, elementele situate dedesubtul diagonalei principale $(j_{n-2} < j_{n-1})$ reprezintă duble treceri, la care prima trecere este de tip MIN \rightarrow MAX. Vectorii așezați pe aceste elemente reprezintă distribuția de probabilitate a trecerii la ultima stare a dublei treceri $(j_n = j_n \in B; \eta_n = MIN)$, deci o trecere de tip MAX \rightarrow MIN, dacă prima trecere $j_{n-2} \rightarrow j_{n-1}$ este fixată.

Formal, distribuția spațială a vectorilor poate fi descompusă într-o superpoziție de m matrici prin secționarea cu plane paralele ou matricea "masoă", la distanțele $j_n = 1, 2, \dots, m-1$; fiecare matrice rezultată este o matrice stocastică, ale oărei elemente reprezintă probabilitățile : $\bar{P}(j_{n-2} = j_{n-2}, j_{n-1} = j_{n-1} / j_n = j_n)$

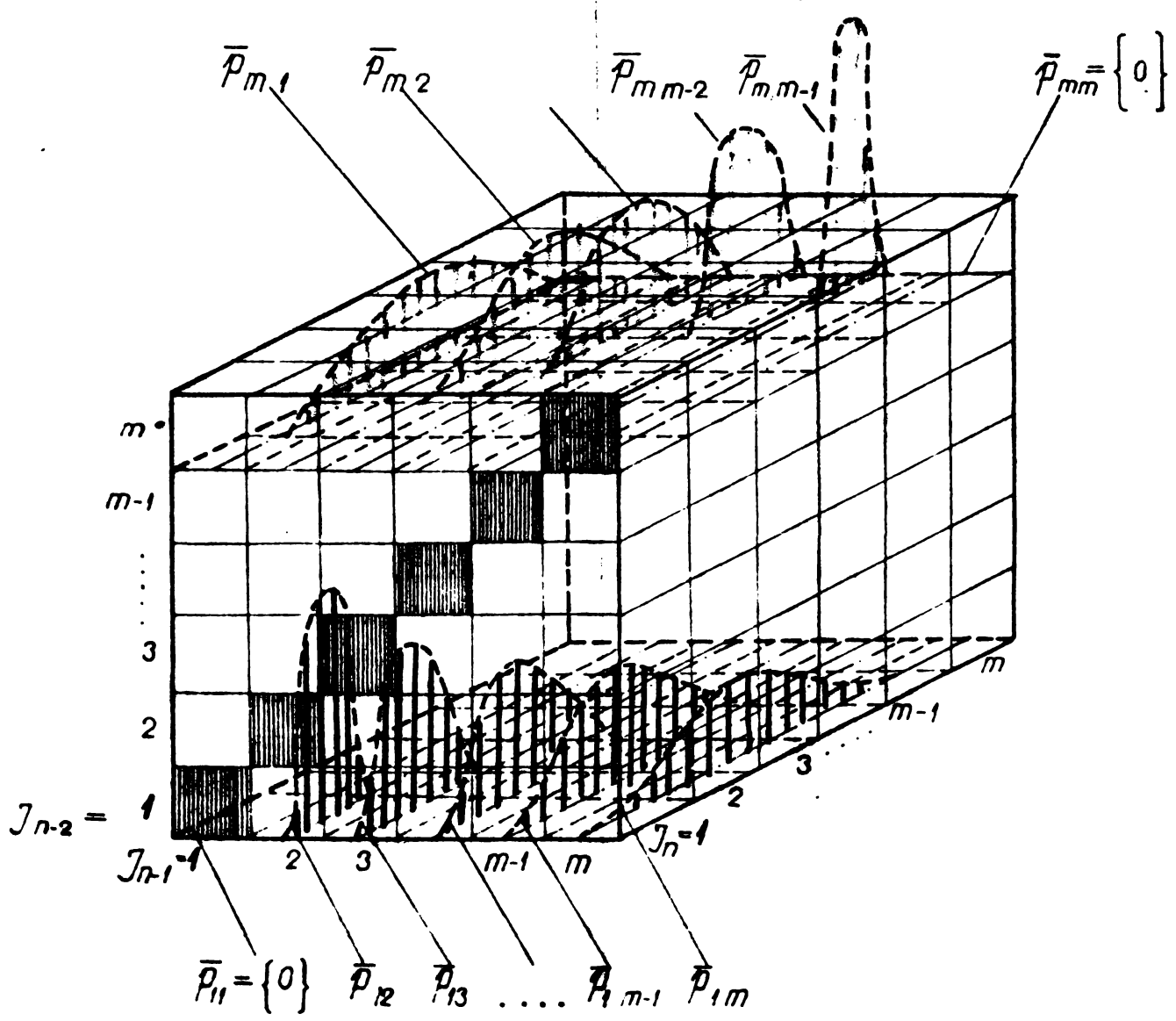
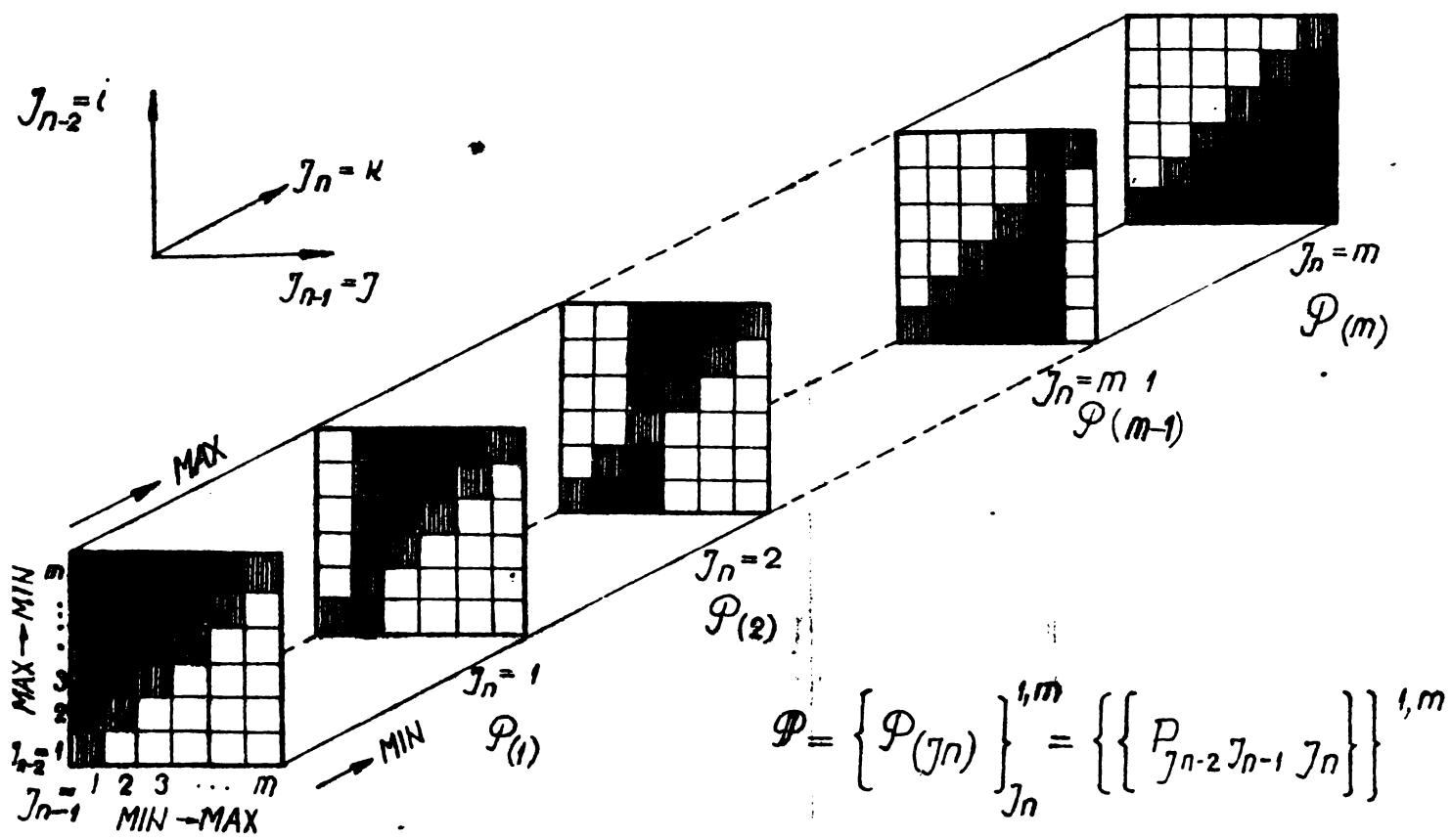


Fig.2.6 Matricile multiple și reprezentarea spațială a probabilităților de ordinul II

unde j_n (fixat) reprezintă numărul de ordine al matricei.

Corelat cu aceste două accepțiuni echivalente (a reprezentării vectorilor de probabilitate respectiv a reprezentării matriciilor multiple) se introduc simbolurile :

$$\mathcal{P} = \{ \mathcal{P}(j_n) \}^{1,m} = \{ \{ P_{j_{n-2} j_{n-1}; j_n} \} \}^{1,m} \iff \{ \bar{P}_{j_{n-2} j_{n-1}} \}^{1,m} \quad (2.40)$$

\mathcal{P} - este simbolul ansamblului spațial al tuturor probabilităților de trecere de ordinul II

$$\{ \mathcal{P}(j_n) \}^{1,m}$$

- simbolul ansamblului oelor m matrici stohastice $\mathcal{P}(j_n)$;
 $j_n = 1, \dots, m$

$$\{ \{ P_{j_{n-2} j_{n-1}; j_n} \} \}^{1,m}$$

- simbolul ansamblului oelor m^3 elemente de probabilitate $P_{j_{n-2} j_{n-1}; j_n}$;
 $j_{n-2}, j_{n-1}, j_n = 1, \dots, m$

$$\{ \bar{P}_{j_{n-2} j_{n-1}} \}^{1,m}$$

- simbolul ansamblului oelor m^2 vectori de probabilitate $\bar{P}_{j_{n-2} j_{n-1}}$;
 $j_{n-2}, j_{n-1} = 1, \dots, m$

In matriciile multiple din fig.2.6 sînt colorate elementele a căror probabilitate este identică cu zero datorită condiției de compatibilitate a succesiunii extremelor, în ipoteza că procesul modelat nu introduce restricții suplimentare privind accesibilitatea altor stări.

2.1.3. Compatibilitatea modelului propus cu procesele aleatoare cu creșteri independente

Modelul matematic propus este compatibil cu descrierea proceselor aleatoare cu creșteri independente, deoarece procesul de tip Markov de ordinul II este o generalizare a procesului de tip Markov de ordinul I, acceptat ca model al unor procese aleatoare fără memorie.

Legătura între modul de reprezentare a structurii statistice a unui proces cu creșteri independente și modelul general

zat se poate stabili pornind de la relațiile CHAPMAN-KOLMOGOROV:

$$\begin{aligned}
 p_{j_r; j_{r+n+m}}^{(n+m)} &= \sum_{j_{r+n} \in B} p_{j_r; j_{r+n}}^{(n)} \cdot p_{j_{r+n}; j_{r+n+m}}^{(m)} \\
 p_{j_r; j_{r+n}}^{(n)} &= P(\xi_{r+n} = j_{r+n} / \xi_r = j_r), \quad r > 0
 \end{aligned}
 \tag{2.41}$$

reprezentînd probabilitățile de trecere după (x) pași pentru un proces de tip Markov de ordinul I cu creșteri independente.

Particularizate pentru trecerea după 2 pași, cu notațiile utilizate, rezultă :

$$p_{j_{n-2}; j_n}^{(2)} = \sum_{j_{n-1} \in B} p_{j_{n-2}; j_{n-1}} \cdot p_{j_{n-1}; j_n} = \sum_{j_{n-1} \in B} p_{j_{n-2} j_{n-1}; j_n}
 \tag{2.42}$$

în care $p_{j_{n-2}; j_{n-1}}$ și $p_{j_{n-1}; j_n}$ reprezintă probabilitățile de trecere de ordinul I (între stările $j_{n-2} = j_{n-2} \rightarrow j_{n-1} = j_{n-1}$ respectiv $j_{n-1} = j_{n-1} \rightarrow j_n = j_n$); datorită condițiilor de compatibilitate, însumarea în raport cu $j_{n-1} \in B$ este restrînsă la:

$j_{n-1} = 1, \dots, j_{n-2}-1$ pentru o trecere MAX \rightarrow MIN \rightarrow MAX

respectiv

$j_{n-1} = j_{n-2}+1, \dots, m$ pentru o trecere MIN \rightarrow MAX \rightarrow MIN

În a doua egalitate a rel.(2.42) însumarea probabilităților de trecere de ordinul II, $p_{j_{n-2} j_{n-1}; j_n}$, se face în raport cu starea intermediară $j_{n-1} = j_{n-1}$, care nu interesează, fiind luate în considerație nu duble treceri prin 3 stări succesive impuse, ci trecerea, după 2 pași, dintr-o stare dată $j_{n-2} = j_{n-2}$ într-o altă stare dată $j_n = j_n$.

În scriere matricială rezultă :

$$\mathcal{P}^{(2)} = \left\{ p_{j_{n-2}; j_n} \right\}^{1, m} = (\mathcal{P})^2 = \mathcal{P}_2
 \tag{2.43}$$

în care \mathcal{P} reprezintă matricea stohastică ale cărei elemente reprezintă probabilitățile de trecere de ordinul I; această matrice ridicată la pătrat este egală cu matricea $\mathcal{P}^{(2)}$ a probabilităților de trecere după 2 pași, respectiv cu matricea \mathcal{P}_2 obținută prin însumarea, după $j_{n-1} \in B$ a probabilităților de trecere de ordinul II.

Fiind dată distribuția probabilităților de ordinul II din care se deduce \mathcal{P}_2 , elementele matricii \mathcal{P} , notate cu

$p_{j_{n-1}; j_n}$, rezultă prin rezolvarea unui sistem care conține formal m^2 ecuații algebrice de forma :

$$\left\{ \begin{array}{l} p_{11} \cdot p_{11} + p_{12} \cdot p_{21} + \dots + p_{1m} \cdot p_{m1} = \sum_{j \in B} p_{1j1} \\ p_{11} \cdot p_{12} + p_{12} \cdot p_{22} + \dots + p_{1m} \cdot p_{m2} = \sum_{j \in B} p_{1j2} \\ \vdots \\ p_{11} \cdot p_{1m} + p_{12} \cdot p_{2m} + \dots + p_{1m} \cdot p_{mm} = \sum_{j \in B} p_{1jm} \\ \hline p_{21} \cdot p_{11} + p_{22} \cdot p_{21} + \dots + p_{2m} \cdot p_{m1} = \sum_{j \in B} p_{2j1} \\ p_{21} \cdot p_{12} + p_{22} \cdot p_{22} + \dots + p_{2m} \cdot p_{m2} = \sum_{j \in B} p_{2j2} \\ \vdots \\ p_{21} \cdot p_{1m} + p_{22} \cdot p_{2m} + \dots + p_{2m} \cdot p_{mm} = \sum_{j \in B} p_{2jm} \\ \hline \vdots \\ \hline p_{m1} \cdot p_{11} + p_{m2} \cdot p_{21} + \dots + p_{mm} \cdot p_{m1} = \sum_{j \in B} p_{mj1} \\ p_{m1} \cdot p_{12} + p_{m2} \cdot p_{22} + \dots + p_{mm} \cdot p_{m2} = \sum_{j \in B} p_{mj2} \\ \vdots \\ p_{m1} \cdot p_{1m} + p_{m2} \cdot p_{2m} + \dots + p_{mm} \cdot p_{mm} = \sum_{j \in B} p_{mj m} \end{array} \right.$$

(2.44)

la care se mai adaugă condițiile :

$$\left\{ \begin{array}{l} p_{11} + p_{12} + \dots + p_{1m} = 1 \\ p_{21} + p_{22} + \dots + p_{2m} = 1 \\ \vdots \\ p_{m1} + p_{m2} + \dots + p_{mm} = 1 \end{array} \right.$$

(2.45)

rezultate din faptul că elementele $p_{j_{n-1}; j_n}$, pentru j_{n-1} fixat și $j_n \in B$ reprezintă o distribuție de probabilitate.

De fapt, ținând seama că mărimii de stare ξ_{n-1} i se asociază mărimea η_{n-1} , există 2 matrici distincte: cea a trecerilor de tip $\eta_{n-1} = A_{n-1} = MAX$ și cea a trecerilor de tip $\eta_{n-1} = A_{n-1} = MIN$. Deși numărul ecuațiilor se dublează, rezolvarea sistemului este simplificată, deoarece :

- în sistemul de ecuații scris pentru $\eta_{n-1} = MAX$, toate ecuațiile care conțin indicii stării $\xi_n = j_n = m$ devin identități ($= 0$) și se anulează toți termenii :

$$\begin{array}{l} p_{j_{n-2}; j_{n-1}} = 0, \quad j_{n-2} \geq j_{n-1} \\ p_{j_{n-1}; j_n} = 0, \quad j_{n-1} \leq j_n \end{array}$$

în sistemul de ecuații scris pentru $\eta_{n-1} = MIN$, toate ecuațiile care conțin indicoele stării $\xi_n = j_n = 1$ devin identități ($\equiv 0$) și se anulează toți termenii:

$$p_{j_{n-2}; j_{n-1}} = 0, \quad j_{n-2} \leq j_{n-1}$$

$$p_{j_{n-1}; j_n} = 0, \quad j_{n-1} \geq j_n$$

Prin rezolvarea celor două sisteme de ecuații rezultă două matrici: matricea reprezentând trecerile MAX \rightarrow MIN, avînd toate elementele sub diagonala principală egale cu zero și matricea reprezentînd trecerile MIN \rightarrow MAX, avînd toate elementele deasupra diagonalei principale egale cu zero. Datorită caracterului determinist al mării de stare η care caracterizează tipul extreme-lor succesive, cele 2 matrici distincte se pot condensa într-o singură matrice stohastică similară cu matricea "mască" a reprezentării spațiale. Această matrice conține probabilitățile de trecere de ordinul I: $p_{j_{n-1}; j_n} = P(\xi_n = j_n / \xi_{n-1} = j_{n-1})$ pentru trecerea curentă de rangul n, indiferent de tipul trecerii.

Deasupra diagonalei principale sînt situate probabilitățile de realizare a trecerilor MAX \rightarrow MIN ($j_{n-1} > j_n$) iar dedesubtul diagonalei principale sînt situate probabilitățile de realizare a trecerilor MIN \rightarrow MAX ($j_{n-1} < j_n$) - fig. 2.7.

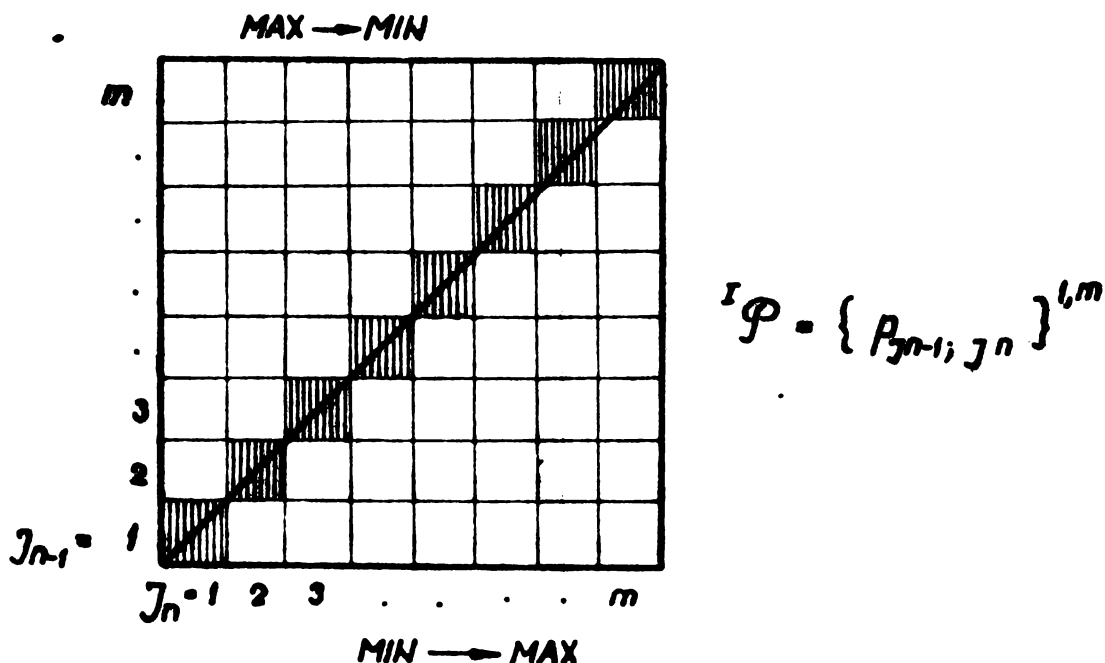


Fig.2.7. - Matricea stohastică a probabilităților de trecere de ordinul I. (proces cu creșteri independente)

2.2. Considerații operaționale. Corelarea metodei de clasare cu modelul matematic al analizei

Ca primă etapă a analizei bazate pe modelul procesului de tip Markov de ordinul II, se stabilește pe oale experimentală reprezentarea spațială a probabilităților de trecere de ordinul II; matricile multiple \mathcal{P} desoriu structura statistică globală a procesului aleator și permit determinarea, într-o a doua etapă a analizei, a unor caracteristici statistice sintetice.

În vederea obținerii modelului matematic al procesului aleator original s-a elaborat o metodă originală de clasare digitală biparametrică dublu corelată. Clasarea digitală urmărește detectația extremelor și încadrarea lor în clasele în care s-a subdivizat plaja de variație a spectrului aleator analogic. Stocarea informației asupra succesiunii extremelor se face dublu corelat, prin clasarea frecvențelor de realizare a unor duble treceri între 3 stări succesive.

În vederea unei tratări mai operante a modelului propus și a punerii în concordanță cu algoritmul clasării, compatibil cu programarea pe calculatorul numeric, ansamblul stărilor discrete se echivalează cu ansamblul claselor acceptate la clasarea digitală, clasele fiind identificate prin indicii curent i^* :

$$B = \{ b_1, b_2, \dots, b_m \} \iff I^* = \{ 1, 2, \dots, i^*, \dots, m \} \quad (2.46)$$

Indicele de clasă se corelează direct cu valoarea numerică a nivelului central al clasei, prin intermediul valorii intervalului de clasă.

În raport cu extremul curent de rang n , detectat și încadrat prin clasare, se definește dubla trecere, constituită din cele 2 treceri simple de rang $(n-1)$ și (n) între stările :

$$j_{n-2} \xrightarrow{(n-1)} j_{n-1} \xrightarrow{(n)} j_n$$

Valorile, respectiv indicii de clasă ale celor 3 stări succesive ale dublei treceri curente se notează cu :

$$\left\{ \begin{array}{l} j_{n-2} = j_{n-2} = i \\ j_{n-1} = j_{n-1} = j \\ j_n = j_n = k \end{array} \right. \quad i, j, k \in I^* \quad (2.47)$$

Informația asupra probabilității de trecere de ordinul II se stochează într-un număr de m^3 contoare N_{ijk} , $ijk=1, \dots, m$. Inițial, înaintea începerii clasării, aceste contoare sînt inițializate la zero :

$$N_{ijk} = 0, \quad ijk = 1, \dots, m$$

La clasarea extremului de rang n ($n = 1, 2, \dots$) în funcție de indicii de clasă ale extremelor dublei treceri curente

$\xi_{n-2} = i \rightarrow \xi_{n-1} = j \rightarrow \xi_n = k$ se înregistrează această realizare în contorul cu indicii corespunzători :

$$N_{ijk} \rightarrow N_{ijk} + 1$$

La sfîrșitul clasării, contoarele vor conține frecvențele absolute ale dublelor treceri realizate, ca date primare ale analizei - fig. 2.8

Ca mod de structurare a datelor primare, se acceptă o reprezentare spațială similară cu cea a probabilităților de trecere de ordinul II ; această similitudine a reprezentărilor conduce la o utilizare optimă a spațiului de memorie la prelucrarea datelor pe calculator, permițînd transpunerea succesivă a reprezentărilor frecvențelor absolute în probabilități, într-un tablou de lucru ocupînd locații de memorii inițial alocate pentru reprezentarea: $\mathcal{P} = \{\{ N_{ijk} \}\}^{4,m}$. În fig.2.9 se indică organigrama generală a aplicării clasării digitale și stabilirii frecvențelor absolute ale dublelor treceri.

Distribuțiile empirice ale probabilităților de trecere de ordinul II se deduc din reprezentarea $\mathcal{P} = \{\{ N_{ijk} \}\}^{4,m}$ sub forma unor frecvențe relative, care la limită sînt :

$$p_{ijk} = \lim_{m \rightarrow \infty} \frac{N_{ijk}}{\sum_{k=1}^m N_{ijk}} \quad (2.48)$$

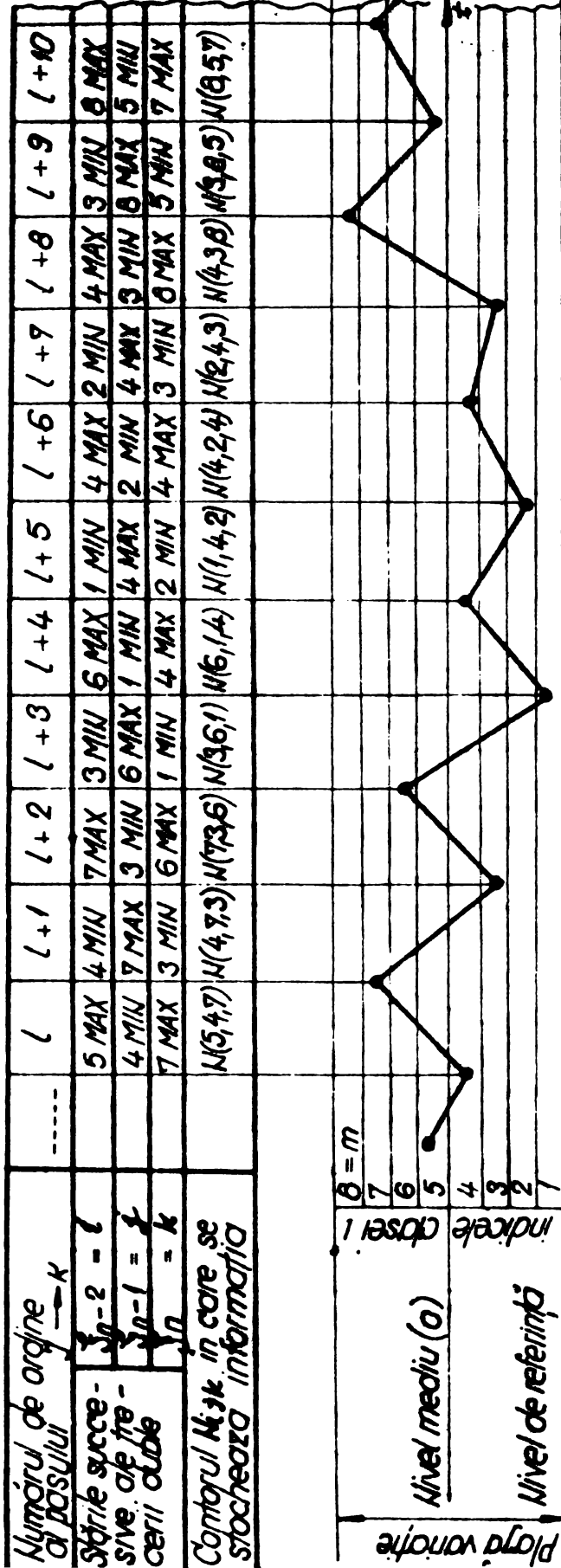
deoarece N_{ijk} , pentru i și j fixați, k variabil reprezintă distribuția empirică a trecerilor condiționate, la pasul $\xi_{n-1} = j \rightarrow \xi_n = k$, dacî la pasul anterior s-a realizat trecerea $\xi_{n-2} = i \rightarrow \xi_{n-1} = j$.

Probabilitățile de trecere de ordinul I, în ipoteza unui proces cu creșteri independente, rezultă la limită

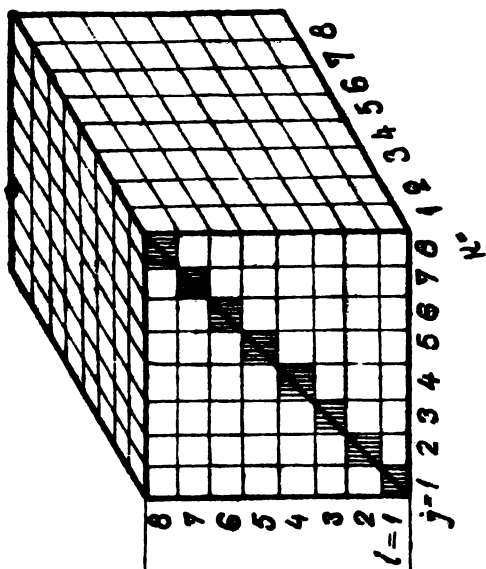
$$p_{ij} = \frac{\sum_{k=1}^m N_{ijk}}{\sum_{j=1}^m \left(\sum_{k=1}^m N_{ijk} \right)} \quad (2.49)$$

Fig. 2.8

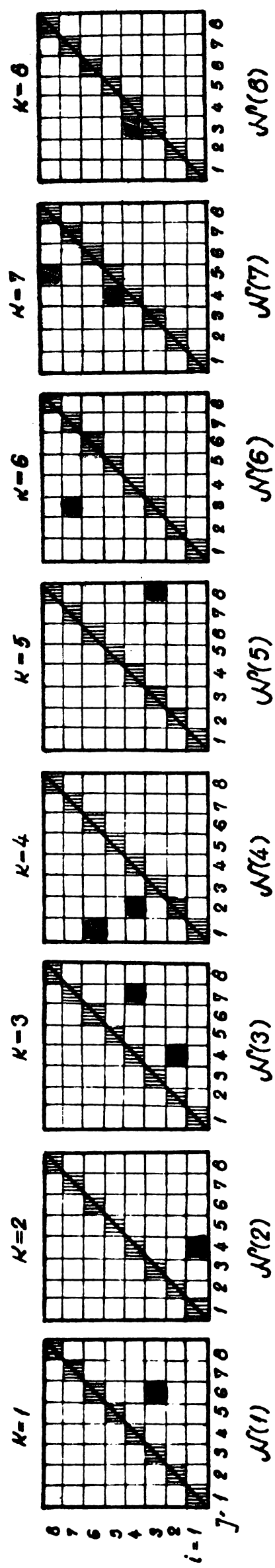
Modul de clasare a extremelor și stabilirea/stocarea frecvențelor dublelor treceri MIN-MAX și MAX-MIN-MAX



$$\mathcal{N}^m = \{ \mathcal{N}^m(k) \} = \{ \{ N_{ijk} \} \}$$



Successiune de extreme (rezultat din spectrul extensometric prin reducția analog/digitală a datelor primare)



Decompunerea reprezentării spațiale \mathcal{N}^m în matricile suprapuse $\mathcal{N}^m(k)$

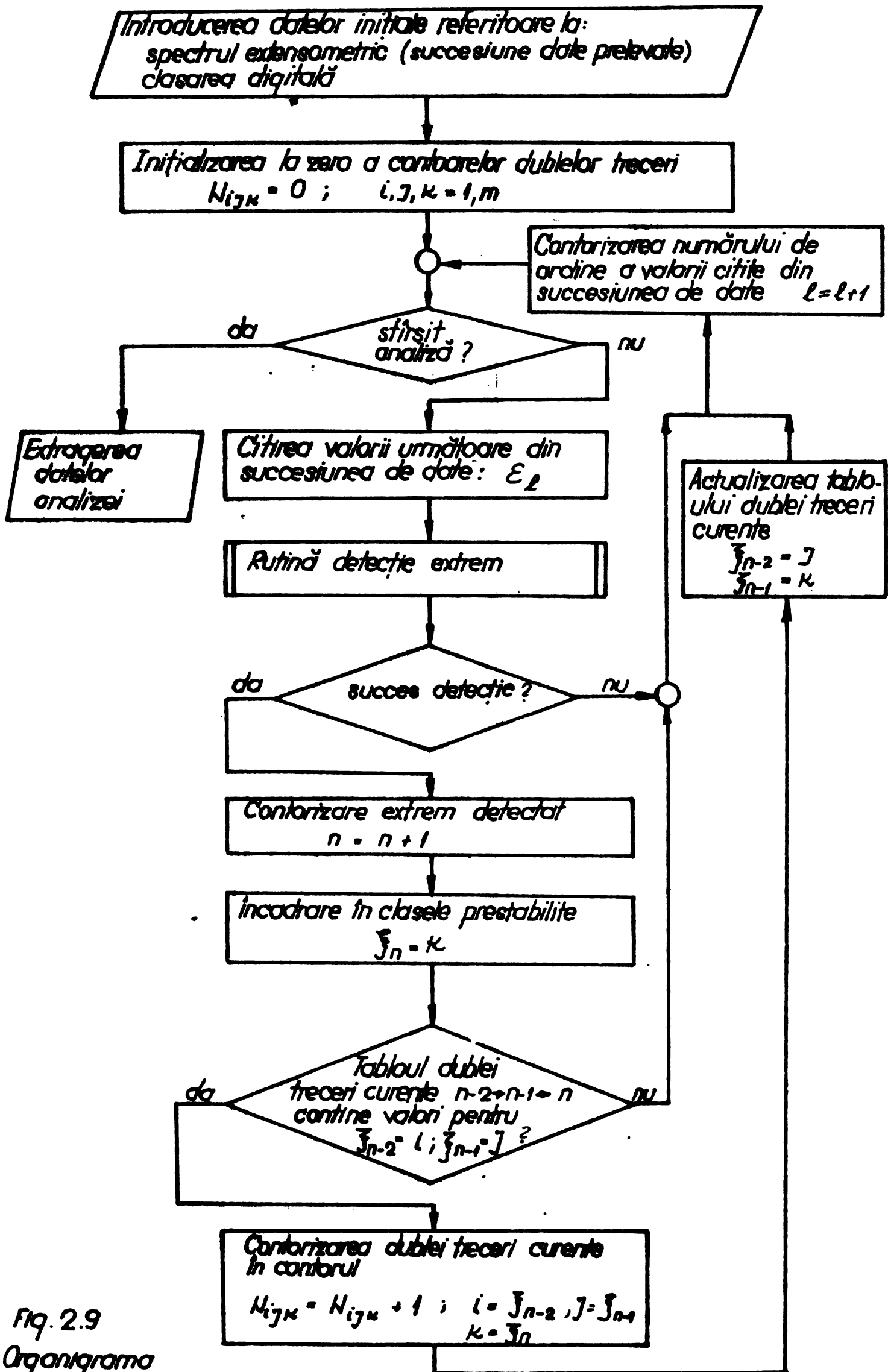


Fig. 2.9
Organigrama
analizei (clasare)

deoarece $\sum_{k=1}^m N_{ijk}$ reprezintă frecvența absolută a trecerilor simple $\xi_{n-2} = i \rightarrow \xi_{n-1} = j$, indiferent de trecerea următoare realizată $\xi_{n-1} = j \rightarrow \xi_n = k$; frecvențele $\sum_{k=1}^m N_{ijk}$, pentru i fixat și $j = 1, \dots, m$ variabil reprezintă distribuția empirică a trecerilor posibile din starea $\xi_{n-2} = i$ într-una din stările $\xi_{n-1} = j = \text{variabil}$.

2.3. Conținutul informațional al rezultatelor analizei. Comparație cu metodele de clasare existente.

Metoda propusă de clasare biparametrică dublu corelată, în conjuncție cu modelul procesului aleator de tip Markov sau considerarea probabilităților de trecere de ordinul II, este superioară metodelor de clasare uzuale mono- și biparametrice prin conservarea unui volum de informații sporit, prin care se asigură :

- caracterizarea mai completă a structurii statistice a procesului în domeniul amplitudinilor ;
- reeditarea istoriei procesului în ipoteza ovasistaționară (proces cu creșteri dependente) ;
- descrierea globală a componentei spectrale a procesului.

Metoda propusă prezintă avantajul că este compatibilă cu metodele de clasare uzuale, întrucât permite deducerea, prin particularizare, a tuturor datelor furnizate de aceste metode.

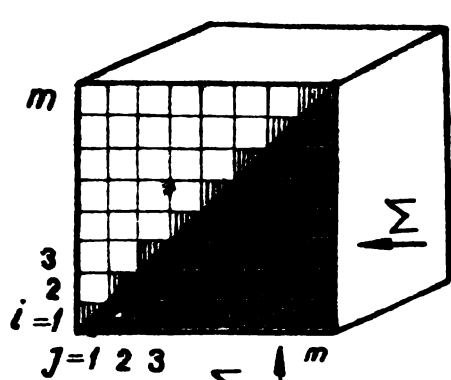
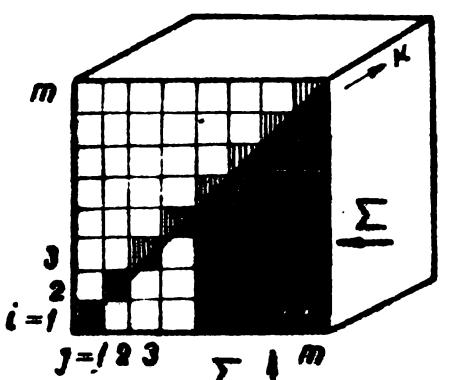
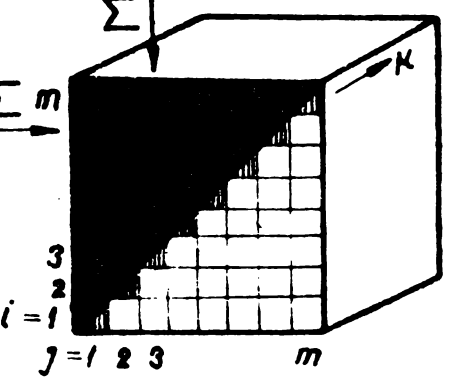
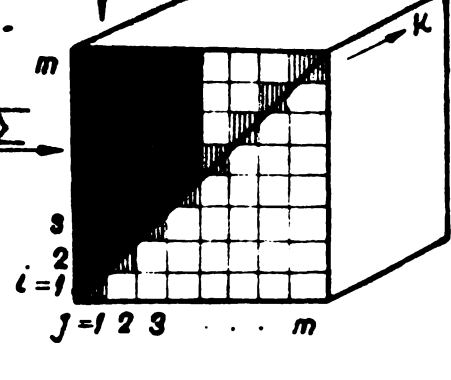
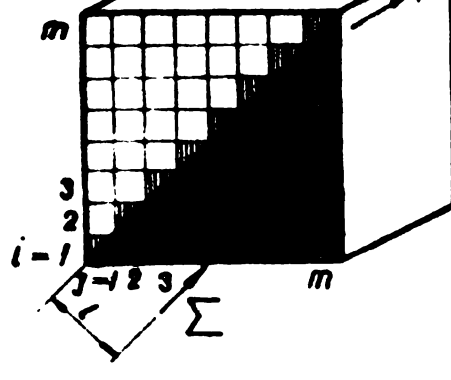
Comparația dintre conținutul informațional rezultat prin aplicarea metodelor de clasare uzuale și cel rezultat prin aplicarea metodei de clasare biparametrice dublu corelate apare intuitiv prin aria acoperită de datele clasării uzuale raportată la reprezentarea spațială $\mathcal{N}^p = \{\{N_{ijk}\}\}^m$ - tabelul 2.1.

Trebuie menționat însă că datele clasării monoparametrice sau biparametrice necorelate, deși acoperă arii parțiale în matricea "mască" a reprezentării spațiale, se obțin de fapt sub forma uneia sau a două distribuții monoparametrice, prin care se pierde chiar și succesiunea de ordinul I a extremelor.

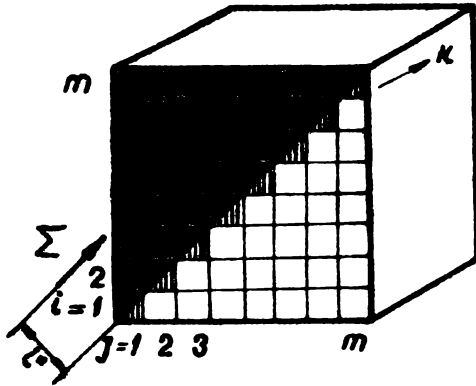
Rezultatele clasării biparametrice corelate reprezintă matricea stohastică a probabilităților de trecere de ordinul I, echivalentă ca volum informațional cu reprezentarea spa-

Comparație între volumul de informații conservate prin metodele de clase uzuale și reprezentarea dublelor treceri

Nr. crt	Metoda de clasare	Volumul de informații conservate în raport cu reprezentarea dublelor treceri	Relații pentru calculul frecvenței de clasă a parametrului clasat	Observații
1	Extreme Varianta valori maxime		$h_{\max i^*} = \sum_{i=1}^{i^*-1} \left(\sum_{k=1}^m N_{ij\kappa} \right)$ $i^* = 2, \dots, m$	<p>$h_{\max i^*}$ - frecvența absolută a valorilor maxime încadrate în clasa $i^* > 1$.</p> <p>Se aplică în general la procese nesimetrice.</p>
2	Extreme Varianta valori maxime pozitive		$h_{\max i^*}^+ = \sum_{i=1}^{i^*-1} \left(\sum_{k=1}^m N_{ij\kappa} \right)$ $i^* = \frac{m}{2} + 1, \dots, m$	<p>$h_{\max i^*}^+$ - frecvența absolută a valorilor maxime pozitive încadrate în clasa $i^* > \frac{m}{2}$ (numai clase pozitive).</p> <p>Se aplică la procese simetrice.</p>
3	Extreme Varianta valori minime		$h_{\min i^*} = \sum_{i=i^*-1}^m \left(\sum_{k=1}^m N_{ij\kappa} \right)$ $i^* = 1, \dots, m-1$	<p>$h_{\min i^*}$ - frecvența absolută a valorilor minime încadrate în clasa $i^* < m$</p> <p>Se aplică în general la procese nesimetrice (sau combinat biparametric cu valorile maxime).</p>
4	Extreme, Varianta valori minime negative		$h_{\min i^*}^- = \sum_{i=i^*-1}^m \left(\sum_{k=1}^m N_{ij\kappa} \right)$ $i^* = 1, \dots, \frac{m}{2}$	<p>$h_{\min i^*}^-$ - frecvența absolută a valorilor minime negative încadrate în clasa $i^* < \frac{m}{2}$ (numai clase negative).</p> <p>Se aplică la procese simetrice (sau combinat biparametric cu valorile maxime pozitive).</p>

<p>5</p> <p>Depășirea nivelelor Varianta depășiri în sens pozitiv</p>		$H_{ij}^{i^*+1} = \sum_{j=i^*+1}^m \sum_{i=1}^{i^*} \left(\sum_{k=1}^m N_{ijk} \right)$ $i^* = 1, \dots, m-1$	<p>$H_{ij}^{i^*+1}$ - frecvența absolută cumulată a depășirilor în sens pozitiv a nivelului ce departajează clasele i^* și i^*+1. Se clasează în clasa i^*+1. Condiția de realizare $(MIN_n \leq i^*) \cap (MAX_{m1} > i^*)$</p>
<p>6</p> <p>Depășirea nivelelor Varianta depășiri în sens pozitiv a nivelelor pozitive</p>		$H_{ij}^{i^*+1} = \sum_{j=i^*+1}^m \sum_{i=1}^{i^*} \left(\sum_{k=1}^m N_{ijk} \right)$ $i^* = \frac{m}{2}, \dots, m-1$	<p>Trecerea prin nivelul „zero” (mediu) care departajează clasele $\frac{m}{2}$ și $\frac{m}{2}+1$ Se consideră pozitivă și se clasează în clasa $\frac{m}{2}+1$</p>
<p>7</p> <p>Depășirea nivelelor Varianta depășiri în sens negativ</p>		$H_{ij}^{i^*-1} = \sum_{j=1}^{i^*-1} \sum_{i=i^*}^m \left(\sum_{k=1}^m N_{ijk} \right)$ $i^* = 2, \dots, m$	<p>$H_{ij}^{i^*-1}$ - frecvența absolută cumulată a depășirilor în sens negativ a nivelului ce departajează clasele i^* și i^*-1. Se clasează în clasa i^*-1. Condiția de realizare $(MAX_n > i^*) \cap (MIN_{n+1} < i^*)$</p>
<p>8</p> <p>Depășirea nivelelor Varianta depășiri în sens negativ a nivelelor negative</p>		$H_{ij}^{i^*-1} = \sum_{j=1}^{i^*-1} \sum_{i=i^*}^m \left(\sum_{k=1}^m N_{ijk} \right)$ $i^* = 2, \dots, \frac{m}{2} + 1$	<p>Trecerea prin nivelul „zero” (mediu) care departajează clasele $\frac{m}{2}+1$ și $\frac{m}{2}$ se consideră negativă și se clasează în clasa $\frac{m}{2}$</p>
<p>9</p> <p>Variații interextreme Varianta variații în sens pozitiv</p>		$h_{intex}^{i^*} = \sum_{i=1}^{i^*} \sum_{j=i+1}^m \left(\sum_{k=1}^m N_{ijk} \right)$ $i^* = 2, \dots, m$	<p>$h_{intex}^{i^*}$ - frecvența absolută a trecerilor MIN → MAX CU variația interextremă $j-i=i^*$ constant Este clasarea „rain-flow”, la care parametrul este $\epsilon_{amp} = \frac{1}{2} \epsilon_{intex}$</p>

10
 Variații interextreme.
 Varianta variații în sens negativ

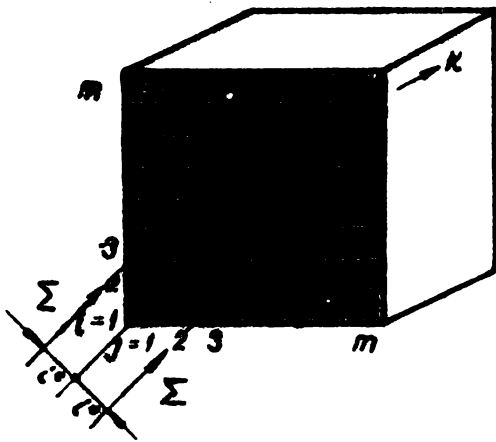


$$h_{intex\ l^*}^- = \sum_{i=l^*+1}^m \left(\sum_{k=1}^m N_{ijk} \right)$$

$h_{intex\ l^*}^-$ - frecvența absolută a trecerilor MAX → MIN cu variația interextremă
 $|j-i| = l^* = \text{const.}$
 Este clasarea „rain-flow”, la care parametrul este:

$$\mathcal{E}_{\text{ampl.}} = \frac{1}{2} \mathcal{E}_{\text{intex}}$$

11
 Variații interextreme
 Varianta perechi de variații (în sens pozitiv și negativ)

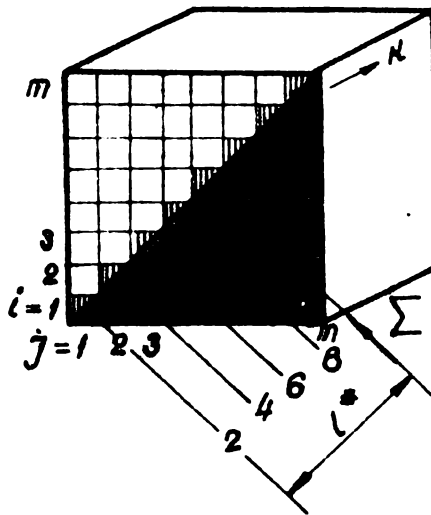


$$h_{intex\ l^*} = \frac{1}{2} (h_{intex\ l^*}^+ + h_{intex\ l^*}^-)$$

$$l^* = 1, \dots, m-1$$

Se constituie cicluri complete din combinarea a 2 variații interextreme egale și de sens opus:
 MIN → MAX → MIN
 Este clasarea „range-pair”, la care se neglijează poziția ciclului (valoarea medie instantanee)

12
 Valori medii instantanee
 Varianta pentru semicicluri în sens pozitiv



$$h_{med\ l^*}^+ = \sum_{i,j \in B} \left(\sum_{k=1}^m N_{ijk} \right)$$

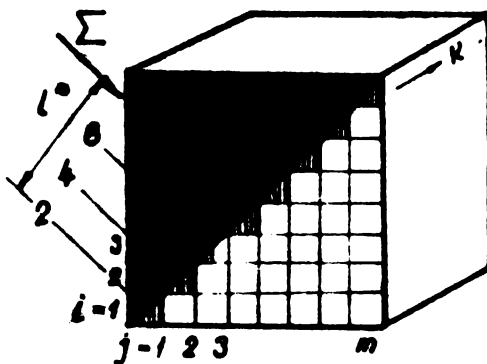
$$B = \{1, 2, \dots, m\}$$

$$\frac{i+j}{2} = \frac{l^*}{2}$$

$$i < j$$

$h_{med\ l^*}^+$ - frecvența absolută a semiciclurilor în sens pozitiv (MIN → MAX) care au valoarea medie instantanee încadrată în clasa l^* ($2 < l^* < 2m-1$) având intervalul $\mathcal{Q}_{l^*}^+ = \frac{1}{2} \mathcal{Q}_{l^*}$ și nivelul de referință deplasat cu $\frac{1}{2} \mathcal{Q}_{l^*}$ în sens negativ

13
 Valori medii instantanee
 Varianta pentru semicicluri în sens negativ



$$h_{med\ l^*}^- = \sum_{i,j \in B} \left(\sum_{k=1}^m N_{ijk} \right)$$

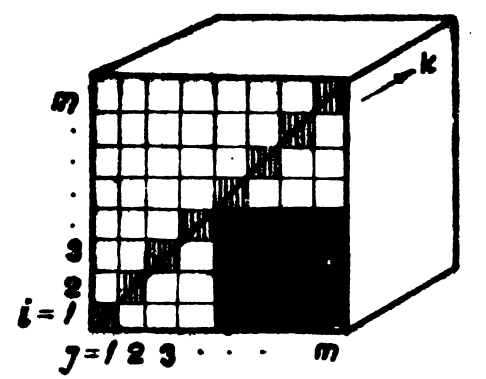
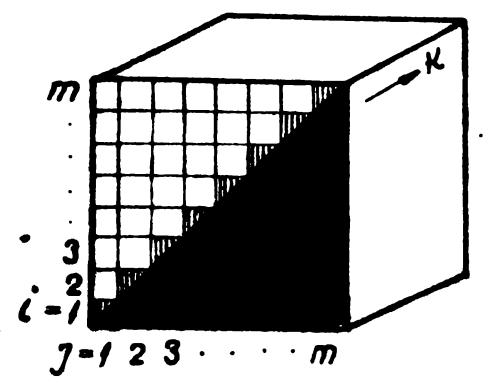
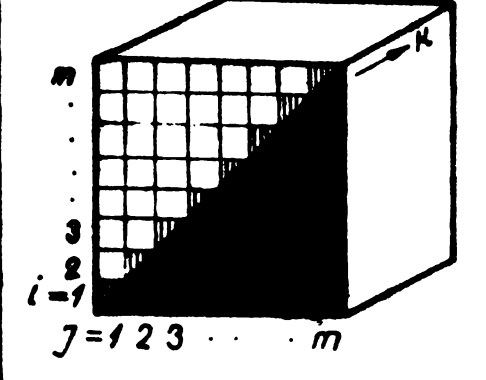
$$B = \{1, 2, \dots, m\}$$

$$\frac{i-j}{2} = \frac{l^*}{2}$$

$$i > j$$

$h_{med\ l^*}^-$ - frecvența absolută a semiciclurilor în sens negativ (MAX → MIN) care au valoarea medie instantanee încadrată în clasa l^* ($2 < l^* < 2m-1$)

Caracteristici statistice generate care se pot determina din reprezentarea dublelor treceri

#	Caracteristica	Volumul de informații ocupat în reprezentarea dublelor treceri	Relația de calcul pe baza frecvențelor dublelor treceri	Observații
1	Numărul de treceri prin valoarea medie		$N_{OT} = \sum_{j=\frac{m}{2}+1}^m \sum_{i=1}^{\frac{m}{2}} \left(\sum_{k=1}^m N_{ijk} \right)$	Se consideră doar trecerile într-un singur sens (de ex. în sens pozitiv) prin valoarea medie a plajei de variație-nivelul care departajează clasele $\frac{m}{2}$ și $\frac{m}{2} + 1$
2	Numărul total de cicluri		$N_{IT} = \sum_{j=1}^m \sum_{l=1}^{j-1} \left(\sum_{k=1}^m N_{ljk} \right)$	Pentru o înregistrare de extindere temporală T, volumul de informații este definit prin numărul de cicluri al selecției N_T . N_T este egal cu numărul de extreme (maxime sau minime).
3	Factorul de neregularitate		$I = \frac{N_{OT}}{N_{IT}} = \frac{\sum_{j=\frac{m}{2}+1}^m \sum_{l=1}^{\frac{m}{2}} \left(\sum_{k=1}^m N_{ljk} \right)}{\sum_{j=1}^m \sum_{l=1}^{j-1} \left(\sum_{k=1}^m N_{ljk} \right)}$	Factorul de neregularitate caracterizează global compoziția spectrală a procesului. La procese cu distribuție temporală normală, descrie complet distribuțiile biparametrice: $\epsilon_{max} - \epsilon_{min}$ sau $\epsilon_{amp} - \epsilon_{med}$.

țială, redusă prin neglijarea trecerilor de ordinul II, la matricea "masoă".

În tabelul 2.1 se indică legătura între datele clasării biparametrice dublu corelate și datele clasării după metode uzuale. Cîmpurile colorate în planul matricii "masoă" reprezintă informația totală condensată în distribuția oăutată a parametrului clasării. Cîmpurile hașurate reprezintă informația care prin însușare determină valoarea frecvenței de clasă a parametrului clasării.

În continuare, în tabelul 2.2 se arată modul de determinare a unor caracteristici importante ale procesului aleator :

- numărul trecerilor în sens crescător prin valoarea medie, pentru durata T a înregistrării clasate : N_{OT}
- numărul total de cicluri (de maxime sau de minime) pentru durata T a înregistrării clasate : N_{IT}
- factorul de neregularitate : I .

2.4. Evaluarea, din datele analizei, a caracteristicilor definitorii ale capacității de degradare

2.4.1. Colectivul de solicitare

În urma clasării, coroborat cu modelul matematic acceptat, rezultă o reprezentare a structurii statistice a procesului aleator în domeniul amplitudinii. Aceste date primare ale analizei sînt necesare și suficiente pentru generarea, prin procedee matematice, a unui proces aleator în aceeași structură statistică, în vederea verificării experimentale a rezistenței la solicitări variabile prin simularea condițiilor reale de exploatare.

Din punct de vedere al metodelor de verificare prin calcul a durabilității, caracteristicile definitorii ale capacității de degradare se definesc în legătură cu conceptul de colectiv de solicitare. La echivalarea procesului de solicitare real cu colectivul de solicitare subsevent se admit o serie de ipoteze simplificatoare datorită dificultăților de descriere analitică, sistematizare și tipizare și de verificare experimentală a unor elemente și subansamble tipizate ale construcțiilor de rezistență. Prin urmare, în urma analizei după modelul procesului de tip Markov rezultă un volum de informație mai mare decît necesar pentru caracte-

rizarea cantitativă a colectivului de solicitare, la nivelul metodelor de calcul actuale ; colectivul de solicitare și caracteristicile sale definitorii se stabilesc printr-o reducere a datelor.

Colectivul de solicitare este o reprezentare diacronică deterministă a structurii statistice a procesului aleator în domeniul amplitudinii și constă în distribuția frecvențelor absolute cumulate ale amplitudinilor ciclurilor.

Intrucât datele primare - spectrele extensometrice analizate - se prezintă sub forma unei variații $\xi(t)$, în continuare colectivul de solicitare se va exprima în deformații specifice. Trecerea la colectivul de solicitare exprimat în tensiuni nominale de calcul se face utilizând legile de material, în conjuncție cu o teorie de rezistență acceptată.

Ca exprimare analitică, la baza definirii colectivului de solicitare stă funcția de frecvență unitară:

$$\bar{P}_v(\varepsilon) = N_f \int_{\varepsilon}^{\infty} f(\varepsilon^*) \cdot d\varepsilon^* \quad (2.50)$$

unde $\bar{P}_v(\varepsilon)$ reprezintă frecvența absolută, în unitatea de timp, oare parametrul ε^* depășește nivelul dat ε :

$$\bar{P}_v(\varepsilon) = N_f \cdot P(\varepsilon^* \geq \varepsilon) \quad (2.51)$$

și se obține prin integrarea funcției densității de probabilitate $f(\varepsilon^*)$, înmulțit cu numărul mediu de cicluri în unitatea de timp, N_f . Pentru o extindere temporală T a selecției înregistrate, cu $N_{fT} = N_f \cdot T$ cicluri, funcția de frecvență globală este :

$$\bar{P}_T(\varepsilon) = N_f \cdot T \int_{\varepsilon}^{\infty} f(\varepsilon^*) \cdot d\varepsilon^* \quad (2.52)$$

În general, parametrul ε^* poate fi amplitudinea, valoarea maximă sau minimă, jumătatea variației interextreme, etc., funcție de metoda de clasare adoptată la analiza spectrului extensometric.

Un caz particular este colectivul de solicitare al frecvenței depășirii nivelelor, în accepțiunea dată de GASSNER. Parametrul "frecvența depășirii nivelelor" este deja o frecvență cumulată prin însumarea convergentă, dinspre clasele extreme (l și m) spre nivelul mediu, a frecvențelor de clasă. Funcția de

frevență a depășirilor în sens pozitiv a nivelelor este :

$$\begin{aligned} \bar{P}_T(\varepsilon) &= N_T \cdot T \cdot P(\varepsilon^* > \varepsilon; \frac{d\varepsilon^*}{dt} > 0) = \\ &= N_T \cdot T \cdot \left[\int_{\varepsilon}^{\infty} f_{Tmax}(z) \cdot dz - \int_{\varepsilon}^{\infty} f_{Tmin}(z) \cdot dz \right] \end{aligned} \quad (2.53 \text{ a})$$

sau :

$$\bar{P}_T(\varepsilon) = N_T(\varepsilon) = N_T^{max}(\varepsilon_{max} > \varepsilon) - N_T^{min}(\varepsilon_{min} > \varepsilon) \quad (2.53 \text{ b})$$

în care s-a notat :

- $f_{\max}^{(min)}(z)$ - funcția densității de probabilitate a extremului de tip maxim respectiv minim ;
- $N_T(\varepsilon)$ - numărul trecerilor în sens pozitiv prin nivelul ε , pentru o selecție de extindere temporală T ;
- $N_T^{max}(\varepsilon_{max} > \varepsilon)$ - numărul maximelor situate deasupra nivelului ε , pentru selecția dată ;
- $N_T^{min}(\varepsilon_{min} > \varepsilon)$ - numărul minimelor situate deasupra nivelului ε , pentru selecția dată.

2.4.2. Stabilirea colectivelor de solicitare din datele analizei

Din volumul global de informații furnizate de analiză sub forma reprezentării spațiale a frecvențelor dublelor treceri, se pot deduce frecvențele de clasă ale principalilor parametri ai ciclului (extreme, amplitudini), conform tabelului 2.1.

Datorită discretizării spectrului analogic la clasarea digitală, funcția de frecvență a parametrului considerat se obține prin cumulara dinspre o clasă extremă m (sau 1) spre cealaltă clasă extremă 1 (sau m) a frecvențelor de clasă. La echivalarea

$$H(i^*) = \sum_{i^* = m(1)}^{1(m)} h(i^*) \iff \bar{P}_T(\varepsilon) \quad (2.54)$$

s-a efectuat transformarea $i^* \iff \varepsilon$, indicelui curent al clasei putînd să-i corespundă cele m valori discrete ε ale nivelelor centrale ale claselor.

Cumularea în sensul $i^* = m \rightarrow i^* = 1$ corespunde cazului distribuției maximelor sau amplitudinilor pozitive, cumula-

rea în sensul $i^{\#} = 1 \rightarrow i^{\#} = m$ corespunde distribuției minimelor sau amplitudinilor negative - fig. 2.10.

Excepție face funcția de frecvență a depășirii nivelelor în sens pozitiv sau negativ, care apare deja sub forma unor frecvențe oumulate convergent, dinspre clasa m spre clasa $\frac{m}{2} + 1$ (pentru depășirea nivelelor pozitive) respectiv dinspre² clasa 1 spre clasa $\frac{m}{2}$ (pentru depășirea nivelelor negative).

Colectivul de solicitare rezultă prin idealizarea funcției de frecvență a amplitudinilor, valorilor extreme sau altor parametri derivați. Se acceptă următoarele simplificări :

- din funcțiile de frecvență a maximelor și minimelor se neglijează maximele negative și minimele pozitive și se combină extremele ou aceeași frecvență de apariție ;

- din funcțiile de frecvență a depășirii nivelelor în sens pozitiv și negativ se neglijează depășirile în sens pozitiv ale nivelelor negative și cele în sens negativ ale nivelelor pozitive și se combină depășirile ou aceeași frecvență de apariție ;

- în cazurile în care testele statistice indică un proces simetric față de valoarea medie a clasării, se ia în considerație doar funcția de frecvență a maximelor pozitive respectiv a depășirii nivelelor pozitive în sens pozitiv; colectivul de solicitare rezultă prin modularea unui proces armonio simetric ou această funcție de frecvență unilaterală.

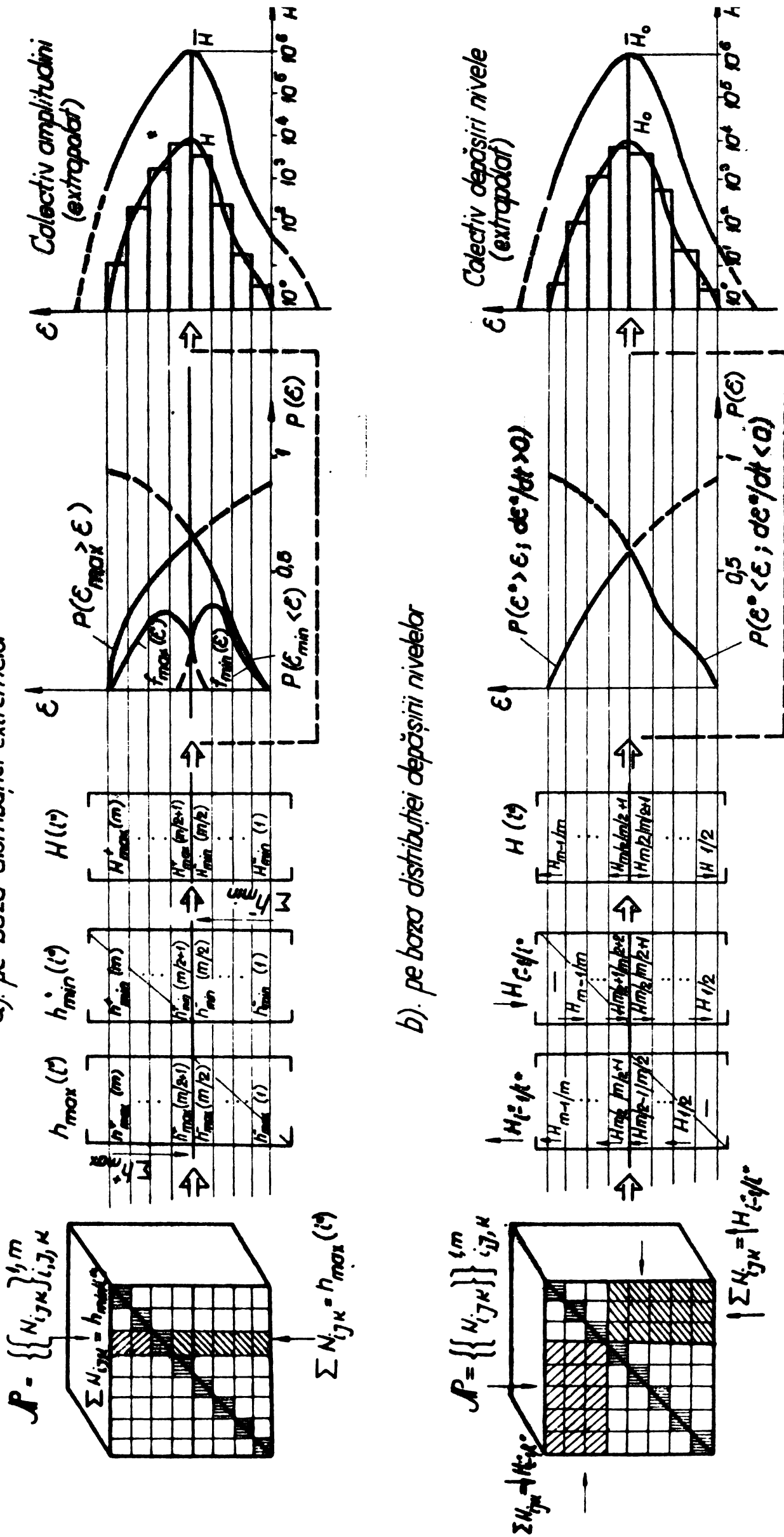
In general, simplificările acceptate la stabilirea colectivului de solicitare conduc la alterarea structurii reale a procesului de solicitare prin ignorarea factorului de neregularitate, deci a componentei spectrale globale.

Caz particular : Procesul aleator normal

Pentru un proces aleator ou distribuție temporală normală, funcția densității de probabilitatea a extremelor este aproximată prin relația propusă de RICE (1954) și KOWALEWSKI (1969) :

$$f_{\text{max}}(\varepsilon) = \frac{1}{d_{\varepsilon}} \sqrt{\frac{1-I^2}{2\pi}} \cdot e^{\frac{-\varepsilon}{2d_{\varepsilon}^2(1-I^2)}} + \frac{I}{d_{\varepsilon}^2} \varepsilon \cdot e^{\frac{-\varepsilon^2}{2d_{\varepsilon}^2}} \cdot F\left(\frac{\varepsilon}{d_{\varepsilon}} \cdot \frac{I}{\sqrt{1-I^2}}\right) \quad (2.55)$$

Fig. 2.10 Modul de stabilire a colectivului de solicitare din reprezentarea dublelor treceri



respectiv analog pentru $f_{\min}(\varepsilon)$, în care s-a notat :

I - factorul de neregularitate

d_{ε}^2 - dispersia procesului determinată prin medierea temporală - rel.(2.7)

$F(x)$ - funcția integrală definită ca :

$$F(x) = \frac{1}{\sqrt{2\pi}} \int_{-\infty}^x e^{-\frac{z^2}{2}} \cdot dz \quad (2.56)$$

Distribuția maximelor are valoarea medie :

$$\bar{\varepsilon}_{max} = I \cdot d_{\varepsilon} \cdot \sqrt{\frac{\pi}{2}}$$

și abaterea medie pătratică :

$$d_{\varepsilon_{max}} = d_{\varepsilon} \cdot \sqrt{1 - I^2 \left(\frac{\pi}{2} - 1 \right)}$$

Împreună cu abaterea medie pătratică temporală d_{ε} , factorul de neregularitate I definește complet distribuția extremelor procesului aleator normal. Valorile factorului de neregularitate $I \in [0, 1]$ se corelează direct cu alura funcției densității spectrale de putere. Valoarea $I = 0$ corespunde cazului limită al unui proces de bandă largă, cu o distribuție normală a extremelor, iar valoarea $I = 1$ corespunde cazului limită al unui proces de bandă îngustă, cu o distribuție Rayleigh a extremelor - fig.2.11.

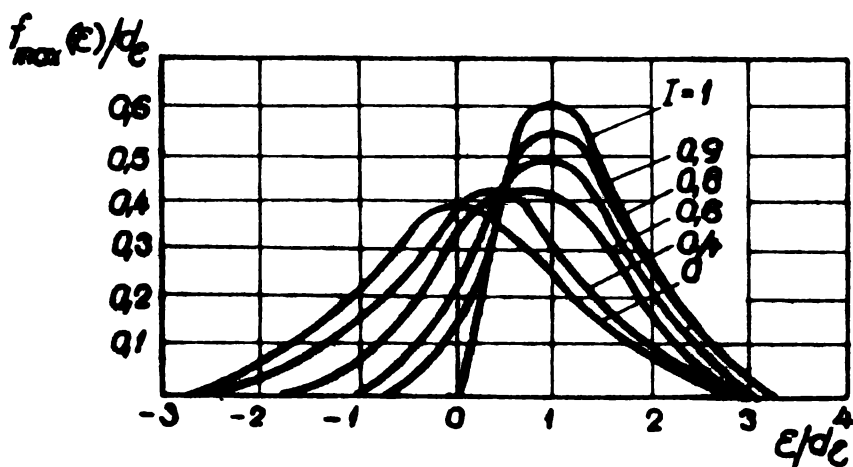


Fig.2.11 - Distribuția extremelor unui proces aleator normal funcție de valoarea factorului de neregularitate

Conform rel.(2.50), rezultă funcția de frecvență unitară

$$\bar{P}_U(\varepsilon) = N_1 \left[F(x_1) + I \cdot e^{-\frac{\varepsilon^2}{2}} \cdot F(x_2) \right] \quad (2.57)$$

în care : $x_1 = -\varepsilon(1-I^2)^{-\frac{1}{2}}$

$$x_2 = \varepsilon \cdot I \cdot (1-I^2)^{-\frac{1}{2}} = -I \cdot x_1$$

Pentru simplificarea scrierii, s-a considerat cazul unui proces normal normat ($\bar{\varepsilon} = 0$; $d_\varepsilon = 1$).

Pentru $\varepsilon = 0$ rezultă numărul maximelor pozitive, în unitatea de timp :

$$N_{max}^+ = \bar{P}_U(\varepsilon=0) = \frac{N + N_0}{2} \quad (2.58)$$

Prin particularizare, rel.(2.57) permite deducerea funcției de frecvență a extremelor pentru un proces de bandă îngustă :

$$\bar{P}_U(\varepsilon) = N_1 \cdot I \cdot e^{-\frac{\varepsilon^2}{2}} \approx N_0 \cdot e^{-\frac{\varepsilon^2}{2}} \quad ; \quad I \rightarrow 1 \quad (2.59 \text{ a})$$

respectiv pentru un proces de bandă largă :

$$\bar{P}_U(\varepsilon) \approx N_1 \cdot F(-\varepsilon) \quad ; \quad I \rightarrow 0 \quad (2.59 \text{ b})$$

Numărul mediu, în unitatea de timp, a trecerilor în sens pozitiv prin nivelul ε se obține cu rel.(2.53 a,b) și (2.55) :

$$\uparrow N^+(\varepsilon) = N_1 \cdot I \cdot e^{-\frac{\varepsilon^2}{2}} \cdot [F(x_2) + F(-x_2)] = N_1 \cdot I \cdot e^{-\frac{\varepsilon^2}{2}} = N_0 \cdot I \cdot e^{-\frac{\varepsilon^2}{2}} \quad (2.60)$$

unde s-a folosit proprietatea de simetrie a procesului normal.

Relația (2.60) este în concordanță cu relația de aproximare propusă de KOWALEWSKI (1969).

Identitatea între funcția de frecvență a depășirii nivelelor - rel.(2.60) - și funcția de frecvență a maximelor pentru un proces de bandă îngustă - rel.(2.59 a) - arată că metodologia de stabilire a colectivului de solicitare nu alterează structura procesului doar în cazul particular al procesului de bandă îngustă.

În cazul proceselor de bandă largă - rel.(2.59 b) - funcția de frecvență a maximelor coincide aproximativ cu funcția de frecvență a depășirii nivelelor doar pentru valori ale lui $\varepsilon \gg$:

$$\bar{P}_U(\varepsilon) \approx \uparrow N^+(\varepsilon) = N_0 \cdot e^{-\frac{\varepsilon^2}{2}} \quad ; \quad \varepsilon \gg \quad (2.61)$$

2.4.3. Extrapolarea colectivelor de solicitare

Colectivul de solicitare stabilit prin analiza unui spectru extensometric de extindere temporală T are o variabilitate limitată, funcție de extinderea înregistrării efectuate. Având în vedere variabilitatea mai largă a procesului de solicitare pe durata totală a exploatării, extinderea colectivului de solicitare se consideră semnificativă dacă conține $H = (0,5...1) \cdot 10^6$ cicluri.

În accepțiunea dată de GASSNER pentru unificarea criteriilor de evaluare a capacității de degradare a procesului de solicitare, colectivul stabilit experimental se extrapolează la extinderea normată $\bar{H} = 10^6$ cicluri; Această interpretare este larg acceptată în practica evaluării durabilității : JACOBY (1972 b, 1973), HAIBACH (1972), UMBACH și SCHUH (1973), CIOCLOV (1975).

În cazul general, extrapolarea se efectuează pe baza ajustării colectivelor după funcții de distribuții analitice pertinente.

Pentru procese de solicitare normale, având o importanță deosebită în aplicații practice, extrapolarea analitică este posibilă pe baza relațiilor (2.59 a,b), rezultând amplitudinea maximă fizic realizabilă în cadrul extinderii normate H .

În cazul proceselor de bandă îngustă ($I \rightarrow 1$), din funcția de frecvență a depășirii nivelelor, identică cu funcția de frecvență a maximelor respectiv minimelor, valoarea maximă a amplitudinii este

$$\varepsilon_M = (2 \ln \bar{H})^{\frac{1}{2}} \quad (2.62)$$

În cazul proceselor de bandă largă ($I \rightarrow 0$) rezultă :

$$\varepsilon_M = F^{-1}\left(1 - \frac{1}{2\bar{H}}\right) \quad (2.63)$$

unde F^{-1} reprezintă inversa funcției F , iar

$$\frac{1}{\bar{H}} = 2 \cdot N_i \cdot T \cdot F(-\varepsilon_M) \quad (2.64)$$

este probabilitatea de apariție a unui singur ciclu cu amplitudinea maximă ε_M , pozitivă și negativă, în cadrul extinderii normate \bar{H} .

Pentru procese normate ou $\bar{\epsilon} \neq 0$ și $d_{\epsilon} \neq 1$ în relațiile (2.62) - (2.64) se înlocuiește

$$\underline{\epsilon}_M \rightarrow \frac{\epsilon_M}{d_{\epsilon}} = \frac{\epsilon_M}{[\psi_{\epsilon}^2 - \bar{\epsilon}^2]^{1/2}} \quad (2.65)$$

În tabelul 2.3. se dau valorile normate ale amplitudinilor maxime fizice realizabile în cadrul diferitelor extinderi normate \bar{H} , calculate după rel.(2.62) și (2.63). Valorile diferă datorită alterării structurii statistice funcție de lățimea benzii de frecvență (pentru $I = 1 : H = N_1$; pentru $I < 1 : H = N_0 < N_1$). Reducând procesele de bandă largă la procese de bandă îngustă, ou corecțiile aplicate numărului total de oioluri, se obțin valori ale factorului de neregularitate care tind practic spre zero :

$$I = \frac{N_0}{N_1} \rightarrow 0 ,$$

unde, pentru $N_0 = \bar{H}$, N_1 se calculează ou relația de echivalare :

$$(2 \ln N_1)^{1/2} = F^{-1}(1 - \frac{1}{2\bar{H}}) \quad (2.66)$$

Tabelul 2.3.

	Extinderea normată \bar{H} /oioluri/			Observații
	10^5	$5 \cdot 10^5$	10^6	
$\frac{\underline{\epsilon}_M}{d_{\epsilon}}$	4,80	5,12	5,26	proces de bandă îngustă rel. (2.62)
	4,42	4,76	4,90	proces de bandă largă rel. (2.63)
I	0,0033	0,00014	0,000037	Pe baza rel. (2.66), la revenirea de la colectiv la procesul de bandă largă original

2.4.4. Caracteristicile definitorii ale colectivului de solicitare

In cadrul metodelor de evaluare a durabilității construcțiilor, capacitatea de degradare a procesului de solicitare se descrie prin următoarele caracteristici definitorii ale colectivului de solicitare (extrapolat la extinderea normată \bar{H}):

- a).- Amplitudinea maximă ε_M a colectivului de solicitare $\varepsilon_M = \varepsilon(H=1)$, stabilită conform metodologiei expuse anterior.
- b).- Gradul de plenitudine, care se exprimă în raport cu un proces determinist cu amplitudine constantă și care reprezintă rezerva de durabilitate a rezistenței în exploatare față de curba Wöhler. În accepțiunea lui GASSNER, gradul de plenitudine al colectivului normat se exprimă prin parametrul:

$$p = \frac{\varepsilon(H-\bar{H})}{\varepsilon(H=1)} \quad ; \quad p \in [0, 1] \quad (2.65)$$

Cazul limită $p = 1$ reprezintă un colectiv cu amplitudine constantă, cazul $p = 0$ reprezintă un colectiv cu distribuție normală cu valoarea minimă $\varepsilon(H-\bar{H}) = 0$. Pentru situații frecvente în practică, la care amplitudinea este limitată inferior la valoarea minimă $\varepsilon_{\text{MINIM}} = \varepsilon_m$ iar diferența $(\varepsilon - \varepsilon_m)$ se distribuie normal, expresia analitică a distribuției este determinată complet prin valoarea lui p :

$$\left(\frac{\varepsilon}{\varepsilon_M}\right)_p = p + (1-p) \cdot \frac{F^{-1}\left(1 - \frac{H}{2\bar{H}}\right)}{F^{-1}\left(1 - \frac{1}{2\bar{H}}\right)} \quad (2.66)$$

c).- Factorul de trunchiere, definit ca raportul dintre valoarea maximă și valoarea efectivă

$$E = \frac{\bar{\varepsilon} + \varepsilon_M}{\sqrt{\bar{\varepsilon}^2 + d_\varepsilon^2}} \quad \left(= \frac{\varepsilon_M}{d_\varepsilon} \text{ pt. } \bar{\varepsilon} = 0 \right) \quad (2.67)$$

Pentru caracterizarea colectivelor de solicitare cu $E < 5,4$ (deci cu limitare fizică a amplitudinii în cadrul extinderii normate $H = 10^6$), se introduce parametrul de trunchiere q , definit prin relația:

$$1 - q = \frac{1}{6} \left[\lg \bar{H} - \lg H(\varepsilon_M) \right] \quad (2.68)$$

In conjuncție cu gradul de plenitudine rezultă un sistem de 2 parametri pentru tipizarea colectivelor de solicitare - fig.2.12.

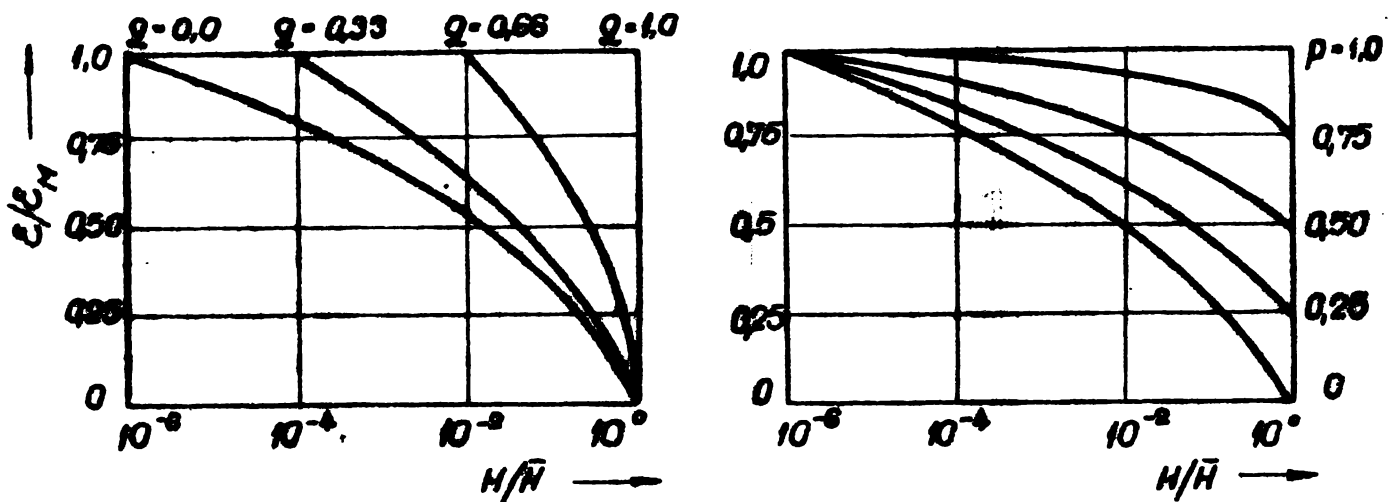


Fig.2.12 - Colective de solicitare tipizate funcție de p și q

d).- Coeficientul de asimetrie a colectivului de solicitare, deși definiția sa ca mărime constantă apare improprie, se exprimă ca raportul solicitării minime și maxime, corespunzător amplitudinii maxime a colectivului extrapolat la extinderea normală :

$$r = \frac{\bar{\sigma} - \sigma_M}{\bar{\sigma} + \sigma_M} \quad (2.69)$$

2.5. Modificări de program

Prin modificări de program se înțeleg operațiile de ajustare și modificare a structurii statistice a procesului aleator original, efectuate asupra reprezentării matricilor multiple primare, ale frecvențelor absolute, respectiv asupra reprezentării matricilor multiple de probabilitate de ordinul II subsecvente.

Aceste modificări de program pot fi necesare în cadrul analizei, la compunerea/comasarea mai multor selecții într-un proces aleator global, respectiv în cadrul sintezei, când la efectuarea încercărilor simulative trebuie ținut seama de modificări ale regimului de solicitare datorită unor modificări constructive sau ale condițiilor de exploatare.

2.5.1. Medierea

Daoă se dispune de mai multe selecții particulare ale procesului de solicitare înregistrate pentru diferite regimuri de exploatare specifice, pentru aceeași construcție sau construcții similare, procesul de solicitare global rezultă prin medierea/oomasarea acestor selecții particulare. Medierea se efectuează ponderat, în raport cu ponderea regimurilor specifice în componența statistică a regimului de exploatare global.

Daoă în urma olasării a s selecții particulare rezultă s reprezentări ${}^{\ell}P = \{ \{ {}^{\ell}N_{ijk} \} \}^{1,m}$, $\ell=1,2,\dots,s$, atunci medierea ponderată conduce la o reprezentare ${}^{med}P = \{ \{ {}^{med}N_{ijk} \} \}^{1,m}$ ale cărei elemente se definesc :

$${}^{med}N_{ijk} = \frac{\sum_{\ell=1}^s {}^{\ell}a \cdot {}^{\ell}N_{ijk}}{\sum_{\ell=1}^s {}^{\ell}a} \quad (2.70)$$

$1, j, k = 1, \dots, m$

în care ${}^{\ell}a$, $\ell=1,2,\dots,s$ reprezintă ponderea selecției ℓ în cadrul procesului global. Această pondere se stabilește în funcție de o serie de factori : condițiile de exploatare specifice și extinderea selecției, ponderea regimului testat în cadrul procesului de exploatare global, probabilitatea de apariție a unor regimuri speciale (manevre accidentale, suprasarcini etc.).

Daoă prin algoritmul analizei nu se obțin reprezentări ale frecvențelor absolute ${}^{\ell}P = \{ \{ {}^{\ell}N_{ijk} \} \}^{1,m}$, ci direct matricile de probabilitate ${}^{\ell}P = \{ \{ {}^{\ell}p_{ijk} \} \}^{1,m}$, având ca elemente frecvențele relative necumulate ${}^{\ell}p_{ijk}$, la ponderare trebuie să se țină seama și de extinderea selecțiilor parțiale. Medierea se efectuează în raport cu indicii k , deoarece ${}^{\ell}p_{ijk}$ $i, j = const.$ $k = variabil$ reprezintă distribuția empirică a trecerilor posibile $j \rightarrow k$, pentru prima trecere $i \rightarrow j$ fixată.

Ponderea în funcție de extinderea selecției l (numărul trecerilor ${}^{\ell}N_{ijk}$, pentru i, j - dat, k variabil), este :

$${}^{\ell}b_{ij} = \frac{\sum_{k=1}^m {}^{\ell}N_{ijk}}{\sum_{\ell=1}^s \left(\sum_{k=1}^m {}^{\ell}N_{ijk} \right)} \quad (2.71)$$

Dacă se ține seama și de ponderea apriorică a ocelor s selecții în cadrul procesului global, rezultă :

$${}^l b_{ij}^* = \frac{{}^l a \left(\sum_{k=1}^m {}^l N_{ijk} \right)}{\sum_{l=1}^s \left({}^l a \sum_{k=1}^m {}^l N_{ijk} \right)} \quad (2.72)$$

iar frecvența mediată este :

$${}^{med} p_{ijk} = \frac{\sum_{l=1}^s {}^l b_{ij}^* \cdot {}^l p_{ijk}}{\sum_{l=1}^s {}^l b_{ij}^*} = \frac{\sum_{l=1}^s \left({}^l p_{ijk} \cdot {}^l a \cdot \sum_{k=1}^m {}^l N_{ijk} \right)}{\sum_{l=1}^s \left({}^l a \cdot \sum_{k=1}^m {}^l N_{ijk} \right)} \quad (2.73)$$

Se poate face legătura și cu consistența statistică a reprezentărilor particulare funcție de extinderea selecțiilor din care au fost deduse.

Analog cu definiția propusă de PAASCH (1973), se introduce probabilitatea de cuprindere a selecției l ($l = 1, \dots, s$) în raport cu distribuția empirică a trecerilor N_{ijk} (i, j - dat, k - variabil) :

$${}^l P_{cij} = 1 - \frac{1}{\sum_{k=1}^m {}^l N_{ijk}} \quad (2.74)$$

Frecvențele relative, mediate ponderat, se pot exprima sub forma :

$${}^{med} p_{ijk} = \frac{\sum_{l=1}^s \left({}^l p_{ijk} \cdot {}^l a \cdot \frac{1}{1 - {}^l P_{cij}} \right)}{\sum_{l=1}^s \left({}^l a \cdot \frac{1}{1 - {}^l P_{cij}} \right)} \quad (2.75)$$

Probabilitățile de cuprindere ${}^l P_{cij}$, $i, j = 1, m$ sînt legate de probabilitatea de cuprindere globală a selecției l (în raport cu întreaga populație statistică, exprimată prin numărul total de ocoluri ${}^l N_{IT}$ ale înregistrării l pe durata T) :

$${}^l P_c = 1 - \frac{1}{{}^l N_{IT}} = 1 - \frac{2}{\sum_{i=1}^m \sum_{j=1}^m \frac{1}{1 - {}^l P_{cij}} + 2} \quad (2.76)$$

deoarece :

$${}^L N_{\Pi} = \frac{\sum_{i=1}^m \sum_{j=1}^m \sum_{k=1}^m {}^L N_{ijk}}{2} + 1 \quad (2.77)$$

Selecția rezultată prin omasarea celor s selecții particulare va avea o consistență statistică mai ridicată, corespunzător probabilității de ouprindere globale :

$$P_c = 1 - \frac{1}{\sum_{l=1}^s \frac{1}{1 - {}^L P_c}} \quad (2.78)$$

Reprezentarea globală, mediată ponderat va conține și colectivul de sollicitare global, mediat ponderat - fig. 2.13.

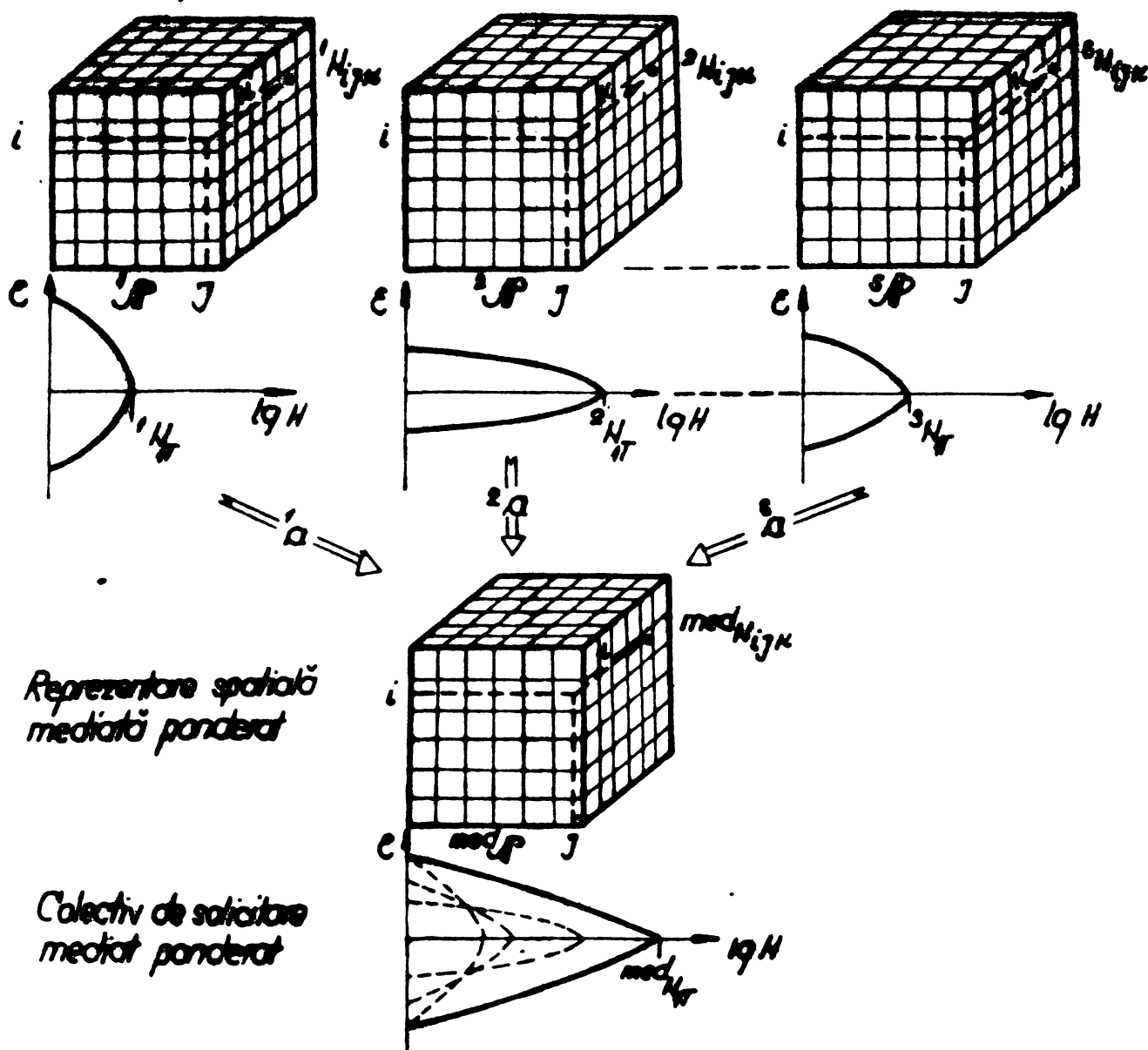


Fig.2.13. - Medierea ponderată a unor selecții în reprezentarea frecvențelor absolute

2.5.2. Trunchierea

Prin trunchiere se înțelege tăierea amplitudinilor care depășesc o valoare limită maximă. Trunchierea poate fi unilaterială sau bilaterală, corespunzător limitării fizice a variabilității procesului. Această operație de ajustare este necesară în cazul când la încercări pe stand sau în calcule se ține seama de modificări constructive (elemente tampon, amortizoare, limitatoare) sau modificări ale regimului de exploatare, care reduc variabilitatea procesului de solicitare.

Având în vedere digitalizarea prin clasare, nivelul de trunchiere se definește prin numărul de clase t prohibite colectivului trunchiat - fig.2.14

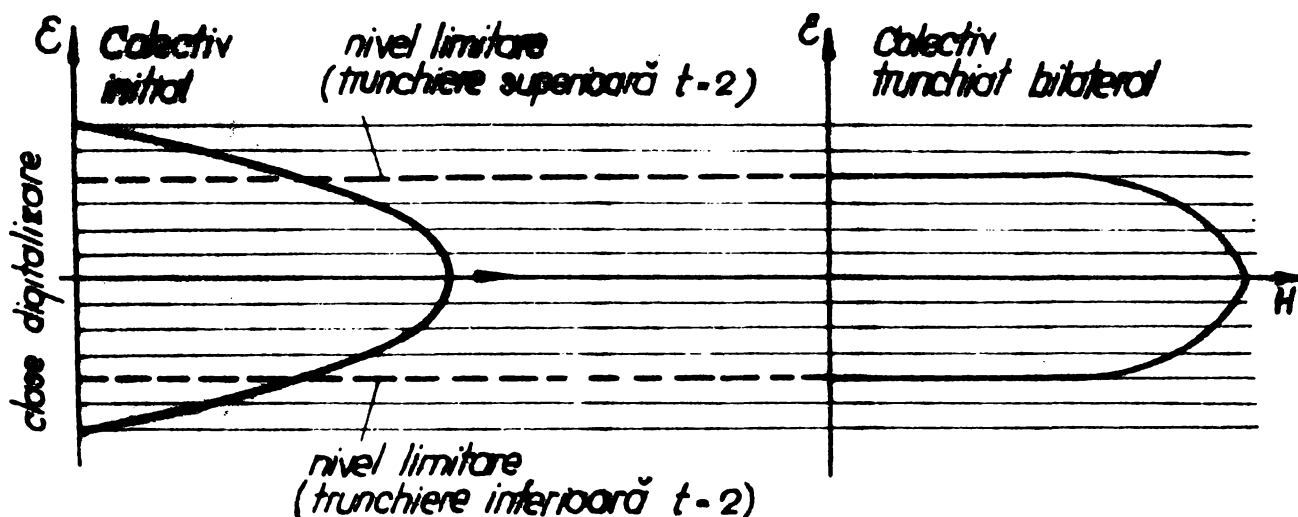
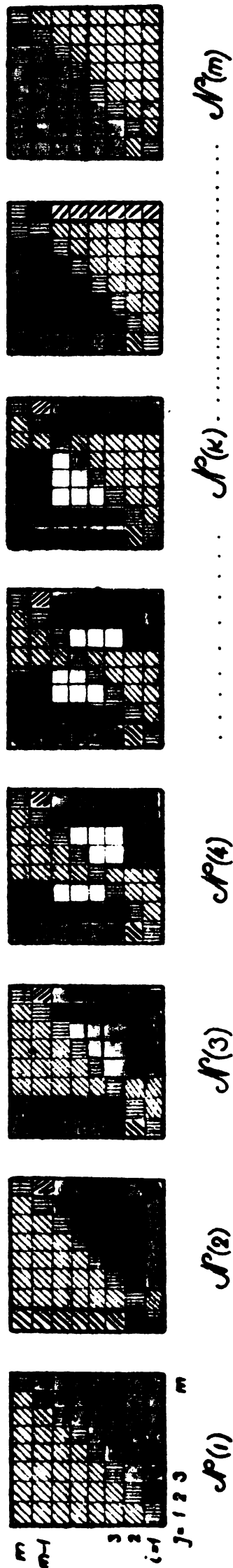


Fig.2.14 - Trunchierea colectivului de solicitare

În reprezentarea matriciilor multiple ale frecvențelor absolute ale dublelor treceri, efectuarea trunchierii implică o serie de modificări :

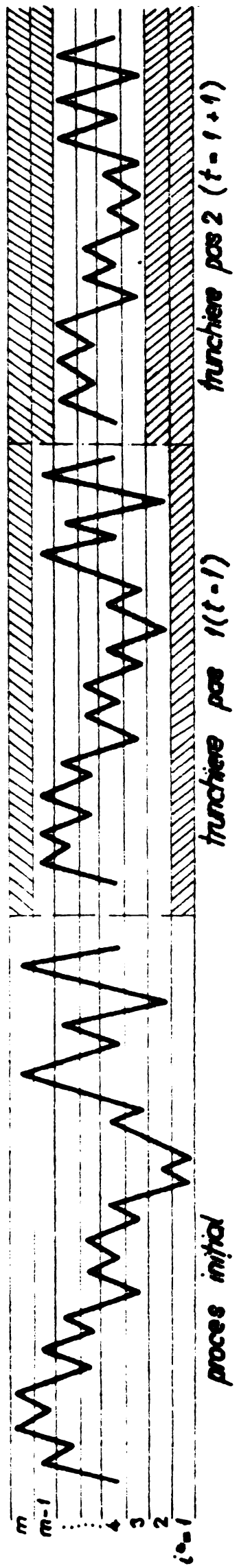
- anularea frecvențelor care conțin un extrem în clase prohibite iar celelalte două extreme în ultima clasă neprohibită
- frecvențele dublelor treceri care conțin doar un singur extrem în clase prohibite se recombina după legile care guvernează procesul și se transferă la frecvențele neprohibite ; astfel se evită formarea unor mulțimi închise sau stări absorbante în matriciile stohastice, care ar

Fig. 2.14. a. Modificări în reprezentarea $\{N^{(k)}\}_{k=1}^m$ la trunchiere



- elemente aprioric nule ($i = j$)
- ▨ elemente aprioric nule (compatibilitate succesiune)
- elemente anulate (traceri între clase trunchiate și limitate)
- elemente anulate după comasare și transferare
- elemente anulate după comasare și transferare
- elemente anulate după transferare
- elemente anulate după transferare
- elemente anulate prin transferare
- elemente nenule nemodificate

b. Exemplu de trunchiere bilaterată t = 2
(proces de bandă largă $I \approx 0,77$)

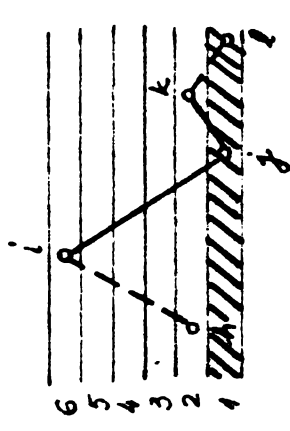
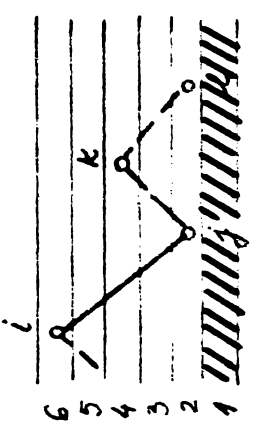


ALGORITM - TRUNCHIERE INFERIOARA

Tabelul 2.4.

Caz distinctot	Modificări efectuate în reprezentarea $\mathcal{N} = \{ \{ N_{ijk} \} \}_{l,m}$	Trecere subsecventă MIN \rightarrow MAX \rightarrow MIN	EXEMPLIFICARE
I	<p>Trecere de bază MAX \rightarrow MIN \rightarrow MAX</p> <p>$l = 2; j = 1; k = 2$</p> <p>$N_{ijk} \rightarrow 0$</p> <p>Trecere prohibită apriorio</p> <p>$l = 2; j = 1; k > 2$</p> <p>Se calculează frecvențele ponderate</p> $N = N_{ijk} \frac{N_{ghi}}{\sum_g N_{ghi}} \quad g = 3, 4, \dots, m$ <p>corespunzător recombinații cu frecvențele N_{ghi} și se transferă la</p> $N_{xyz} \rightarrow N_{xyz} + N \quad \begin{cases} x = g \\ y = 2 \\ z = k \end{cases}$ <p>Se anulează frecvența $N_{ijk} \rightarrow 0$</p> <p>După parcurgerea tuturor frecvențelor N_{ijk} ($l=2; j=1; k=3, 4, \dots, m$)</p> <p>Se anulează și frecvențele:</p> $N_{ghi} \rightarrow 0 \quad \begin{cases} g = 3, 4, \dots, m \\ h = 1 \\ i = 2 \end{cases}$	<p>Se anulează frecvența $N_{jkl} \rightarrow 0$ ($l = 1$)</p> <p>Frecvențele N_{jkl} se transferă la</p> $N_{x^*y^*z^*} \rightarrow N_{x^*y^*z^*} + N_{jkl} \quad ; \quad (l=1, 2, \dots, k-1)$ <p>unde:</p> $\begin{cases} x^* = z \\ y^* = k \\ z^* = 2 \end{cases} \quad \begin{cases} l \text{ dacă } l > 2 \\ 2 \text{ dacă } l \leq 2 \end{cases}$ <p>După parcurgerea tuturor frecvențelor N_{ijk} ($l=2; j=1; k=3, 4, \dots, m$)</p> <p>Se anulează frecvențele</p> $N_{jkl} \rightarrow 0 \quad \begin{cases} j = 1 \\ k = 3, 4, \dots, m \\ l = 1, 2, \dots, k-1 \end{cases}$	
II	<p>Se calculează frecvențele ponderate</p> $N_{xyz} \rightarrow N_{xyz} + N \quad \begin{cases} x = g \\ y = 2 \\ z = k \end{cases}$ <p>Se anulează frecvența $N_{ijk} \rightarrow 0$</p> <p>După parcurgerea tuturor frecvențelor N_{ijk} ($l=2; j=1; k=3, 4, \dots, m$)</p> <p>Se anulează și frecvențele:</p> $N_{ghi} \rightarrow 0 \quad \begin{cases} g = 3, 4, \dots, m \\ h = 1 \\ i = 2 \end{cases}$	<p>Frecvențele N_{jkl} se transferă la</p> $N_{x^*y^*z^*} \rightarrow N_{x^*y^*z^*} + N_{jkl} \quad ; \quad (l=1, 2, \dots, k-1)$ <p>unde:</p> $\begin{cases} x^* = z \\ y^* = k \\ z^* = 2 \end{cases} \quad \begin{cases} l \text{ dacă } l > 2 \\ 2 \text{ dacă } l \leq 2 \end{cases}$ <p>După parcurgerea tuturor frecvențelor N_{ijk} ($l=2; j=1; k=3, 4, \dots, m$)</p> <p>Se anulează frecvențele</p> $N_{jkl} \rightarrow 0 \quad \begin{cases} j = 1 \\ k = 3, 4, \dots, m \\ l = 1, 2, \dots, k-1 \end{cases}$	

Tabelul 2.4 (continuare)

<p>III</p>	<p>$i > 2; j = 1; k = 2$</p> <p>Cuprins la cazul II (recombinat ou frecvențele $i = 2; j = 1; k > 2$)</p>	<p>Frecvențele N_{hij} se transferă la</p> $N_{x^*y^*z^*} \rightarrow N_{x^*y^*z^*} + N_{hij}$ <p>unde:</p> $x^* = \begin{cases} h & \text{dacă } h > 2 \\ 2 & \text{dacă } h \leq 2 \end{cases}$ $y^* = \begin{cases} i = 2 \\ j = 1 \end{cases}$ $z^* = \begin{cases} i = 2, 3, \dots, i-1 \\ i = 3, 4, \dots, m \\ j = 1 \end{cases}$ <p>După parcurgerea tuturor frecvențelor N_{ijk} ($i=3, 4, \dots, m; j=1; k=2$)</p> <p>se anulează frecvențele</p>	
<p>IV</p>	<p>$i > 2; j \geq 2; k > 2$</p> <p>Frecvențele N_{ijk} rămân nemodificate (la frecvențele $N_{ijk}, j=2$, se cumulează frecvențele transferate)</p>	<p>Frecvențele N_{jkl} ($l=2, 3, \dots, k-1$) rămân nemodificate</p> <p>Cazul $l=1$ este cuprins la II</p>	

face imposibilă sinteza procesului prin desfășurarea matricilor . Prin transferarea frecvențelor se conservă volumul inițial de informații asupra procesului - fig.2.14.

Algoritmul trunchierii este dat în tabelul 2.4. pentru cazul trunchierii inferioare, $t = 1$. Dacă trunchierea se face pentru $t > 1$, algoritmul se repetă iterativ de t ori.

Pentru trunchierea superioară, algoritmul este același, cu deosebirea că trecerea de bază este $MIN \rightarrow MAX \rightarrow MIN$ iar valorile lui i, j, k (și corespunzător g, h, ℓ) sînt complementare față de valoarea medie, deci :

$$i(j, k) \rightarrow m - i(j, k) + 1$$

iar sensul inegalităților se inversează.

(de ex. : cazul I de bază devine :

$$MIN \rightarrow MAX \rightarrow MIN ; i = m-1 ; j = m ; k = m-1$$

cazul II de bază devine :

$$MIN \rightarrow MAX \rightarrow MIN ; i = m-1 ; j = m ; k < m-1)$$

În cazul proceselor de bandă largă, trunchierea conduce la o reducere de date prin anularea respectiv recombinația unor frecvențe ; în cazul proceselor de bandă îngustă se păstrează volumul inițial de informații, exprimat prin numărul total de treceri (de cicluri).

3. O nouă metodă de sinteză a proceselor aleatoare

3.1. Considerații generale

Necesitatea determinării experimentale prospective a rezistenței în exploatare prin testarea în condiții de laborator a construcțiilor a condus la dezvoltarea unor tehnici de simulare a proceselor de încărcare/solicitare reale din exploatare.

Redarea directă a unor procese de solicitare înregistrate analogic nu este operantă, deoarece în general spectrul extensometric înregistrat pe o durată de timp limitată nu cuprinde variabilitatea mai largă a procesului de solicitare în decursul întregii durate de exploatare și nu este posibilă efectuarea unor operații de modificare a structurii procesului, în puse de metodologia încercărilor la solicitări variabile.

De asemenea, înregistrările directe nu pot constitui mărimea de comandă pentru pulsatoarele servohidraulice decât după discriminarea unor informații inoperante pentru degradarea prin oboseală - oscilații de frecvență mai înaltă și amplitudine redusă - dar care ar conduce la suprareglajul comenzii electronice și ar determina astfel o alterare a procesului de solicitare realizat.

În vederea simulării cât mai apropiate de condițiile de exploatare, la încercări pe stand se recurge la sinteza proceselor de solicitare ; sinteza este generarea, pe baza unor caracteristici statistice deterministe, a unui proces aleator sau o structură statistică cât mai apropiată de cea a procesului aleator original.

Metoda de sinteză depinde de scopul încercării, natura procesului de solicitare, eventuale intercondiționări în domeniul spectral sau caracteristica de răspuns dinamic a construcției testate, metodologia preluurii statistice în cadrul analizei și forma sub care rezultă informația, precum și dotarea tehnică pentru efectuarea sintezei.

Cu posibilitățile oferite de implementarea largă a preluurii automate a datelor, pentru sinteza proceselor aleatoare se utilizează în prezent aproape exclusiv procedee matematice programabile pe calculatorul numeric. Gradul de aproximare prin sinteză a procesului aleator original depinde esențial de volumul și relevanța informațiilor asupra structurii procesului, stabilite în urma analizei.

După metoda de analiză propusă, structura globală a procesului aleator rezultă sub forma unei reprezentări a frecvențelor de realizare a dublelor treceri între extreme succesive. Procesul de solicitare original - înregistrat sub forma unei variații analogice funcție de timp - a fost redus la o succesiune de evenimente - realizarea extremelor dublu corelate în clasele prestabilite - corespunzător modelării printr-un proces de tip Markov.

Pe baza reprezentării frecvențelor de realizare a dublelor treceri, transformată corespunzător, prin sinteză se generează o succesiune de extreme care este subordonată limitărilor fizice exprimate prin probabilitățile de trecere de ordinul II. Această succesiune de extreme reprezintă o traiectorie

(realizare posibilă) a procesului de tip Markov. Prin procedee de interpolare după funcții liniare sau trigonometrice, ou un pas de divizare suficient de mic, se obține un șir de valori digitale ; prin intermediul unei interfețe digital - analogice, șirul de valori permite reeditarea unei variații continue, compatibile cu natura semnalului de comandă a pulsatorului servohidraulic ou comandă electronică.

3.2. Algoritmul sintezei

3.2.1. Generarea unei traiectorii a procesului de tip Markov

In vederea generării unei traiectorii a procesului de tip Markov prin desfășurarea matriciilor multiple, reprezentarea frecvențelor absolute se transformă in reprezentarea probabilităților cumulate :

$$\mathcal{N} = \{ \mathcal{N}(k) \}^{1,m} = \{ \{ N_{ijk} \} \}^{1,m} \Rightarrow \mathcal{P}^* = \{ \mathcal{P}(k) \}^* = \{ \{ P_{ijk} \} \}^{1,m} \quad (2.79)$$

in care elementele P_{ijk} pentru i, j - fixat ; k - variabil (deci elementele pe coloanele formate pe fiecare cimp al matricii "masoară") formează vectorii de probabilitate :

$$\{ P_{ijk} \}_k^{1,m} = p_{ij}^* = \{ P_{ijj+1}, P_{ijj+2}, \dots, P_{ijm} \} \quad (2.80)$$

pentru trecerile de tip MAX \rightarrow MIN \rightarrow MAX ($i > j < k$), respectiv

$$\{ P_{ijk} \}_k^{1,m} = p_{ij}^* = \{ P_{ijj-1}, P_{ijj-2}, \dots, P_{ij1} \} \quad (2.81)$$

pentru trecerile de tip MIN \rightarrow MAX \rightarrow MIN ($i < j > k$)

Valorile probabilităților cumulate ale vectorilor \bar{p}_{ij}^* rezultă prin însumarea, în sensul indicelui k , a valorilor probabilităților vectorilor \bar{p}_{ij} , calculate conform rel.(2.48).

Desfășurarea matriciilor multiple \mathcal{P}^* in vederea construirii traiectoriei se bazează pe generarea vectorilor \bar{p}_{ij}^* . Pentru stările $\xi_{n-2} = i$, $\xi_{n-1} = j$ fixate, cea mai probabilă stare finală $\xi_n = k_f$ a dublei treceri este aceea care reeditează din punct de vedere statistic, distribuția definită de vectorul \bar{p}_{ij}^* ; i, j - fixați.

3.2.2. Generarea numerelor aleatoare uniforme

Pentru a obține realizări independente ale variabilei aleatoare unidimensionale α , distribuită uniform pe intervalul $[0,1]$ cu densitatea de repartiție :

$$f_{\alpha}(x) = \begin{cases} 1 & \text{pt. } x \in [0,1] \\ 0 & \text{pt. } x \notin [0,1] \end{cases} \quad (2.84)$$

s-a adoptat metoda congruențială, bazată pe o relație generală de recurență de tip LEHMER :

$$X_{n+w} = \left(\sum_{v=0}^{w-1} a_v X_{n+v} + c \right) \pmod{M} \quad (2.85)$$

prin care se stabilește congruența modulo M a unui număr întreg și a unei funcții liniare cu valori întregi, întrucât M , a_v , X și c sînt întregi nenegativi. Șirul de numere pseudo-aleatoare $\alpha_0, \alpha_1, \dots, \alpha_n, \dots$ cu distribuție uniformă pe $[0,1]$ se definește prin relația :

$$\alpha_n = \frac{X_n}{M} \quad n = 1, 2, \dots \quad (2.86)$$

În vederea realizării unor timpi de calcul oît mai reduși pe calculatorul numeric se utilizează o formă mai simplă, pentru $w = 1$. Dacă se acceptă și $c = 0$, procedeul este multiplicativ congruențial, optim din punct de vedere al performanțelor de calcul.

Valorile parametrilor inițiali se aleg astfel încît perioada șirului generat să depășească $2 \cdot 10^6$ extreme (deci semi-cicluri) deoarece la încercări de durabilitate se poate admite repetarea unor secvențe aleatoare cu extindere minimă de 10^6 cicluri.

Dacă se urmărește programarea generatorului multiplicativ - congruențial în limbajul FORTRAN pe un calculator cu lungimea cuvîntului de 32 biți, cel mai mare număr întreg reprezentabil fiind $2^{31} - 1$, este mai avantajos să se folosească un algoritm special - VĂDUVA (1977) :

$$a = a_1 \cdot a_2 \cdot \dots \cdot a_s \quad ; \quad a_i \text{ întreg}, \quad i = 1, \dots, s \quad (2.87)$$

astfel încît :

$$a_i \cdot X \leq 2^{31} - 1 \quad ; \quad i = 1, \dots, s \quad ; \quad 0 < X < M \quad (2.88)$$

Pentru un X_n , $0 < X_n < M$, dat, numărul următor al șirului : $X_{n+1} = (a \cdot X_n) \pmod{M}$

se poate obține prin relațiile congruențiale :

$$\begin{cases} X_n^{(1)} = (a_1 \cdot X_n) \pmod{M} \\ X_n^{(i+1)} = (a_{i+1} \cdot X_n^{(i)}) \pmod{M} \\ X_{n+1} = (a_s \cdot X_n^{(s-1)}) \pmod{M} \end{cases} \quad (2.89)$$

Pentru generatorul multiplicativ - congruențial particular, rel. (2.89) și notat :

$$(X_0, (a_1, \dots, a_s), 0, M)$$

se pot adopta valorile $M = 2^{25} = 33554432$ și

$$a = a_1 \cdot a_2 = 51 \cdot 57 = 2907 \quad (s=2), \text{ după VĂDUVA (1977).}$$

Generatorul rezultat

$$(X_0(51, 57), 0, 2^{25})$$

poate construi șiruri de numere pseudoaleatoare de perioadă $\lambda = 2^{23} = 8388608$, cu un coeficient serial de corelație suficient de mic ($\rho \approx 1/2907$).

3.2.3. Algoritmul desfășurării matriciilor multiple

Datele inițiale ale sintezei după procedeul de construire a unei traiectorii a procesului de tip Markov prin desfășurarea matriciilor multiple sînt :

- matriciile multiple ale probabilităților osumulate

$$\mathcal{P}^* = \{ \mathcal{P}(k) \}^{1,m} = \{ \{ P_{ijk} \} \}^{1,m} \iff \{ \bar{p}_{ij}^* \}^{1,m}$$

- condițiile inițiale, date sub forma distribuției stărilor inițiale

$$\pi^0 = \begin{cases} p_{i_0 j_0 k_0} = 1 \\ p_{ijk} = 0 \quad \text{pt. } i \neq i_0, j \neq j_0, k \neq k_0 \end{cases}$$

sau în formulare echivalentă :

$$\pi^0 = \begin{cases} P_{ijk} = 1 & \text{pt. } i = i_0, j = j_0, k \geq k_0 \\ P_{ijk} = 0 & \text{pt. } \begin{cases} i \neq i_0, j \neq j_0, k \in I^* \text{ și} \\ i = i_0, j = j_0, k < k_0 \end{cases} \end{cases}$$

Aceasta înseamnă că procesul se află inițial în starea k_0 , în urma unei duble treceri fictive $i_0 \rightarrow j_0 \rightarrow k_0$.

Condițiile inițiale se aleg arbitrar, corelat însă cu posibilitatea realizării unor astfel de duble treceri în cadrul procesului de solicitare real. Astfel, de exemplu, în cazul unor procese de bandă îngustă ($I \rightarrow 1$) nu se poate impune condiția $i_0, j_0, k_0 < m/2$ respectiv $> m/2$, întrucât valoarea medie instantanee a ocolului este centrată în jurul valorii medii temporale a procesului.

În fig. 2.16 se ilustrează schematic modul de generare a unei succesiuni de extreme, pornind de la condiții inițiale date, modul de parcurgere a matriciilor multiple și procesul rezultat în cazul interpolării liniare, pentru un număr de $m = 8$ clase.

Fig. 2.17 indică organigrama generală a sintezei.

3.3. Comparația cu alte metode de sinteză a proceselor aleatoare

În prezent se utilizează în general două metode de sinteză distincte, bazate pe procedee aritmetice programate pe calculator : - sinteza pe baza matricii stohastice de tip Markov cu probabilități de trecere de ordinul I, propusă de ARGYRIS și colectiv (1976), existentă și în pachetul de programe al firmei SCHENCK, sistem Hydropuls (1978) ;

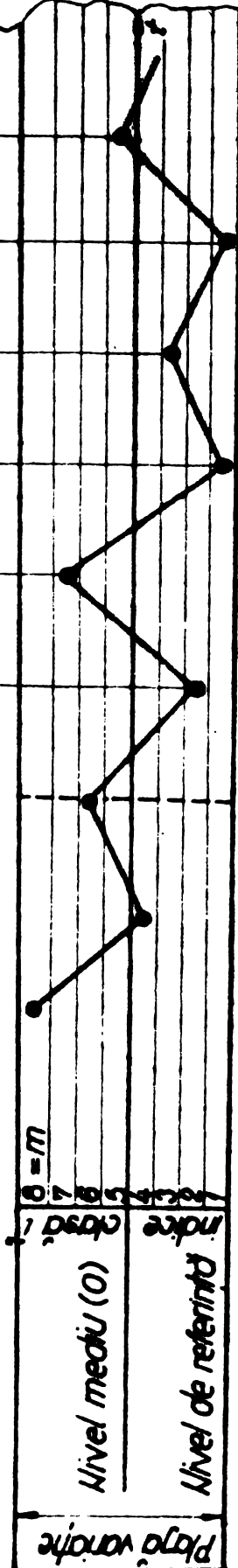
- sinteza pe baza dezvoltării canonice a proceselor aleatoare, exprimate sub forma unor produse dintre variabile aleatoare și funcții deterministe - BILY și CACKO (1978).

Față de prima metodă de sinteză bazată pe o matrice de tip Markov, metoda propusă prezintă avantajul unui model teoretic mai complet - procesul de tip Markov cu considerarea probabilităților de trecere de ordinul II - care permite generarea unor procese care nu au creșteri independente. Prin aceasta, metoda propusă devine aplicabilă în cazul simulării unei largi clase de procese de solicitare ovasistaționare de bandă largă, caracteristice exploataării vehiculelor feroviare, materialului de ridicat și transportat, utilajelor tehnologice (laminoare, etc.).

Metoda de sinteză bazată pe matricea stohastică a probabilităților de trecere de ordinul I apare ca un caz particular al metodei propuse ; în cazul unor procese cu creșteri

Fig. 2.16 Modul de generare a unei succesiuni de extreme prin desfășurarea reprezentării matricilor multiple (probabilități cumulate)

Numărul de ordine n al pasului	0	1	2	3	4	5	6
	$i_0 = 0$	$i_1 = 4$	$i_2 = 6$	$i_3 = 2$	$i_4 = 7$	$i_5 = 1$	$i_6 = 3$
Pregătirea necerii date prin actualizarea primelor 2 stări	$J_0 = 4$	$J_1 = 6$	$J_2 = 2$	$J_3 = 7$	$J_4 = 1$	$J_5 = 3$	$J_6 = 1$
Generarea numărului α_n din sirul pseudocolector $\alpha \in (Q, 1)$ (ex. numeric)	—	α_1 (= 0,212)	α_2 (= 0,690)	α_3 (= 0,06)	α_4 (= 0,16)	α_5 (= 0,10)	α_6 (= 0,02)
Stabilirea nivelului probabil k_n al necerii	$K_0 = 6$	$K_1 = 2$	$K_2 = 7$	$K_3 = 1$	$K_4 = 3$	$K_5 = 1$	$K_6 = 5$
$J_n - K_n : P_{i_n j_n k_n} \leq \alpha_n < P_{i_n j_n k_n + 1}$							

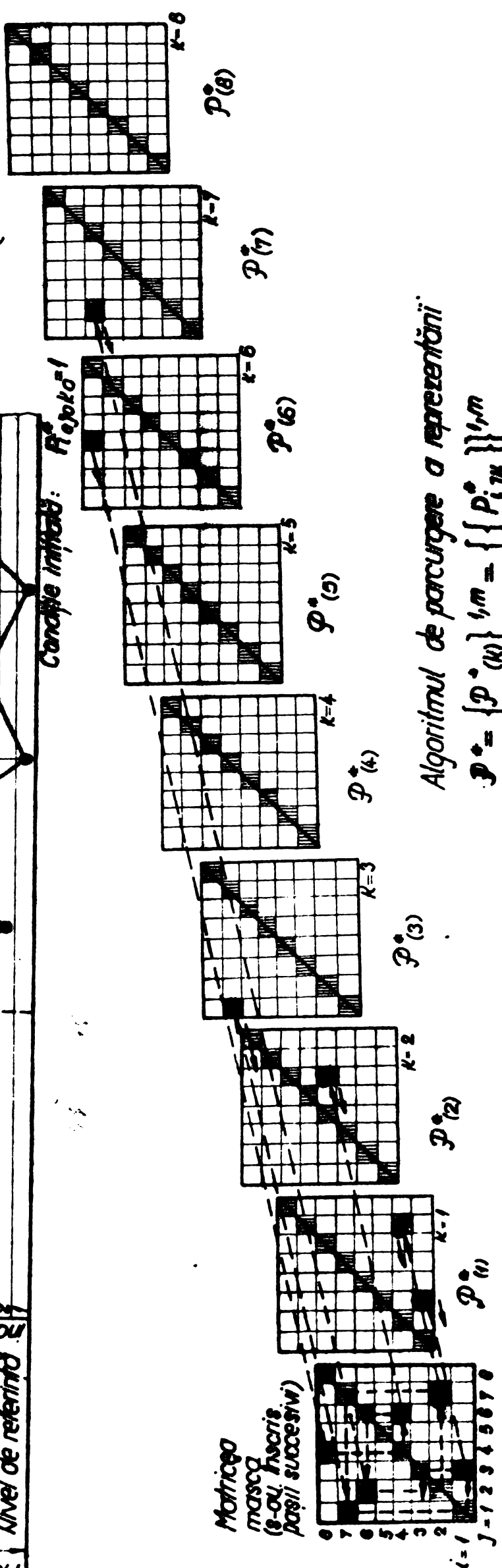


Candele inițiale:
Se dau

$(\mathcal{I}^\circ, \mathcal{P}^\circ)$

$\mathcal{I}^\circ = \begin{cases} P_{i_0 j_0 k_0} = 1 \\ P_{i_j k} = 0 \end{cases}$ pentru: $i \neq i_0$
 $j \neq j_0$
 $k \neq k_0$

Exemplu: $\begin{cases} i_0 = 0 \\ j_0 = 4 \\ k_0 = 6 \end{cases}$



Algoritmul de parcurgere a reprezentării
 $\mathcal{P}^\circ = \{ \mathcal{P}^\circ(k) \}_{k=0}^m = \{ \{ P_{i_j k}^\circ \} \}_{j=0}^m$

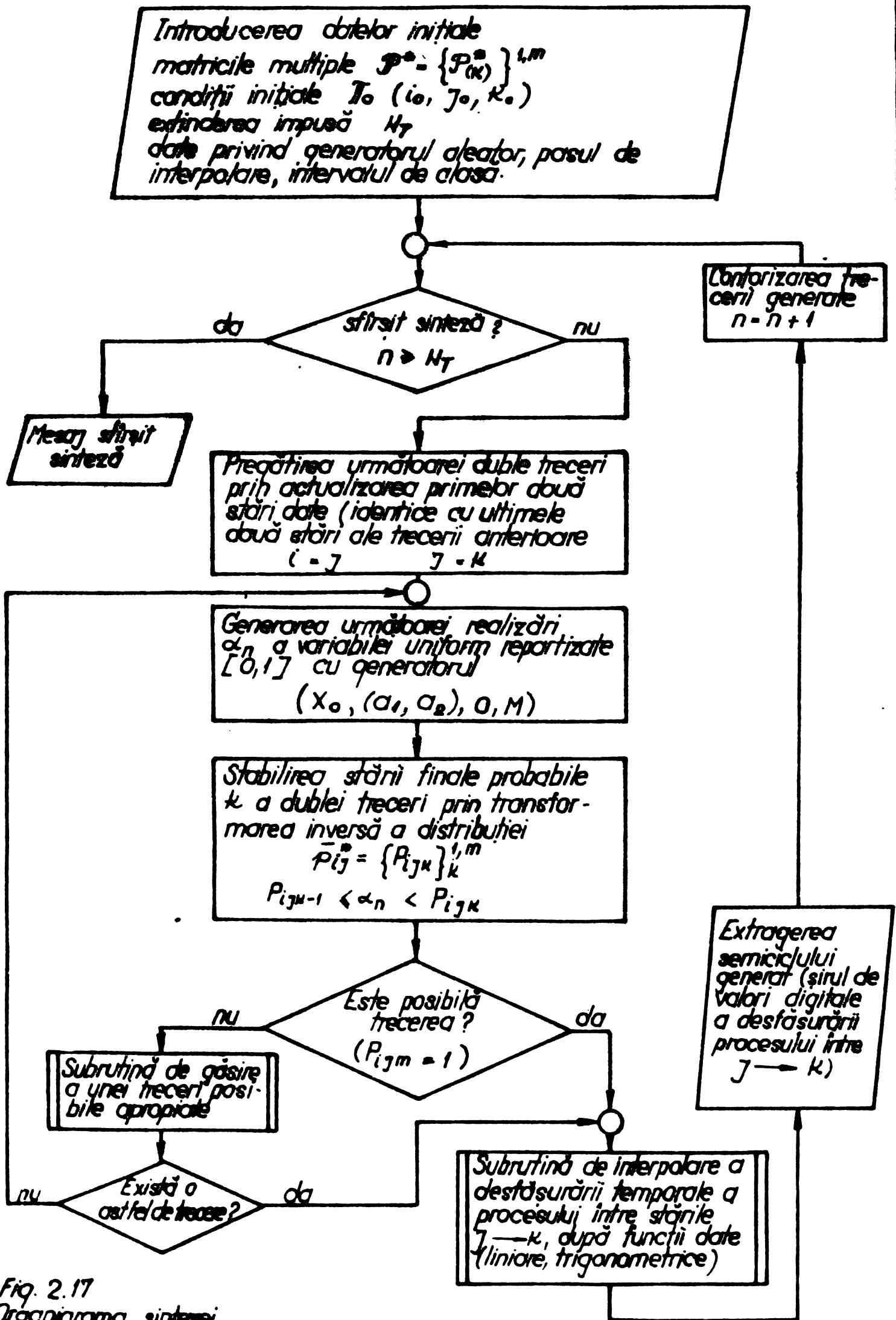


Fig. 2.17
Organigrama sintezei

independente, matricile multiple se pot reduce la matricea stohastică conform rel.(2.49) și algoritmul de sinteză se aplică corespunzător (transformarea inversă stabilește starea finală j_f a simplei treceri $i \rightarrow j$).

Metoda propusă necesită un spațiu de memorie mai mare, condiție care nu este restrictivă avînd în vedere capacitatea tot mai ridicată a calculatoarelor de proces sau specializate ; din punct de vedere al timpului de calcul necesar, programul este însă la fel de performant.

Față de metoda de sinteză bazată pe dezvoltarea canonică, metoda propusă prezintă avantajul unei programări mai performante, utilizînd un singur generator de variabilă aleatoare. Pe de altă parte, metoda de sinteză propusă utilizează nemijlocit rezultatele care sînt compatibile cu caracteristicile statistice descriptive ale procesului de solicitare, adoptate în norme și instrucțiuni de calcul de rezistență. Pentru dezvoltarea canonică a proceselor aleatoare trebuie aplicate metode de analiză mai complexe, iar rezultatele analizei nu pot fi utilizate sub această formă în calcule de evaluare a durabilității.

CAP. 3 - CONTRIBUTII LA ELABORAREA SI APLICAREA
METODOLOGIEI EXPERIMENTALE

1. - Aplicarea extensometriei electrice rezistive
la urmărirea spectrelor de solicitare aleatoare

1.1. Considerații tehnice generale

Pentru investigarea discretă a cîmpurilor de deformații și urmărirea analogică a spectrelor de solicitare din piesele și construcțiile^{de} mașini supuse la solicitări variabile, metoda extensometrică electrică rezistivă prezintă numeroase avantaje operaționale și aplicative față de alte metode experimentale de investigare a stării de deformații/tensiuni :

- sensibilitatea înaltă și precizie a măsurărilor pe partea de aparatură ;
- posibilitatea selectării, prin montaj electric, a unor anumite componente ale solicitării din elementele construcției ;
- posibilitatea compensării unor efecte perturbatoare (temperatură, etc.) ;
- posibilitatea înregistrării și prelucrării semnalelor sub formă analogică, respectiv a digitalizării și prelucrării pe calculatorul numeric ;
- măsurarea unor procese dinamice pînă la frecvențe ridicate ($f_{\max} = 100 \text{ kHz}$) ;
- măsurarea pînă la valori ridicate ale deformației specifice ($4 \dots 5 \cdot 10^{-2} \text{ m/m}$) pentru traductoarele extensometrice rezistive (TER) speciale pentru deformații mari ;
- dimensiuni și masă proprie redusă a TER care nu influențează comportarea dinamică a pieselor chiar la secțiuni mici ;
- baze de măsurare suficient de mici pentru a investiga deformații specifice locale în cîmpuri cu gradienti puternici ;

- rezistență și stabilitate ridicată a TER la solicitări ocolice cu amplitudini ridicate, derivă de zero și variații de sensibilitate limitate.

Dacă pe suprafața piesei nu acționează componente ale învârtirii, starea de tensiuni este plană în fiecare punct al suprafeței, avînd în general tensorul reprezentat prin matricea asociată particulară :

$$[\sigma] = \begin{bmatrix} \sigma_{11} & \sigma_{12} & 0 \\ \sigma_{12} & \sigma_{22} & 0 \\ 0 & 0 & 0 \end{bmatrix} \iff [\varepsilon] = \begin{bmatrix} \varepsilon_{11} & \varepsilon_{12} & 0 \\ \varepsilon_{12} & \varepsilon_{22} & 0 \\ 0 & 0 & \varepsilon_{33} \end{bmatrix} \quad (3.1)$$

Stării plane de tensiuni i se asociază în mod convențional o stare plană de deformații, care este de fapt în general spațială. Direcțiile (1) și (2) sînt cuprinse în planul tangent la suprafață în punctul considerat iar direcția (3) este orientată normal la suprafață - fig.3.1.

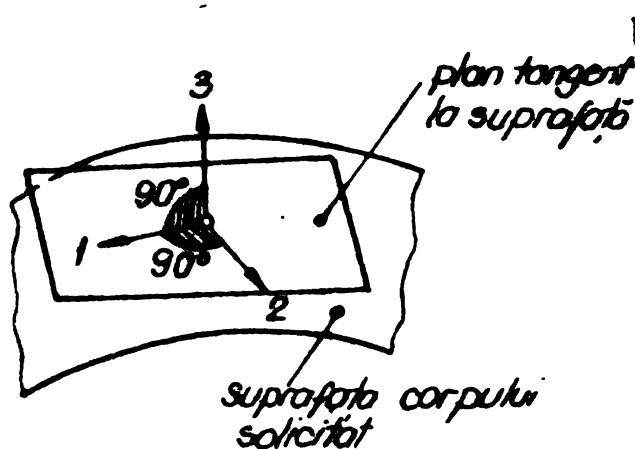


Fig. 3.1. - Starea de deformații/tensiuni la suprafața unui corp solicitat

Pentru starea spațială de deformații se cunoaște a priori una din direcțiile principale ($\varepsilon_{III} = \varepsilon_{33}$), întrucît direcția (3) este o direcție principală a stării de tensiuni ($\sigma_{13} = \sigma_{23} = 0$ pe suprafața piesei solicitate) și se acceptă coincidența direcțiilor principale ale tensiunilor și deformațiilor specifice.

Problema investigării stării de deformării la suprafața unei piese sollicitate se reduce la aspectul plan și constă în determinarea deformațiilor specifice principale și a direcțiilor principale în planul tangent la suprafață.

Elementele principale ale stării de deformării în jurul punctului considerat pe suprafață se pot determina prin măsurarea unor deformații specifice liniare, în cazul general după trei direcții oarecare : (1), (α), (β), repartizate cât mai uniform. Direcția (1) este luată drept origine convențională, iar direcțiile (α) și (β) formează unghiurile α respectiv β cu aceasta.

Din cele trei deformații specifice măsurate se determină elementele principale ale stării de deformării: $\epsilon_I = f_1(\epsilon_1, \epsilon_\alpha, \epsilon_\beta)$; $\epsilon_{II} = f_2(\epsilon_1, \epsilon_\alpha, \epsilon_\beta)$; $\psi_I = f_3(\epsilon_1, \epsilon_\alpha, \epsilon_\beta)$; $\psi_{II} = \psi_I + \pi/2$. Pentru tipurile de TER-rozetă uzuale ($0^\circ/45^\circ/90^\circ$ respectiv $0^\circ/60^\circ/120^\circ$), funcțiile f_1 ; f_2 ; f_3 iau forme particulare cunoscute.

În cazul general al stărilor de deformării/tensiuni cu variație în timp, subsecvențe unor procese de încălzire variabile, coordonatele tensorului deformațiilor specifice sînt funcții de timp; ca urmare și elementele principale ale stării de deformării sînt variabile în timp: $\epsilon_I = \epsilon_I(t)$; $\epsilon_{II} = \epsilon_{II}(t)$; $\psi_I = \psi_I(t)$; $\psi_{II} = \psi_{II}(t)$. Elementele principale se evaluează în acest caz secvențial, la intervale de timp stabilite prin eșantionarea semnalelor primare $\epsilon_1(t)$; $\epsilon_\alpha(t)$; $\epsilon_\beta(t)$.

La urmărirea spectrelor extensometrice se impune o serie de condiții tehnice speciale în legătură cu TER, datorită cerințelor măsurării și înregistrării de precizie a unui mare număr de cicluri de sollicitare, în condițiile unor câmpuri neomogene de deformării, cu gradienti puternici și valori de vîrf ridicate. De asemenea, la efectuarea încercărilor simulative pe stand, ca parametru de control al procesului de sollicitare se urmărește spectrul extensometric înregistrat cu ajutorul unor TER aplicate în zonele cele mai sollicitate ale construcției testate. Criteriile de alegere a TER și condițiile tehnice principale sînt rezumate în anexa II.

În metodologia testării construcțiilor de rezistență de mare răspundere - unicate speciale sau prototipuri ale unor serii de fabricație - studiul experimental al stării de deformării și

tensiuni se efectuează în 2 etape : în regim de solicitare sta-
ticioă și în regim de solicitare dinamică (fig.3.2.)

În regim statio, încărcarea aplicată corespunde sarcinii
utile nominale, amplificată cu un coeficient dinamic $\psi > 1$,
reglementat prin normative specifice diferitelor clase de con-
strucții și prin care se ține seama de efectele aplicării dina-
mice a componentelor de încărcare în exploatare. Rezultatele mă-
surărilor relevă distribuția discretă a deformațiilor și tensiun-
ilor locale în elementele construcției, fără a putea constitui
o bază suficientă pentru evaluarea fiabilistă a durabilității con-
strucției în condițiile unui proces de solicitare aleator.

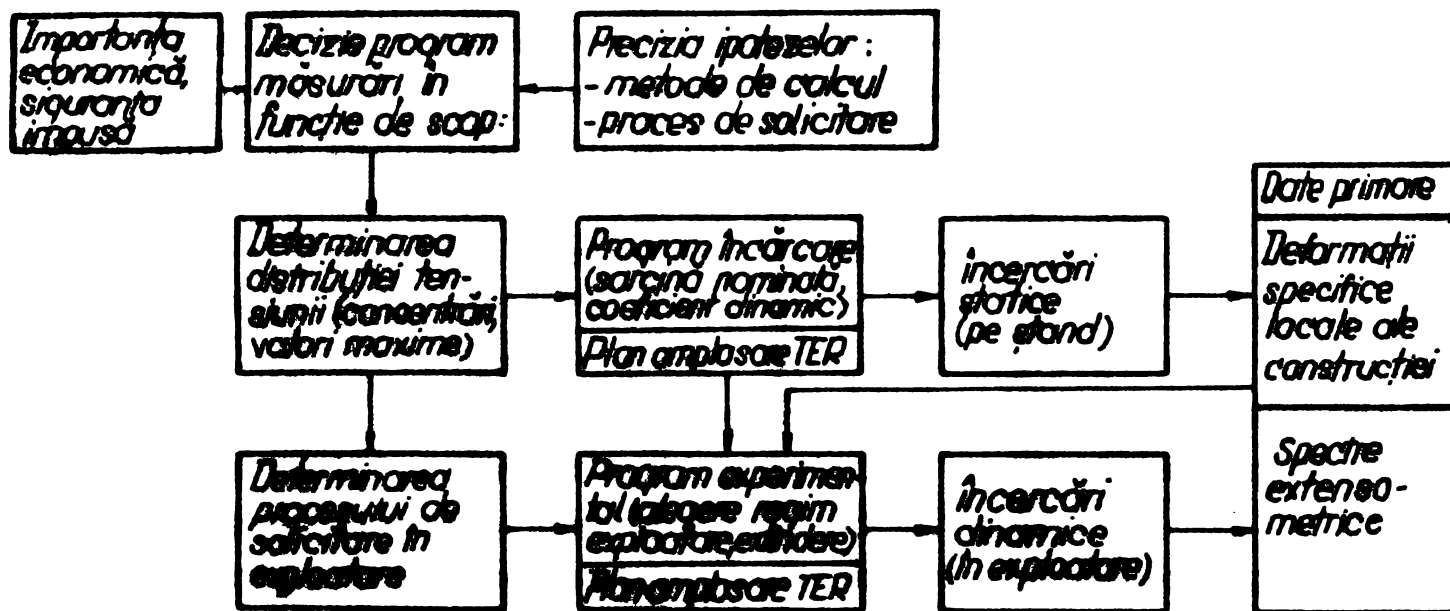


Fig.3.2 - Programarea determinărilor experimentale prin
măsurări extensometrice

În regim dinamic, efectuat în condiții semnificative de
exploatare, se urmărește înregistrarea variației temporale a defor-
mațiilor specifice în zonele evidențiate cu concentrații maxime ale
tensiunii. Spectrele extensometrice obținute ca selecții ale pro-
cesului de solicitare real permit stabilirea structurii statistice a
procesului în urma analizei. Rezultatele analizei constituie atât

baza calculelor previzional-fiabiliste a durabilității, cât și datele inițiale ale sintezei în vederea verificării experimentale simulative a durabilității.

2. Metodologia culegerii, prelevării și preluorării datelor extensometrice

2.1. Lanțul de măsurare, prelevare și preluorare a datelor

Aparatura integrată în lanțul de măsurare, prelevare și preluorare a datelor trebuie să realizeze toate etapele și transformările impuse în fluxul informațional :

- culegerea datelor - se realizează prin TER (sau alte tipuri de traductoare extensometrice în cazuri speciale : traductoare pentru deplasări etc.) ;

- amplificarea/adaptarea semnalului cules de la TER - se realizează prin aparatura secundară extensometrică (amplificatoare cu frecvență purtătoare cu modulație în amplitudine sau amplificatoare în curent continuu), completată cu unități de comandă automată a comutației posturilor de măsurare, cu posibilitatea echilibrării individuale a posturilor și de verificare pe parcursul măsurării a echilibrării de zero și a amplificării ;

- reducția analogică de date prin filtrare trece-jos, eliminarea eventualelor perturbații electrice, a impulsurilor de etalonare respectiv memorarea unor valori extreme ;

- vizualizarea spectrelor extensometrice (osciloscop, înregistratoare pe hirtie) ;

- stocarea intermediară a datelor (dacă nu există posibilitatea preluorării datelor în flux continuu) ;

- conversia analog - digitală prin eșantionare în vederea introducerii datelor în calculatorul numeric ;

- clasarea specializată pe aparate automate.

Schema generală a aparaturii integrate în lanțul de măsurare, prelevare și preluorare a datelor este dată în fig.3.3.

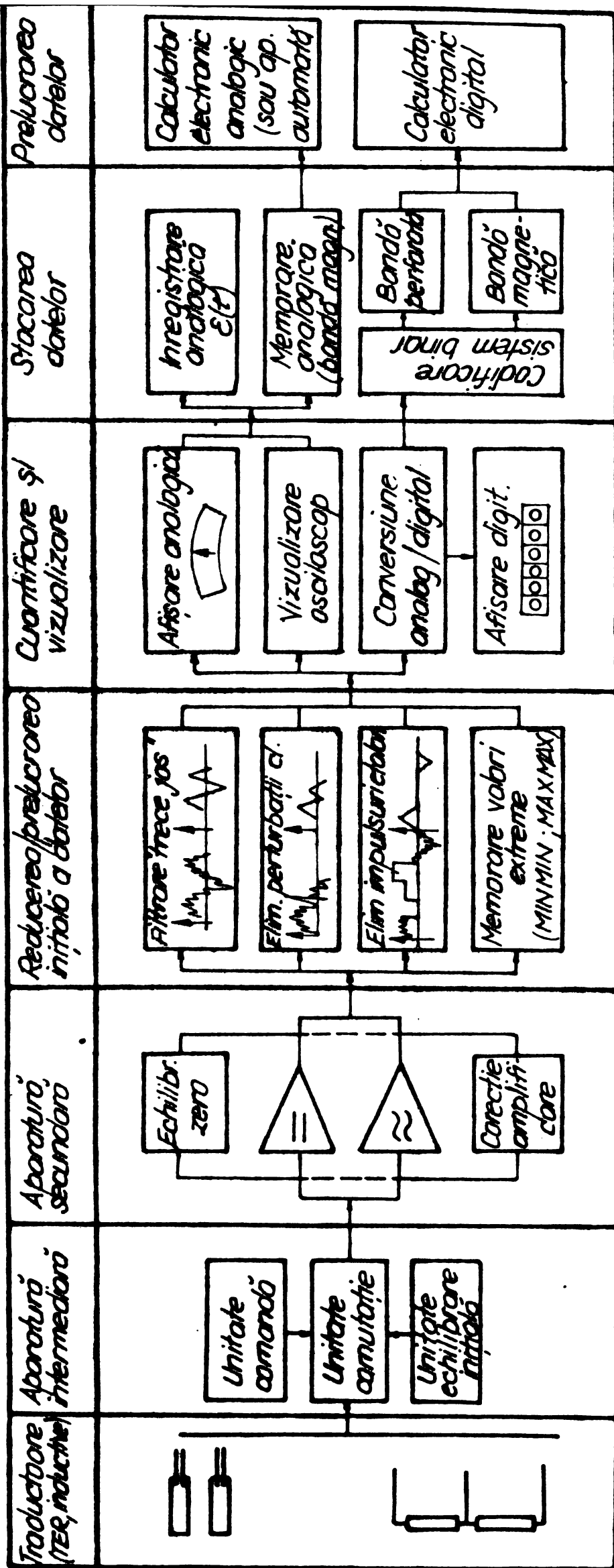


Fig.3.3 Schema generală a aparatului pentru măsurarea, prelevarea și prelucrarea în flux a datelor extensometrice

2.2. Culegerea și prelevarea datelor primare în vederea analizei

2.2.1. Volumul selecției înregistrate

Pentru a asigura consistența statistică și acuratețea rezultatelor analizei, spectrul de solicitare înregistrat ca selecție a unei realizări posibile a procesului aleator global, trebuie să aibă o extindere suficient de mare. Deși acuratețea globală depinde și de alți factori secundari care intervin în fluxul preluării informației, drept criteriu de stabilire a volumului minim al selecției înregistrate s-a adoptat precizia determinării erorii standard normalizate a funcției de autocorelație $C_{\xi}(\bar{z})$ (ipoteza variațiilor $\hat{C}(t)$ centrate). Ulterior se va analiza și influența factorilor secundari asupra preciziei preluării (de ex.: intervalul de clasă la digitalizarea prin clasare), corelat cu extinderea selecției.

S-a ales drept mărime de referință funcția de autocorelație, întrucât determinarea ei reprezintă o extindere a analizei în domeniul amplitudinilor cu posibilitatea caracterizării spectrale a procesului în baza teoremei WIENER-HINICIN ; pe de altă parte, impunând precizia determinării funcției de autocorelație se impune implicit și precizia determinării dispersiei procesului ($C_{\xi}(\bar{z}=0) = d_{\xi}^2$), care reprezintă un parametru fundamental al distribuției de probabilitate unidimensionale a procesului.

Daosă în expresia erorii empirice a estimării parametru-
lui $C_{\xi}(\bar{z})$ - după GÎRLASU (1978) :

$$e_{C_{\xi}} = \frac{\sqrt{D[\hat{C}_{\xi}(\bar{z})]}}{C_{\xi}(\bar{z})} = \frac{1}{\sqrt{2BT}} \cdot \sqrt{1 + \frac{C_{\xi}^2(0)}{C_{\xi}^2(\bar{z})}} \quad (3.2)$$

($D[\hat{C}_{\xi}(\bar{z})]$ fiind dispersia valorilor estimate)
se înlocuiește produsul BT din relația care exprimă legătura între numărul total al punctelor de eșantionare N_{eT} pe durata T a înregistrării și banda de frecvențe B :

$$N_{eT} = 2 \times B \cdot T \quad (3.3)$$

rezultă pentru $\bar{z} = 0$:

$$e_{C_e(0)} = \sqrt{\frac{2\alpha}{N_{eT}}} \quad (3.4)$$

Pentru un nivel de încredere de $P = 90\%$ (din distribuția student: $t(P,K) = 1,60$), rezultă eroarea empirică :

$$e = 1,60 \cdot \sqrt{\frac{2\alpha}{N_{eT}}} \quad (3.5.)$$

In cazul limită fiind coeficientul de eşantionare este $\alpha = 1$, pentru a limita eroarea estimării la $e = 1\%$, numărul de eşantioane este

$$N_{eT} \approx 52000$$

Frecvența de eşantionare este conform teoremei SHANNON:

$$f_e = 2B \quad (\alpha = 1) \quad (3.6)$$

iar lățimea benzii de frecvență

$$B = f_{max} = (7 \dots 10) f_c \quad (3.7)$$

se stabilește în raport cu frecvența centrală maximă f_0 (la proese multimodale a funcției densității spectrale de putere) prin filtrare trece-jos, cu frecvența superioară f_{max} .

Numărul total de cicluri N_{Tmin} , corespunzător frecvenței centrale, care constituie volumul de informații minim necesar al selecției este deci :

$$N_{Tmin} = 2600 \text{ cicluri}$$

respectiv durata selecției

$$T_{min} = \frac{N_{Tmin}}{f_0} = \frac{2600}{f_0}$$

2.2.2. Reducția analogică de date

Procesul de solicitare înregistrat sub formă de spectru extensometric conține în general un spectru continuu de frecvențe. Amplitudinile operante din punct de vedere al degradării prin obosală sînt cele corespunzătoare componentei fundamentale și componentei suprapuse, avînd în general frecvențe joase pentru construcțiile de mașini. Datorită factorilor ambientali apar însă și osci-

lații de frecvență ridicată, a căror amplitudine este foarte redusă și a căror contribuție la degradarea prin oboseală este neglijabilă. În afară de aceasta, amplitudinile acestea ar mări în mod inconvenabil volumul de date de preluorat, fără a aduce informații utile în plus, iar în cadrul olasării digitale ar fi eliminate în majoritate datorită valorilor interextreme (2 x amplitudini) mai reduse decât intervalul clasei.

Reducția datelor redondante se face avantajos pe partea analogică a fluxului informațional, printr-o filtrare trece-jos. Frecvența superioară a filtrării se stabilește în general la $f_{max} = (7...10) f_0$, unde f_0 reprezintă frecvența centrală a componenteii suprapuse. La anumite clase de construcții ou proese de exploatare reglementate, valorile frecvenței superioare f_{max} sînt preserise, în alte cazuri este necesară determinarea funcției densității spectrale de energie.

2.2.3. Conversia analog - digitală

În vederea analizei statistice pe calculatorul numeric, care operează ou numere codificate în sistemul binar, este necesar ca spectrele analogice să fie transformate într-o succesiune de impulsuri, care să poată fi cuantificate și ulterior codificate în sistemul binar. Această transformare se face prin procedeul de eșantionare la care informația asupra semnalului este transmisă numai în momente discrete de timp, la intervale egale de timp T_e (perioada eșantionării). Semnalul de ieșire eșantionat apare sub forma unui tren de impulsuri modulat în amplitudine de semnalul analogic original.

Pentru a asigura posibilitatea de reconstituire a semnalului analogic original din semnalul eșantionat, fără denaturarea sau pierderea unui volum important de informații despre spectrul original, frecvența de eșantionare $f_e = 1/T_e$ trebuie să îndeplinească condiția lui SHANNON - după BENDAT și PIERSOL (1971), MAX (1972) :

$$f_s = f_{e_{min}} \geq 2 f_{max} \quad (3.8)$$

unde f_{max} este frecvența maximă a spectrului original. Condiția la limită corespunde unui coeficient al eșantionării

Frecvența Nyquist - frecvența maximă a spectrului care poate fi redată corect prin eșantionare, efectuată la o frecvență dată $f_e \geq f_s$, trebuie să fie :

$$f_N = \frac{f_s}{2} \geq f_{max} \quad (3.9)$$

În cazul unei filtrări trece-jos cu frecvența superioară $f_{max} = (7...10) f_0$, rezultă o frecvență de eșantionare minimă:

$$f_{emin} = f_s = (14 \dots 20) f_0$$

În fig. 3.4. este redat modul de prelevare a unor date extensometrice.

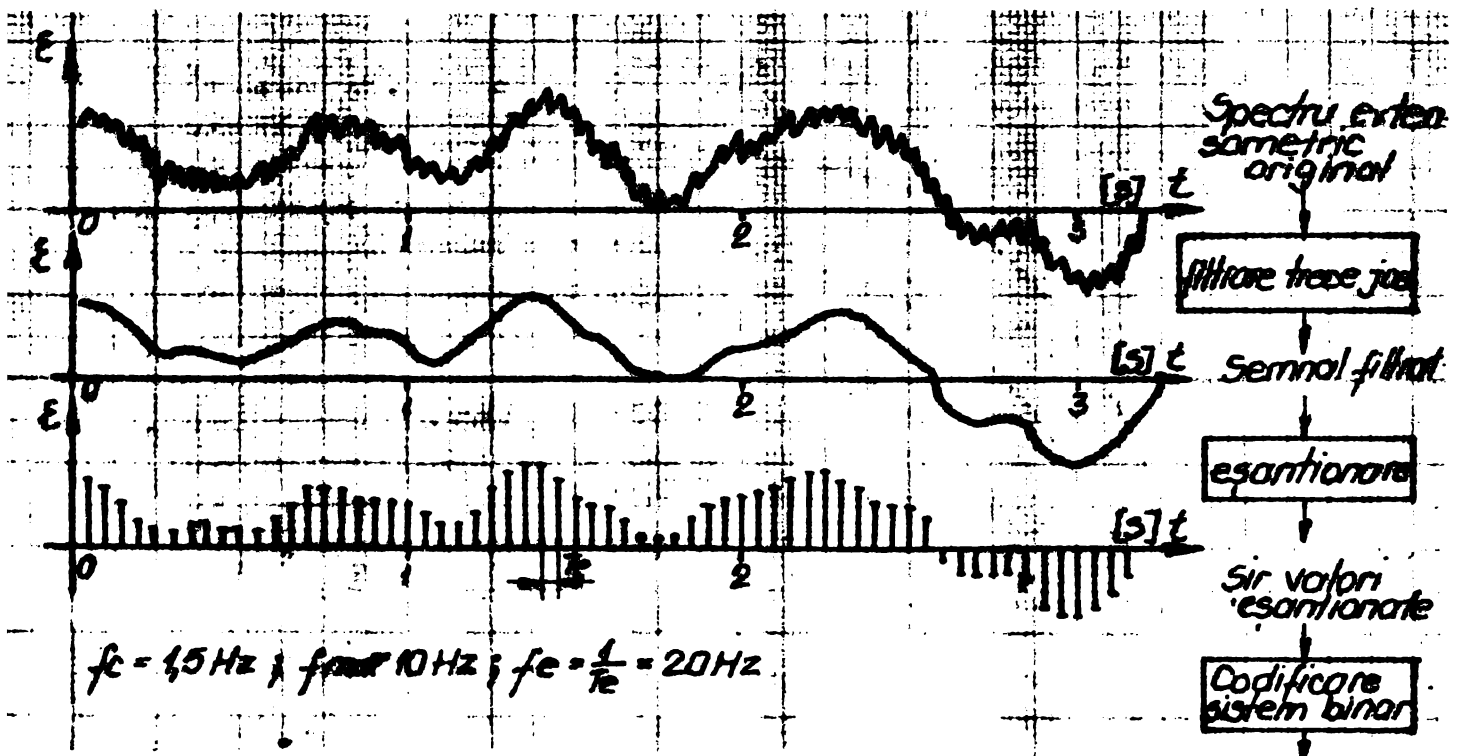


Fig.3.4 - Filtrarea și eșantionarea unui spectru extensometric ($f_0 = 1,5 \text{ Hz}$)

2.3. Analiza spectrului extensometric

2.3.1. Clasarea digitală biparametrică dublu corelată

În urma prelevării datelor primare, informația asupra spectrului extensometric rezultă sub forma unui șir de valori eșantionate în raport cu timpul ; în continuare, analiza datelor presupune o tratare digitală în raport cu nivelul, prin aplicarea metodei de clasare biparametrice dublu corelate.

2.3.1.1. Alegerea intervalului clasei

Consistența statistică și eroarea estimării parametrilor statistici ai procesului de solicitare depinde, în afară de volumul selecției, și de finețea discretizării plajei de variație la clasarea digitală.

În funcție de finețea discretizării, deci de valoarea intervalului clasei σ_{cl} , rezultă anumite abateri ale estimării; dependent de volumul selecției și valoarea intervalului clasei, fig.3.5 - se reprezintă eroarea estimării abaterii medii pătratice pentru o populație statistică distribuită normal, cu $d_x = 1$.

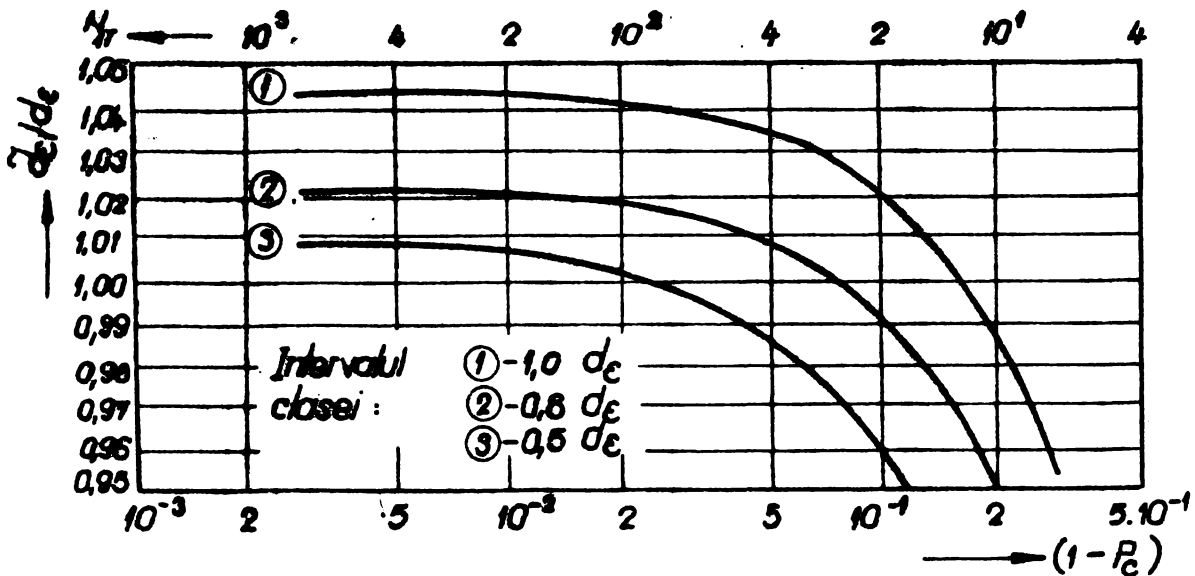


Fig.3.5 - Eroarea de estimare a abaterii medii pătratice - modificat după PAASCH și PFEIFFER (1973)

Pentru volumul selecției de $N_{IT} \geq 2600$ cicluri, condiție limită pentru consistența evaluării statistice, eroarea de abatere se poate menține sub 1% dacă se impune valoarea intervalului clasei $\sigma_{cl} \leq 0,5 d_e$.

Intrucât aprioric nu se cunoaște dispersia procesului, se acceptă numărul de clase minim dedus în ipoteza distribuției normale :

$$m \geq \frac{4 \cdot \text{MAX} \{ (\mathcal{E}_{\text{max MAX}} - \mathcal{E}_{\text{static}}); (|\mathcal{E}_{\text{min MIN}}| - \mathcal{E}_{\text{static}}) \}}{F^{-1} \left(1 - \frac{1}{2N_{IT}} \right)} \quad (3.10)$$

în care $\bar{\epsilon}_{\max} \text{ MAX}$; $\bar{\epsilon}_{\min} \text{ MIN}$ reprezintă valoarea maximă a extremelor de tip maxim respectiv valoarea minimă a extremelor de tip minim în cadrul selecției de extindere N_{1T} .

Intervalul de clasă s-a presupus la limită :

$$\sigma_{cl} = 0,5 d_{\epsilon}$$

și este determinat univoc de rel.(3.10), cunoscându-se valoarea maximă a extremului și numărul de clase.

Valoarea rezultată din rel.(3.10) se rotunjește la numărul par imediat superior, pentru a avea același număr de clase pozitive și negative.

Pentru clasarea corectă a unor selecții $N_{1T} \geq 2600$, în tabelul 3.1 se indică numărul minim de clase.

Tabelul 3.1

Extinderea selecției N_{1T} /cicluri/	Numărul minim de clase m (pentru $\sigma_{cl} \leq 0,5 d_{\epsilon}$)	
2,6 $\cdot 10^3$	(14,00)	14
5 $\cdot 10^3$	(14,88)	16
1 $\cdot 10^4$	(15,56)	16
5 $\cdot 10^4$	(15,56)	16
1 $\cdot 10^5$	(17,68)	18
5 $\cdot 10^5$	(19,01)	20
1 $\cdot 10^6$	(19,56)	20

Cu acestea se stabilesc nivelele care departajează clasele :

$$\epsilon_{cl}(i^*) = (\bar{\epsilon} - \frac{m}{2} \sigma_{cl}) + (i^* - 1) \cdot \sigma_{cl} \quad i^* = 1, \dots, m \quad (3.11)$$

în care : $\epsilon_{cl}(i^*)$ - este nivelul inferior al clasei i^* (respectiv nivelul superior al clasei $i^* - 1$)

$\bar{\epsilon}$ - valoarea medie temporală a procesului

i^* - indicele curent al clasei.

Indicele de clasă se corelează cu valoarea centrală a clasei :

$$\bar{\epsilon}_{cl}(i^*) = \frac{\epsilon_{cl}(i^*) + \epsilon_{cl}(i^* + 1)}{2} = \epsilon_{cl}(i^*) + \frac{\sigma_{cl}}{2} \quad (3.12)$$

2.3.1.2. Deteoția extremelor și clasarea frecvențelor dublelor treceri

Prin clasarea biparametrică se urmăresc ca parametri definatorii ai ciclului de sollicitare : maximele (MAX) și minimele (MIN).

Deteoția extremelor se bazează pe principiul găsi-rii punctelor în care se anulează derivata I a variației $\xi(t)$. Spectrul fiind dat sub forma unui șir de valori eșantionate ξ_n ($n = 1, 2, \dots, N_e$), extremele apar la schimbarea de semn a creșterilor finite succesive :

$$\text{sig} \left(\frac{\xi_n - \xi_{n-1}}{T_e} \right) \neq \text{sig} \left(\frac{\xi_{n+1} - \xi_n}{T_e} \right) \quad (3.13)$$

unde pentru :

$$\text{sig} \left(\frac{\xi_n - \xi_{n-1}}{T_e} \right) = \begin{cases} + & : \xi_n \text{ reprezintă valoarea unui} \\ & \text{extrem de tip MAX} \\ - & : \xi_n \text{ reprezintă valoarea unui} \\ & \text{extrem de tip MIN} \end{cases}$$

Extremul detectat se clasează prin încadrarea valorii ξ_n între cele 2 nivele ale clasei, conform condiției :

$$\xi_{cl}(i^*) \leq \xi_n < \xi_{cl}(i^*+1) \quad \xi_n \rightarrow i^* \quad (3.14)$$

și i se atribuie un număr de ordine în șirul extremelor detectate.

Rezultă că valoarea de eșantionare sau numărul de ordine n reprezintă un extrem cu următoarele caracteristici :

- tipul : MAX sau MIN (conform rel.3.13)
- încadrarea în clasa i^* (conform rel.3.14)
- numărul de ordine : n_{ext} ($n_{ext} = 1, 2, \dots, n_{ext} < n$)
- caracterul : CERT sau INCERT

Ultima caracteristică ține seama de necesitatea unei reducții de date și pe partea digitală a fluxului informațional. Datorită discretizării plajei de variație și reducerii tuturor extremelor încadrate într-o clasă la valoarea centrală a clasei respective, nu se poate conserva informația privind trecerea între două extreme succesive de tip diferit în cadrul aceleiași clase. Unui extrem detectat și clasat i se atribuie identificatorul INCERT pînă cînd, la clasarea extremului următor se

satisfac condițiile :

$$\left. \begin{aligned} i^*(n_{ext}-1) &\neq i^*(n_{ext}) \\ i^*(n_{ext}) &\neq i^*(n_{ext}+1) \end{aligned} \right\} \implies \text{extremul cu numărul de ordine } n_{ext} \text{ devine din INCERT } \rightarrow \text{CERT}$$

Extremele rămase incerte se anulează din șirul de extreme și se corectează corespunzător numerele de ordine - fig. 3.6.

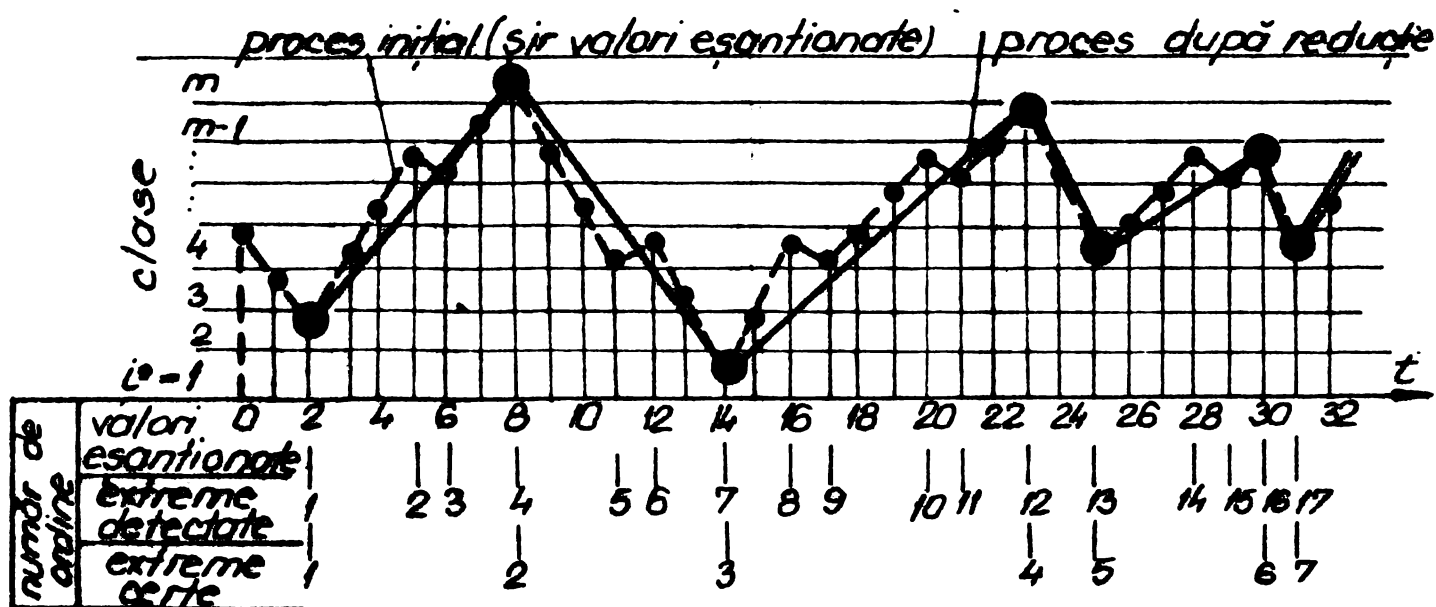


Fig. 3.6. - Reducția de date la clasarea digitală

Stocarea informației rezultate în urma clasării constă în contorizarea frecvenței dublei treceri, formate din 3 extreme certe succesive în contorul N_{ijk} ($\rightarrow N_{ijk} + 1$)

Coordonatele contorului N_{ijk} corespund claselor încadrate de cele trei extreme :

$$\begin{cases} i = i^*(n_{ext}-2) \\ j = i^*(n_{ext}-1) \\ k = i^*(n_{ext}) \end{cases} \quad (3.15)$$

Prin parcurgerea întregului șir de valori eșantionate \mathcal{E}_n , ($n = 1, 2, \dots, N_0$) se obține reprezentarea procesului aleator sub forma matriciilor multiple $\mathcal{P} = \{\mathcal{P}^{(k)}\}^{4,m} = \{\{N_{ijk}\}\}^{4,m}$ ale a căror elemente (contoare) conțin frecvențele absolute ale dublelor

treoceri realizate.

În fig.2.8 este dată schema generală a clasării unei succesiuni de extreme certe, rezultate după parcurgerea reducției de date; în fig.3.7/8 se indică organigrama generală a clasării biparametrice dublu corelate.

Cu aceasta, analiza propriu-zisă a procesului aleator este încheiată. Reprezentarea matricilor multiple \mathcal{M} conține volumul de informații necesare pentru caracterizarea structurii statistice a procesului, în domeniul amplitudinilor. Procesul aleator original dat sub forma unui spectru cu desfășurare temporală $\xi(t)$ a fost transpus într-o succesiune de evenimente (realizarea extremelor în clasele $i^m = 1, \dots, m$). Se pierde o parte a informației asupra componentei spectrale, fără implicații asupra evaluării durabilității, dar se conservă informația privind distribuția de probabilitate și istoria ciclurilor în domeniul amplitudinii.

2.4. Stabilirea caracteristicilor definitorii pentru capacitatea de degradare a procesului de solicitare

2.4.1. Stabilirea colectivelor de solicitare

Pentru caracterizarea capacității de degradare a procesului de solicitare analizat, din reprezentarea matricilor multiple se deduc colectivele de solicitare fundamentale prin determinarea :

- frecvențelor de clasă ale extremelor (maxime, minime)
- frecvențelor cumulate ale depășirii nivelelor.

De asemenea se mai determină și factorul de neregularitate ca raportul dintre numărul trecerilor pozitive prin nivelul mediu și numărul total de cicluri (numărul total de maxime sau minime).

Algoritmii de calcul al acestor frecvențe sînt dați în tabelul 2.1 și 2.2.

2.4.2. Ajustarea analitică a colectivelor de solicitare

Pentru o tratare analitică a colectivelor de solicitare, obținute ca histograme ale frecvențelor de clasă, este utilă ajustarea prin legi de distribuție teoretice (ANEXA III) Ca o măsură de apreciere a aplicabilității diferitelor tipuri de legi teoretice, distribuția empirică se poate localiza în planul

Introducerea datelor initiale:
 - sirul valorilor de esantionare a spectrului exten-
 sometric ($\xi_l, l = 1, N_e$)
 - date privind clasarea (numar de clase m , interva-
 lul clasei, nivele prestabilite $\xi_{cl}(i^*), i^* = 1, m+1$)

*Initializarea tabloului trecerii curente (se iau in
 considerare 4 extreme succesive):*

$\eta_x = 0$ valoarea indicelui de clasă
 $\eta_x = A_x = \text{MIN}$ tipul extremului
 $\xi_x = \text{INCERT}$ caracteristica extremului
 d.p.d.v. a reducerii de date
 pentru $x = n-2; n-1; n; n+1$

*Initializarea la zero a contoarelor dublelor
 treceri $N_{i,j,k} = 0$ $i, j, k = 1, m$ și a
 contoarelor numerelor de ordine
 $l = 0$ valori de esantionare
 $r = 0$ extreme detectate*

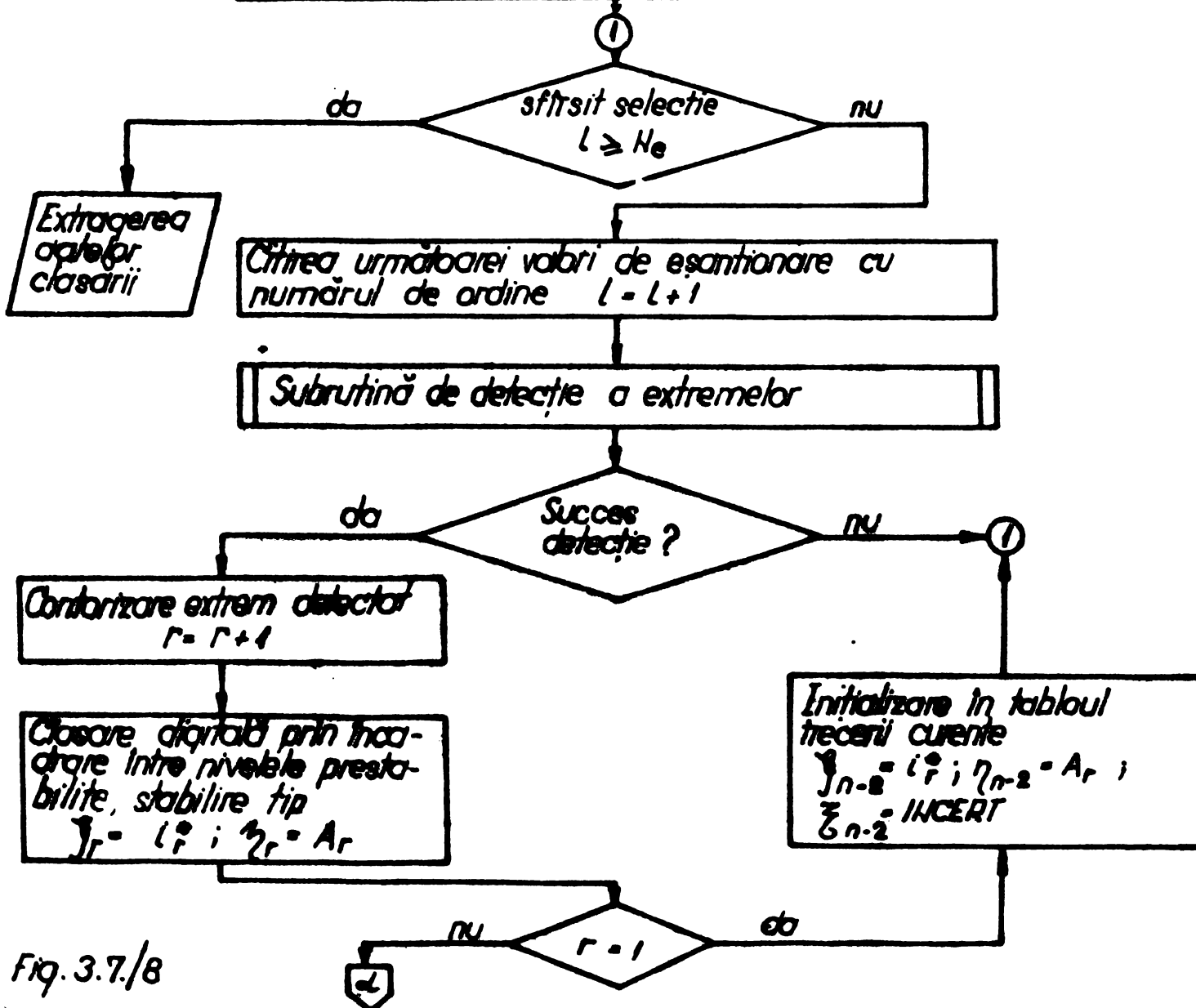


Fig. 3.7./8

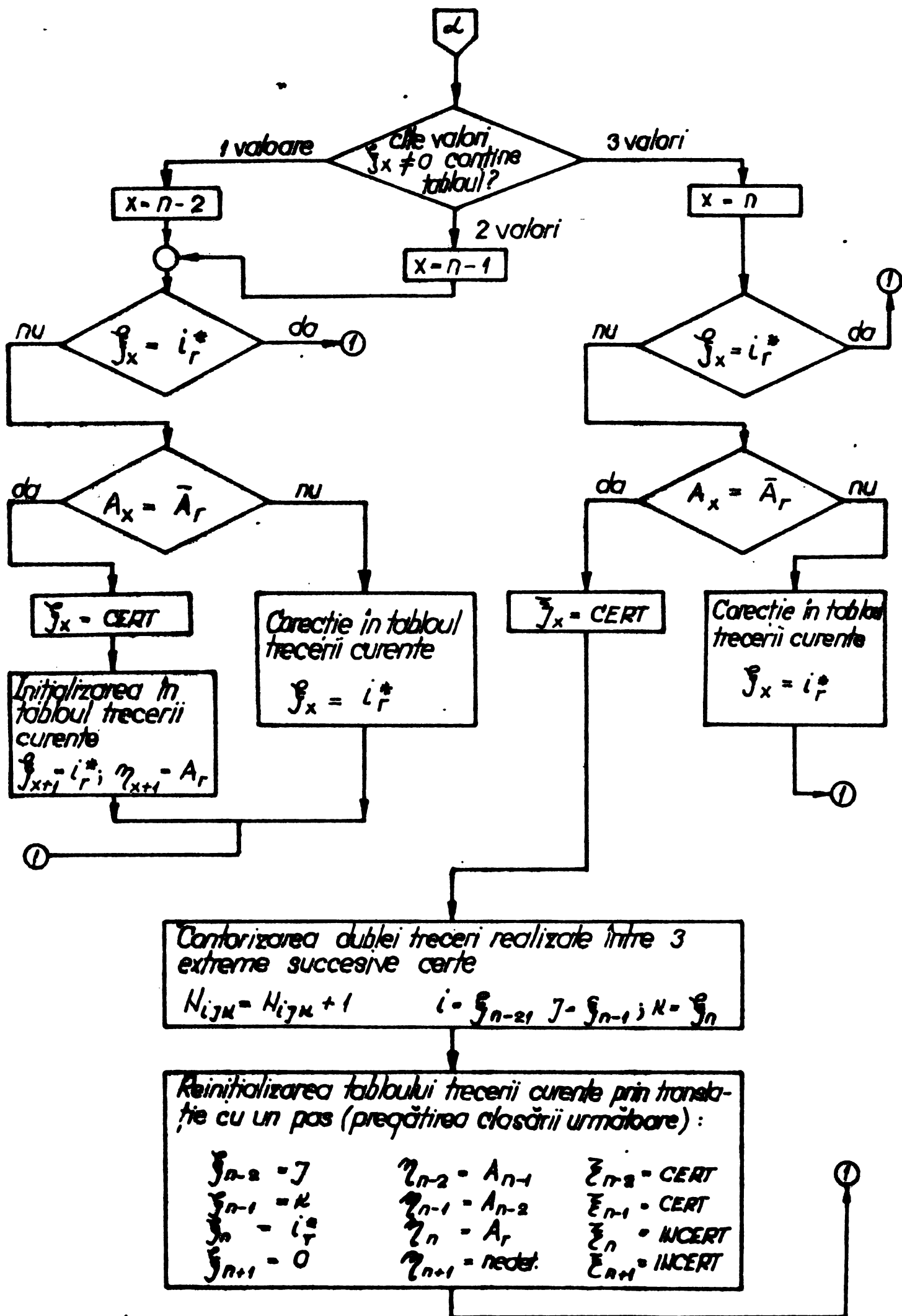


Fig. 3.7/8

Organigrama clasării biparametrice dublu corelate cu reducere de date pe partea digitală.

transformărilor variabile normale normate prin intermediul a două mărimi criteriale - fig. 3.9

$$\beta_1 = \frac{m(3)}{[m(2)]^{3/2}} \quad ; \quad \beta_2 = 9 - \frac{m(4)}{[m(2)]^2} \quad (3.16)$$

Aceste mărimi descriu înclinația respectiv exoesul distribuției date în raport cu distribuția normală și se definesc cu ajutorul momentelor centrate de ordin superior ale distribuției $m(k)$.

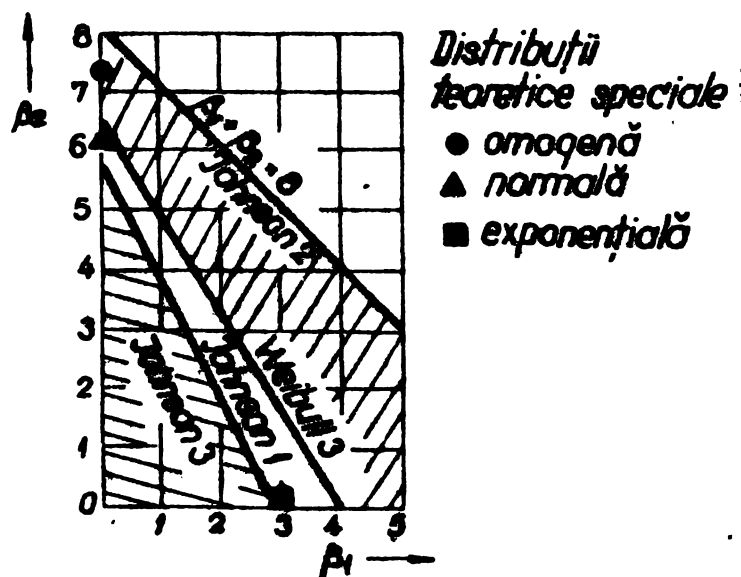


Fig.3.9 - Localizarea tipurilor de distribuție în planul de transformări (β_1, β_2)

Intrucât momentele centrate de ordin superior nu caracterizează complet legea de distribuție, se impune uneori ajustarea în paralel după mai multe tipuri probabile de legi și confruntarea gradului de concordanță obținut pentru fiecare ajustare (de exemplu: minimul sumei abaterilor pătratice).

Determinarea parametrilor distribuțiilor poliparametrice în vederea explicitării analitice este posibilă prin mai multe metode, dintre care se propun următoarele două :

- metoda verosimilității maxime - după FISHER, care presupune că valorile optime ale parametrilor sînt acelea pentru care frecvențele clasate au probabilitatea maximă. Pentru funcția verosimilității maxime :

$$F(\alpha, \sigma, \delta, \eta \dots) = \frac{N!}{\prod_{i=1}^m h(i)} \cdot \prod_{i=1}^m p(\epsilon_{i^*}, \alpha, \sigma, \delta, \eta \dots) \cdot h(i^*) \quad (3.17)$$

unde : N - numărul total de valori clasate, m - numărul total de clase, $h(i^k)$ - frecvența de clasă ($i^k = 1, 2, \dots, m$) - se determină setul de parametri ($\alpha, \delta, \sigma, \eta, \dots$) care maximăază funcția F .

Prin logaritmare și derivare parțială se obține un sistem de ecuații diferențiale neliniare de forma :

$$\left\{ \begin{array}{l} \sum_{i^k=1}^m h(i^k) \frac{\partial}{\partial \alpha} \{ \ln [p(\varepsilon_{i^k}, \alpha, \delta, \sigma, \eta, \dots)] \} = 0 \\ \sum_{i^k=1}^m h(i^k) \frac{\partial}{\partial \delta} \{ \ln [p(\varepsilon_{i^k}, \alpha, \delta, \sigma, \eta, \dots)] \} = 0 \\ \sum_{i^k=1}^m h(i^k) \frac{\partial}{\partial \sigma} \{ \ln [p(\varepsilon_{i^k}, \alpha, \delta, \sigma, \eta, \dots)] \} = 0 \end{array} \right. \quad (3.18)$$

- metoda ROSENBROCK - după ARGHIRIADU (1977) ; această metodă specializată de identificare a parametrilor se bazează pe găsirea setului de parametri care minimizează valoarea unei funcții criteriu. Metoda este iterativă, concepută pentru rezolvarea pe calculatorul numeric și se bazează pe rotirea succesivă a sistemului de axe în spațiul multidimensional al parametrilor $\alpha, \delta, \sigma, \eta, \dots$ pentru localizarea punctului de minim al "suprafeței" reprezentată de funcția criteriu. Această funcție se stabilește astfel încât să se obțină o concordanță optimă a ajustării, de ex.: ca suma abaterilor pătratice.

2.4.3. Determinarea caracteristicilor definatorii ale colectivelor

Colectivele de solicitare ajustate se extrapolează pe baza legii de distribuție teoretice la extinderea normată (după GASSNER $\bar{N}_T = 10^6$ cicluri).

Pentru colectivele extrapolate se determină caracteristicile definatorii, conform pot.2.4.4 (amplitudinea maximă, gradul de plenitudine, coeficientul de asimetrie, valoarea medie pătratică, etc.)

Aceste caracteristici se referă la colectivele de solicitare exprimate în valori de deformații specifice locale.

2.4.4. Stabilirea colectivelor de solicitare de calcul

Cu excepția unor metode speciale cu aplicabilitate limitată care se bazează pe valori locale măsurate ale deformațiilor specifice - HAIBACH (1970), metodele de calcul reglementate operează cu colective de solicitare exprimate în tensiuni nominale de calcul.

Trecerea de la deformații specifice locale la tensiuni nominale se efectuează în general prin : determinarea elementelor principale ale stării de deformații, transpunerea pe baza legii de material în tensiuni principale, calculul tensiunii echivalente locale pe baza unei teorii de rezistență acceptate și împărțirea cu un factor de concentrare local, determinat experimental, pentru găsirea valorii nominale de calcul.

Intrucât informația primară a măsurării o constituie valorile deformației specifice, este utilă definirea unei deformații specifice "echivalente" - TROOST și BENNING (1974):

$$\varepsilon_{ech} = \frac{\sigma_{ech}}{E} = \frac{1}{1+\nu} \sqrt{\frac{3}{2} \sum \varepsilon'_{ik} \cdot \varepsilon'_{ik}} \quad (3.19)$$

în care

$$\sigma_{ech} = \sqrt{\frac{3}{2} \sum \sigma'_{ik} \cdot \sigma'_{ik}} = \sqrt{\sigma_I^2 + \sigma_{II}^2 - \sigma_I \cdot \sigma_{II}} \quad (3.20)$$

este tensiunea echivalentă după ipoteza energiei de modificare a formei VON MISES, particularizată pentru starea de tensiune plană.

$$\begin{aligned} \varepsilon'_{ik} &= \frac{1+\nu}{E} \sigma'_{ik} \\ \sigma'_{ik} &= \sigma_{ik} - \frac{1}{3} \cdot \sigma_{ik} \cdot \sigma_{kk} \end{aligned} \quad i, k = 1, 2, 3 \quad (3.21)$$

reprezintă componentele deviatorului deformațiilor specifice respectiv ale deviatorului tensiunii, în care σ_{ik} este simbolul Kronecker.

Deformația specifică echivalată se poate exprima și funcție de elementele principale ale stării de deformație :

$$\varepsilon_{ech} = \sqrt{A \cdot (\varepsilon_I^2 + \varepsilon_{II}^2) + B \cdot \varepsilon_I \cdot \varepsilon_{II}} \quad (3.22)$$

$$A = \frac{1-\nu(1-\nu)}{(1-\nu)^2} \quad ; \quad B = \frac{-1+\nu(4-\nu)}{(1-\nu^2)^2}$$

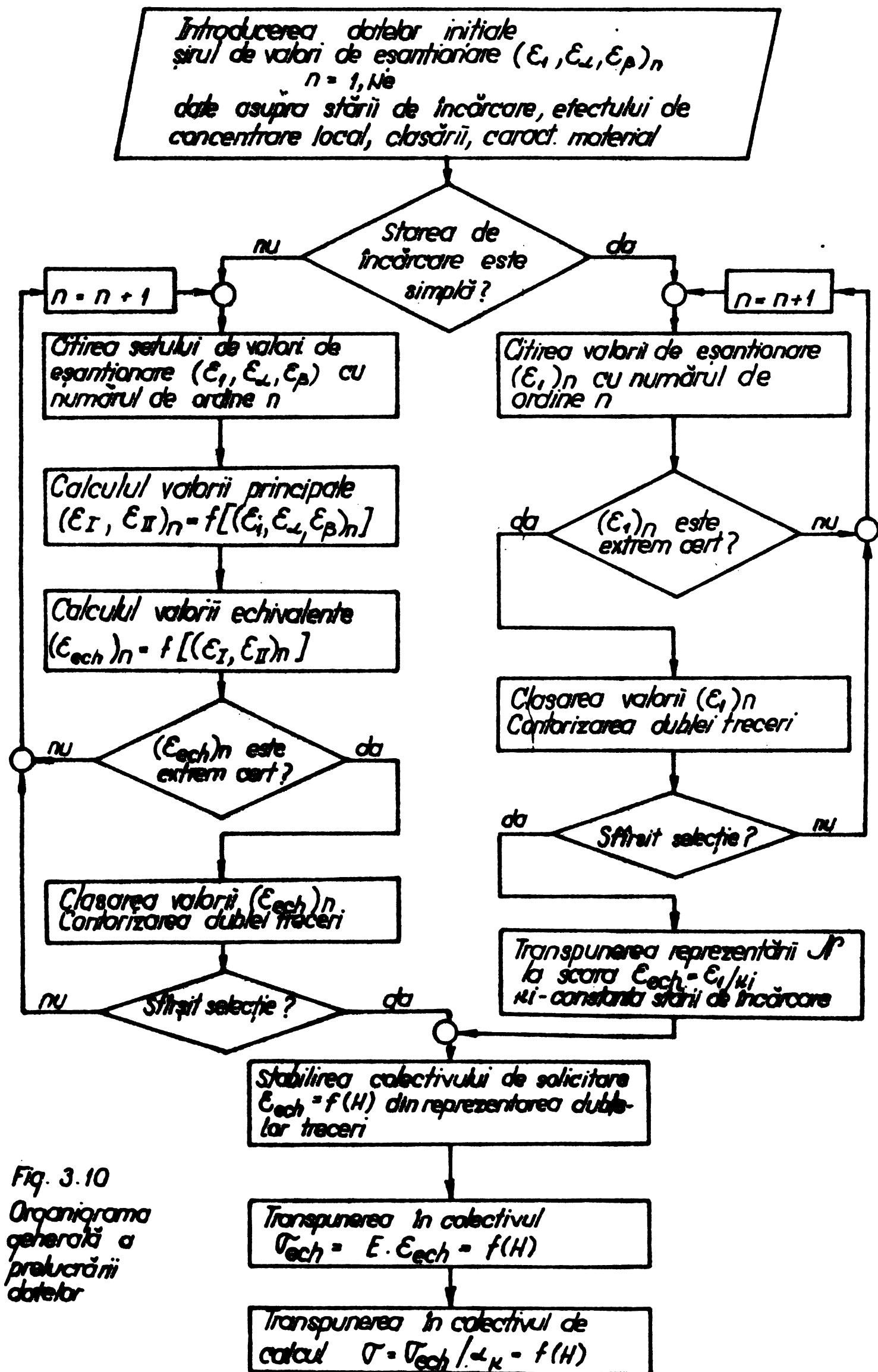


Fig. 3.10
 Organigrama
 generală a
 producării
 datelor

Organigrama generală a prelucrării datelor - fig. 3.10 - cuprinde și cazul particular al stării de înăeroare simple, când prelucrarea datelor se simplifică mult, nefiind necesară prelucrarea în paralel a seturilor de date ($\varepsilon_1, \varepsilon_\alpha, \varepsilon_\beta$) furnizate de TER-rozete și eșantionate la aceleași secțiuni temporale.

3. Evaluarea erorilor propagate în fluxul de culegere prelevare și preluorare a datelor

Erorile care afectează rezultatele finale ale prelucrării datelor extensometrice își au originea în :

- erorile metodei de măsurare, care afectează valorile primare măsurate
- erorile introduse în lanțul de prelevare a datelor primare (filtrare, eșantionare)
- propagarea și compunerea acestor erori în baza relațiilor de calcul a mărimilor derivate (elementele principale ale stării de deformații, valori echivalente și nominale) în cadrul prelucrării.

Propagarea acestor erori va fi analizată succesiv pentru fazele fluxului de culegere, prelevare și preluorare a datelor.

3.1. Erorile metodei de măsurare se pot clasifica în funcție de sursa care le produce :

- abaterea valorii factorului de tensosensibilitate a TER față de valoarea nominală (sistematică)

$$k = k_n \pm \Delta k$$

- abaterea valorii rezistenței electrice a TER de la valoarea nominală (sistematică)

$$R = R_n \pm \Delta R$$

- sensibilitatea transversală k_t , care conduce la eroarea (sistematică)

$$\theta_t = \frac{k_t}{k_{TER}} \frac{\varepsilon_t}{\varepsilon_l}$$

în general neglijabilă la TER de precizie

- rezistența cablurilor de legătură, eroarea (sistematică) putînd fi compensată :

$$\theta_{corectat} = (1 + \frac{R_{cablu}}{R_{TER}}) \cdot \zeta_{indiat}$$

- variația temperaturii asupra TER și a cablurilor de legătură; (eroarea poate fi limitată utilizând TER adaptate sau auto-compensate, montaje cu 3 fire; utilizarea TER de compensare);
- abaterea de orientare a TER față de direcția de referință (sistematică); corecția necesară, pentru unghiul de abatere între direcția de referință și axa TER este :

$$1 + \cos 2\alpha (\epsilon_I^2 + \epsilon_{II}^2)$$

unde s-a presupus că direcția de referință este direcția principală (I) ;

- atenuarea outiei de comutare (sistematică), eroarea de atenuare putând fi eliminată :

$$\epsilon_{\text{corectat}} = \frac{\epsilon}{A}$$

A - factor de atenuare cunoscut

- abaterea valorii calibrate la puntea extensometrică k_{PE} față de valoarea k_n a TER (sistematică); eroarea se corectează :

$$\epsilon_{\text{corectat}} = \frac{k_{PE}}{k_n} \cdot \epsilon_{\text{indioat}}$$

- eroarea de calibrare a punții extensometrice (sistematice)
- atenuarea caracteristicii amplitudine - frecvență (sistematică) ; eroarea se poate compensa prin corecția de atenuare la frecvențe înalte
- eroarea de liniaritate a amplificatorului (sistematică)
- variația tensiunii de alimentare
- instabilitatea punctului de zero
- zgomotul
- acțiunea altor factori de mediu (umiditate, agenți corozivi) care produc variații ale rezistenței de izolație, ale echilibrării capacitivă, etc.

Eroarea întâmplătoare care afectează valorile măsurării se poate evalua prin aplicarea legii de propagare a erorilor liniar independente la funcția de transfer a lanțului de măsurare.

Eroarea medie pătratică raportată este :

$$S^2 = \sum_{i=1}^n S_i^2 \quad (3.23)$$

iar eroarea sistematică raportată maximă este :

$$e = \sum_{j=1}^m e_j \quad (3.24)$$

în care $j = 1, \dots, m$ reprezintă sursele de erori sistematice necunoscute și deci necompensate.

La măsurări de precizie se apreciază că eroarea medie pătratică absolută nu depășește $S = 10 \cdot 10^{-6}$ m/m la deformații specifice măsurate de $\epsilon \approx 10^{-3}$ m/m respectiv $S = (5 \dots 10) \cdot 10^{-6}$ m/m la deformații specifice măsurate de $\epsilon \approx 0,4 \cdot 10^{-3}$ m/m.

3.2. Erori în lanțul de prelevare

În cursul prelevării datelor, se produc în general următoarele erori :

- eroarea de atenuare și distorsiune la filtrare (sistematică) care poate fi compensată cunoscând funcția de atenuare - frecvență ;
- eroarea de măsurare a valorii de eșantionare (prin integrarea pe intervalul de timp τ_m) în voltmetrul electronic respectiv eroarea de detecție a extremului la eșantionare - fig.3.11

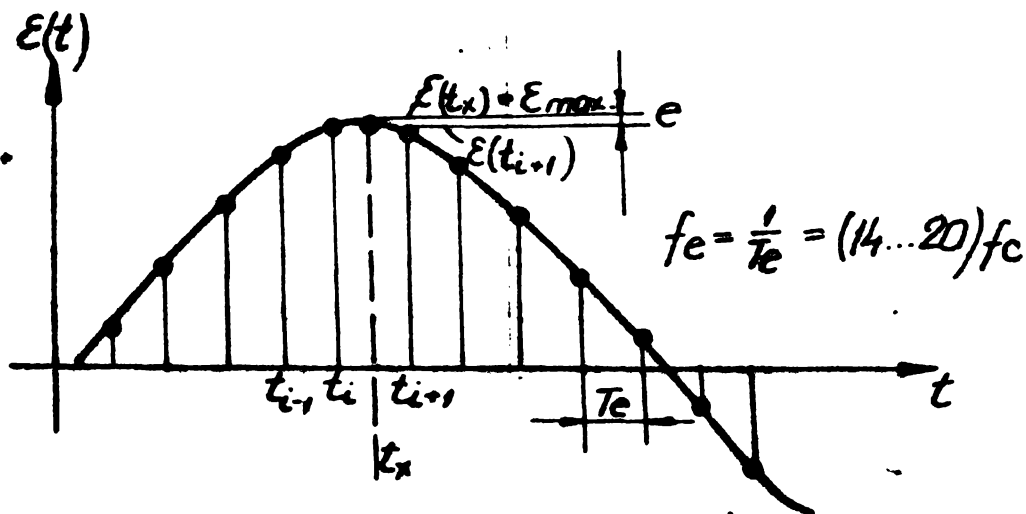


Fig. 3.11 - Eroarea detecției extremelor prin eșantionare

Eroarea raportată maximă, la o eșantionare cu $f_e = (14 \dots 20)f_0$, este :

$$e_{max} = \frac{\varepsilon(t_x) - \varepsilon\left(t_x - \frac{1}{(14...20) f_c}\right)}{\varepsilon(t_x)} \leq 0,0038$$

3.3. Erori de preluorarea datelor

Erorile de măsurare și prelevare a datelor primare, care se transferă în continuarea fluxului informațional sub forma unor șiruri de seturi a valorilor eșantionate $(\varepsilon_1, \varepsilon_\alpha, \varepsilon_\beta)_n$, $n = 1, \dots, N_e$, afectează următoarele faze ale calculului :

a) - Evaluarea elementelor principale ale stării de deformare.

Eroarea datelor primare $(\varepsilon_1, \varepsilon_\alpha, \varepsilon_\beta)$ se transmite asupra valorilor calculate ale elementelor principale $(\varepsilon_I, \varepsilon_{II}, \psi_I, \psi_{II})$ în baza legii propagării erorilor, scrisă sub forma :

$$S_w = \left[\sum \left(\frac{\partial w}{\partial x_i} \right)^2 S_{x_i}^2 \right]^{\frac{1}{2}} = \left\{ S_\varepsilon^2 \left[\left(\frac{\partial w}{\partial \varepsilon_1} \right)^2 + \left(\frac{\partial w}{\partial \varepsilon_\alpha} \right)^2 + \left(\frac{\partial w}{\partial \varepsilon_\beta} \right)^2 \right] \right\}^{\frac{1}{2}} \quad (3.25)$$

unde S_w - este eroarea medie pătratică a variabilei dependente $w(\varepsilon_I, \varepsilon_{II}, \psi_I)$, iar

S_{x_i} - eroarea medie pătratică a variabilelor independente $x_i(\varepsilon_1, \varepsilon_\alpha, \varepsilon_\beta)$, unde se consideră $S_{\varepsilon_1} = S_{\varepsilon_\alpha} = S_{\varepsilon_\beta} = S_\varepsilon$.

Deoarece pentru diferitele tipuri de rozetă elementele principale se calculează cu relații distincte, și erorile finale vor diferi.

Pentru rozeta TER $0^\circ/45^\circ/90^\circ$ utilizând relațiile de calcul cunoscute $\varepsilon_{I,II} = f_{1,2}(\varepsilon_1, \varepsilon_\alpha, \varepsilon_\beta)$; $\psi_I = f_3(\varepsilon_1, \varepsilon_\alpha, \varepsilon_\beta)$ rezultă o dependență a erorilor funcție de orientarea direcției principale ψ_I în raport cu originea adoptată $(1) \iff (0^\circ)$ - după NAGY (1973):

$$\begin{aligned} S_{\varepsilon_I} &= S_\varepsilon \cdot \sqrt{1 + \sin 2\psi_I (\sin 2\psi_I - 1)} \\ S_{\varepsilon_{II}} &= S_\varepsilon \cdot \sqrt{1 + \sin 2\psi_I (\sin 2\psi_I + 1)} \\ S_{\psi_{I,II}} &= \frac{S_\varepsilon}{\varepsilon_I - \varepsilon_{II}} \cdot \sqrt{\frac{1}{2} + \cos^2 2\psi_I} \end{aligned} \quad (3.26)$$

Pentru oțeva valori importante ale unghiului ψ_I rezultă erorile:

Tabelul 3.2

Unghiul (grade)	E r o a r e a			Observații
	$S_{\epsilon_I}/S_{\epsilon}$	$S_{\epsilon_{II}}/S_{\epsilon}$	S_{ψ_I}/S_{ϵ}	
0	1	1	$\frac{\sqrt{3}}{2} \cdot \frac{1}{\epsilon_I - \epsilon_{II}}$	$\epsilon_0 = \epsilon_I$ $\epsilon_{90} = \epsilon_{II}$
45	1	$\sqrt{3}$	$\frac{\sqrt{1}}{2} \cdot \frac{1}{\epsilon_I - \epsilon_{II}}$	$\epsilon_{45} = \epsilon_I$
90	1	1	$\frac{\sqrt{3}}{2} \cdot \frac{1}{\epsilon_I - \epsilon_{II}}$	$\epsilon_0 = \epsilon_I$ $\epsilon_{90} = \epsilon_{II}$
135	$\sqrt{3}$	1	$\frac{\sqrt{1}}{2} \cdot \frac{1}{\epsilon_I - \epsilon_{II}}$	$\epsilon_{45} = \epsilon_I$

Pentru rozeta TER $0^\circ/60^\circ/120^\circ$ rezultă erori de evaluare a elementelor principale independente de alegerea direcției origine :

$$\begin{aligned} S_{\epsilon_I} &= S_{\epsilon_{II}} = S_{\epsilon} \\ S_{\psi_I} &= \frac{\sqrt{3}}{2} \cdot \frac{S_{\epsilon}}{\epsilon_I - \epsilon_{II}} \end{aligned} \quad (3.27)$$

b).- Evaluarea deformației specifice echivalente

In continuarea calculelor este avantajoasă folosirea erorilor medii pătratice raportate.

Seturile de date $(\epsilon_I, \epsilon_{II})_n$ evaluate pentru seturile de date eşantionate $(\epsilon_1, \epsilon_\alpha, \epsilon_\beta)_n$ se introduc în relația (3.22) pentru calculul deformației specifice echivalente ϵ_{ech_n} , $n = 1, \dots, N_e$.

Relația (3.25) devine:

$$S_{\epsilon_{ech}} = \frac{\sqrt{[S_{\epsilon_I} (2A\epsilon_I + B\epsilon_{II})]^2 + [S_{\epsilon_{II}} (2A\epsilon_{II} + B\epsilon_I)]^2}}{2[A(\epsilon_I^2 + \epsilon_{II}^2) + B\epsilon_I\epsilon_{II}]} \quad (3.28)$$

unde s-a înlocuit :

$$(S_{\epsilon_{ech}})_{\epsilon_I} = \frac{1}{\epsilon_{ech}} \cdot \frac{\partial \epsilon_{ech}}{\partial \epsilon_I} \cdot S_{\epsilon_I} \quad (3.29)$$

$$(S_{\epsilon_{ech}})_{\epsilon_{II}} = \frac{1}{\epsilon_{ech}} \cdot \frac{\partial \epsilon_{ech}}{\partial \epsilon_{II}} \cdot S_{\epsilon_{II}}$$

Valoarea erorii $S_{\epsilon_{ech}}$ funcție de valoarea și raportul între $\epsilon_I, \epsilon_{II}$ se dă în tabelul 3.3, pentru $S_{\epsilon} = 10 \cdot 10^{-6}$ m/m, $A = 0,9419$; $B = 0,0489$

Tabelul 3.3

Raportul $\left \frac{\epsilon_I}{\epsilon_{II}} \right $	Val. abs. ϵ_I	Eroarea medie pătratică raportată $S_{\epsilon_{ech}}$ /%	
		Rozeta TER 0/45/90°*	Rozeta TER 0/60/120°
1	$\epsilon_I = 10^{-3}$ m/m	1,205	0,795
0,5		1,520	0,877
0,1		1,692	0,978
1	$\epsilon_I = 0,4 \cdot 10^{-3}$ m/m	3,005	1,734
0,5		3,801	2,194
0,1		4,230	2,442

* - s-a luat în considerare cazul cel mai defavorabil fiind $S_{\epsilon_I} = \sqrt{3} S_{\epsilon} \cong 17 \cdot 10^{-6}$ m/m

o) - Evaluarea tensiunii echivalente și nominale

Calculul tensiunii echivalente presupune acceptarea legii de material - rel.(3.19) - în care intervine modulul de elasticitate E, a cărui valoare se determină experimental cu o precizie dependentă de precizia instrumentației și metoda de evaluare.

În baza rel.3.22 rezultă :

$$S_{\sigma_{ech}} = \sqrt{(S_{\sigma_{ech}})_{\epsilon_{ech}}^2 + (S_{\sigma_{ech}})_E^2} = \sqrt{S_{\epsilon_{ech}}^2 + S_E^2} \quad (3.30)$$

în care :

$$(S_{\sigma_{ech}})_{\epsilon_{ech}} = \frac{1}{\sigma_{ech}} \cdot \frac{\partial \sigma_{ech}}{\partial \epsilon_{ech}} \cdot S_{\epsilon_{ech}} = \frac{S_{\epsilon_{ech}}}{\epsilon_{ech}}$$

$$(S_{\sigma_{ech}})_E = \frac{1}{\sigma_{ech}} \cdot \frac{\partial \sigma_{ech}}{\partial E} \cdot S_E = \frac{S_E}{\epsilon_{ech}} \quad (3.31)$$

În tabelul 3.4 se dau valorile limită inferioare și superioare ale erorii medii pătratice raportate $S_{\sigma_{nom}}$ (și în paranteză $S_{\sigma_{ech}}$) pentru trei valori date ale erorii de determinare a lui E.

Limita inferioară respectiv superioară a erorii calculate corespunde cazului celui mai favorabil respectiv defavorabil al preciziei determinării lui ϵ_{ech} conform tabelului 3.3.

La determinarea tensiunii de caloul nominale prin raportarea tensiunii echivalente locale la un coeficient de concentrație local (α_k) determinat experimental prin măsurători stație de precizie ($S_{\alpha_k} \leq 0,5\%$), relația de calcul a erorii $S_{\sigma_{nom}}$ este similară cu rel.(3.30), în care se adaugă termenul :

$$(S_{\sigma_{nom}})_{\alpha_k} = \frac{1}{S_{\sigma_{nom}}} \cdot \frac{\partial S_{\sigma_{nom}}}{\partial \alpha_k} S_{\alpha_k} = \frac{S_{\alpha_k}}{\alpha_k} \quad (3.32)$$

Tabelul 3.4

Eroarea de determinare a modului E: s_E [%]	Valoarea ϵ_I [m/m]	Eroarea medie pătratică raportată $S_{\sigma_{nom}}$ ($S_{\sigma_{ech}}$) [%]	
		roz.TER 0/45/90°	roz.TER 0/60/120°
1	10^{-3}	1,64...2,02 (1,57...1,96)	1,37...1,49 (1,28...1,40)
	$0,4 \cdot 10^{-3}$	3,20...4,36 (3,16...4,33)	2,00...2,67 (2,00...2,63)
2	10^{-3}	2,39...2,67 (2,34...2,62)	2,21...2,28 (2,15...2,22)
	$0,4 \cdot 10^{-3}$	3,64...4,69 (3,60...4,67)	2,69...3,18 (3,10...3,16)
3	10^{-3}	3,27...3,48 (3,23...3,44)	3,14...3,19 (3,10...3,15)
	$0,4 \cdot 10^{-3}$	4,27...5,20 (4,24...5,18)	3,50...3,89 (3,46...3,86)

Eroarea finală a preluorării datelor este o eroare compusă conținând :

- eroarea sistematică raportată totală, datorită surselor care introduc erori sistematice care, nefiind cunoscute, nu pot fi corectate

In principal:

$$e_{\max} = e_{R_{\text{TER}}} + e_{k_{\text{TER}}} + e_{\text{eșantionare}} \leq 1\%$$

- eroarea medie pătratică raportată, care în cazul respectării unor condiții tehnice severe (utilizarea rozetelor TER 0/60/120°, sau a rozetelor TER 0/45/90° cu o orientare favorabilă astfel încât $\Psi_I \approx 0$, deci $S_{\epsilon_I} = S_{\epsilon_{II}} = S_{\epsilon}$, utilizarea valorii S determinate în condiții de precizie, cu eroarea maximă $s_E = 1\%$), poate fi limitată la valoarea de:

$$s_{\sigma_{\text{nom}}} \leq 1,6\% \text{ la valori } \epsilon_I = 10^{-3} \text{ m/m}$$

$$s_{\sigma_{\text{nom}}} \leq 3,2\% \text{ la valori } \epsilon_I = 0,4 \cdot 10^{-3} \text{ m/m}$$

In general, erorile întâmplătoare care afectează rezultatul final vor fi mai reduse decât valorile indicate, datorită prelucrării statistice a datelor intermediare prin care se reduce ponderea acestor erori.

**CAP. 4 - CERCETARI EXPERIMENTALE ASUPRA PROCESULUI
DE SOLICITARE IN EXPLOATAREA MATERIALULUI
RULANT**

1. Determinări extensometrice

1.1. Obiectul cercetării

Cercetările întreprinse au urmărit determinarea experimentală a procesului de solicitare în exploatarea materialului rulant, în scopul verificării previzionale a durabilității și siguranței în exploatarea a boghiului de cale ferată de tip M.D., destinat unor vagoane de greutate mare și cu un regim de circulație la viteze mari. Determinările extensometrice au fost efectuate în colaborare de către Institutul de cercetări și proiectări tehnologice în transporturi - ICPTT - București și Institutul de încercări de materiale - ISIM Timișoara, la solicitarea beneficiarilor Intreprinderea de vagoane Arad și Institutul de cercetări și proiectări vagoane - ICPVA - Arad.

Prin programul de măsurări extensometrice la încercarea statică și dinamică a boghiului M.D. s-a urmărit explorarea stării de deformării/tensiuni în zonele cele mai solicitate ale boghiului :

- traversa crapodinei (TER 102, 104, 203 - rozete, TER 112, 114, 213 - liniare) - fig.4.1. ;
- lonjeronul cadrului (TER 71, 72 - liniare)-fig.4.2 ;
- suportul inferior al arourilor (TER 46, 47 -liniare);

și înregistrarea spectrelor extensometrice aferente în vederea descrierii cantitative probabiliste a procesului de solicitare global în exploatarea materialului rulant.

1.2. Efectuarea încercărilor statice. Rezultate experimentale.

Deformațiile specifice în zonele investigate s-au măsurat în următoarele trei etape :

- a). - măsurarea deformațiilor specifice inițiale de montaj pentru situațiile :
 - montarea boghiului (MONTARE I)

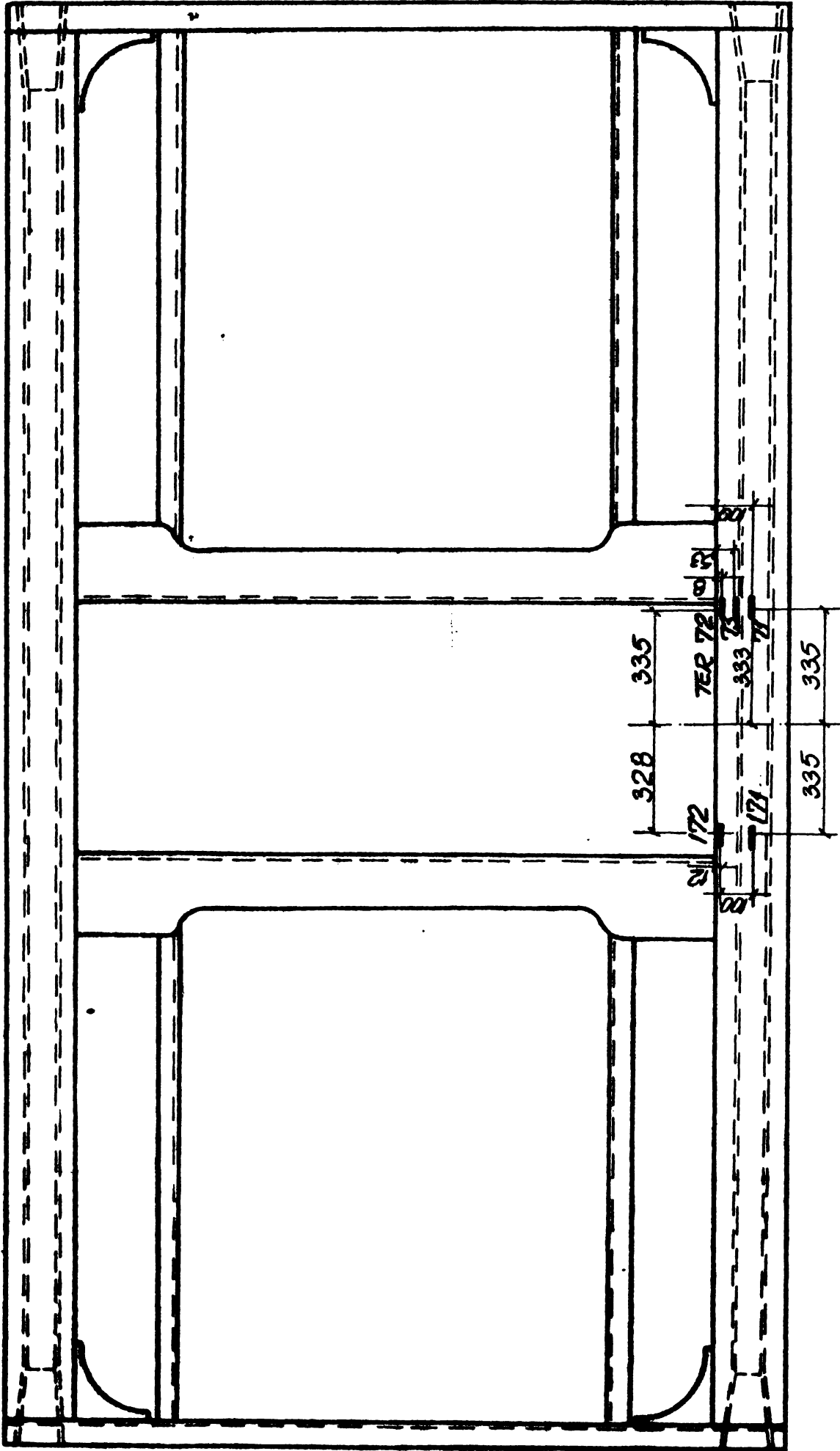


Fig. 4.2. Planul de amplasare TER pe cadrul boghiului.

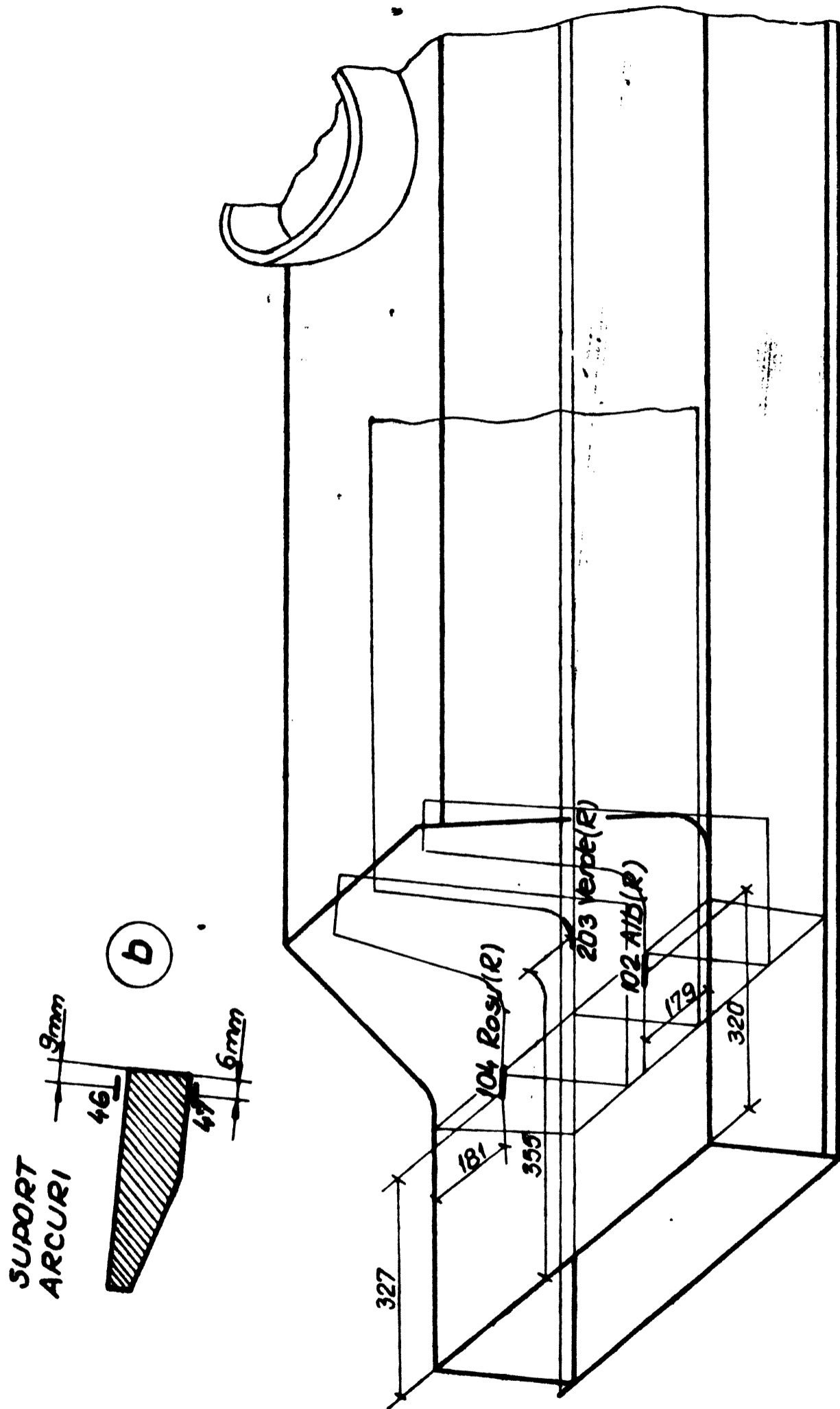


Fig. 4.1. Planul de amplasare TER pe traversa crapodinei.

DEFORMATIILE SPECIFICE DIN BOGHIU PRODUSE LA MONTAJ
SI DUPA ASEZAREA VAGONULUI [m/m] $\cdot 10^{-6}$

Tabelul 4.1.

Nr. TER	MONTARE I	IDEM RECTIF.	DEMONT. I	MONTARE II	ASEZAREA VAGONULUI PE BOGHIU					TOTAL	TENSUNI APERENTE N/mm ² (E=2,06·10 ⁵ N/mm ²)
					VAG. I	VAG. II	VAG. III	VAG. IV	VAG. V		
102 ROZETA	-339	-255	-246	-329	-641	-626	-620	-611	-613	-1006	$\sigma_I = -55,8$ $\sigma_{II} = -225,4$ $\sigma_{ech} = -203,3$ *
104 ROZETA	37	44	42	49	1	-7	-6	-7	-10	50	
203 ROZETA	-55	-130	-149	-162	-545	-560	-568	-564	-573	-777	$\sigma_I = -47,3$ $\sigma_{II} = -168,0$ $\sigma_{ech} = -150,0$
	0	-19	-30	-30	-269	-275	-281	-276	-283	-329	
	10	7	0	-6	15	18	17	24	18	13	
112	21	12	29	51	-803	-827	-833	-825	-829	-850	$\sigma_I = 26,6$ $\sigma_{II} = -167,0$ $\sigma_{ech} = -181,8$
114	-15	3	10	16	-220	-226	-230	-222	-224	-233	
213	-13	-10	-18	-32	352	373	370	375	373	373	
	-9	-74	-148	-138	-574	-584	-585	-590	-594	-775	$\sigma_{ech} = -156,5$ $\sigma_{ech} = -162,2$ $\sigma_{ech} = -156,1$
73	-264	-54	-110	-44	-668	-673	-676	-676	-680	-828	
71	26	20	23	12	-705	-706	-711	-716	-713	-730	
72	110	140	60	53	444	460	459	467	465	553	$\sigma = 113,9$ $\sigma = 80,3$ $\sigma = 138,7$ $\sigma = 76,8$ $\sigma = 137,3$
171	84	94	56	63	283	300	305	310	307	390	
172	131	137	3	-13	625	635	616	628	631	673	
46	104	83	47	44	295	305	306	309	309	373	
47	141	147	44	98	563	576	590	578	581	667	
	-	-	-	-460	-228	-302	-300	-302	-301	-779	$= -160,4$ $= 120,7$
	-	-	-	363	237	237	239	238	237	615	

- demontarea boghiului după aproximativ 45 cicluri de încărcare la sarcina nominală, pe stand (DEMONTARE I)
- remontarea boghiului înainte de efectuarea probelor sub vagon (MONTARE II)

- b).- măsurarea deformațiilor specifice la încărcări progresive la 210 ; 230; 250; 270; 290 kN, pe standul de montaj ;
- c).- măsurarea deformațiilor specifice produse la încărcarea boghiului după așezarea vagonului pe orapodină ; s-au efectuat 5 șiruri de măsurări succesive.

Datorită pozițiilor diferite de așezare a traversei orapodinei între deformațiile specifice de montaj, dar și între deformațiile specifice sub sarcina vagonului apar diferențe la repetarea măsurărilor. La evaluarea deformațiilor specifice totale conform relației :

$$\epsilon_{TOTAL} = \epsilon_{MONTAJ} + C \cdot \epsilon_{VAGON} \quad (4.1)$$

s-au luat în considerare valorile maxime ; coeficientul

$C = \frac{570}{540} = 1,055$ reprezintă corecția datorită încărcării boghiului cu vagonul având o greutate efectivă de 540 kN față de cea nominală de 570 kN.

Rezultatele măsurării deformațiilor specifice de montaj și sub încărcarea statică nominală - pot.a). și c). sînt centralizate în tabelul 4.1.

Rezultatele măsurării deformațiilor specifice pe stand la încărcări ou sarcini progresive - pot.b).- evidențiază în zonele investigate o stare de încărcare simplă, deformațiile specifice după direcțiile de măsurare a rozetelor și deci și componentele tensorului deformațiilor specifice variind proporțional cu sarcina aplicată, cu același factor constant.

1.3. Efectuarea încercărilor dinamice. Rezultatele experimentale.

Încercările dinamice s-au efectuat în exploatarea boghiului montat sub vagonul încărcat la sarcina nominală ($G=570$ kN) pe linia București - Brașov , pe un tronson de 19 km lungime între stațiile Ploiești-Vest și Florești - Prahova, Convoitul de probă, compus din vagonul special montat pe boghiul M.D. experimentat și vagonul laborator WTM - 500 al ICPTT București a fost

remorcat de o locomotivă electrică parourgînd traseul de 2 ori dus-întors, la duş pe linia principală, iar la întors pe linia secundară.

Tronsonul de linie pe care s-au efectuat experimentările este un aliniament și palier, comportînd ramificații perturbatoare la viteză mare, curbă și contracurbă, intrare - ieșire în abateri în stații; avînd în general caracteristicile de oale și componența statistică a rețelei de căi ferate din țară, rezultatele încercărilor se pretează la definirea globală a procesului de solicitare în exploatarea boghiului M.D.

Testările s-au efectuat în două regimuri de exploatare diferite, definite prin vitezele de circulație de $v = 100$ km/h respectiv $v = 160$ km/h.

S-au înregistrat spectrele extensometrice cu ajutorul traductoarelor :

- TER 102; 112; 104; 114; 203; 213 pe traversa crapodinei ;
- TER 71, 72, 171, 172 pe cadrul boghiului ;
- TER 46, 47 pe suportul inferior al arourilor.

Extinderea spectrelor extensometrice, comasate (medie ponderat cu ponderile parțiale $l_a = 1$, $l = 1, 2, 3, 4$) pentru parcursurile repetate în condiții similare (2 parcursurile la dus, 2 parcursurile la întors) depășește $N_{1T} = 2700$ cicluri, deci este satisfăcută condiția $N_{1T} \geq N_{1T_{min}} = 2600$ pentru a asigura consistența statistică a preluurii.

Spectrele extensometrice înregistrate evidențiază următoarele aspecte de ordin general :

- componența spectrală și de amplitudini a procesului de solicitare global este determinată de sevențe de proceese specifice diferitelor regimuri de exploatare ;

- a).- în aliniament și palier, interacțiunea dintre profilul căii de rulare și sistemul oscilant al ansamblului vagon-boghiu produce o componentă indusă staționară ;
- în curbă, componentele laterale de încăoare datorită forțelor centrifuge produce o componentă fundamentală a procesului, a cărei semn este funcție de sensul curbei; prin superpoziție cu componenta indusă, procesul de solicitare devine cuasi-staționar, cu creșteri dependente;
- perturbațiile căii (abateri, pasaje) induce oscilații de amplitudini ridicate, care se amortizează rapid, după 3-4 cicluri ;

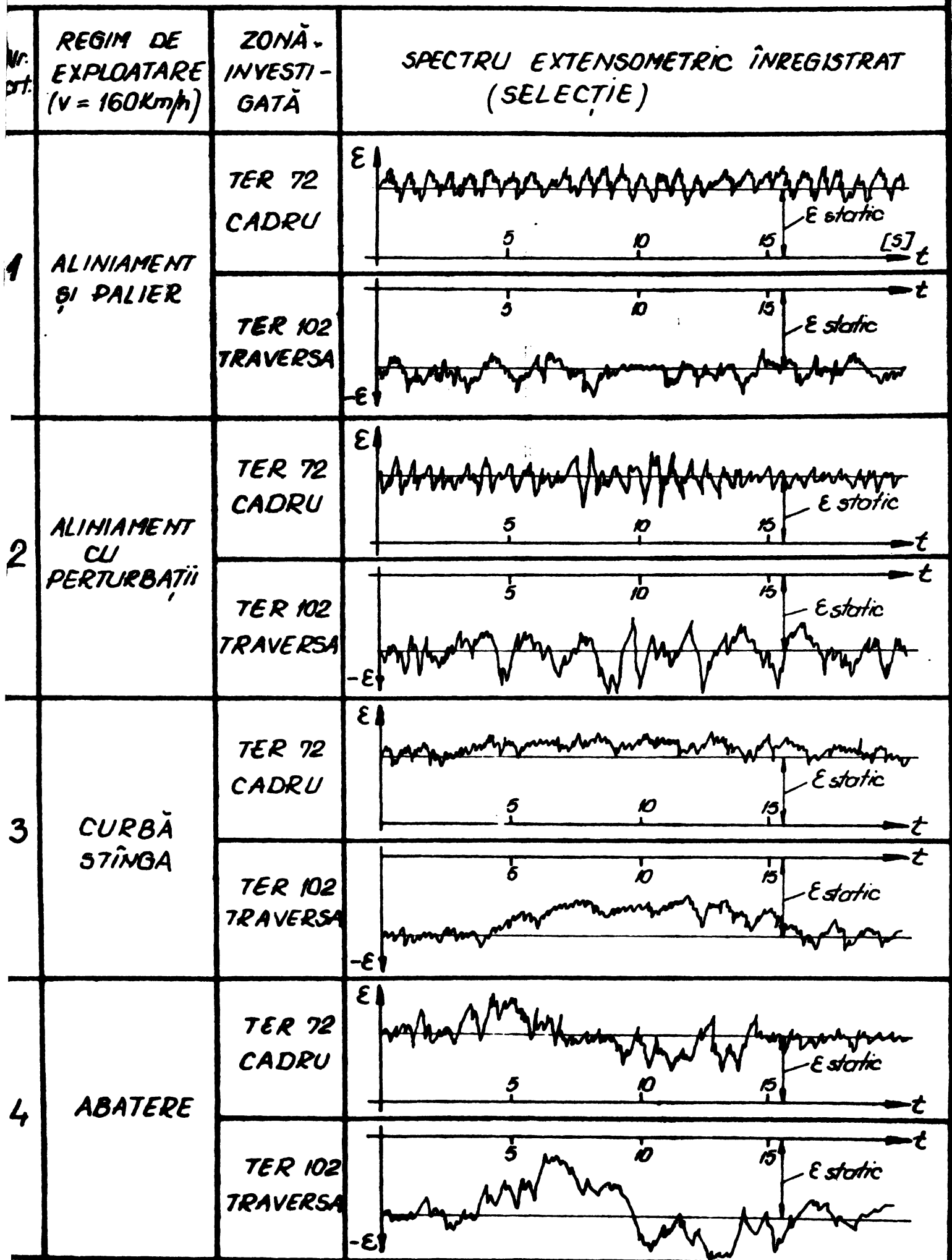


Fig. 4.3 Secvențe ale înregistrărilor extensometrice din zonele cu concentratori (îmbinarea sudată lanjeron - traversă și traversa crapodinei) la parcurgerea elementelor de cale, la viteza de $v = 160 \text{ km/h}$

b).- frecvența componentei induse este independentă de viteza de circulație, avînd valoarea de $f_0 = 1,5$ Hz, în timp ce amplitudinile componentei induse fundamentale și ale oscilațiilor datorită perturbațiilor cresc la viteze de circulație mai mari.

În fig.4.3. sînt redată servențe ale spectrelor extensometrice caracteristice diferitelor caracteristici ale parcursului. Aceste spectre corespund unor zone cu concentratori puternici de tensiune, în dreptul îmbinării sudate în T între lojeron-traversă în cadrul boghiului (TER 72) și în racordarea traversei orapodinei (TER 102 R) ; întrucît în aceste zone s-au evidențiat valorile maxime ale deformației specifice la încercările statice, spectrele aferente sînt definitorii pentru durabilitatea boghiului.

Reproductibilitatea valorilor înregistrate la repetarea parcursurilor s-a încadrat în limitele de acuratețe generală a măsurării extensometrice $S_{\epsilon} = \pm 10 \cdot 10^{-6}$ m/m.

2. Preluorarea și interpretarea spectrelor extensometrice

2.1. Analiza spectrelor extensometrice

2.1.1. Aplicația metodologiei de analiză propuse

În baza confirmării experimentale a stării de încercare simple în zona racordării traversei orapodinei, s-au luat în considerație spectrele extensometrice înregistrate cu grila rozeții 102R orientată cel mai apropiat față de direcția principală I a stării de deformație. În zona îmbinării sudate lojeron-traversă a cadrului, starea de tensiune este axială și spectrul extensometric înregistrat cu TER 72 liniar este relevant. În fluxul de prelevare și preluorare a datelor se introduce deci doar spectre singulare și nu seturi de 3 spectre, corespunzătoare celor 3 direcții de măsurare în punctul investigat al stării de deformații/tensiuni.

Filtrarea trece-jos s-a efectuat la frecvența $f_{max} = 10$ Hz aleasă ca operitor față de limita superioară $f = 8$ Hz pînă la care se iau în considerare frecvențele la determinarea indicelui de mers a materialului rulant conform raportului UIC 1/3 Comitetul 113.

Frecvența de eșantionare s-a adoptat în concordanță cu teorema SHANNON, $f_e = 20$ Hz = $2f_{max} = 14 f_0$, frecvența centrală a componentei induse fiind $f_0 = 1,5$ Hz.

Pentru clasare s-a adoptat un număr $m = 24$ de clase (12 clase negative $i^{\#} = 1, 2, \dots, 12$; 12 clase pozitive $i^{\#} = 13, 14, \dots, m = 24$). Din condiția încadrării amplitudinilor maxime a spectrelor înregistrate în clasele extreme au rezultat următoarele intervale de clasă :

$$\begin{aligned} \sigma_{cl} &= 12,5 \cdot 10^{-6} \text{ m/m} && \text{pentru spectrele TER 72/CADRU} \\ \sigma_{cl} &= 17,5 \cdot 10^{-6} \text{ m/m} && \text{pentru spectrele TER 102 R/TRAVERSĂ} \end{aligned}$$

Clasarea s-a efectuat biparametric dublu corelat după metodologia propusă, cu reducere de date pe partea digitală.

Spectrele extensometrice înregistrate în zona cadrului și a traversei orapodinei, pentru cele două regimuri de exploatare la $v = 100 \text{ km/h}$ și $v = 160 \text{ km/h}$, prezintă o structură statistică similară, diferind doar prin valoarea abaterii medii pătratice a distribuțiilor bi- și monodimensionale.

Pentru spectrul TER 72, $v = 160 \text{ km/h}$, de exemplu se redau matricile multiple ale frecvențelor absolute ale dublelor treceri $\mathcal{P} = \{ \mathcal{P}(k) \}^{4,m} = \{ \{ N_{ijk} \} \}^{4,m}$ - fig.4.4.

Din reprezentarea matricilor multiple s-au dedus funcțiile de frecvență a depășirii nivelelor și a extremelor : maxime și minime, pozitive și negative. Funcțiile de frecvență ale depășirii nivelelor indică un proces global cu o distribuție normală, ipoteză confirmată experimental pentru exploatarea materialului rulant pe alte rețele feroviare - LANGE (1974), SCHENK (1974).

În fig. 4.5 și 4.6 sînt reprezentate pe hîrtie de probabilitate normală funcțiile de frecvență relative neacumulate și acumulate ale depășirii nivelelor respectiv ale extremelor, diferențiate funcție de zona de înregistrare (TER 72 și TER 102 R) respectiv funcție de regimul de exploatare ($v = 100 \text{ km/h}$ și $v = 160 \text{ km/h}$). Intervalul de probabilitate (0,00005 - 99,99995)% corespunde extrapolării la extinderea normată $\bar{H}_0 = 10^6$ cicluri.

Factorul de neregularitate, avînd valoarea de aproximativ $I = 0,77$ pentru toate spectrele analizate indică un proces aleator de bandă largă ; funcțiile de frecvență ale extremelor se încadrează cu anumite abateri, în legea de distribuție normală.

Caracteristicile statistice ale procesului de solicitare determinate pe baza funcțiilor de frecvență deduse pentru diferitele spectre extensometrice analizate, sînt centralizate în tabelul 4.2.

Colectivele de solicitare ale deformațiilor specifice la-

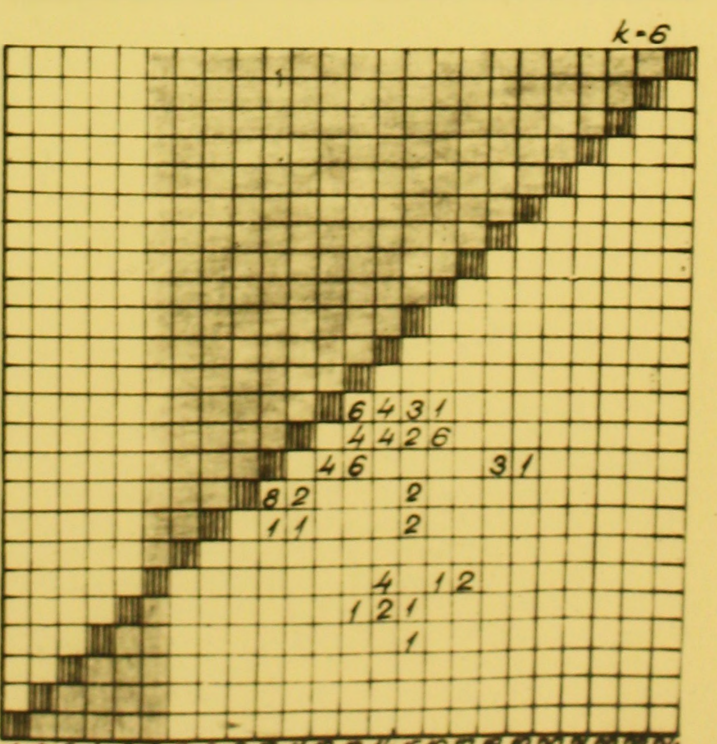
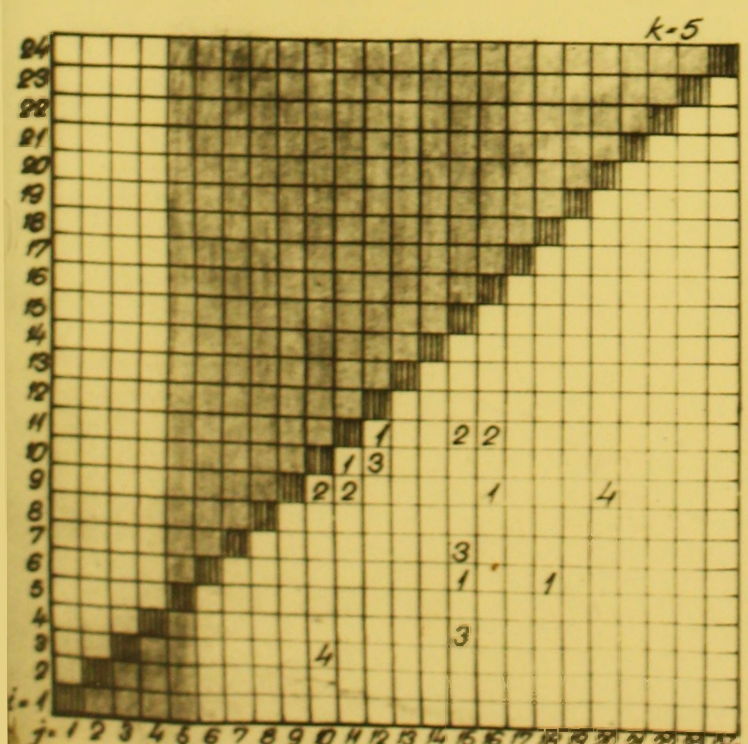
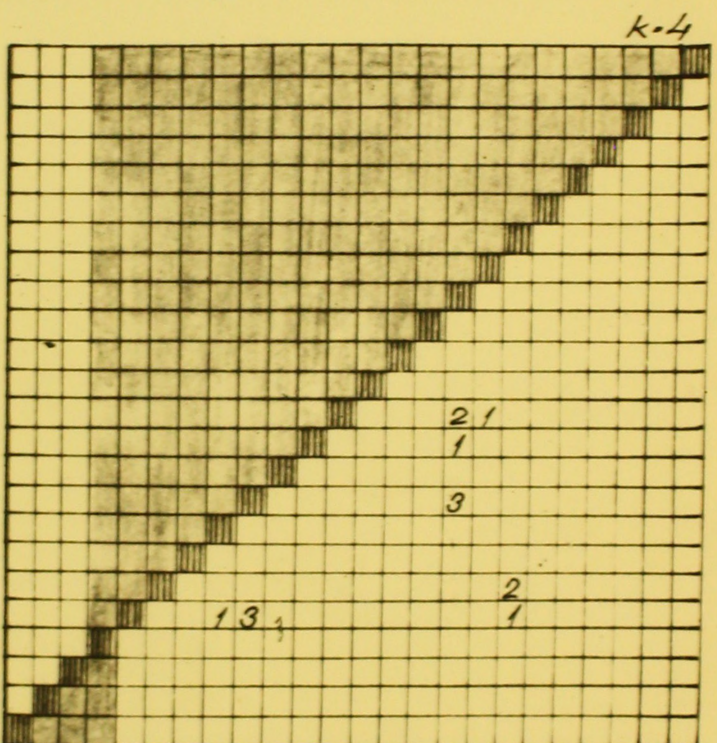
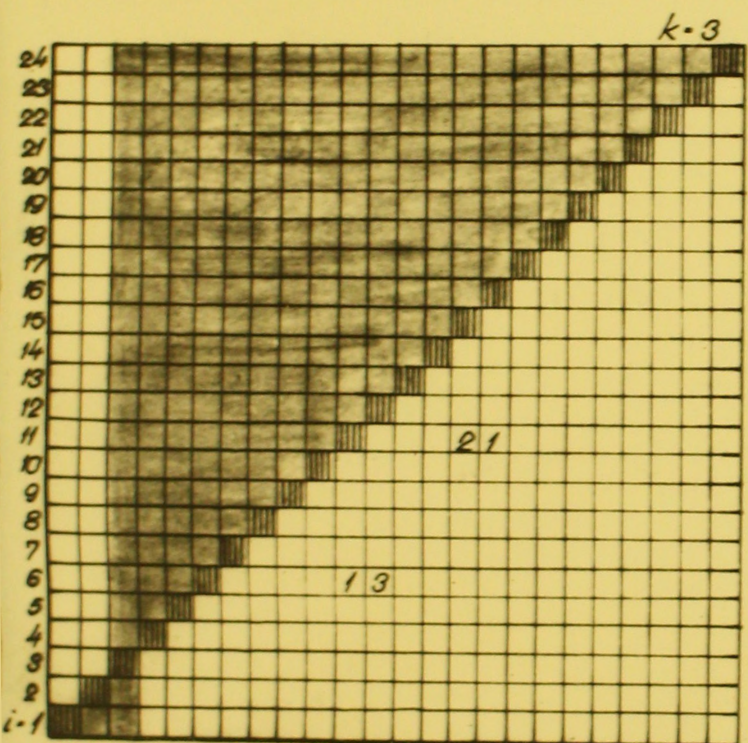
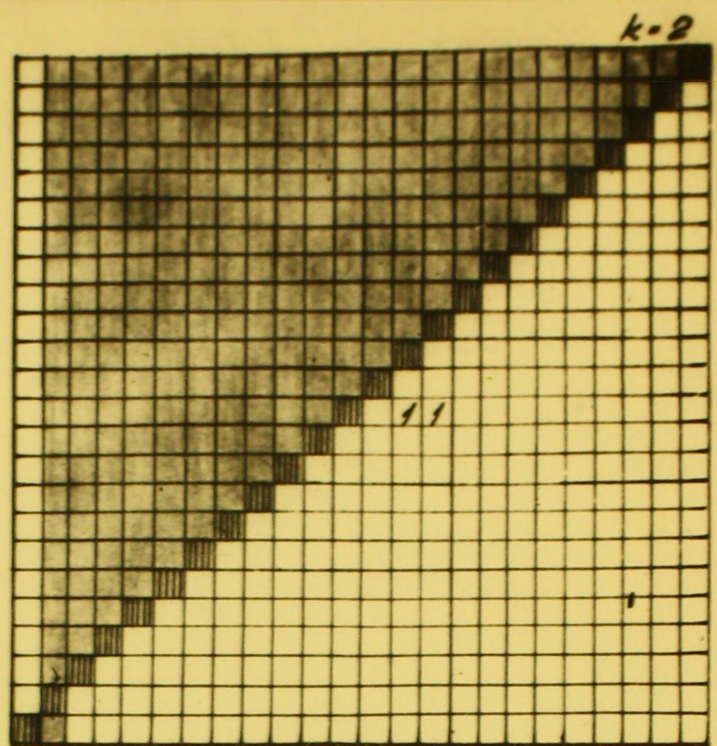
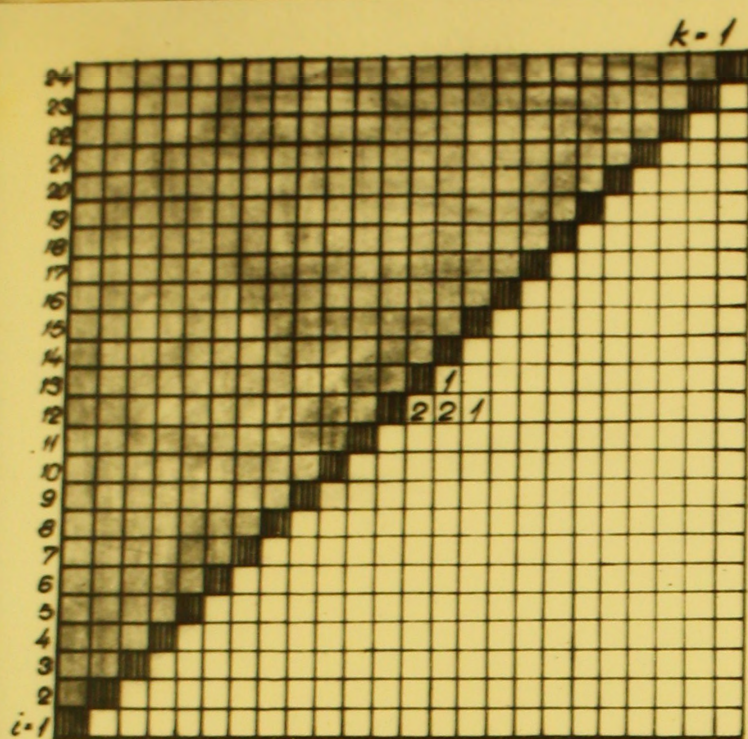
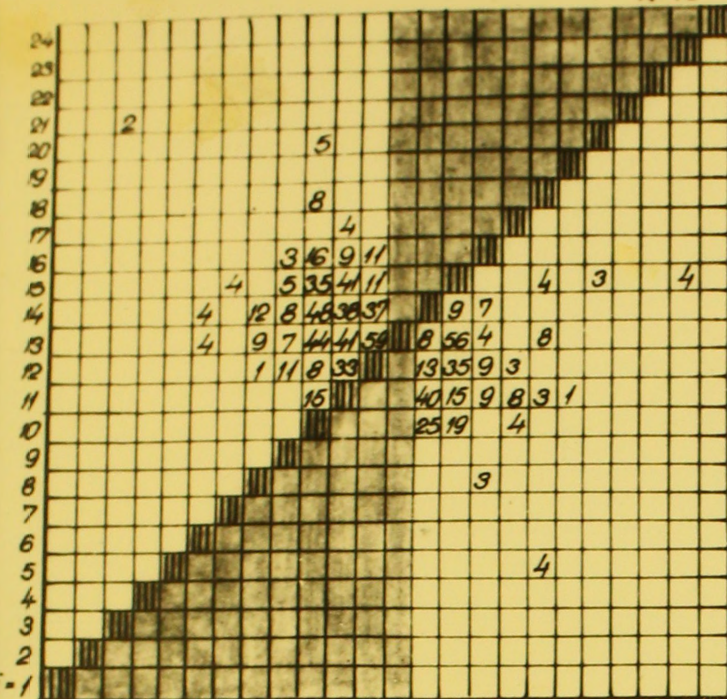


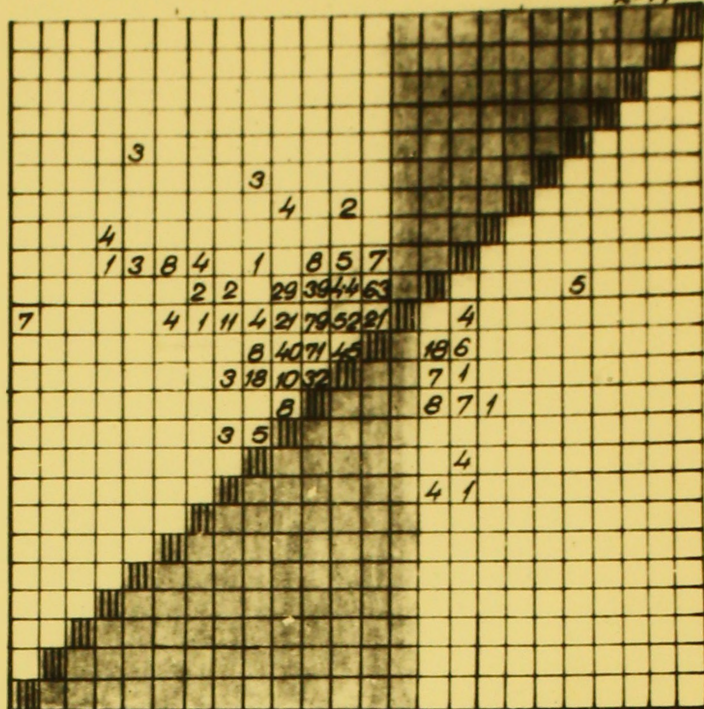
Fig. 4.4

Matricile multiple $\mathcal{M} = \{ \mathcal{M}(k) \}_{1,m}$

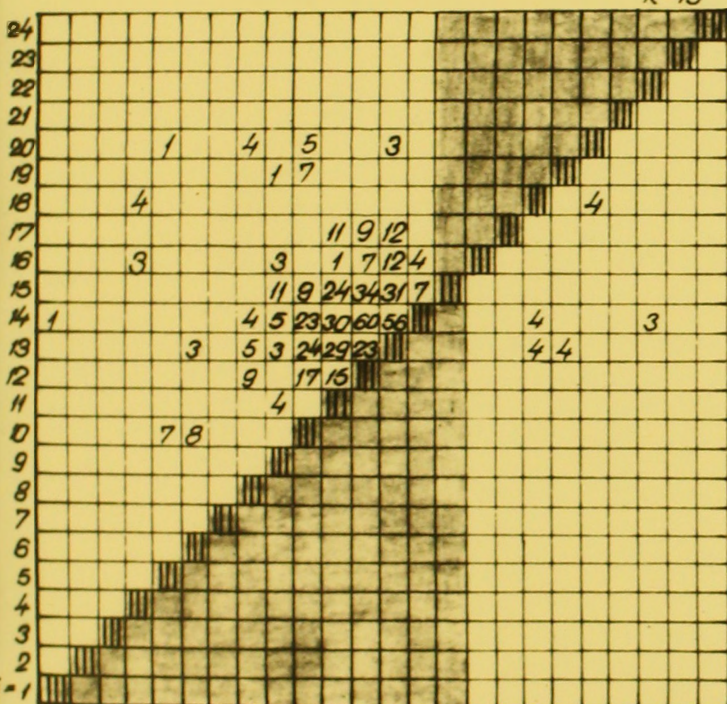
k=13



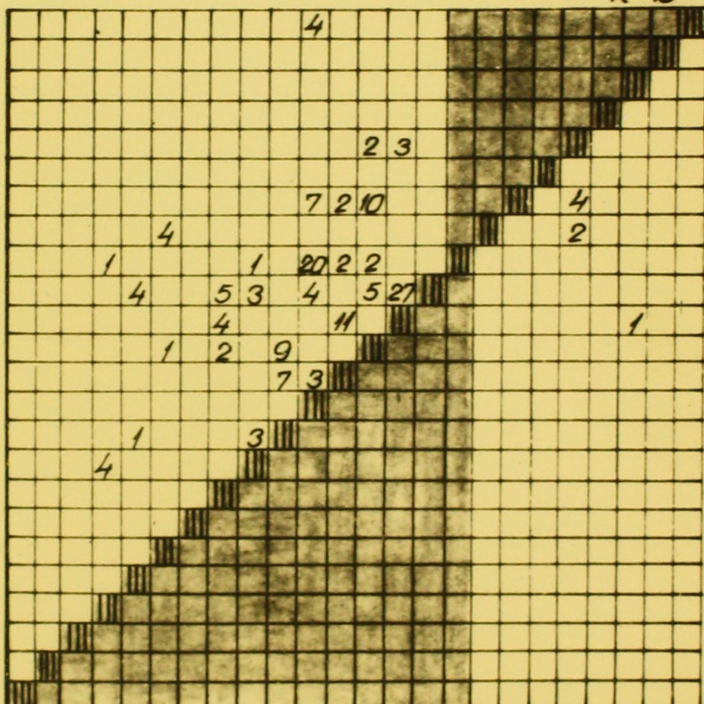
k=14



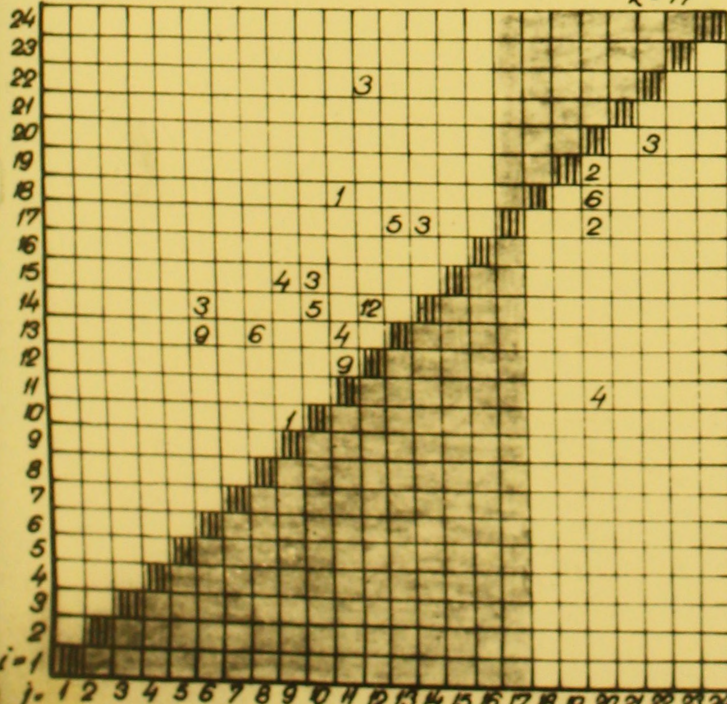
k=15



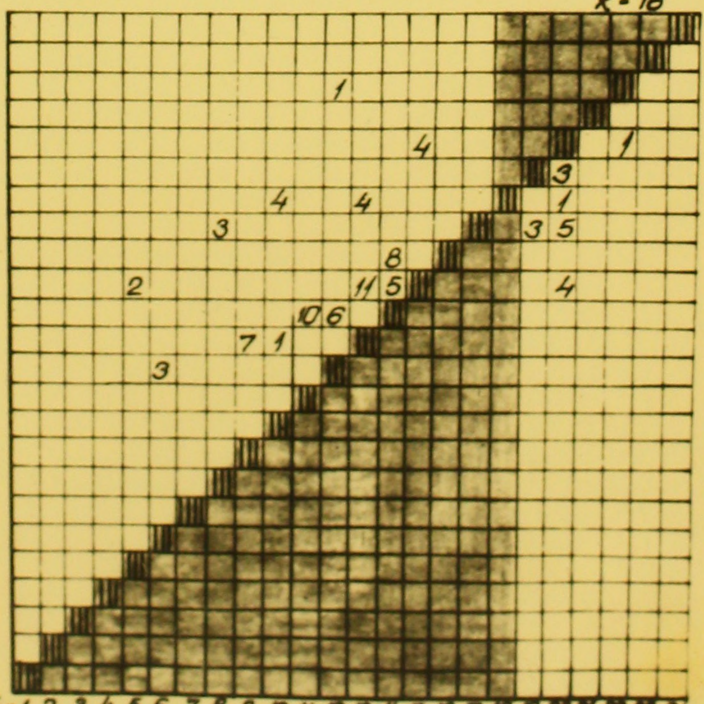
k=16

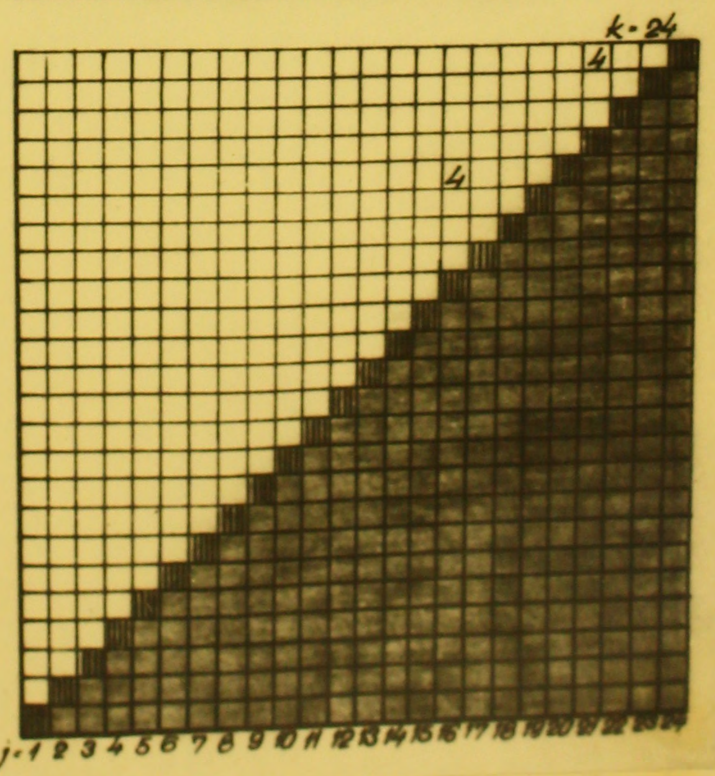
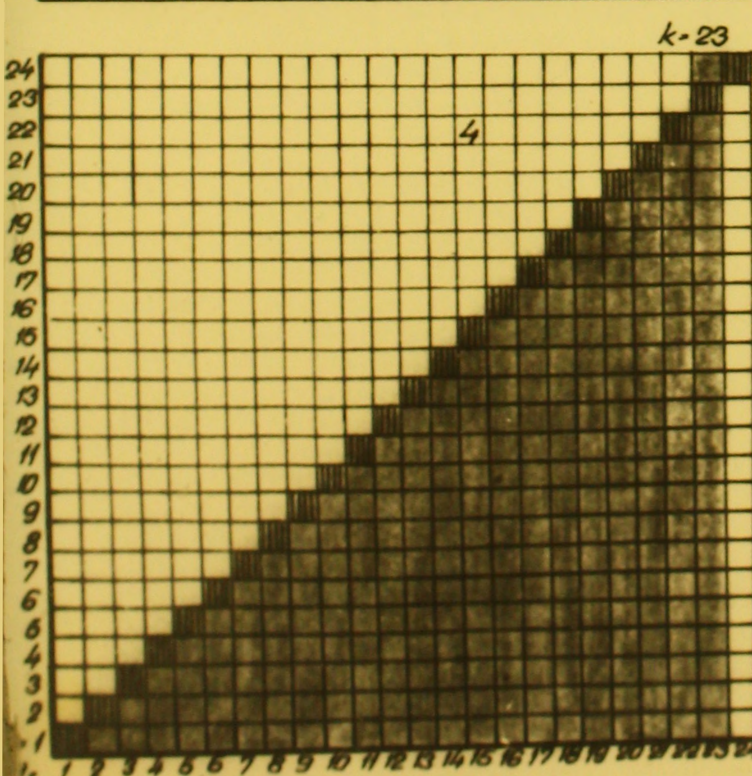
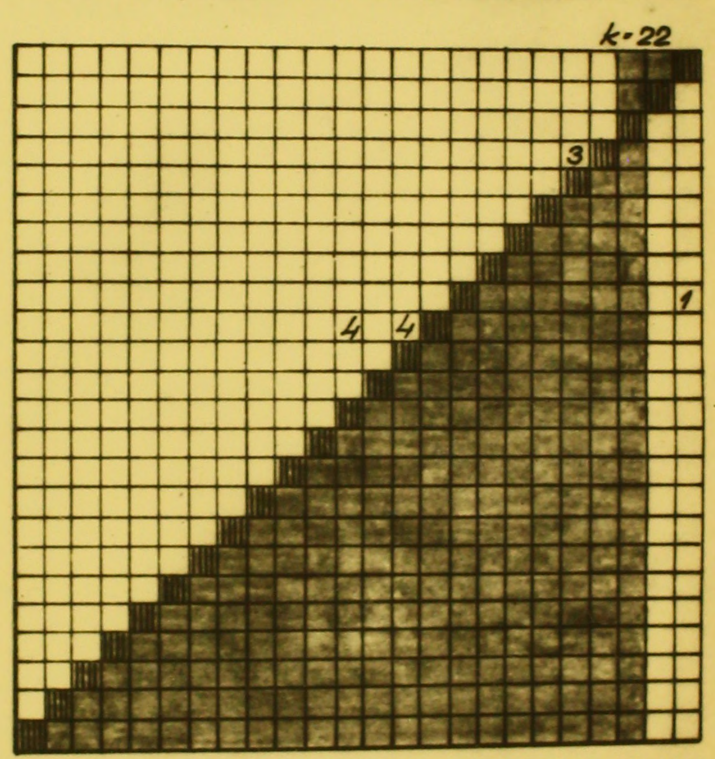
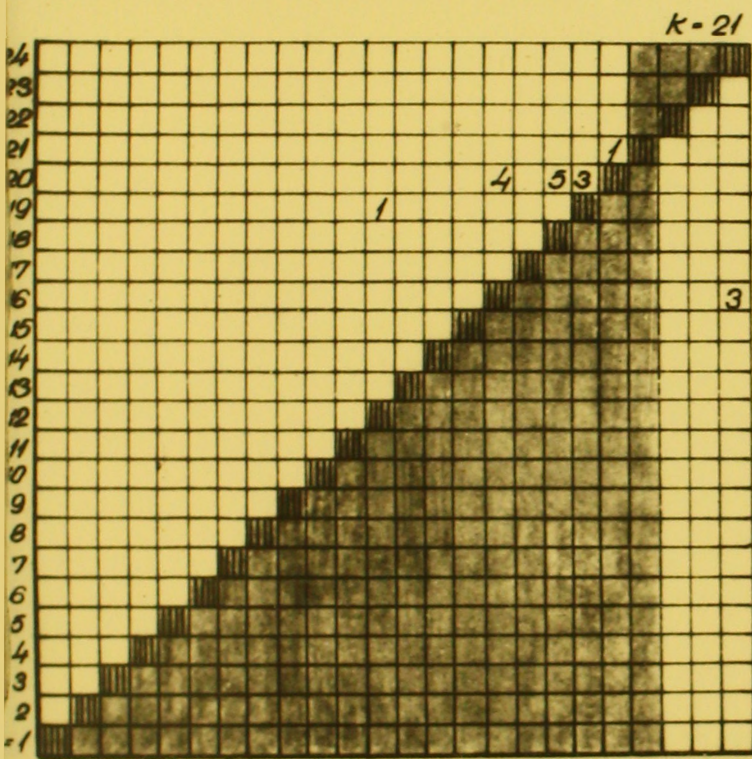
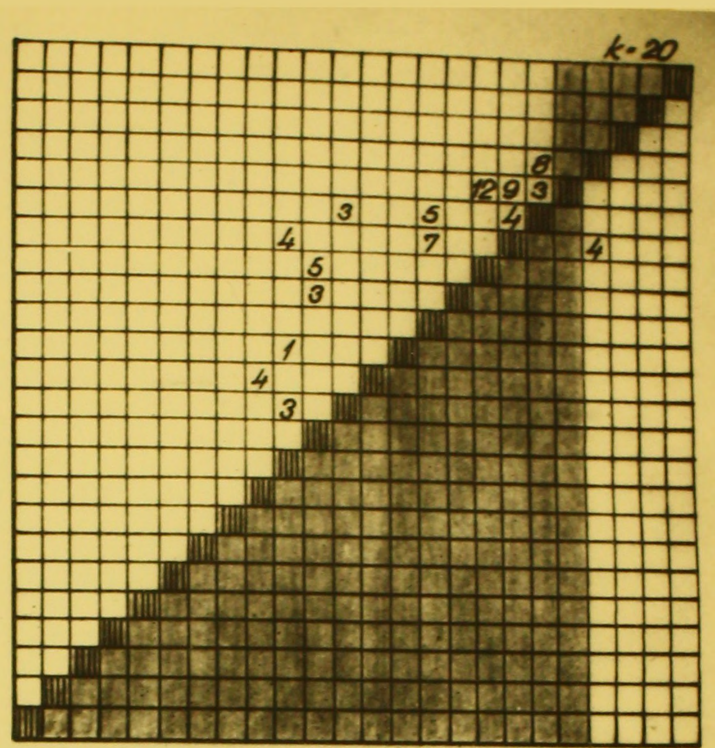
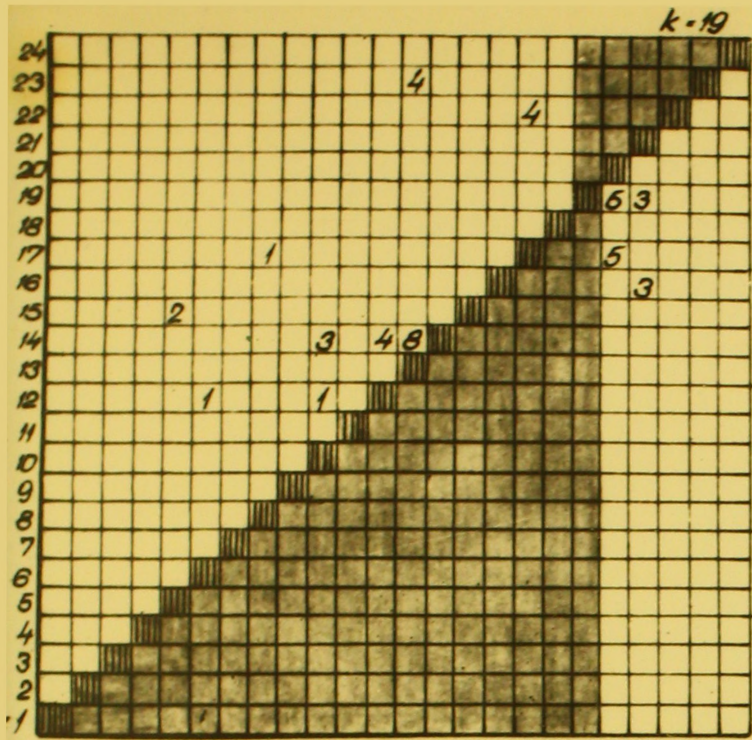


k=17



k=18





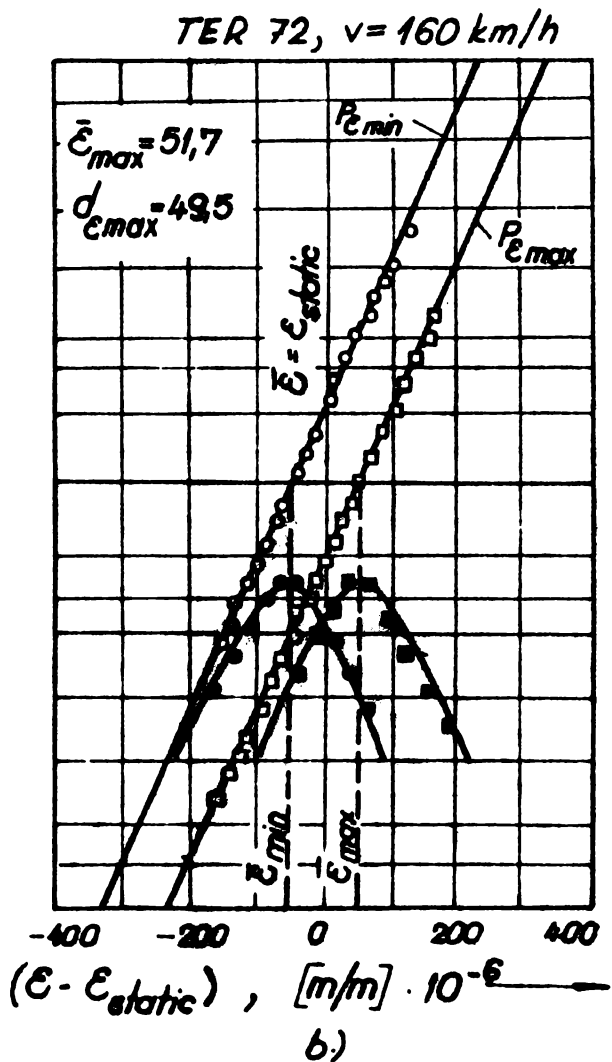
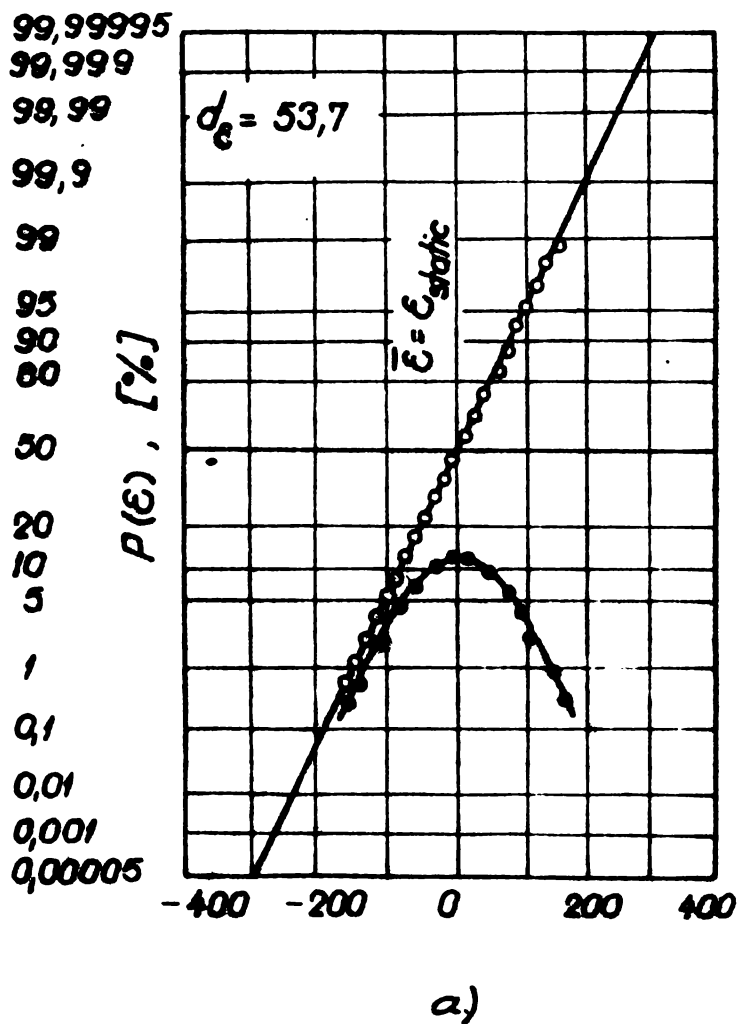
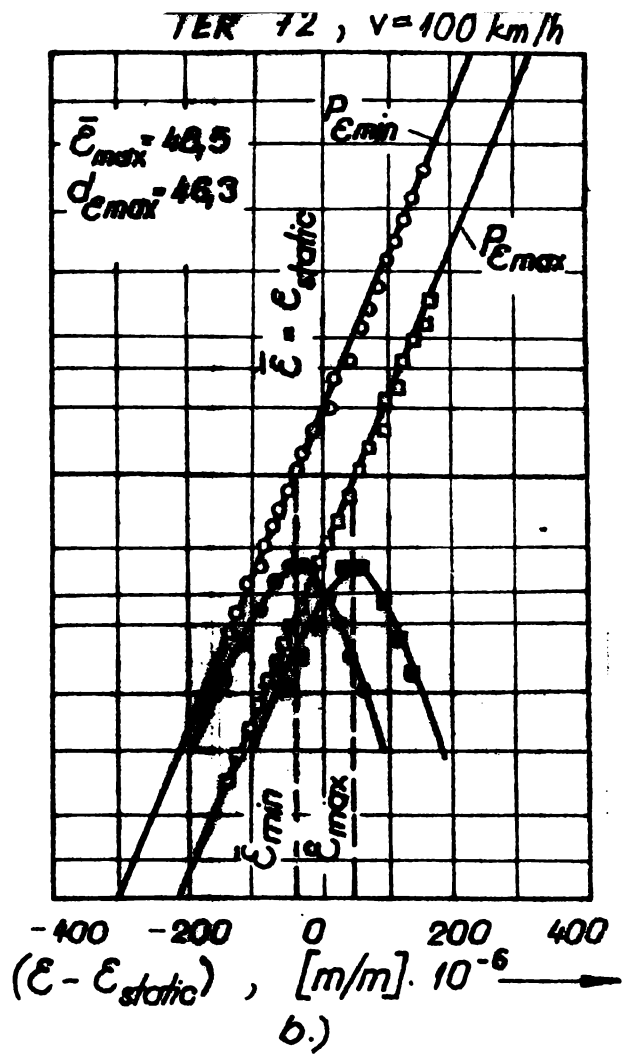
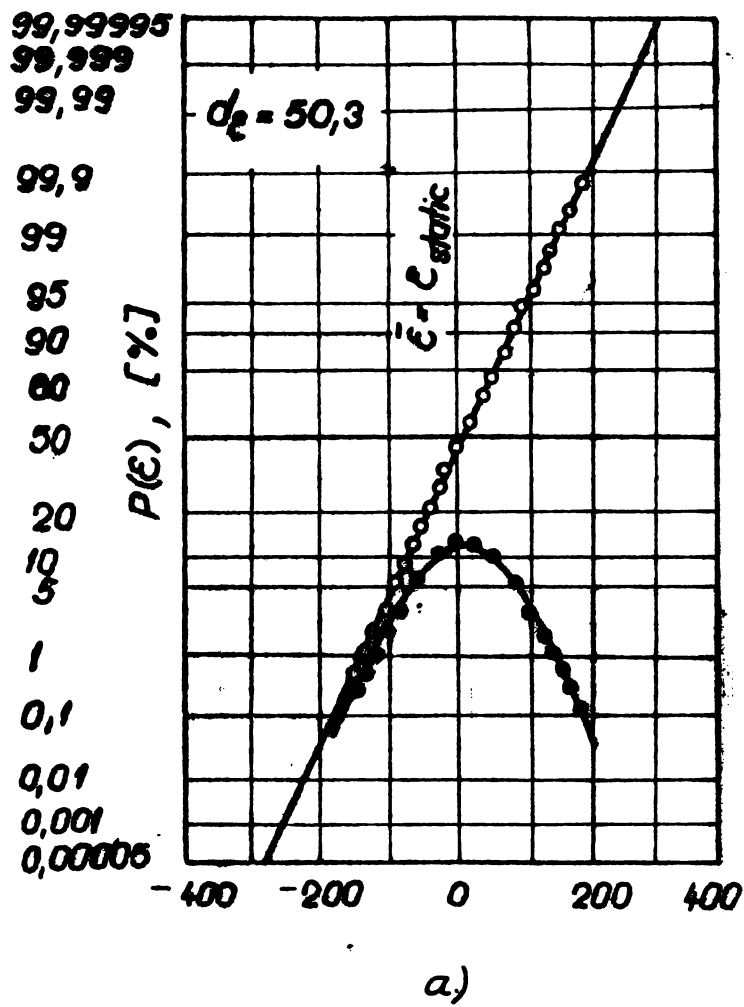


Fig. 4.5. Funcțiile de frecvență ale depășirii nivelurilor a.) și ale extremelor - maxime și minime - b.) pentru spectrele extensometrice TER 72, $v = 100$ și 160 km/h

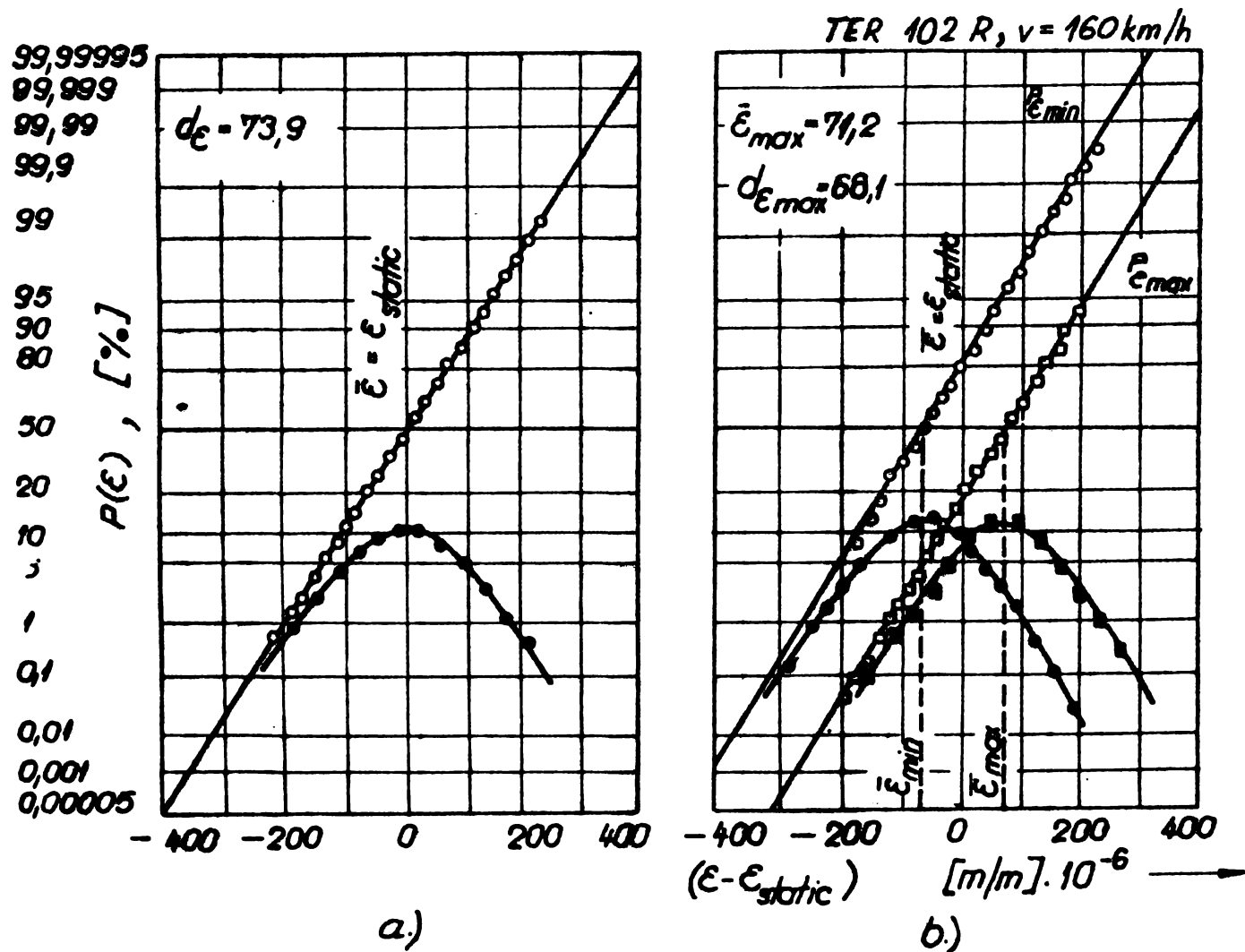
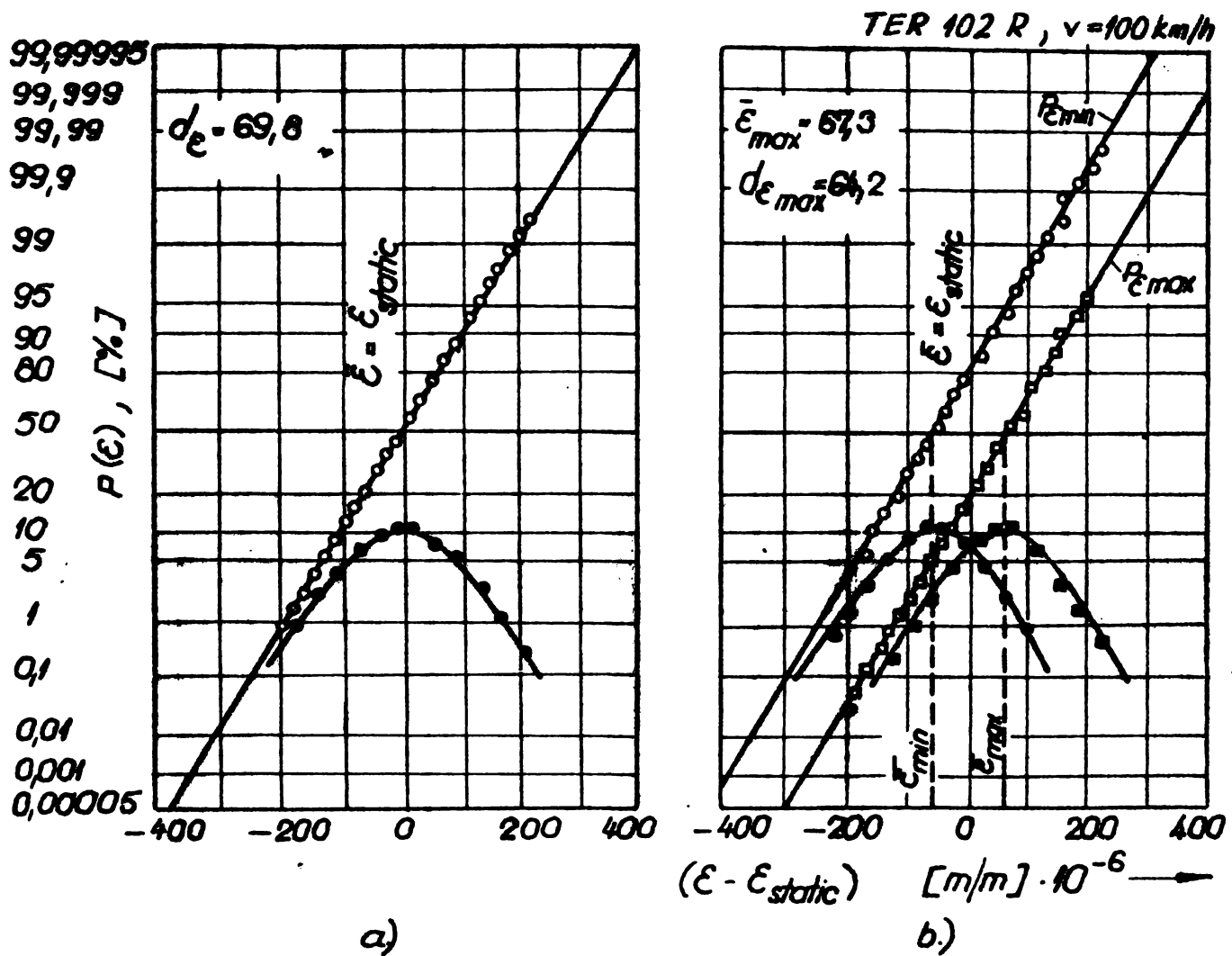


Fig. 4.6. Funcțiile de frecvență ale depășirii nivelelor a.) și ale extremelor - maxime și minime - b.) pentru spectrele extensometrice TER 102 R, $v = 100$ și 160 km/h

**CARACTERISTICILE FUNCȚIILOR DE FRECVENȚA ALE
SPECTRELOR EXTENSOMETRICE ANALIZATE**

Valorile ϵ în $[m/m] \cdot 10^{-6}$

Tabelul 4.2.

Spectru extensometric analizat	Valoarea medie (statioă) ϵ_{statio}	Amplitudinea maximă a spectrului $\epsilon_{max MAX}$	Extinderea spectrului N_{IT} [cicliuri]	Factor de neregularitate I	Funcția de frecvență a depășirii nivelului		Funcția de frecvență a extremelor		Amplitudinea maximă extrapolată $(\bar{H}_0 = 10^6)$		
					$\bar{\epsilon}$ ϵ_{statio}	$d\epsilon$	$\bar{\epsilon}$ ϵ_{statio}	$d\epsilon$			
TER 72 (CADRU)	$v=100$ km/h	174	2720	0,770	normală $\beta_1=0,05$ $\beta_2=6,10$	-1,9	50,3	normală $\beta_1=0,32$ $\beta_2=5,79$	+48,5	46,3	272
	$v=160$ km/h	181	2740	0,771	normală $\beta_1=0,03$ $\beta_2=6,02$	+2,3	53,7	normală $\beta_1=0,37$ $\beta_2=5,90$	+51,7	49,5	290
TER 102 R (TRAVERSA)	$v=100$ km/h	246	2735	0,769	normală $\beta_1=0,07$ $\beta_2=5,89$	+1,2	69,8	normală $\beta_1=0,28$ $\beta_2=5,82$	+67,3	64,3	377
	$v=160$ km/h	261	2754	0,773	normală $\beta_1=0,08$ $\beta_2=5,94$	+3,0	73,9	normală $\beta_1=0,38$ $\beta_2=6,07$	+71,2	68,1	400

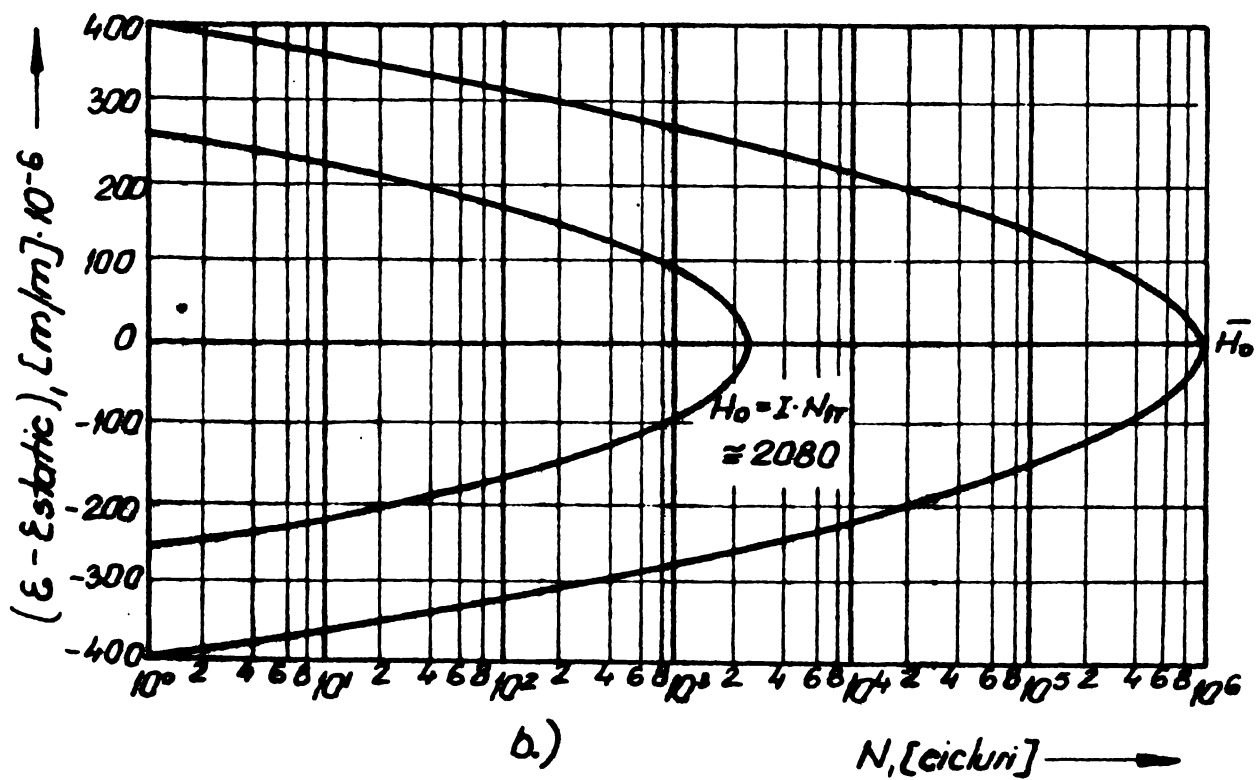
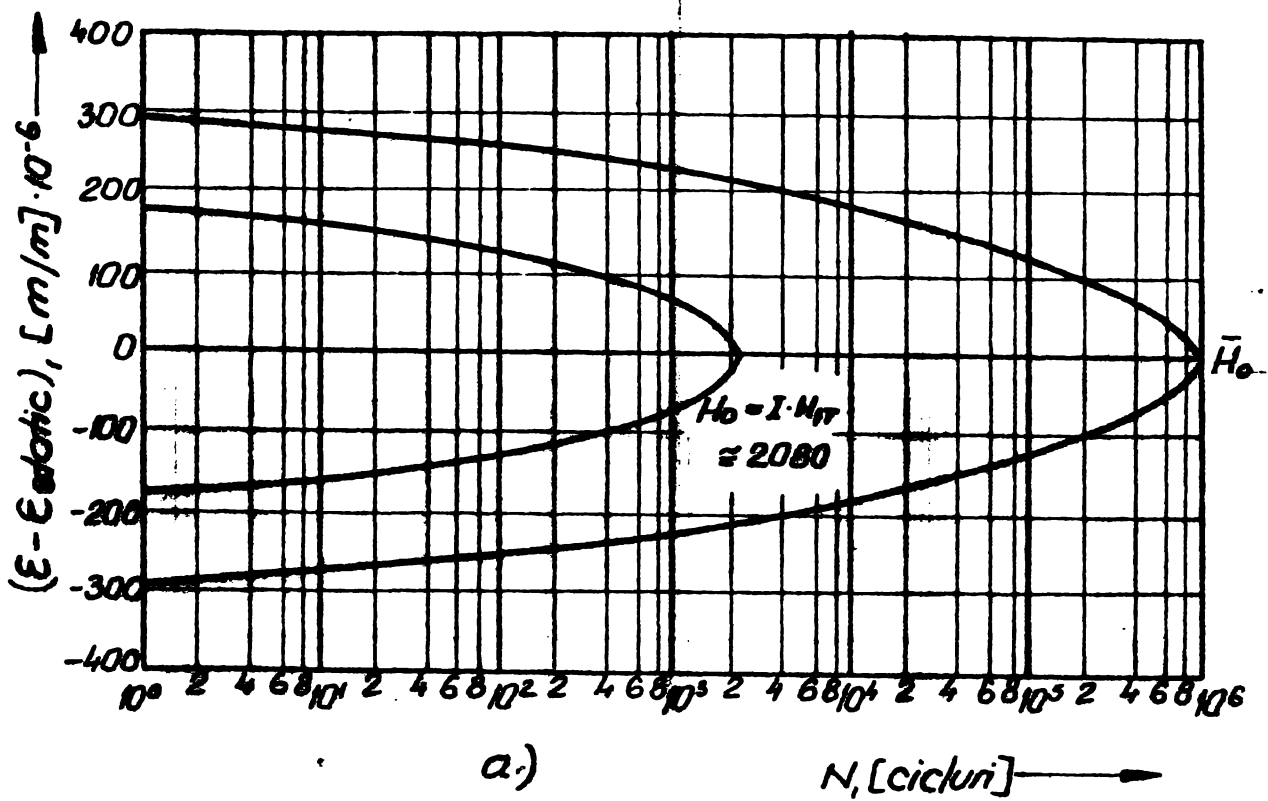


Fig.4.7. Colective de solicitare clasate
 și extrapolate (regim $v = 160 \text{ km/h}$)
 a.) - îmbinarea subțită cadru (TER 72)
 b.) - traversa crapodinei (TER 102R)

PARAMETRII STATISTICI DESCRIPTIVI AI
COLECTIVELOR DE SOLICITARE DE CALCUL

Tabelul 4.3.

Colectiv de solicitare de calcul (dedus din func- ția de frecven- ță a depășirii nivelelor)	Parametrii fundamentali				Parametrii auxiliari				Obser- vații
	Grad de plenitu- dine p	Tensiune maximă extrapo- lată $\sigma_M [N/mm^2]$	Factor de asi- metrie $r = \frac{\sigma_m}{\sigma_M}$	Factor de trun- chiere E (factor q)	Valoarea medie a colecti- vului $\bar{\sigma}$ [N/mm ²]	Factor de nere- gulari- tate I	Valoarea medie pă- tratică a proce- sului $\psi_{\sigma}^2 [N/mm^2]$	Frecven- ța com- ponentei induse $f_0 [Hz]$	
TER 72 (CADRU)	0	132,9	0,425	>5,4 (q=0)	94,7	0,77	9020,04	1,5	$k_1=1,00$ $\alpha_k=1,465$
TER 102 E (TRAVERSA)	0	135,5	0,401	>5,4 (q=0)	94,7	0,77	9025,14	1,5	$k_1=1,019$ $\alpha_k=1,170$
TER 102 E (TRAVERSA)	0	238,9	0,455	>5,4 (q=0)	173,8	0,77	30351,87	1,5	$k_1=1,019$ $\alpha_k=1,170$
TER 102 E (TRAVERSA)	0	242,9	0,431	>5,4 (q=0)	173,8	0,77	30369,46	1,5	$k_1=1,019$ $\alpha_k=1,170$

$k_1 = \frac{\sigma_1}{\sigma_{cal}}$ - constanta statului de incalzire dintr-un
 $\alpha_k = \frac{\sigma_{cal}}{\sigma_{adm}}$ - coeficient de concentrare a solicitării
 σ_{adm} - tensiune admisibilă

cale, clasate și extrapolate, corespunzător regimului de exploatare celui mai sever $v = 160 \text{ km/h}$, sînt reprezentate în fig.4.7.

Pentru trecerea la colectivele de solicitare ale tensiunii nominale de calcul s-a utilizat teoria de rezistență a energiei modificatoare a formei după VON MISES ; tensiunile echivalente rezultate s-au raportat la coeficientul de concentrare local, determinat pe cale experimentală. Parametrii definitorii ai colectivelor de solicitare în tensiuni nominale de calcul deduse din funcțiile de frecvență a depășirii nivelelor, sînt date în tabelul 4.3., în care s-a notat :

$$k_1 = \frac{\epsilon_1}{\epsilon_{ech}} \quad : \text{constanta stării de înălcare simple}$$

$$\alpha_k = \frac{(\sigma_{ech})_{\text{măsurat}}}{\sigma_{\text{nominal proiectare}}} \quad : \text{coeficientul de concentrare local}$$

Din reprezentarea matriciilor multiple ale frecvențelor absolute s-au dedus, după metodologia prezentată în Cap.II pot. 2.2, probabilitățile de ordinul II :

$$\mathcal{P} = \{ \mathcal{P}(k) \}^{1,m} = \{ \{ N_{ijk} \} \}^{1,m} \rightarrow \mathcal{P} = \{ \mathcal{P}(k) \}^{1,m} = \{ \{ P_{ijk} \} \}^{1,m} \Leftrightarrow \{ \bar{P}_{ij} \}^{1,m} \rightarrow$$

$$\rightarrow \mathcal{P}^* = \{ \mathcal{P}^*(k) \}^{1,m} = \{ \{ P_{ijk} \} \}^{1,m} \Leftrightarrow \{ \bar{P}_{ij}^* \}^{1,m}$$

2.1.2. Confruntarea cu rezultatele metodelor de analiză cunoscute

Din rezultatele analizei după modelul procesului de tip Markov cu considerarea probabilităților de trecere de ordinul II se pot deduce prin particularizare rezultatele pe care le poate furniza analiza după modelul procesului de tip Markov cu considerarea probabilităților de trecere de ordinul I - metodă propusă de ARGYRIS și colaboratori (1976). Pentru reprezentările spațiale $\mathcal{P} = \{ \mathcal{P}(k) \}^{1,m} = \{ \{ N_{ijk} \} \}^{1,m}$ ale spectrelor extensometrice analizate s-au stabilit, prin însumarea, în matricea masoă, a frecvențelor N_{ijk} după indicoele k (i, j - const.), matriciile singulare ale frecvențelor simplelor treceri $\mathcal{I}\mathcal{P} = \{ N_{ij} \}^{1,m}$; aceste matrici desorii complete spectrele extensometrice originale din punct de vedere al modelului matematic al procesului de tip Markov fără memorie. După o metodologie similară cu cea prezentată în Cap II, pot.2.2, adaptată la cazul particular al

matricii singulare, s-au determinat matricele probabilităților de trecere de ordinul I :

$${}^I\mathcal{P} = \{N_{ij}\}^{1,m} \longrightarrow {}^I\mathcal{P} = \{p_{ij}\}^{1,m} \Leftrightarrow \{\bar{p}_i\}^{1,m} \longrightarrow {}^I\mathcal{P}^* = \{P_{ij}\}^{1,m} \Leftrightarrow \{\bar{p}_i^*\}^{1,m}$$

formate din vectorii $\bar{p}_i^* = \{P_{i1}, \dots, P_{ij}, \dots, P_{im}\}$, pentru $i = 1, \dots, m$, care în matricea singulară apar pe linii, cumulați divergent dinspre diagonala principală ($i=j$) înspre coloanele extreme ($j=1$ și $j=m$).

În fig.4.8. se dă matricea probabilităților cumulate de trecere de ordinul I, stabilită prin particularizarea matriceilor multiple \mathcal{P} pentru spectrul extensometric înregistrat cu TER 72, $v = 160$ km/h.

De asemenea, din rezultatele analizei după modelul propus se poate deduce distribuția bidimensională a extremelor $f_{\epsilon_{max}\epsilon_{min}}(x_1, x_2)$ respectiv distribuția bidimensională echivalentă a amplitudinii și valorii medii instantanee $f_{\epsilon_a\epsilon_{med}}(x_1, x_2)$ - care desoriu complet structura statistică a procesului în ipoteza staționară și cu distribuție temporală normală - PAASCH (1973).

Intr-adevăr, în baza relațiilor :

$$\begin{aligned} \epsilon_{med} &= \frac{\epsilon_{max} + \epsilon_{min}}{2} \\ \epsilon_a &= \frac{\epsilon_{max} - \epsilon_{min}}{2} \end{aligned} \quad (4.2.)$$

relația de aproximare a lui RICE - rel.(2.55) - se poate transpune după KOWALEWSKI (1969) în relația :

$$f_{\epsilon_a\epsilon_{med}}(x_1, x_2) = \frac{x_1}{I^2 \cdot d_\epsilon^2} \cdot e^{\frac{-x_1^2}{2d_\epsilon^2 I^2}} \cdot \frac{1}{d_\epsilon \cdot \sqrt{2\pi(1-I^2)}} \cdot e^{\frac{-x_2^2}{2d_\epsilon^2(1-I^2)}} \quad (4.3.)$$

avînd parametrii :

$$\begin{aligned} \bar{\epsilon}_a &= d_\epsilon \cdot I \sqrt{\frac{\pi}{2}} ; & d_{\epsilon_a} &= d_\epsilon \cdot I \sqrt{2 - \frac{\pi}{2}} \\ \epsilon_{med} &= 0 ; & d_{\epsilon_{med}} &= d_\epsilon \cdot \sqrt{1 - I^2} \end{aligned}$$

Pentru cazul spectrului TER 72, $v = 160$ km/h s-a explicitat distribuția bidimensională ideală, conform rel.(2.55) respectiv rel.(4.3), utilizînd în calcule parametrii ajustați ai funcțiilor de frecvență a extremelor. - fig.4.9. Valorile probabilităților sînt date în reprezentarea cu virgulă normalizată, în care caracteristica se dă sub forma puterii bazei 10 ($E - 3 = 10^{-3}$). Probabilitățile condiționate sînt determinate pentru procesul de

24	1	1	1	1	1	1	1	1	1	1	1	1	0,5	0,5	0,5	0,5	0,5	0,5	0,5	0,5	0,5	0,5	0,5	0,5	0	0							
23	1	1	1	1	1	1	1	1	1	1	1	1	0	0	0	0	0	0	0	0	0	0	0	0	0	0			0				
22	1	1	1	1	1	1	1	1	1	1	1	1	0,66	0,66	0,66	0,37	0,33	0	0	0	0			0	0			0	0				
21	1	1	1	0,75	0,75	0,75	0,75	0,75	0,75	0,75	0,75	0,75	0,75	0,75	0,75	0,75	0,75	0,75	0,50	0,25			0	0	1			0	0	1			
20	1	1	1	1	1	0,94	0,94	0,94	0,88	0,88	0,72	0,72	0,78	0,65	0,61	0,35	0,44	0,27	0,11			0	1	1	1	1			0	1	1	1	
19	1	1	1	1	1	1	1	1	1	1	0,83	0,44	0,49	0,33	0,33	0,33	0,15	0,15	0,15			0,75	1	1	1	1			1	1	1	1	
18	1	1	1	1	1	0,94	0,94	0,95	0,28	0,68	0,68	0,65	0,55	0,49	0,16	0,11	0	0			0	0,66	1	1	1	1			1	1	1	1	
17	1	1	1	1	1	0,94	0,94	0,88	0,88	0,82	0,82	0,70	0,41	0,29	0,05	0	0			0	0,25	1	1	1	1	1			1	1	1	1	
16	1	1	1	1	1	0,97	0,94	0,94	0,87	0,84	0,84	0,73	0,65	0,38	0,23	0,07	0			0	0	0	0	0	0	0,30	0,30	0,30	1			1	
15	1	1	1	1	1	0,98	0,97	0,95	0,93	0,85	0,72	0,45	0,32	0,07	0	0			0	0	0,20	0,20	0,20	0,20	0,20	1	1			1	1	1	1
14	1	0,98	0,98	0,98	0,98	0,98	0,97	0,97	0,92	0,86	0,66	0,40	0,12			0,15	0,72	0,77	0,94	0,97	0,94	0,94	1	1	1	1			1	1	1	1	
13	1	0,98	0,98	0,98	0,98	0,98	0,95	0,95	0,83	0,81	0,85	0,22			0,87	0,77	0,87	0,85	0,95	1	1	1	1	1	1	1			1	1	1	1	
12	1	1	1	0,98	0,98	0,97	0,95	0,94	0,90	0,78	0,35			0,28	0,59	0,87	0,93	0,95	0,97	0,98	0,99	0,99	1	1	1	1			1	1	1	1	
11	1	1	1	1	1	1	1	1	1	0,78	0,53			0,15	0,39	0,72	0,89	0,95	0,97	0,99	0,95	1	1	1	1			1	1	1	1		
10	1	1	1	1	1	1	1	1	1	0,77	0,44	0,44	0,22			0,05	0,31	0,51	0,73	0,93	0,95	0,97	0,98	0,98	1	1			1	1	1	1	
9	1	1	1	1	1	0,85	0,85	0,33	0,33			0,12	0,13	0,40	0,56	0,75	0,88	0,92	0,94	0,98	0,98	1	1	1	1			1	1	1	1		
8	0	0	0	0	0	0	0			0,09	0,12	0,32	0,48	0,64	0,83	0,96	0,96	1	1	1	1	1	1	1	1			1	1	1	1		
7	0	0	0	0	0	0	0			0	0	0	0	0,40	0,60	1	1	1	1	1	1	1	1	1	1			1	1	1	1		
6	0	0	0	0	0			0	0	0	0,05	0,05	0,25	0,35	0,57	0,73	0,79	0,95	1	1	1	1	1	1	1			1	1	1	1		
5	0	0	0	0			0	0	0	0,14	0,14	0,14	0,14	0,14	0,43	0,71	0,85	0,85	1	1	1	1	1	1	1			1	1	1	1		
4	0	0	0			0	0	0	0	0	0	0	0	0	0,33	0,66	1	1	1	1	1	1	1	1	1			1	1	1	1		
3	0	0			0	0	0	0	0,50	1	1	1	1	1	1	1	1	1	1	1	1	1	1	1	1			1	1	1	1		
2	0			0	0	0	0	0	0	0	0	0	0	0	0	0	0	0	0	0	0	0	0	0	0	0	0	0	0	0	0	0	
1		0	0	0	0	0	0	0	0	0	0	0	0	0	0	0	0	0	0	0	0	0	0	0	0	0	0	0	0	0	0	0	
	j-1	2	3	4	5	6	7	8	9	10	11	12	13	14	15	16	17	18	19	20	21	22	23	24									

Fig. 4.8. Matricea probabilităților de trecere de ordinul I $P^* = \{P_{ij}\}_{1,m}$, dedusă prin particularizare din reprezentarea matriciilor multiple ale frecvențelor absolute ale dublelor treceri (spectru extensometric TER 72, v = 160 km/h)

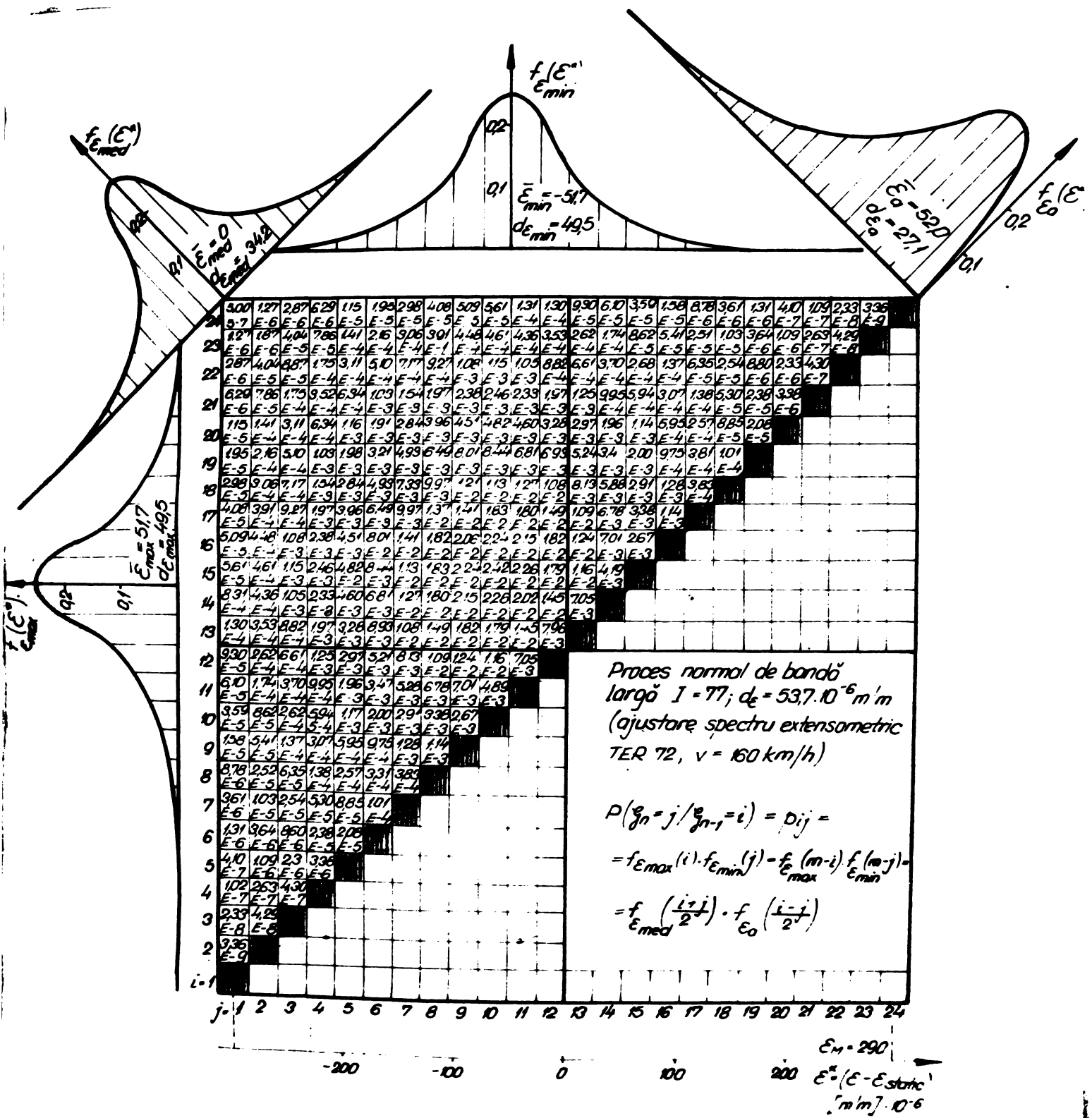


Fig. 4.9. Distribuțiile bidimensionale $\xi_{max} - \xi_{min}$ respectiv $\xi_a - \xi_{med}$ conform modelului procesului staționar normal de bandă largă ($I = 0,77$). Probabilitățile condiționate s-au calculat după rel. (2.55), (4.2) pentru caracteristicile statistice ajustate ale spectrului extensometric TER 72, $v = 160 \text{ km/h}$

solicitare extrapolat la extinderea $H_0 = 10^6$, astfel încît cîoul cu valoarea interextremă maximă ($i = 1 \rightarrow j = 24$ respectiv $i=24 \rightarrow j= 1$) să poată fi realizat fizic o singură dată:

$$\int_{\varepsilon_{max}}^{\varepsilon_{min}} (x_1 = 5,24 \cdot d_{\varepsilon}, x_2 = -5,24 \cdot d_{\varepsilon}) = 0,5 \cdot 10^{-6}$$

Distribuția valorilor medii instantanee apare ca o distribuție normală, cu valoarea medie temporală centrată pe valoarea medie a procesului, iar distribuția amplitudinilor este de tip Rayleigh ; cele 4 distribuții liniare sînt complet determinate prin valoarea abaterii medii pătratice d_{ε} a procesului și a factorului de neregularitate I.

Relevanța modelului matematic propus - bazat pe modelul de tip Markov cu considerarea probabilităților de trecere de ordinul II - de a aproxima și descrie procese ovasi-staționare, cu memorie, reiese din fig.4.10 și 4.11. Aceste figuri ilustrează comparația dintre funcțiile densității de probabilitate și funcțiile de distribuție ale trecerii $\xi_{n-1} = j \rightarrow \xi_n = k$ ($\xi_{n-2} = i, \xi_{n-1} = j$ dat) pentru următoarele situații :

- stabilite direct din probabilitățile de trecere de ordinul II, clasate și determinate după metodologia propusă
- stabilite din probabilitatea de trecere după 2 pași, deduse din probabilitățile de trecere de ordinul I conform relațiilor (2,43) și (2.44), reprezentînd deci probabilitățile de ordinul II aferente modelului Markov fără memorie.

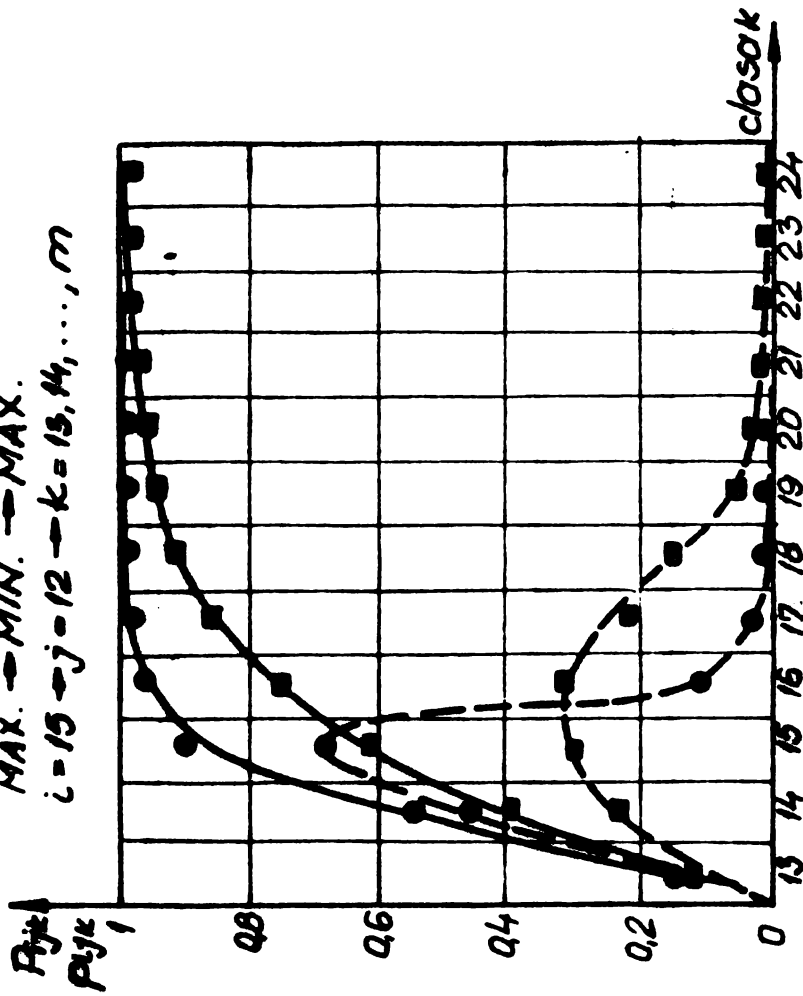
S-au considerat următoarele cazuri relevante ale spectrului extensometric înregistrat în cadrul boghiului (TER 72, $v=160$ km/h) :

- a).- treceri MAX \rightarrow MIN \rightarrow MAX între două stări inițiale i, j care cuprind amplitudinile probabile ale componentei induse, fără componentă fundamentală - fig.4.10 a.
- b).- treceri MAX \rightarrow MIN \rightarrow MAX între două stări inițiale i, j care cuprind amplitudinile probabile ale componentei induse suprapuse peste componenta fundamentală - fig. 4.10.b.
- c).- treceri MIN \rightarrow MAX \rightarrow MIN între două stări inițiale i, j care cuprind amplitudinile probabile ale componentei induse, fără componentă fundamentală - fig.4.11.a
- d).- treceri MIN \rightarrow MAX \rightarrow MIN între două stări inițiale i, j care cuprind amplitudinile probabile ale componentei induse suprapuse peste componenta fundamentală fig. 4.11.b.

Dublă trecere tip:

MAX. → MIN. → MAX.

$i = 13 \rightarrow j = 12 \rightarrow k = 13, 14, \dots, m$



Dublă trecere tip:

MAX. → MIN. → MAX.

$i = 13 \rightarrow j = 9 \rightarrow k = 10, 11, \dots, m$

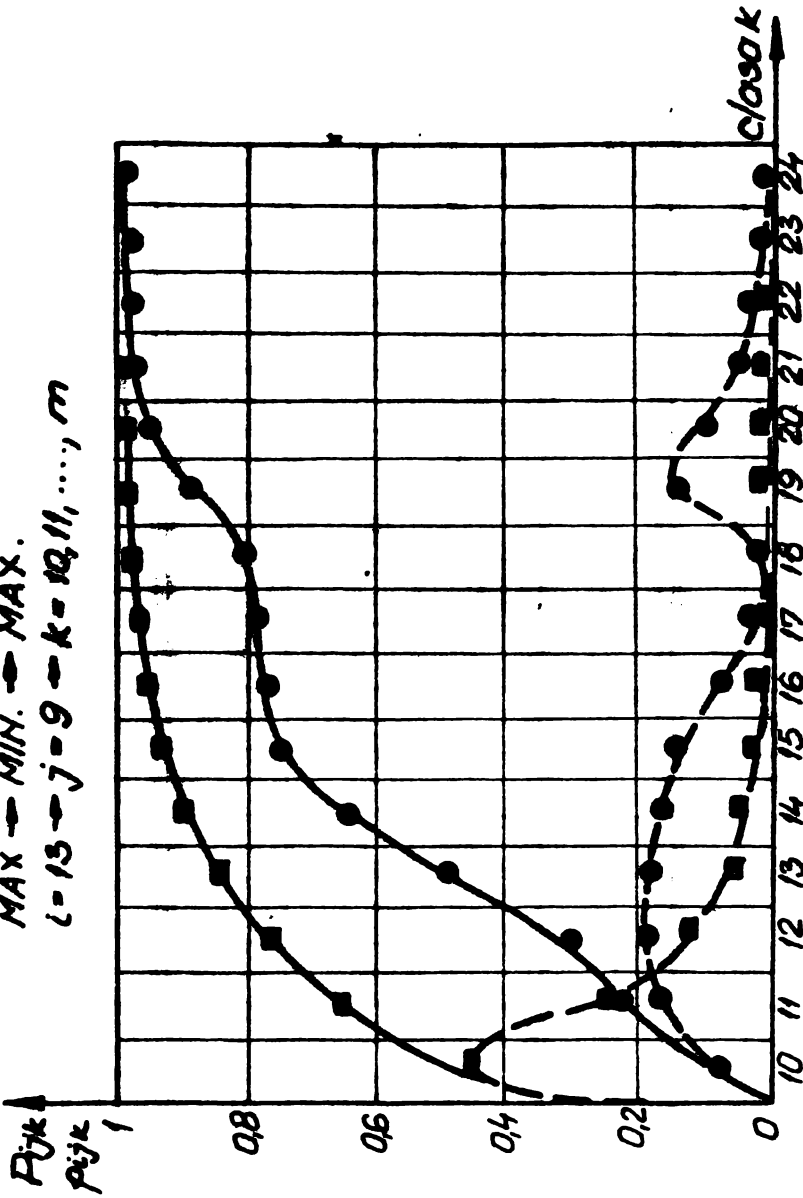


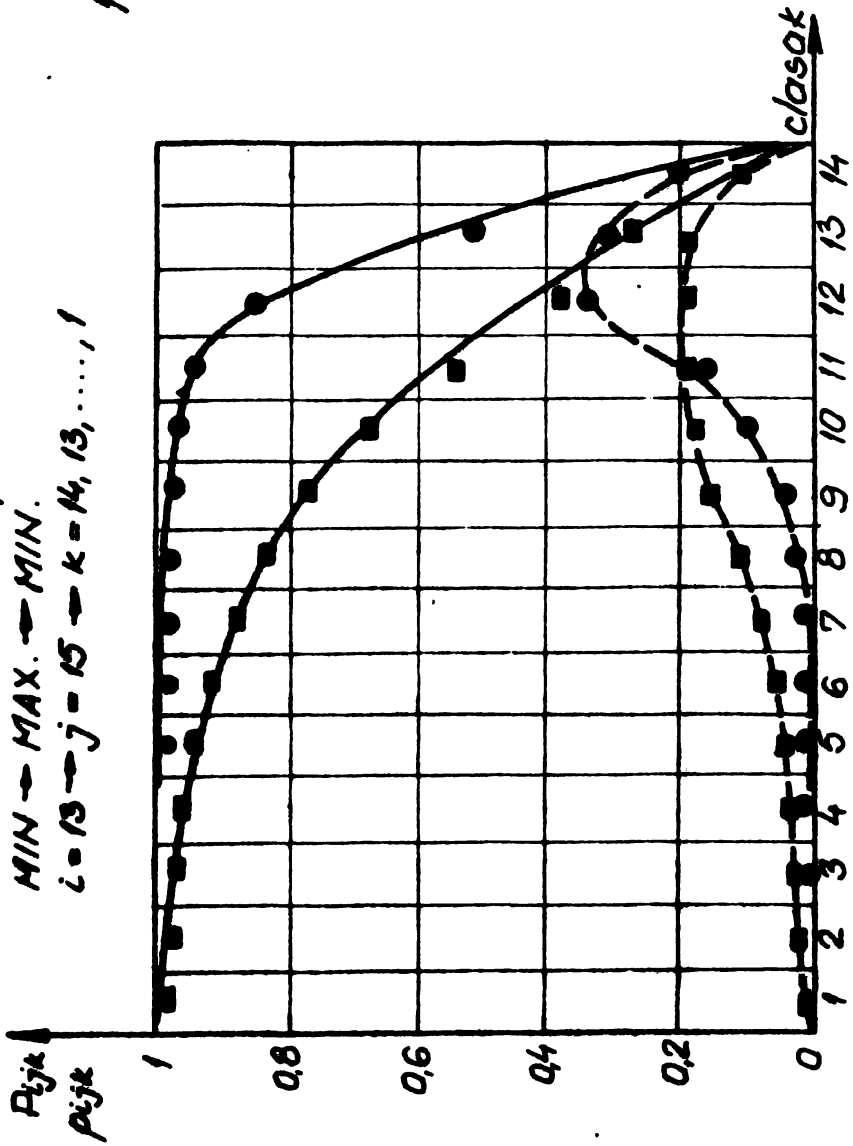
Fig. 4.10. Distribuțiile $\bar{p}_{ij} = \{p_{ijk}\}_k^{i,m}$ și $\bar{p}_{ij} = \{p_{ijk}\}_k^{i,m}$ ale dublelor treceri

- -- stabilite direct din matricile multiple $\mathcal{P} = \{\{p_{ijk}\}\}_k^{i,m}$
(model Markov de ordinul \bar{i})
- -- stabilite ca probabilități de trecere după 2 pozi pe baza
matricii singulare $\mathcal{P} = \{p_{ij}\}_i^{i,m}$ (model Markov de ordinul \bar{i})

Dublă trecere tip:

MIN → MAX. → MIN.

$i = 13 \rightarrow j = 15 \rightarrow k = 14, 13, \dots, 1$



Dublă trecere tip:

MIN. → MAX. → MIN.

$l = N \rightarrow j = 15 \rightarrow k = 15, 14, \dots, 1$

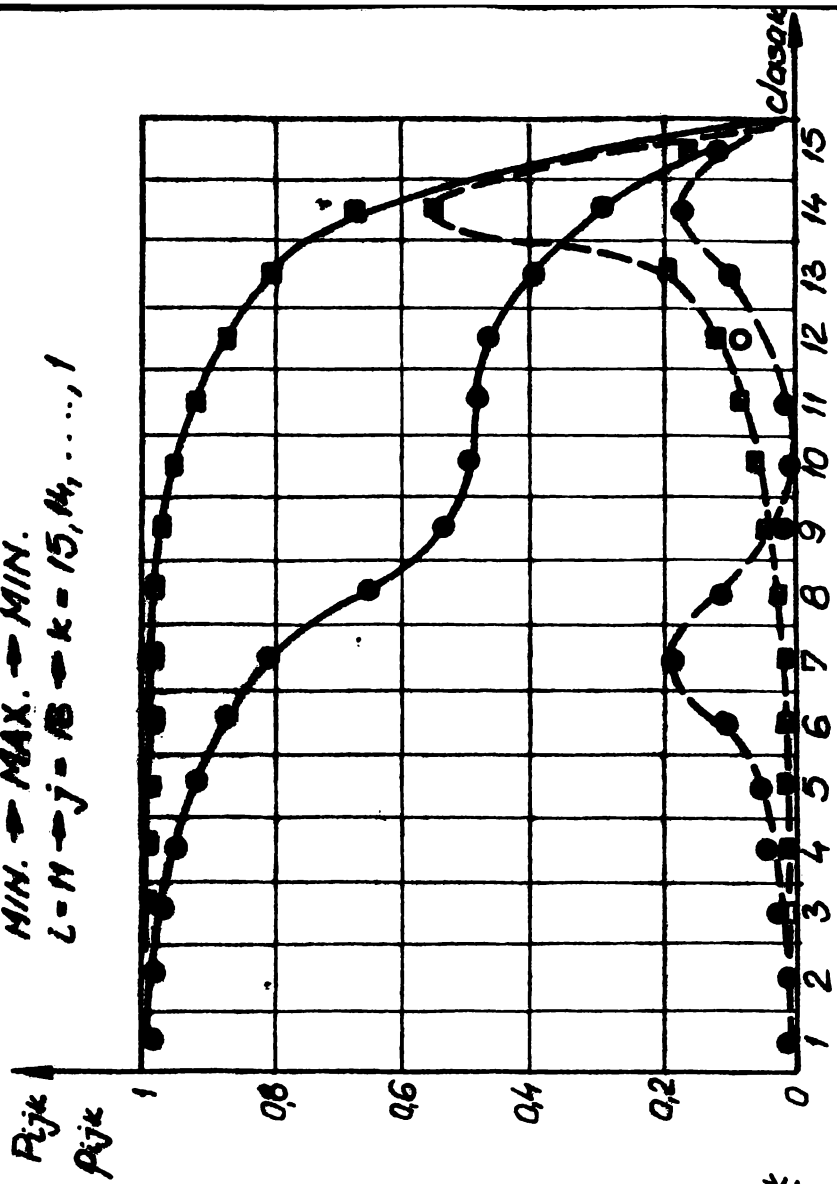


Fig. 4.11. Distribuțiile $\bar{p}_{ij} = \{p_{ij}^k\}_k^{l,m}$ și $\bar{p}_{ij} = \{p_{ij}^k\}_k^{l,m}$ ale dublelor treceri

● - stabilite direct din matricile multiple $\mathcal{P} = \{\{p_{ij}^k\}\}_{l,m}$
(model Markov de ordinul \bar{l})

■ - stabilite ca probabilități de trecere după 2 pași pe baza
matricii singulare $\mathcal{P} = \{p_{ij}^k\}_{l,m}$ (model Markov de ordinul \bar{l})

În cazurile a) și c), probabilitățile de trecere de ordinul II au distribuții unimodale și diferă printr-o dispersie mai redusă de probabilitățile de trecere după 2 pași, întrucât în secvența de cicluri centrate pe valoarea medie, procesul este staționar corespunzător componentei induse; probabilitatea apariției unor amplitudini care depășesc amplitudinea medie a componentei induse este redusă și corespunde apariției unor cicluri simetrice datorită perturbațiilor.

În cazurile b) și d) probabilitățile de trecere de ordinul II prezintă distribuții bimodale, în timp ce probabilitățile de trecere după 2 pași prezintă distribuții unimodale. Maximalele funcțiilor de densitate a probabilităților de ordinul II sînt centrate pe valorile cele mai probabile ale amplitudinilor componentei induse fără componenta fundamentală (regim staționar) respectiv cu componenta fundamentală (regim nestaționar prin deca-larea valorii medii). Această confirmă capacitatea modelului matematic al procesului de tip Markov cu considerarea probabilităților de trecere de ordinul II de a descrie mai exact procese ovasi-staționare. Informația conservată sintetic în distribuțiile bimodale exprimă tocmai caracterul de proces cu oreșteri dependente a spectrelor extensometrice înregistrate.

2.2. Sinteza procesului de solicitare. Confruntare cu metode de sinteză cunoscute.

După metodologia propusă bazată pe desfășurarea reprezentării matriciilor multiple transformate în distribuțiile de probabilități

$$\mathcal{P}^* = \{ \mathcal{P}^*(k) \}^{1,m} \Leftrightarrow \{ \bar{P}_{ij}^* \}^{1,m}$$

s-au generat traiectorii ale procesului Markov cu extindere consistentă, comparabilă cu cea a spectrelor înregistrate. Drept condiții inițiale s-au ales duble treceri $i_0 \rightarrow j_0 \rightarrow k_0$ realizate fizic în cadrul procesului original înregistrat.

Pentru a studia relevanța modelului de tip Markov propus pentru analiza și sinteza proceselor aleatoare ovasi-staționare, în paralel s-au generat și traiectorii ale unui proces de tip Markov cu considerarea probabilităților de ordinul I; generarea acestor traiectorii s-a bazat pe desfășurarea matricii singulare a probabilităților de trecere de ordinul I: ${}^I\mathcal{P}^* \Leftrightarrow \{ \bar{P}_i^* \}^{1,m}$ stabilită prin particularizare din matriciile multiple $\mathcal{P} = \{ \mathcal{P}(k) \}^{1,m}$.

$= \{ \{ N_{ijk} \} \}^{1,m}$ a frecvențelor dublelor treceri clasate. Algoritmul de generare a succesiunii de extreme este similar cu cel propus la sinteza proceselor de tip Markov de ordinul I, rezultând ca un caz particular al acestuia.

Confruntarea se exemplifică pentru cazul spectrului extensometric înregistrat cu TER 72, $v = 160$ km/h. În cadrul unor selecții de extindere comparabilă $N_{IT} = 2700$ cicluri, cele două traiectorii ale proceselor de tip Markov de ordinul I respectiv II reconstituie, în limitele acurateței digitalizării, caracteristicile statistice principale ale procesului original - Tabelul 4.4.

Tabelul 4.4.

Proces	Caracteristici statistice determinate		
	Valoarea medie $\bar{\epsilon}$ [m/m] $\cdot 10^{-6}$	Abaterea medie pătratică d_{ϵ} [m/m] $\cdot 10^{-6}$	Factor de neregularitate I
Proces original (spectru extensometric)	0,0	53,7	0,770
Traiectorie a procesului de tip Markov de ordinul II	0,07	53,50	0,775
Traiectorie a procesului de tip Markov de ordinul I	- 0,03	53,93	0,774

În fig.4.12 sînt reprezentate trei selecții parțiale care caracterizează procesul de solicitare din îmbinarea sudată lonjeron - traversă - a cadrului boghiului (TER 72), în regimul de $v = 160$ km/h, și anume :

- .- spectrul extensometric original, redus la o succesiune de valori extreme certe ;
- .- traiectoria procesului, construită prin sinteză pe baza modelului Markov cu considerarea probabilităților de trecere de ordinul II (desfășurarea matricilor multiple $\mathcal{P}^* = \{ \mathcal{P}_k^* \}^{1,m} = \{ \{ P_{ijk} \} \}^{1,m} \Leftrightarrow \{ \bar{p}_{ij}^* \}^{1,m}$);
- .- traiectoria procesului, construită prin sinteză pe baza modelului Markov cu considerarea probabilităților de trecere de ordinul I (desfășurarea matricii singu-

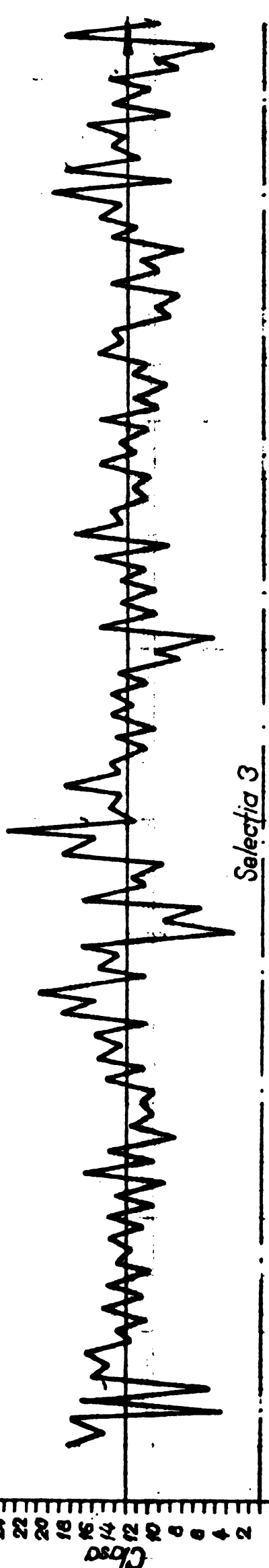
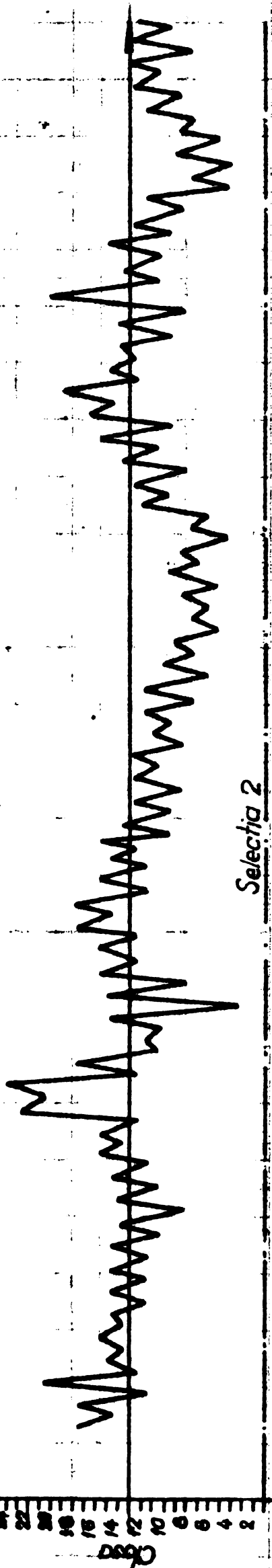
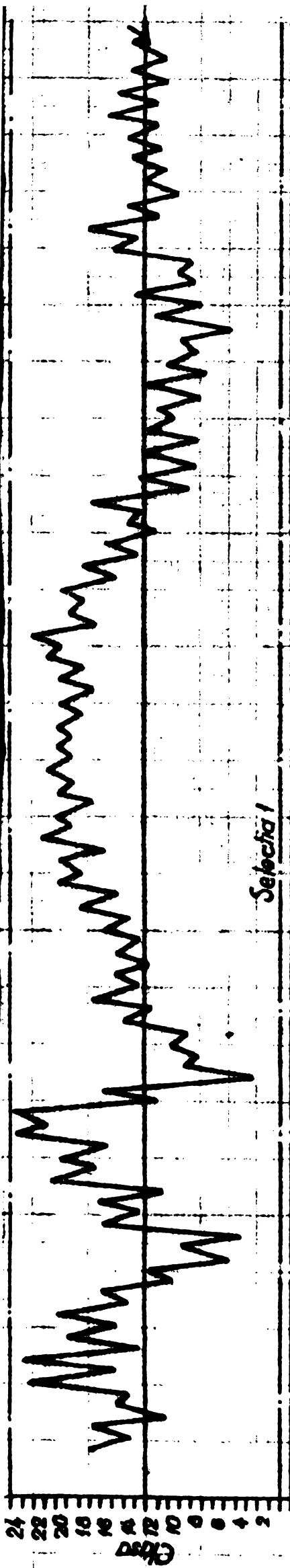


Fig. 4.12 Selectii ale procesului de solcitare TER 72, $v = 160 \text{ km/h}$

- 1 - spectru extensometric original
- 3 - trajectorie generată (model Markov de ordinul II)
- 3 - trajectorie generată (model Markov de ordinul I.)

lare ${}^I\mathcal{P}^n = \{P_{ij}\}^{h,m} \Leftrightarrow \{\bar{P}_i^*\}^{h,m}$ - fig.4.8).

Pentru generarea traiectoriilor după cele 2 metode s-au considerat aceleași condiții inițiale :

$$i_0 = 17 ; \quad j_0 = 14 ; \quad k_0 = 17$$

care reprezintă de fapt prima dublă trecere realizată în spectrul extensometric original, într-o secvență nestaționară corespunzător intrării în abatere și în curbă stînga-dreapta ; de asemenea, la sinteză s-a utilizat și același șir de numere pseudo-aleatoare uniform distribuite pe intervalul $[0,1]$.

Se constată că traiectoria b), generată după modelul propus al procesului de tip Markov cu considerarea probabilităților de trecere de ordinul II, poate reconstitui mai exact istoria procesului de solicitare ovasi-staționară decît traiectoria c) ; caracterul de proces cu memorie reiese din faptul că ciclurile generate redau prin distribuția și succesiunea temporală a valorilor medii instantanee, tendințele componente fundamentale.

Pentru a aprecia cantitativ exact gradul de acuratețe la reeditarea istoriei procesului de solicitare ovasi-staționară s-a adoptat drept criteriu funcția de autocorelație. Pentru un proces de tip discret, cu un număr finit de stări cum este cazul succesiunilor date ale extremelor, funcția de autocorelație se exprimă prin relația :

$$C_\varepsilon(l) = \frac{1}{N-l-1} \sum_{r=1}^N [\xi(r) - \bar{\xi}] [\xi(r+l) - \bar{\xi}] \quad (4.4)$$

în care s-a notat :

$\xi(r)$ - valoarea variabilei aleatoare la momentul r ,
 $r = 1, 2, 3, \dots, N$ (pentru intervalul de timp unitar între trecerile succesive ale procesului $r = \Delta t \cdot r = t_r$)

N - numărul total de extreme (realizări ale variabile de stare) în selecția dată

$\bar{\xi}$ - valoarea medie a procesului

l - valoarea timpului de retardare

$$l = 1, 2, 3 \dots < N \quad (l = l \cdot \Delta t = \tau_l)$$

Pentru procese discrete de tip Markov, funcția de autocorelație are o reprezentare grafică sub formă de funcție "pieptene", avînd valori discrete $C_\varepsilon(l)$ doar pentru valorile discrete ale timpului de retardare l .

În domeniul timpilor de retardare mai mici decât timpul de corelare ℓ_0 există un grad de corelare între valorile procesului $f(t)$, iar valorile funcției $C_\xi(\ell)$ sînt pozitive pentru ℓ_0 par respectiv negative pentru ℓ_0 impar.

Infășurătoarea funcției "pieptene" indică prin alura ei gradul de corelare a valorilor procesului $f(t)$. Timpul de corelare ℓ_0 se consideră atins cînd $C_\xi(\ell)$ se anulează respectiv schimbă de semn.

În fig.4.13 sînt redată funcțiile de autocorelație determinate pentru spectrul extensometric original (TER 72), ($v=160$ km/h) și pentru traiectoriile generate pe baza modelului Markov cu considerarea probabilităților de trecere de ordinul II respectiv de ordinul I - în corespondență cu procesele reprezentate sub formă de secvențe parțiale în fig.4.12.

În fig.4.13 s-au redat pentru simplificare doar valorile $C_\xi(\ell)$ pînă la $\ell = 50$.

Timpul de corelație obținut pentru traiectoria modelului Markov cu considerarea probabilităților de trecere de ordinul II arată o bună corespondență cu timpul de corelație obținut pentru procesul original :

$$(\ell_0)_{\text{traiectorie II}} = 80 \sim (\ell_0)_{\text{proces original}} = 72$$

ceea ce indică o reeditare satisfăcătoare a caracterului de proces cu creșteri dependente.

Timpul de corelație obținut pentru traiectoria modelului Markov cu considerarea probabilităților de trecere de ordinul I este mult mai redus decât cel obținut pentru procesul original :

$$(\ell_0)_{\text{traiectorie I}} = 25 \ll (\ell_0)_{\text{proces original}} = 72$$

în concordanță cu caracterul de proces cu creșteri independente, deci fără memorie, a modelului matematic simplificat.

Confruntarea metodologiei de analiză și sinteză propuse, bazată pe modelul procesului de tip Markov cu considerarea probabilităților de trecere de ordinul II, cu metodologiile cunoscute în prezent, și în special cea bazată pe modelul procesului de tip Markov cu considerarea probabilităților de trecere de ordinul I, permite formularea următoarelor concluzii de ordin general :

- analiza spectrelor extensometrice după metodologia propusă conduce la construirea unui model al procesului, prin care se

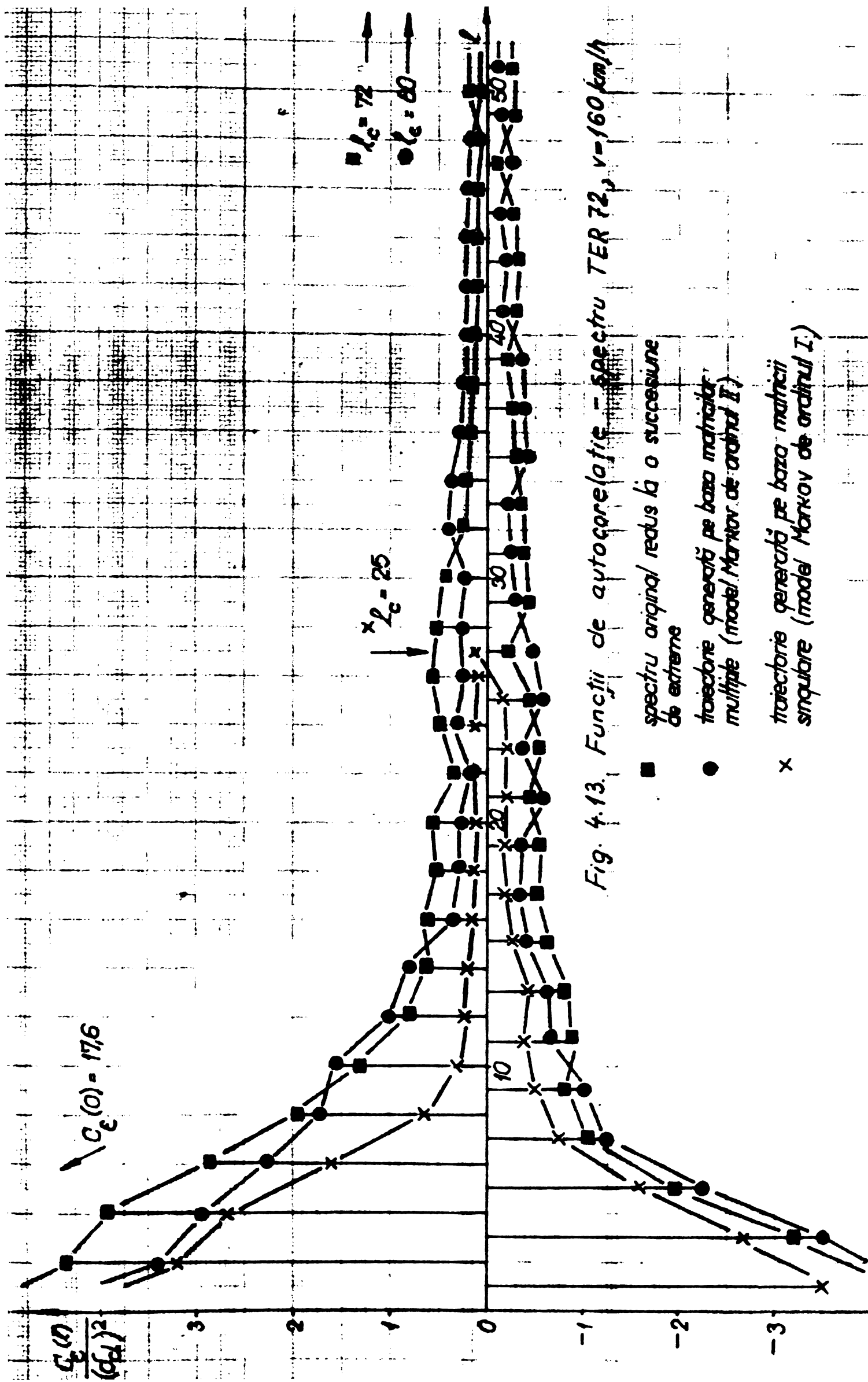


Fig. 4.13. Funcții de autocorelație - spectru TER 72, $v = 160$ km/h

conservă informațiile esențiale privind caracterul cu creșteri dependente al procesului cvasi-staționar ;

- rezultatele analizei după metodologia propusă sînt compatibile cu rezultatele obținute prin metodele cunoscute, acestea din urmă rezultînd printr-o particularizare și reducere a volumului de informație stabilit prin analiza dublu corelată ; rezultatele analizei se pot transpune în colectivele de solicitare, care constituie baza calculelor moderne de verificare a durabilității ;

- prin sinteza bazată pe modelul procesului de tip Markov cu considerarea probabilităților de trecere de ordinul II, se pot genera procese de solicitare cvasi-staționare, care simulează procesul de solicitare original cu un grad de aproximare mult mai ridicat ; încercările simulative pe stand, utilizînd ca mărime de comandă procesele sintetizate, vor conduce la o apreciere previzională mai exactă a comportării construcțiilor de rezistență în condiții reale de exploatare.

2.3. Programul de calcul

Pentru preluarea eficientă a volumului mare de date la analiză și sinteză, cu posibilitatea efectuării calculelor în timp real, s-a elaborat un program de calcul în limbaj FORTRAN IV pentru calculatorul FELIX - C 256.

Datele inițiale ale analizei se introduc sub forma șirului valorilor de eșantionare; datele finale ale analizei - reprezentarea matricilor multiple ale probabilităților de trecere de ordinul II - constituie datele de intrare ale sintezei.

În continuare se dă organigrama generală a programului de calcul ASSPEX (Analiza și Sinteza Spectrelor Extensometrice).

START

Introducerea datelor initiale:

- spectrul extensometric dat prin sirul valorilor de eșantionare. $EPS(L), L=1, L \neq T$
- valoarea medie (echilibrare statică) $EPSMED$
- numărul prestabil de clase $MCLASP$
- intervalul de clasă prestabil $DCLASP$
- caracteristici de material, geometrice, constructive

Opțiune:
alegere automată
a claselor?

*Intervalul clasei extern
(compatibil cu alte clase)*
 $DCLAS = DCLASP$

*Identificarea amplitudinii
maxime a sirului $EPS(L)$*
 $AMAX(EPS(L))$

Calculul intervalului de clasă
 $DCLAS = IFIX(AMAX(EPS)/MCLASP + 1)$

Calculul nivelelor de clasă:
 $IST = 1, MCLASP$
 $EPSCL(IST) =$
 $EPSMED + (IST - MCLASP/2 - 1) * DCLAS$

$L = 0$

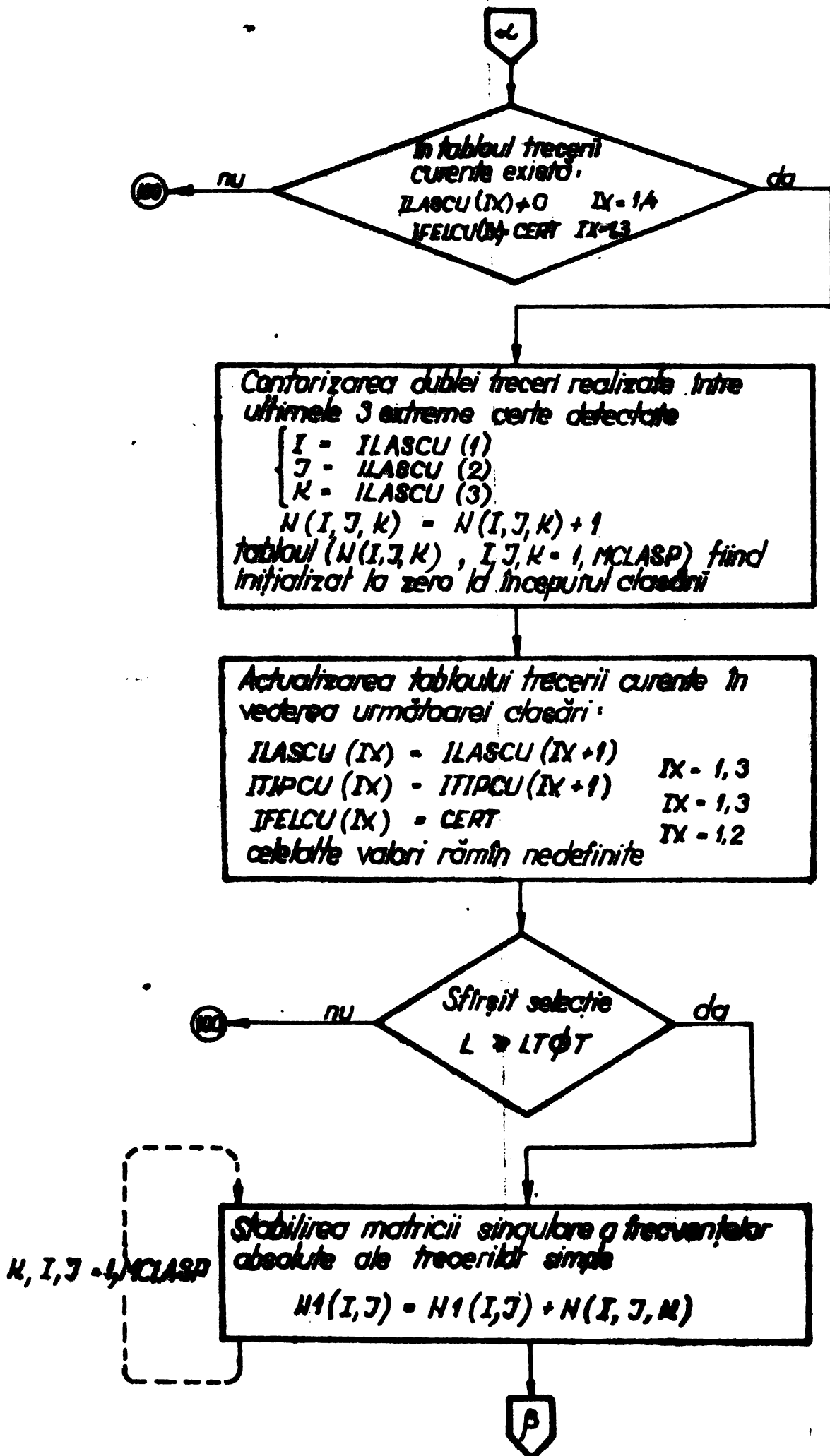
$L = L + 1$

$L = L + 1$
până la depășirea
următorului
extrem cert

Subrutină DECLAS
detectie extreme, caracterizare tip, clasare, stabilirea
felului CERT sau INCERT
inițializarea tabloului frecenți curente (3 subtablouri)

$ILASCU(Ix)$ - clasă încadrată	$1, MCLASP$	} $Ix = 1..4$
$ITPCU(Ix)$ - tipul extremității	MAX, MIN	
$IFELCU(Ix)$ - felul extremității	$CERT, INCERT$	

↓



β

IST - 1, MCLASP

Stabilirea funcției de frecvență a depășirii
nivelelor (pozitive și negative)
 $HNIVP\phi(IST) = HNIVP\phi(0) + N1(I, J)$
 $((I - 1, IST - 1) J - IST, MCLASP)$
 $HNIVNE(IST) = HNIVNE(0) + N1(I, J)$
 $((I - IST + 1, MCLASP) J - 1, IST)$

IST - 1, MCLASP

Stabilirea funcțiilor de frecvență ale extremelor
(pozitive și negative):
 $HMAX(IST) = HMAX(0) + N1(I, J)$
 $((I - 1, IST - 1) J - 2, MCLASP)$
 $HMIN(IST) = HMIN(0) + N1(I, J)$
 $((I - IST + 1, MCLASP) J - 1, MCLASP - 1)$

Calculul momentelor centrate CM1, CM2, CM3
și CM4 și stabilirea tipului celui mai adecvat
al distribuției teoretice pentru ajustare, prin
localizarea în planul transformărilor

$BETA1 = CM3 \cdot \cdot 2 / CM2 \cdot \cdot 3$
 $BETA2 = 9 - CM4 / CM2 \cdot \cdot 2$

da

Incaadrare în
distribuția normală
 $0. < BETA1 < 0.5$
 $5.7 < BETA2 < 6.3$

nu

Parametrii distribuției
normale sunt deja
determinați
M1, M2

Subrutină pentru determinarea
valorilor celor mai probabile
ale parametrilor distribuțiilor
teoretice, după care se ajustează
funcțiile de frecvență
empirice

γ



Extrapolare la extinderea normală
 HOEXT pe baza legii de distribuție
 ajustate, prin determinarea valorilor
 discrete
 $EPS\ EXT(H), H=10^6, 10^5, \dots, 10^0$

Determinarea factorului de neregularitate
 $NO = 0$
 $NO = NO + N1(I, J)$
 $((I - 1, MCLASP/2) J = MCLASP/2 + 1, MCLASP)$
 $NITOT = 0$
 $NATOT = NITOT + N1(I, J)$
 $((I - 1, J - 1) J = 2, MCLASP)$
 $AIR = FLOAT(NO)/NITOT$

Stabilirea colectivelor de solicitare în tensiuni
 nominale de calcul
 $EPSECH(H) = EPSEXT(H)/C\ STARE$
 $SIGECH(H) = E\ YOUNG * EPSECH(H)$
 $SIGMA(H) = SIGECH(H)/ALFAK$
 și determinarea parametrilor fundamentali

Transpunerea tabloului frecvențelor absolute
 de dublurile treceri $N(I, J, K)$ în tabloul pro-
 babilităților cumulate de ordinul II

$PN(I, J, K) = N(I, J, K)/FLOAT(N1(I, J))$

$PN(I, J, K1) = PN(I, J, K) + PN(I, J, K1)$
 $K = 1, MCLASP - 1$
 $K1 = K + 1$ } $I > J$

$PN(I, J, K1) = PN(I, J, K) + PN(I, J, K1)$
 $K = MCLASP, 2$
 $K1 = K - 1$ } $I < J$

$I, J, K = 1, MCLASP$





Extragerea rezultatelor ANALIZEI

- tabloul $(N(I, J, K))$ $I, J, K = 1, MCLASP$ transpus în probabilități cumulate de ordinul II
- colectivele de solicitare ale tensiunii de calcul și parametrii descriptivi
- factorul de neregularitate AIR
- caracteristicile clasării : numărul de clase MCLASP, intervalul de clasă DCLAS

STOP

START

Introducerea datelor inițiale

- tabloul $(N(I, J, K))$ $I, J, K = 1, MCLASP$ transpus în probabilități cumulate de ordinul II
- extinderea selecției generate NSTOT
- condiții inițiale ale sintezei
ICLAS (IS) IS = 1,3
ITIPS (IS)
- caracteristicile clasării : numărul de clase MCLASP, intervalul de clasă DCLAS, factorul de scară a conversiei A/D : FSCARA
- funcția de interpolare între extreme, frecvența procesului generat, pasul divizării

NS = 0

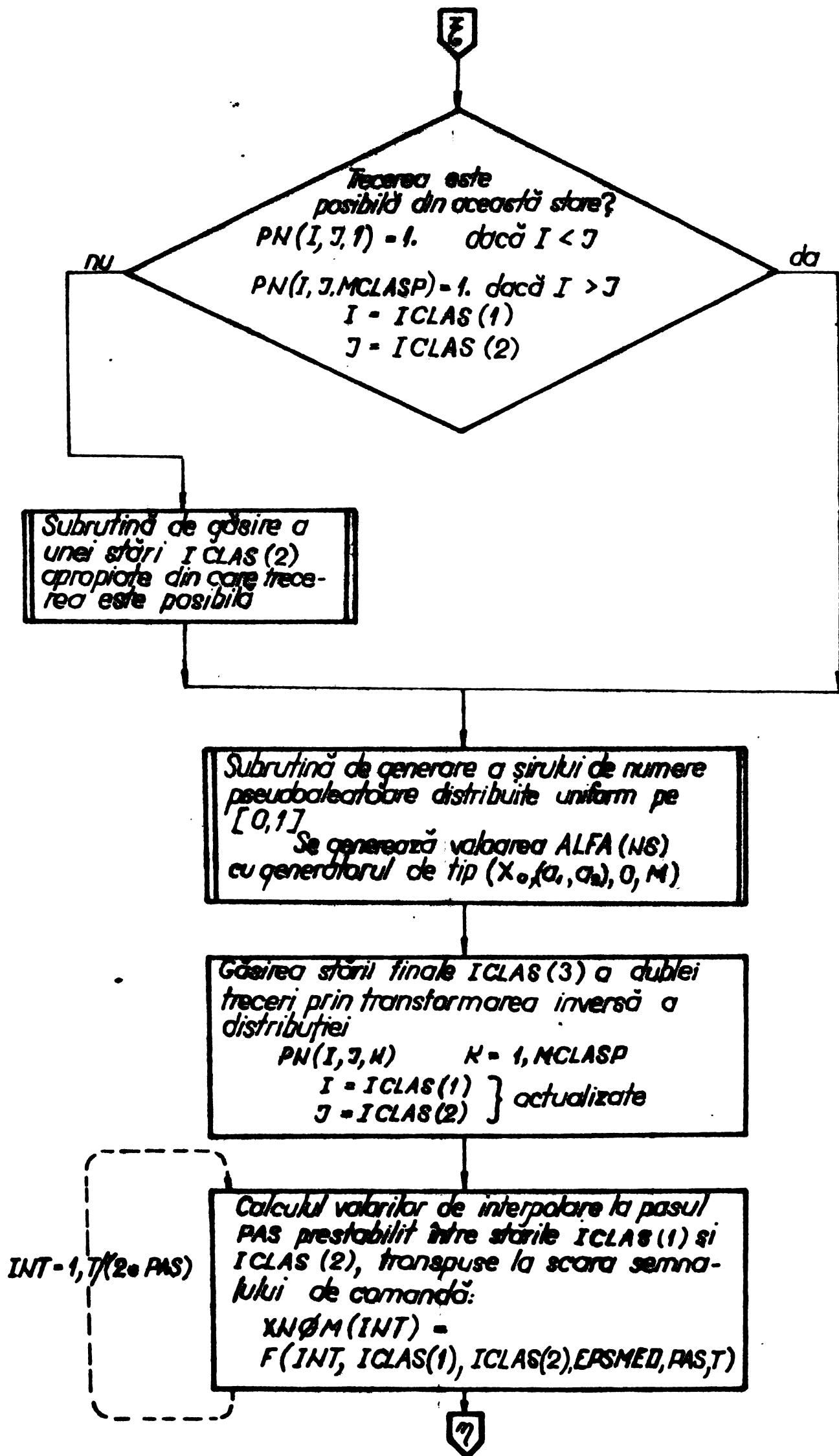


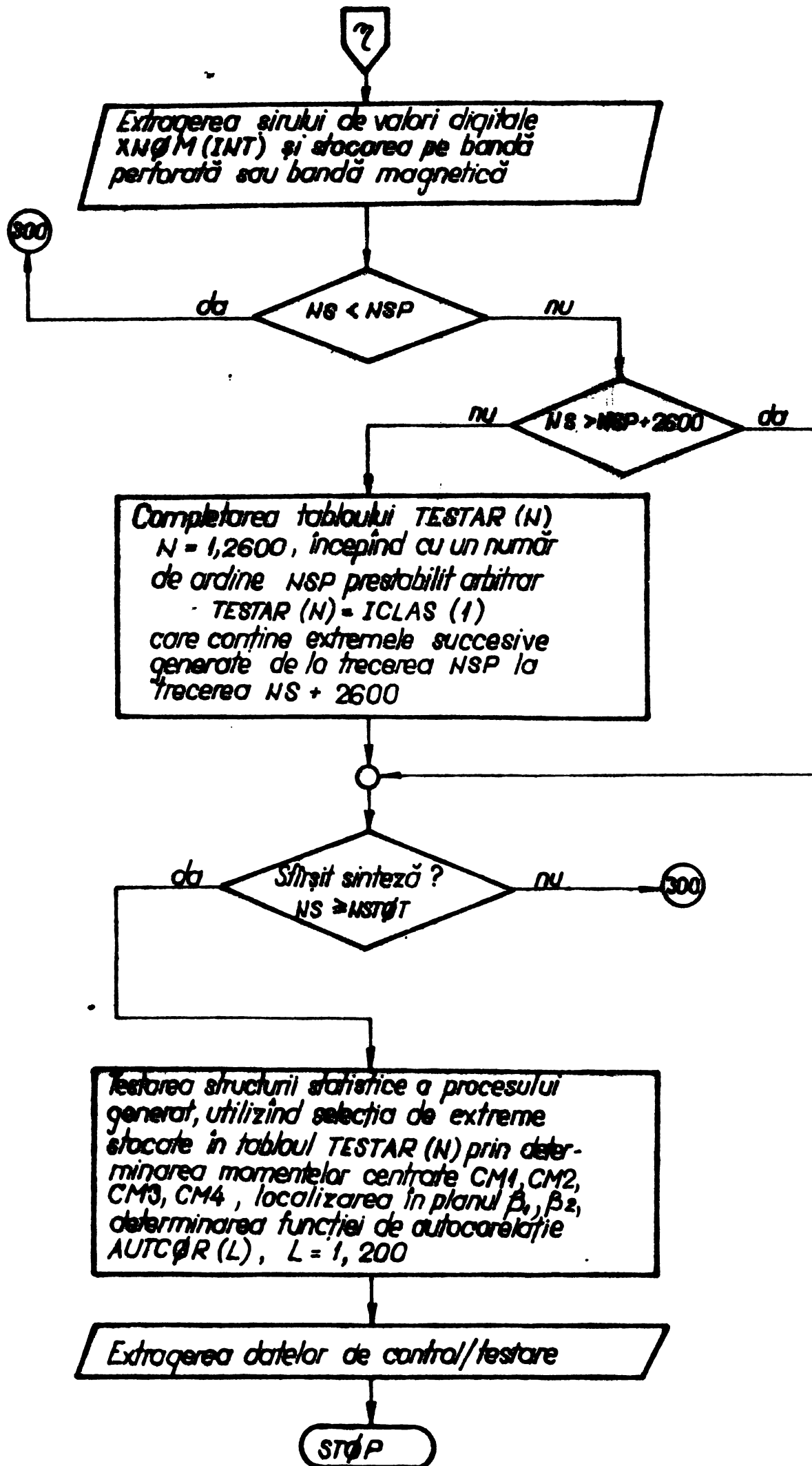
NS = NS + 1

Actualizarea primelor două stări ale următoarei duble treceri

ICLAS (1) = ICLAS (2)
ICLAS (2) = ICLAS (3)
ITIPS (2) = ITIPS (3)







CAP. 5 - VALORIFICAREA REZULTATELOR CERCETĂRII

1. Studiul previzional al fiabilității elementelor oelor mai sollicitate ale boghiului M.D.

1.1. Concluziile calculelor estimative de durabilitate

Rezultatele cercetărilor experimentale, concretizate prin stabilirea structurii statistice a procesului și subsevent a colectivelor de sollicitare, s-au valorificat printr-un studiu previzional - fiabilist al durabilității boghiului M.D. de tip greu de cale ferată. Concluziile acestui studiu au condus la reproiectarea unor detalii esențiale ale construcției sudate a cadrului, pentru optimizarea din punct de vedere a siguranței în exploatare și a eficienței economice.

Intr-o primă etapă s-a efectuat calculul de predicție a durabilității după normativele de calcul cele mai recente -DIN 15018-74 și proiectul STAS 8290 "Instalații de ridicat. Prescripții speciale pentru calculul construcțiilor metalice" - care se bazează pe conceptul colectivului de sollicitare. S-au luat în considerare elementele cele mai sollicitate ale construcției : îmbinarea sudată lonjeron-traversă a cadrului boghiului (spectrul extensometric TER 72) și curbura traversei orapodinei (spectrul extensometric TER 102 R), pentru regimul de exploatare cel mai sever, la $v = 160 \text{ km/h}$ - ANEXA IV.

Acest calcul de predicție relevă o durabilitate insuficientă a îmbinării sudate lonjeron-traversă, în execuția fără raordare, față de cerințele unei eficiențe economice ridicate în exploatare - care impun o durată de exploatare de 30 de ani, la un parcurs total de $3 \cdot 10^6 \text{ km}$ (echivalent cu $N = 10^8$ ocoluri).

Pornind de la acest neajuns, se recurge la o metodă de calcul fiabilistă, care permite evaluarea durabilității în dependență de probabilitatea de defectare P_d , ca măsură cantitativă a fiabilității construcției, întrucât metoda de calcul aplicată conform normelor menționate - bazate pe conceptul coeficientului de siguranță determinist - nu permit aprecierea siguranței în exploatare și nici găsirea unor soluții constructive optimizate.

1.2. Evaluarea probabilității de defectare

1.2.1. Adaptarea specifică a metodei de calcul

Calcululele fiabiliste se bazează pe o interpretare probabilistă a interdependenței dintre solicitare și rezistență ; evaluarea cantitativă a acestei interdependențe reclamă :

- interpretarea probabilistă a structurii procesului de solicitare, redusă la colectivul de amplitudini. Acest colectiv de solicitare este stabilit pentru exploatarea unei construcții singulare, în condiții de funcționare prestabilite. Având în vedere variabilitatea parametrilor dimensionali, constructivi, tehnologici de fabricație și variabilitatea condițiilor de exploatare pentru o clasă întreagă de construcții similare, definirea probabilistă a colectivului de solicitare presupune cunoașterea distribuției valorii maxime a colectivului $P_e(\sigma) = P(\sigma_M \geq \sigma)$, dacă se acceptă invariabilitatea tipului de colectiv, deci a gradului de plenitudine - fig.5.1.

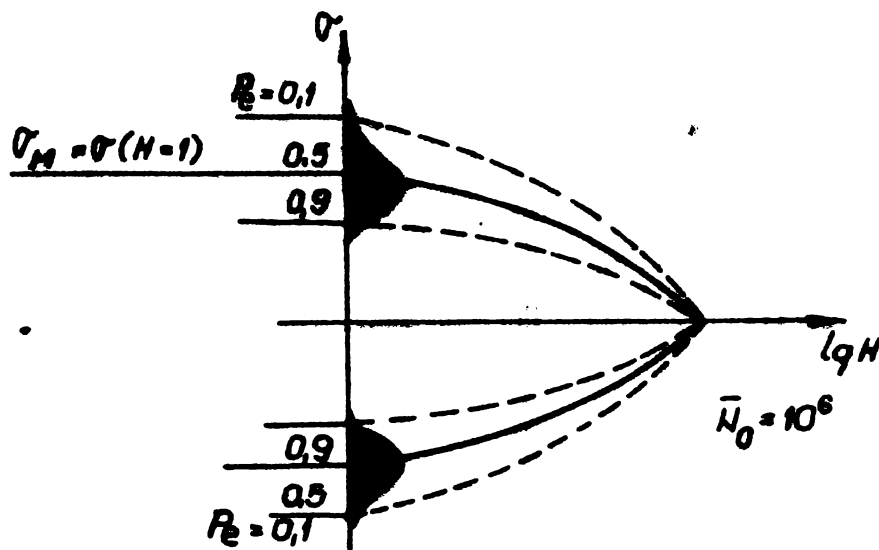


Fig.5.1. - Definierea probabilistă a colectivului de solicitare

- interpretarea probabilistă a rezistenței în exploatare a elementului constructiv pentru tipul de colectiv dat, prin familia curbelor izoprobabile $(R_N - N)$, P_g .

Probabilitatea de defectare P_d se estimează prin integrala de convoluție a distribuțiilor solicitării și rezistenței :

$$P_d = \int_{-\infty}^{\infty} f_{\sigma_M}(x) \left[\int_{-\infty}^x f_{R_N}(x_1) \cdot dx_1 \right] \cdot dx \quad (5.1)$$

care exprimă probabilist condiția de rupere :

$$x_{\sigma_M} - x_{R_N} \geq 0 \quad (5.2.)$$

unde pentru variabila x_{σ_M} , x_{R_N} se adoptă un parametru al intensității sollicitării sau rezistenței : $x_{\sigma_M} = \sigma_M$; $x_{R_N} = R_N$ sau

$x_{\sigma_M} = \lg \sigma_M$; $x_{R_N} = \lg R_N$, iar $f_{\sigma_M}(x)$; $f_{R_N}(x)$

reprezintă funcțiile densității de probabilitate respective - fig.5.2.

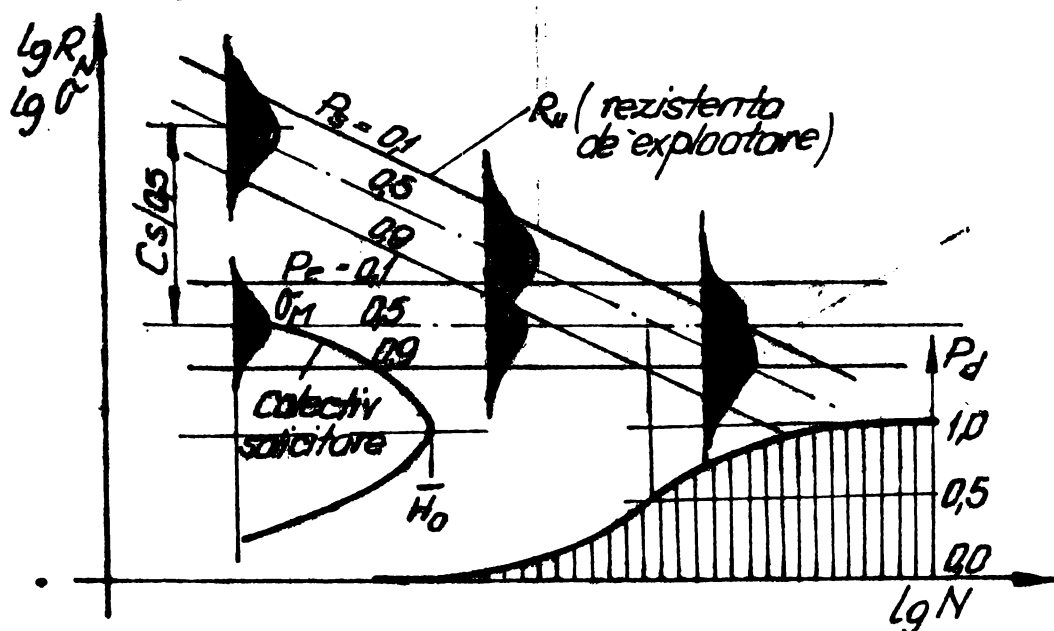


Fig.5.2. - Determinarea probabilității de defectare P_d din convoluția distribuțiilor sollicitării și rezistenței

Pentru a menține probabilitatea de defectare sub valoarea limită admisă, trebuie asigurată o distanță centrală dintre cele două distribuții, dependentă de conjuncția dispersiilor. Definirea unui coeficient de siguranță central $C_{s/0,5}$

$$C_{s/0,5} = \frac{R_N (P_s = 0,5)}{\sigma_M (P_c = 0,5)} \quad (5.3)$$

apare insuficient fundamentată statistic, demarând de fapt într-o diagramă logaritmică distanța dintre cuantilele centrale ale distribuțiilor :

$$\lg C_{s/0,5} = \lg R_N(P_s = 0,5) - \lg \sigma_M(P_e = 0,5) \quad (5.4)$$

În vederea unei corelări mai riguroase cu valorile pertinente ale probabilității de defectare, se definește un coeficient de siguranță de calcul ca raportul dintre cuantila inferioară de 5% a distribuției rezistenței și cuantila superioară de 5% a distribuției solicitării :

$$C_s = \frac{R_N(P_s = 0,995)}{\sigma_M(P_e = 0,95)} \quad (5.5)$$

Estimarea probabilității de defectare din convoluția distribuțiilor rezistenței și solicitării impune, datorită complexității problemelor legate de explicitarea analitică, adoptarea unei metodologii de calcul adecvate, acceptând anumite ipoteze simplificative.

La reprezentarea curbilor rezistenței de exploatare stabilite experimental, se admite încadrarea într-o distribuție logaritmică normală a tensiunilor la un nivel de durabilitate dat, pentru intervalul de probabilități cuprins între $P_s = 0,003...$

$0,997$ - HAIBACH și OLIVER (1975), LIEURADE (1975) ; în afara acestui interval se preconizează în general ajustarea după legi de distribuție de tip extreme.

Datorită dificultăților și preciziei scăzute la ajustarea distribuțiilor poliparametrice, se admite drept bază de calcul extrapolarea distribuției logaritmice normale $P_s = f(\lg R_N)$ în domeniul probabilităților de supraviețuire ridicate, reclamate la estimarea unor probabilități de defectare pertinente pentru siguranța în exploatare. Estimările rezultate sînt afectate de erori reduse și conduc la valori ceva mai ridicate ale probabilității de defectare, acoperitoare însă din punct de vedere previzional - fiabilistic.

Este avantajoasă acceptarea ipotezei unei distribuții logaritmice normale a amplitudinii maxime a colectivului de solicitare, confirmată experimental prin preluorări statistice ale unor spectre ale materialului rulant - BUXBAUM (1968), LANGE (1974). În condiții reglementate de trafic feroviar, abaterea medie pătratică σ_{10M} a acestei distribuții este mică în raport cu aba-

terea medie pătratică a distribuției rezistenței : $d_{x_{OM}} / d_{x_{RN}} \ll 1$.

Cu aceste ipoteze se poate adopta o metodologie simplificată. Integrala de convoluție a probabilității de defectare din rel.(5.1) ia forma propusă de HAIBACH (1969):

$$P_d = \frac{1}{\sqrt{2\pi}} \int_{-\infty}^{\mu_0} e^{-\frac{u^2}{2}} \cdot du \quad (5.6)$$

în care variabila u se obține prin normarea variabilei normale $(x_{RN} - x_{OM})$:

$$\mu = \frac{(x_{RN} - x_{OM}) - (\bar{x}_{RN} - \bar{x}_{OM})}{\sqrt{d_{x_{RN}}^2 + d_{x_{OM}}^2}} \quad (5.7)$$

iar limita de integrare :

$$\mu_0 = - \frac{\bar{x}_{RN} - \bar{x}_{OM}}{\sqrt{d_{x_{RN}}^2 + d_{x_{OM}}^2}}$$

rezultă din condiția de rupere conform rel.(5.2).

Eludînd explicitarea analitică a distribuției solicitării, metodologia admisă în practica estimărilor fiabiliste permite stabilirea unei probabilități de defectare aproximative $P_d^* = (1 - P_s)$ prin intersecția nivelului tensiunii maxime a colectivului de solicitare cu distribuția rezistenței $(R_N - N), P_s$ conform fig-5.3.

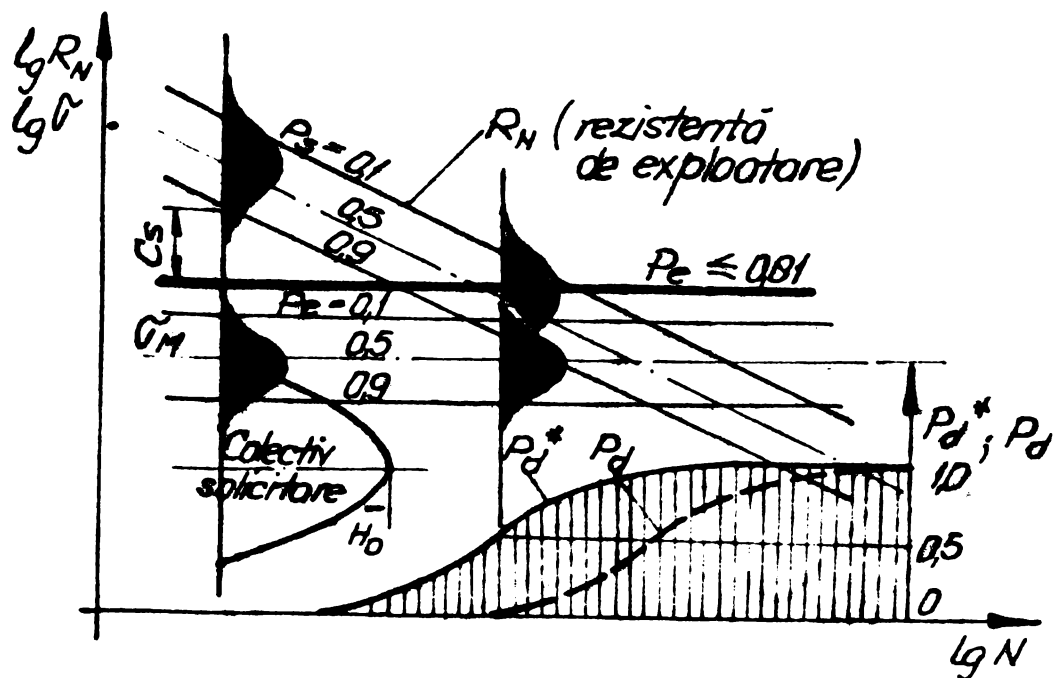


Fig.5.3. - Determinarea probabilității de defectare aproximative P_d^*

Se presupune însă că stabilirea colectivului de solicitare s-a efectuat în condiții severe de exploatare, corespunzătoare unei probabilități de depășire reduse $P_e \leq 0,01$.

Din expresia cuantilei :

$$x(P_e) = \bar{x}_{OM} + z \cdot d_{x_{OM}} \quad (5.8)$$

în care z este valoarea variabilei normale normate aferentă probabilității P_e , se deduce valoarea :

$$\mu_0^* = \frac{-(\bar{x}_{RN} - x(P_e))}{d_{x_{RN}}} = \frac{-(\bar{x}_{RN} - \bar{x}_{OM})}{d_{x_{OM}}} + z \frac{d_{x_{RN}}}{d_{x_{OM}}} \quad (5.9)$$

legată de probabilitatea de defectare aproximativă P_d^* printr-o integrală de tip Laplace, rel.(5.6). Pentru o valoare stabilită $P_d^* = 1 - P_e$ rezultă pe baza acestei integrale o valoare u_0^* , iar din conjuncția relațiilor (5.7) și (5.9) rezultă valoarea limitei de integrare reale :

$$\mu_0 = \frac{1}{\sqrt{1 + (d_{x_{OM}}/d_{x_{RN}})^2}} \cdot \left(\mu_0^* - z \frac{d_{x_{OM}}}{d_{x_{RN}}} \right) \quad (5.10)$$

care determină univoc valoarea probabilității de defectare reale P_d prin intermediul rel.(5.6).

Pe baza rel.(5.6) și (5.10) s-au ridicat diagramele de evaluare a probabilității reale de defectare $P_d = f(P_d^*)$, funcție de valoarea probabilității P_e și a raportului abaterilor medii pătratice $d_{x_{OM}}/d_{x_{RN}}$, fig.5.4.

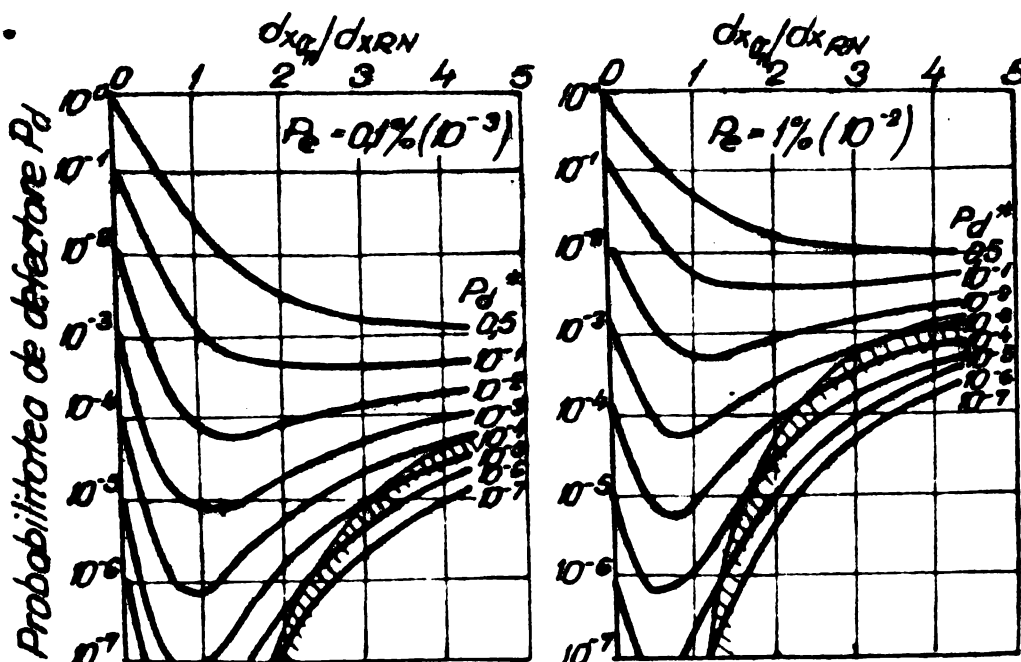


Fig.5.4. - Evaluarea probabilității de defectare reale P_d din valoarea P_d^* - după HAIBACH (1969)

1.2.2. Aplicația metodei de calcul

Evaluarea fiabilist - previzională a durabilității structurii sudate a boghiului impune evaluarea probabilității de defectare P_d atinsă pentru elementele constructive cele mai solicitate, la sfârșitul duratei de serviciu impuse. Siguranța în exploatarea boghiului se apreciază prin confruntarea probabilității de defectare rezultate prin calcul cu valoarea admisibilă pentru acest tip de construcții : $P_d \leq 5 \cdot 10^{-5}$.

Calculul se explicită pentru cazul relevant al îmbinării sudate lonjeron-traversă a cadrului, deoarece calculele preliminare au evidențiat o durabilitate insuficientă, în timp ce în cazul traversei orapodinei a rezultat o durabilitate acoperitoare.

Pentru descrierea analitică a curbelor izoprobabile ale rezistenței în exploatare, pentru tipul îmbinării sudate în T, material OL 37, se utilizează normativul DIN 15018-74; în acest normativ, curbele rezistenței de exploatare sînt diferențiate funcție de gradul de plenitudine al colectivelor de solicitare, durabilitatea impusă și grupele distinse constructiv-tehnologice de concentratori ($K_0 \dots K_4$). Din curbele date, raportate la probabilitatea de supraviețuire $P_s = 0,9$, la un coeficient de siguranță $C = 1,33$, conjugat cu datele experimentale asupra mărimii dispersiei distribuției logaritmice normale acceptate, HAIBACH (1975), se deduc curbele rezistenței de exploatare limită ($C=1,0$) pentru asimetria $r = 0,401$ a colectivului de solicitare, pentru probabilitățile de supraviețuire de $P_s = 0,5; 0,1$, respectiv $P_s = 0,995; 0,9999$ și $0,999999$. Aceste valori au rezultat în urma analizei preliminare a valorilor $P_d^* = 1 - P_s$ pertinente pentru asigurarea, la durabilitatea impusă, a unor probabilități de defectare reale $P_d = 10^{-3} \dots 10^{-8}$.

Deoarece boghiul este proiectat pentru a asigura un parcurs total aproximativ $\sim 3 \cdot 10^6$ km în decursul duratei de serviciu de 30 de ani echivalent cu durabilitatea impusă de $N_1 = 10^8$ cicluri, pentru explicitarea curbelor rezistenței în domeniul megaciclic se acreditează relația :

$$N = \left[N_D \left(\frac{R_N}{R_{ND}} \right)^{-(2k-1)} \right]_{P_s} \quad \text{pt. } N > N_D = 2 \cdot 10^6 \quad (5.11)$$

corespunzător unei modificări de pantă față de curbele în domeniul durabilității limitate :

$$N = \left[N_D (R_N / R_{ND})^{-k} \right]_{P_S} \quad \text{pt. } N \leq N_D = 2 \cdot 10^6 \quad (5.12)$$

La efectuarea calculelor se admite că probabilitatea de depășire a valorii tensiunii maxime a colectivului stabilit experimental este de $P_e = 0,01$, avînd în vedere că testarea s-a efectuat în condiții de exploatare deosebit de severe, confirmat prin atingerea unor coeficienți dinamici ai solicitării de pînă la 40% față de valoarea $\varphi-1 = 25\%$ acceptată pentru exploatarea curentă.

De asemenea, prelucrarea statistică a valorilor amplitudinilor maxime, la parcurgerea repetată a aceluiași traseu-test evidențiază o abatere medie pătratică a distribuției logaritmice normale de $d_{x_{\sigma M}} = 0,05011$.

Conform metodologiei simplificate, pentru raportul abaterilor $d_{x_{\sigma M}} / d_{x_{R_N}} \leq 0,1464$, corecția pentru estimarea probabilităților de defectare este de pînă la 10^{-2} , în concordanță cu condiția $P_d \leq P_d^{\#}$.

În fig. 5.5 se ilustrează modul de evaluare a probabilităților de defectare $P_d^{\#}$ și P_d , stabilite pentru îmbinarea sudată lojeron-traversă (concentrator tip K_4) prin intersectarea cu nivelul de tensiune $\sigma_M = 135,5 \text{ N/mm}^2$ a colectivului de solicitare în tensiuni de calcul, avînd $p = 0$; $r = 0,401$. Datorită inflexiunii la $N_D = 2 \cdot 10^6$ cicluri a curbelor rezistenței în exploatare și a variației dispersiei $d_{x_{\sigma M}}$ funcție de nivelul tensiunii, funcția probabilității de defectare $P_d^{\#}$ respectiv $P_d = f(N)$ se stabilește punct cu punct sub forma unei curbe monoton crescătoare între valorile $[0,1]$, fără să permită o reprezentare analitică omogenă în tot domeniul printr-o funcție de distribuție. Pentru departajarea valorilor în domeniul probabilităților de defectare reduse, operante în evaluarea siguranței în exploatare, s-a adoptat o scară logaritmică. Corelat cu variația $P_d - N$, s-a reprezentat în aceeași diagramă și variația coeficientului de siguranță de calcul $C_s - N$.

Pentru durabilitatea impusă $N = 10^8$ cicluri rezultă că probabilitatea de defectare este de $P_d = 9 \cdot 10^{-4}$, insuficientă față de exigențele siguranței în exploatare.

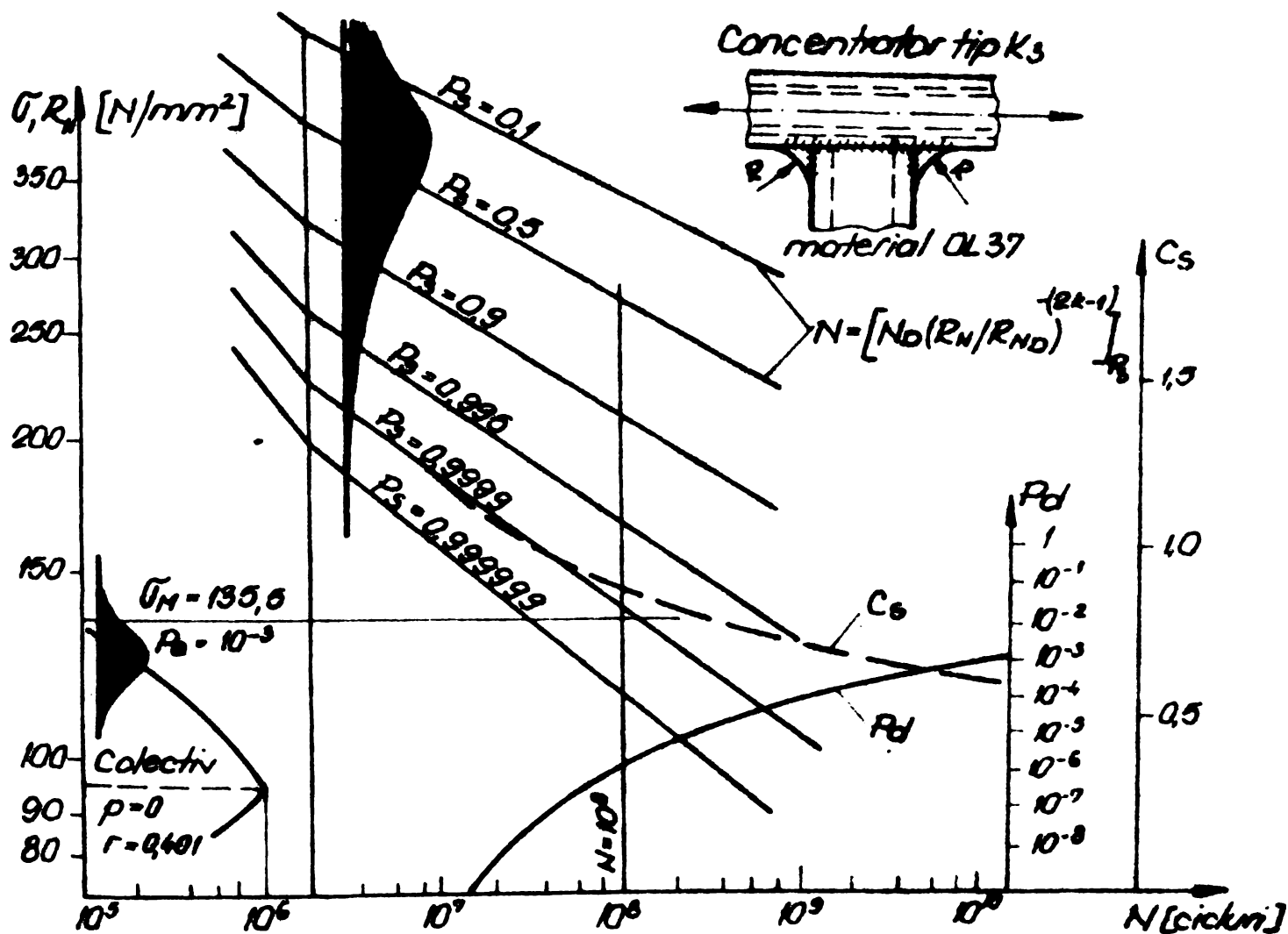
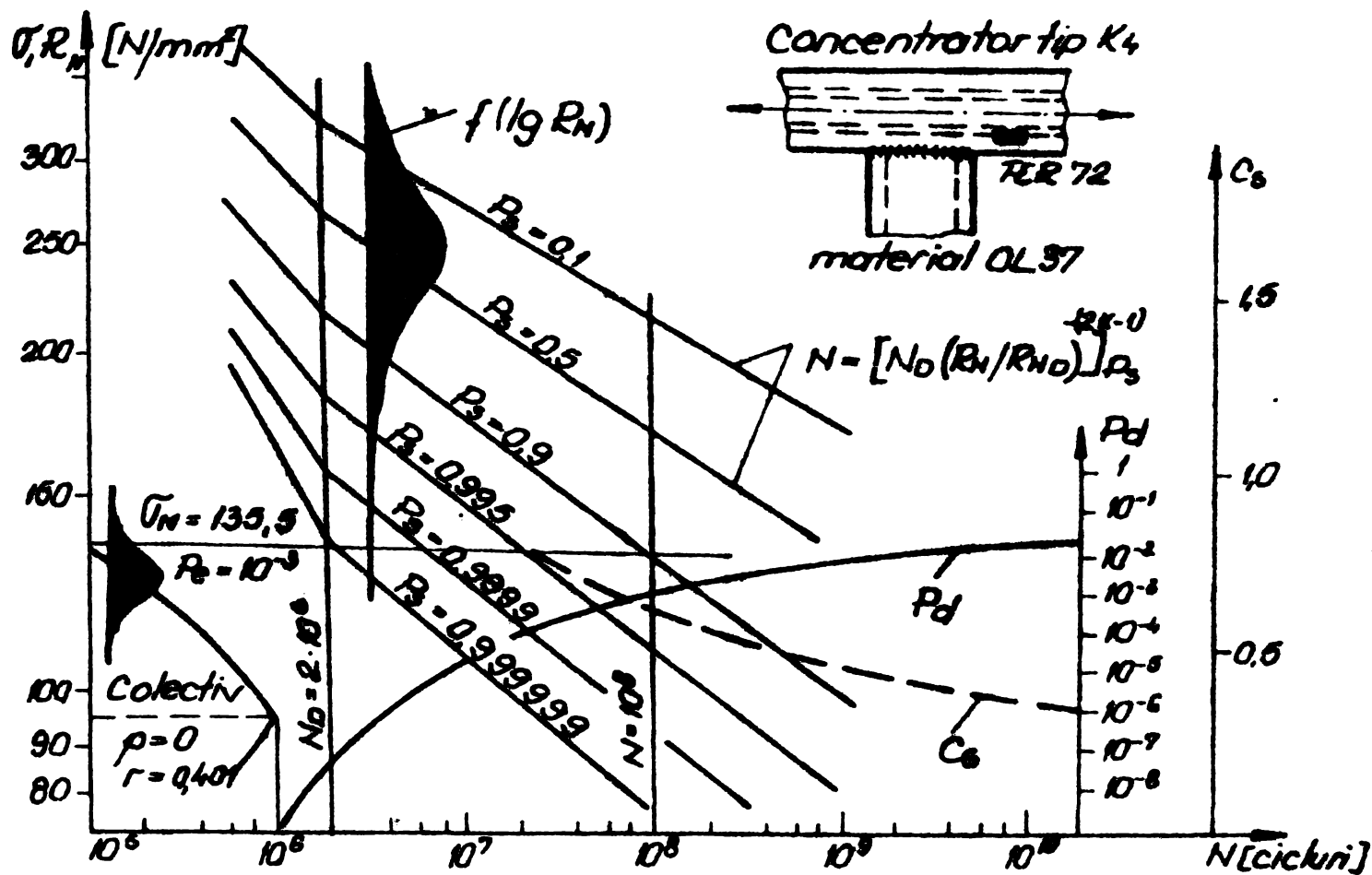


Fig.55. a,b. Convolutia σ, R_N si determinarea probabilitatii de defectare P_d .
 a - solutie constructiva initiala
 b - solutie constructiva imbunatatita

2. Optimizarea soluției constructive a îmbinării sudate a cadrului boghiului. Redimensionarea economică

În baza rezultatelor calculului previzional-fiabilist al durabilității s-a impus re-proiectarea îmbinării sudate, pentru diminuarea tensiunilor la un nivel competitiv unui parcurs normal de $3 \cdot 10^6$ km. În vederea consolidării s-au analizat mai multe soluții, printre care :

- rigidizarea locală a lonjeronului prin aplicarea unor eclise în zona îmbinării cu traversa ; această soluție nu s-a adoptat întrucât conduce, prin creșterea bruscă a rigidității la încovoiere, la o redistribuire nefavorabilă a tensiunilor de-a lungul lonjeronului, cu apariția unor concentrări de tensiuni în alte elemente funcționale importante ;
- atenuarea concentratorului prin sudarea unor colțare de racordare în zona îmbinării sudate în T ; la un cost redus de material și manoperă, se realizează o diminuare pronunțată a concentrării tensiunii în zona îmbinării sudate, fără a modifica distribuția existentă a tensiunilor în construcția cadrului.

Pentru soluția constructivă cu colțare de racordare, încadrată în grupa de concentratori K_3 , calculele evidențiază o comportare mai bună - fig.5.6. Acceptându-se drept premiză că în urma modificării constructive și implicit a redistribuirii tensiunilor locale nu se modifică tipul colectivului de solicitare, rezultă rezistențe de exploatare superioare, și deci probabilități de defectare mai reduse. La durabilitatea impusă $N = 10^8$ cicluri, se asigură o probabilitate de defectare de aproximativ $P_d = 2 \cdot 10^{-6}$, acoperitoare față de valoarea impusă de $P = 5 \cdot 10^{-5}$. Diferența dintre valoarea impusă și cea obținabilă d pentru soluția constructivă îmbunătățită arată că în actuala dimensionare, cadrul boghiului are rezerve de rezistență.

În scopul optimizării tehnico-economice a construcției cadrului boghiului s-au efectuat calculele pornind de la valori impuse ale probabilității de defectare și stabilind nivelele maxime ale tensiunii de calcul, pentru care se obține siguranța în exploatare prestabilită.

La durabilitatea impusă $N = 10^8$ cicluri, s-au prestabilit valorile :

$$P_d^{(1)} = 10^{-3}; \quad P_d^{(2)} = 10^{-6}; \quad P_d^{(3)} = 10^{-8}$$

demarand intervalul aferent unor cerințe minimale respectiv foarte severe privind siguranța circulației. In fig.5.7 sînt redate convoluțiile distribuțiilor și variațiile probabilității de defectare, precum și nivelele maxime ale tensiunilor pentru care, la $N = 10^8$ cicluri, rezultă valorile $P_d^{(1)}$; $P_d^{(2)}$; $P_d^{(3)}$. Ulterior, pentru a se asigura o precizie mai ridicată a interpolării, s-au efectuat calcule și pentru valori intermediare ($P_d = 10^{-4}$; 10^{-5} ; 10^{-7}).

Din diagrama din fig.5.7 se poate stabili corelația dintre tensiunea maximă σ_M a colectivului de solicitare și probabilitatea de defectare garantată la atingerea durabilității impuse $N = 10^8$ cicluri - fig.5.8.a.

Nivelul tensiunii σ_M ca mărime esențială la dimensionare are implicații directe asupra greutății proprii și a consumului de material la realizarea construcției.

Cu datele primare de dimensionare :

- tensiunea de calcul (nominală) în secțiunea aplicării
TER 72 : $\sigma = 95,7 \text{ N/mm}^2$
- aria secțiunii transversale a chesonului :
 $A = 8,576 \cdot 10^3 \text{ mm}^2$
- grosimea și lățimea tălpilor chesonului :
 $g \times b = 15 \times 200 \text{ mm}$
- modulul de rezistență al secțiunii chesonului :
 $W_z = 6,24128 \cdot 10^6 \text{ mm}^3$
- momentul încovietor în secțiunea dată :
 $M_x = 5,973 \cdot 10^7 \text{ N.mm}$

și acceptînd ipoteza că la aceeași configurație geometrică a secțiunii chesonului, la redimensionare se modifică doar grosimea tălpilor, se poate stabili corelația dintre tensiunea maximă a colectivului de solicitare și grosimea necesară a tălpilor - fig.5.8.b, unde s-a reprezentat variația raportată la valoarea inițială g_1 și variația raportată corespunzătoare a greutății proprii a cadrului.

Din considerente tehnico-economice, cheltuielile totale cuprinzînd :

- consumul de material - 1
- cheltuieli de execuție și control de calitate - 2

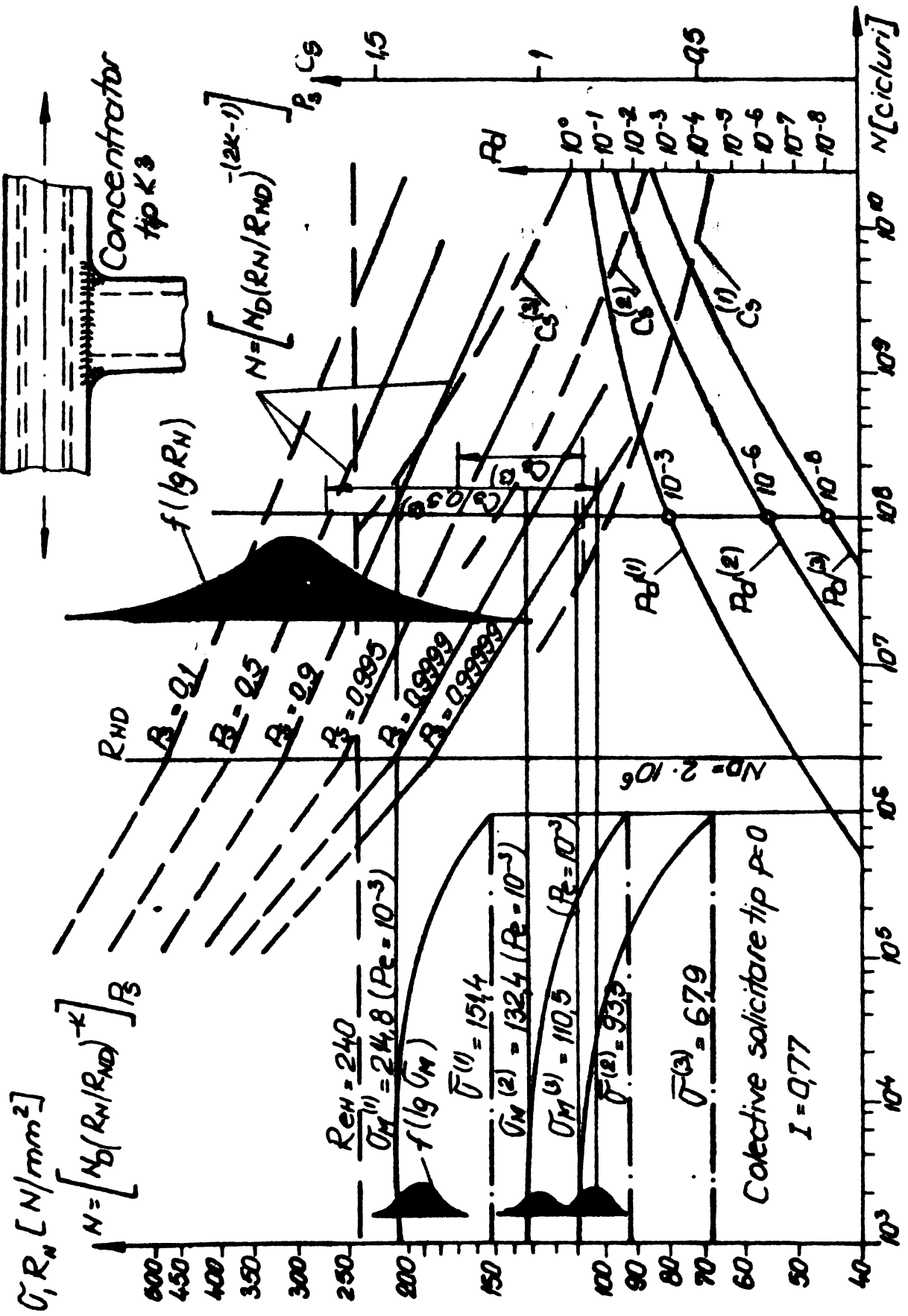


Fig.5.6. Convolutiile rezistență - solicitare pentru valorile impuse $P_D^{(1)} = 10^{-3}$; $P_D^{(2)} = 10^{-6}$; $P_D^{(3)} = 10^{-9}$ la $N = 10^8$

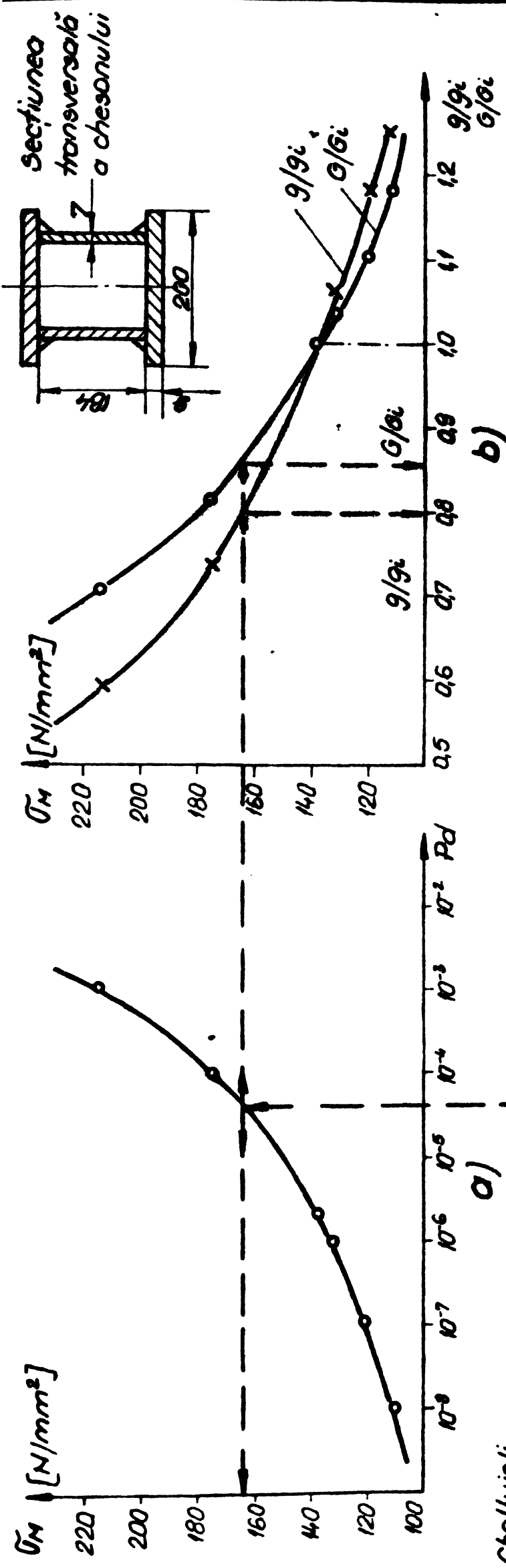


Fig. 5.8. Dimensionarea optimă a cadrului boghiului

a) corelata dntre tensiunea de calcul σ_M și probabilitatea de defectare P_d .

b) variația raportată a grosimii tălpii g și a greutății proprii G a cadrului boghiului funcție de tensiunea de calcul σ_M .

c) variația cheltuielilor de fabricație și exploatare a boghiului funcție de nivelul de siguranță impus.

- obelțuțeli în exploatare ou întreținerea, controlul și remedierile necesare - 3

- obelțuțeli de reparații și daune provocate de eventualele avarii în exploatare - 4

raportate la o durată de exploatare eficientă de 30 de ani, ating un minimum la o probabilitate de defectare impusă la sfârșitul acestei durate, de $P_d = 5 \cdot 10^{-5}$, fig. 5.8.c.- UMBACH și SCHUH(1973)

Pentru optimul eficienței economice a exploatării, rezultă tensiunea maximă a colectivului

$$\sigma_M \approx 165 \text{ N/mm}^2$$

și subsevent dimensiunea optimă a grosimii

$$g/g_1 = 0,800 \implies g = 12,0 \text{ mm}$$

corespunzător unei greutateți raportate de

$$G/G_1 = 0,859$$

Mersul calculelor este indicat sinoptic prin săgeți în fig. 5.8.a,b,c.

3. Eficiența economică a aplicării rezultatelor cercetării

Prin aplicarea rezultatelor cercetării se apreciază că se obțin următoarele efecte economice :

a).- Prin consolidarea boghiurilor M.D. după soluția constructivă propusă, reducându-se astfel probabilitatea de defectare de la valoarea $P_d = 10^{-3}$ la $P_d = 2 \cdot 10^{-6}$, s-au omologat și s-au dat în exploatare boghiurile M.D. ale seriei speciale. Soluția adoptată asigură acoperirea paroursului impus de $3 \cdot 10^6$ km la o siguranță ridicată în exploatare.

Se apreciază că pentru construcția inițială a boghiului, la depășirea probabilității de defectare de $P_d = 10^{-4}$, echivalentă unui parours de aproximativ $0,6 \cdot 10^6$ km ar fi apărut primele defectări în exploatare ; aceste defectări sînt doar parțial detectabile la reviziile periodice, perioada între revizii fiind stabilită corespunzător unor valori mai reduse ale probabilității de defectare. În această situație s-ar fi impus lucrări de remediere și reparații, iar după un nou parours parțial de $0,6 \cdot 10^6$ km setul de boghiuri ar fi trebuit înlocuit.

Cheltuielile suplimentare față de cheltuielile inițiale preconizate pentru acoperirea parcursului impus de $3 \cdot 10^6$ km pentru setul de boghiuri M.D., ar fi :

$$C_{\text{supl}} = n \cdot [P_1 \cdot P_d \cdot (1 - \alpha_r) \cdot C_b + P_2 \cdot (1 - P_d) \cdot C_{\text{rem}} + C_b] \quad (5.13)$$

în care s-a notat :

- $n = 24$ - numărul boghiurilor M.D. din seria investigată
- $P_1 = 0,1$ - probabilitatea ca o defectare totală să nu fie detectată la reviziile periodice
- $P_d = 10^{-4}$ - probabilitatea de defectare la care nu se mai asigură siguranța în exploatare a boghiului
- $\alpha_r = 0,6$ - coeficientul de refolosire a unor subansamble ale boghiului, neafectate de defectare
- $C_b \approx 110.000$ lei - prețul de cost al construcției metalice a unui boghiu M.D.
- $P_2 = 0,3$ - probabilitatea de apariție și nedetectare a unei degradări incipiente cu ocazia reviziilor periodice
- $C_{\text{rem}} \approx 25.000$ lei - cheltuieli de remediere a boghiurilor cu degradări incipiente

Eficiența economică rezultată este :

$$E = C_{\text{supl}} - (C_{\text{ocero}} + n \cdot C_{\text{oons}}) \quad (5.14)$$

în care s-a notat:

- $C_{\text{ocero}} \approx 150.000$ lei - cheltuieli de oceroetare
- $C_{\text{oons}} \approx 2.000$ lei - cheltuieli de consolidare pentru un boghiu (material + manoperă).

Eficiența economică evaluată după relațiile (5.13) și (5.14) este de $\approx 2.820.088$ lei ; în acest calcul nu s-au inclus daunele materiale și morale produse cu ocazia defectărilor în exploatare care pot provoca accidente de circulație.

b),- Prin implementarea noii soluții constructive și a dimensionării economice optimizate în procesul de fabricație a boghiurilor M.D. asimilate după licență, se preconizează realizarea unor efecte economice direct productive. Reducerea greutatei proprii a cadrului cu 13,26% față de construcția inițială, cu menținerea nivelului de siguranță în exploatare la $P_d < 5 \cdot 10^{-5}$

pe tot parcursul impus de $3 \cdot 10^6$ km, conduce la o serie de efecte economice importante, vizind reducerea consumului de metal și reducerea consumului energetic al transportului, la aceeași sarcină utilă transportată.

Evaluate pentru producția medie anuală de 750 boghiuri, efectele economice realizabile pe durata de exploatare sînt :

- economia de material :

89,175 tone oțel OL 37 325.489 lei

- economia la consumul energetic al transportului

6693,75 MW h echivalent ou

2543,6 tone combustibil convențional. 1.740.375 lei

Total economii 2.065.864 lei

Indicatorii de consum energetic, specifici pentru tracțiunea feroviară, sînt dați pentru nivelul anului 1979, și anume:

- consumul energetic specific : $25 \text{ MWh}/10^6 \text{ tf.km}$

- echivalentul în combustibil convențional :

1 t c.c. = 1 MWh / 0,38

- prețul energiei electrice :

1 kWh = 0,26 lei.

SINTEZA PRINCIPALELOR CONTRIBUTII

In cadrul tezei se aduc contribuții atât sub aspect teoretic, cât și sub aspect experimental, la rezolvarea unei problematice încă insuficient elucidate în prezent. În cele ce urmează se sintetizează principalele contribuții.

1. În scopul obținerii unor informații exacte și complete asupra structurii statistice a proceselor de solicitare aleatoare în exploatare, s-a elaborat o metodă de analiză generalizată. Metoda de analiză este fundamentată pe modelul procesului de tip Markov cu un număr finit de stări, cu considerarea probabilităților de trecere de ordinul II. Acest model este capabil să conserve informații esențiale asupra distribuției amplitudinilor și a istoriei procesului de solicitare; astfel metoda de analiză propusă devine general aplicabilă la studiul proceselor de solicitare ovasi-staționare, specifice unei largi game de construcții: vehicule rutiere, feroviare, aeronautice, mașini de ridicat și transportat, utilaje tehnologice grele.

2. În vederea tratării digitale în cadrul analizei s-a elaborat o metodă specifică de clasare digitală, compatibilă cu modelul matematic adoptat; prin clasarea biparametrică dublu-corelată propusă, spectrul extensometric, dat sub forma unei variații temporale analogice, se transpune într-o succesiune de realizări discrete ale unui proces Markov.

3. Pentru a asigura compatibilitatea reprezentării datelor furnizate de analiză cu reprezentarea datelor în calculatorul numeric și cu algoritmul de sinteză, s-a propus organizarea informației rezultate sub forma unor matrici multiple suprapuse, care într-o reprezentare spațială conțin vectorii probabilităților de trecere de ordinul II. Această reprezentare este compatibilă de asemenea cu structura informațiilor utilizate de metodele de analiză cunoscute, care apar drept niște cazuri particulare, simplificate, ale metodei propuse.

4. În contextul general al metodelor de calcul moderne bazate pe statistica procesului de solicitare, s-au sistematizat

cunoștințele și s-a dat o interpretare analitică unitară conceptului de colectiv de sollicitare și a caracteristicilor descriptive ale capacității sale de degradare. S-au dedus algoritmi de stabilire a colectivelor de sollicitare ai principalilor parametri (extreme, depășiri nivele, valori interextreme) din reprezentarea matricilor multiple.

5. Bazat pe modelul matematic al procesului de tip Markov cu considerarea probabilităților de trecere de ordinul II, s-a elaborat o metodă de sinteză a proceselor de sollicitare aleatoare. Pornind de la volumul de informații furnizate de analiză și utilizând în mod specific procedee numerice ale metodei Monte-Carlo, se pot genera succesiuni de valori extreme (minime și maxime) ale unui proces echivalent, constituind mărimea de comandă la testarea experimentală simulativă a fiabilității construcțiilor prin încercări de laborator.

6. În scopul tratării în flux a datelor extensometrice primare pe calculatorul numeric, s-a elaborat o metodologie unitară de prelevare și prelucrare a datelor; s-au stabilit criterii privind precizia măsurării și extinderea selecțiilor extensometrice pentru a asigura o acuratețe cât mai ridicată a rezultatelor. În vederea unei prelucrări mai performante, s-au introdus în flux faze de reducere analogică și digitală, prin care se elimină un mare volum de date inoperante pentru evaluarea durabilității.

7. Prin aplicarea metodei propuse de analiză, în cadrul unor cercetări experimentale în exploatarea materialului rulant, s-a definit în mod univoc structura statistică a procesului de sollicitare a unui boghiu M.D. de tip greu. Colectivele de sollicitare deduse din modelul matematic explicitat constituie o bază reală pentru calculurile moderne de dimensionare și verificare a durabilității, a căror implementare trebuie să se impună și în construcția materialului rulant.

8. Rezultatele cercetării s-au valorificat prin optimizarea constructiv-dimensională a cadrului boghiului, utilizând o metodă de calcul fiabilistă, adaptată în mod specific. În condițiile asigurării unei fiabilități sporite a boghiului, prin soluția optimizată propusă se renunță la rezerve neeconomice de rezistență; în urma reducerii greutatei proprii a boghiului se preconizează realizarea unor importante economii la consumul de material și la consumul energetic la tracțiune.

BIBLIOGRAFIE

1. Aicher, W.: Markov-Analyse und Synthese einer Betriebsbelastung. In: Interner Bericht des ISD Stuttgart, 1973
2. Ambrose, S.A.: Quality assurance in welded fabrication. In: Australian Welding Journal, 22, nr. 2, 1978, p. 20-28
3. Arghiriade, I., L. Soflete: Evaluarea erorilor în determinări extensometrice cu traductoare electrice rezistive. In: Construcția de mașini, 26, nr. 4, 1974, p. 74-81
4. Arghiriade, I.: Analyse dynamique des systèmes mécaniques articulés et des leurs organes de commande en vue d'une conception assistée. Teză de doctorat. Université Paris 6, 1977
5. Argyris, J.H., W. Aicher, H.J. Ertelt: Analyse und Synthese von Betriebsbelastungen. In: ISD-Bericht nr. 193, Stuttgart, 1976
6. Becker, A.: Elektromechanisches Auswertegerät zur zweiparametrischen Auszählung. In: Feinwerktechnik, 56, 1935, p. 259-263
7. Becker, A.: Elektrisches Mehrfach-Schaltzählwerk zur Steuerung von Belastungsprogrammen bei Betriebsfestigkeitsversuchen. In: Feinwerktechnik, 53, 1949, p. 189-193
8. Bendat, J.S., A.G. Piersol: Random data analysis and measurement procedures. John Wiley & Sons, New York, 1971
9. Benoit, D., H.P. Lieurade, M. Truchon: Comportement en fatigue a programme de different types de joints soudés. In: Révue de Metallurgie, 75, nr. 8/9, 1978, p. 513-525
10. Berokers, J.M.: DMS - Mittel für den technischen Fortschritt. In: VDI-Zeitschrift 117, 1975, p. 18-19
11. Bernath, A., V. Safta: Noua metodă de determinare a rezistenței la oboseală prin încălcarea progresivă. In: Studii și cercetări, Tom X, nr. 1-2, 1963
12. Bily, M.: Simulation of random process parameters. Teză de doctorat. Institute of Sound and Vibration Research, University of Southampton, 1968

13. Bily, M., J. Bukoveczky: Digital simulation of processes with respect to fatigue. In: Journal of Sound and Vibration, 49, 1976, p.551-563
14. Bily, M., J. Caoko: Influence of random process parameters on fatigue life. In: Vol. I, 7-th Congress on Material Testing, Budapesta, 1978, p.13-16
15. Boleanțu, L., I. Dobre: Determinarea eforturilor specifice la patru tipuri de biciclete sub acțiunea sarcinilor statice și dinamice. Protocol IPT, 1967
16. Boleanțu, L., Dobre I., N. Neguț, T. Ieremieiu, E. Jung, I. Dumitru: Studiul stării de tensiune din cadrul unui boghiu Y 25 - Cs. In lucrările Conferinței "Construcții, tehnologii și procedee tehnologice noi în domeniul materialului rulant tractat", Arad, 1972, p.44-59
17. Boleanțu, L., A. Cornut, E. Jung: Criteriul Miner la încercarea durabilității cablurilor. In lucrările simpozionului "Metode experimentale în mecanica aplicată", IP-București, 1972, p.199-205
18. Boleanțu, L., I. Dobre, N. Neguț, I. Dumitru, E. Jung: Studiul comparativ în tensiuni a două modele de cadrul al unui cadru de boghiu. In: Buletinul științific și tehnic al IPT, Seria mecanică, Tom 18, fasc.2, 1973, p.123-127
19. Boleanțu, L., I. Dobre: Analiza statistică a spectrelor de solicitări ale mașinilor de ridicat și transportat. In lucrările sesiunii științifice a IPT, Timișoara, 1974
20. Boleanțu, L., I. Dobre: Aplicații ale mecanicii solidului deformabil în construcția de mașini. Ed. Facla, Timișoara, 1978
21. Boleanțu, L.: Efecte economice ale calculelor moderne de rezistență. In lucrările Sesiunii de comunicări științifice a IS Reșița, 1979
22. Buga, M.: Contribuții la determinarea solicitărilor în șasiul boghiului de vagon. Teză de doctorat. București, 1972
23. Buzdugan, Gh.: Calculul de rezistență la solicitări variabile. Ed. tehnică, București, 1955
24. Buzdugan, Gh., L. Fetou, M. Radeș: Probleme actuale ale calculului de oboseală în rezistența materialelor. Sinteză docu-

- mentară, IDT-București, 1972
25. Buzdugan, Gh., M. Blumenfeld: Calculul de rezistență al pieselor de mașini, Ed. tehnică, București, 1979
 26. Cačko, I., M. Bily: Modelling of non-stationary service-loading processes. Referat, Institute of Machine Mechanics, Bratislava, 1978
 27. Caracostea, A., C. Halohini, H. Sălăgeanu: Determinarea experimentală a sarcinilor mobile reale ce solicită podurile de cale ferată. In lucrările Primului Simpozion Național de Tensometrie, Iași, 1977, vol.I, p.117-129
 28. Cioclov, D.D.: Degradarea cumulativă a oțelurilor prin solicitări repetate cu amplitudini variabile. Teză de doctorat, IP-Timișoara, 1971
 29. Cioclov, D.D.: Rezistență și fiabilitate la solicitări variabile. Ed. Facla, Timișoara, 1975
 30. Cioclov, D.D.: Mecanica ruperii materialelor. Ed. Academiei RSR, București, 1977
 31. Crandall, S.H., W.D. Mark: Random vibration in mechanical systems. Academic Press, 1963
 32. Dobre, I.: Contribuții la studiul dinamicii și durabilității structurilor de rezistență ale vehiculelor sollicitate de sarcini aleatoare. Teză de doctorat. IP-Timișoara, 1977
 33. Dolan, T.J., F.E. Richart, C.E. Work: The influence of fluctuations in stress amplitude on the fatigue of metals. ASTM-Report, 1949
 34. Dorsey, J.: Engineering concepts in fatigue-life gage use. In: Micro-Measurements Vishay, AN 127-3, 1978, p.1-14
 35. Edge, P.M., C.E. Ruoker: Acoustical fatigue in aerospace structures. Syracuse University Press, 1965
 36. Eret, J., Spinka: Konstruktive und technologische Lösungen von geschweissten Fahrgestellrahmen an Schienenfahrzeugen. In: ZIS-Mitteilungen, nr.3, 1979, p.42-48
 37. Ermakov, S.M.: Metoda Monte-Carlo și probleme înrudite (traducere din limba rusă). Ed. tehnică, București, 1976
 38. Gassner, E.: Festigkeitsversuche mit wiederholter Beanspruchung im Flugzeugbau. In: Luftwissen, 6, 1939, p.61-64
 39. Gassner, E.: Über bisherige Ergebnisse aus Festigkeitsversuchen im Sinne der Betriebsstatistik. Bericht 106. In:

Luftfahrtforschung, 7, 1939, p.9-14

40. Gassner, E.: Auswirkung betriebsähnlicher Belastungsfolgen auf die Festigkeit von Flugzeugbauteilen. Disertatie, T.H. Darmstadt, 1941
41. Gassner, E., A. Teichmann: Ansatz und Durchführung von Betriebsfestigkeitsversuchen. Bericht D.V.Luftfahrt, 1943
42. Gassner, E.: Some remarks on wing load spectra, program- and flight-tests. In lucrările Conferinței ICAF IV, Zürich, 1956
43. Gassner, E.: Zur experimentellen Lebensdauerermittlung von Konstruktionselementen mit zufallsartigen Beanspruchungen. In: Materialprüfung, 15, nr.6, 1973, p.197-205
44. Gîrlașu, St.: Prelucrarea în timp real a semnalelor fizice. Ed. Scrisul românesc, Craiova, 1978
45. Golle, H.: Berechnungsvorschriften im Maschinenbau und ihre Auswirkungen auf die Materialökonomie. In: IfL-Mitteilungen, nr.2, 1978, p.20-23
46. Gough, H.J.: The fatigue of metals. Ed. Scott-Greenwood, London, 1924
47. Haas, T.: Simulated service life testing. In: The Engineer, nr.11, 1958, p.37-46
48. Haas, T.: Spectrum fatigue tests on typical wing joints. In: Materialprüfung, nr.1, 1960, p.178-183
49. Haas, T.: Loading statistics as a basis of structural and mechanical design. Engineers Digest, mai, 1962
50. Haibaoh, E.: Beurteilung der Zuverlässigkeit schwingbeanspruchter Bauteile. In: Luftfahrttechnik - Raumfahrttechnik, 13, nr.8, 1969, p.188-193
51. Haibaoh, E.: Modifizierte lineare Schadensakkumulationshypothese zur Berücksichtigung des Dauerfestigkeitsabfalls mit fortschreitender Schädigung. LBF - Technische Mitteilung, T.M. Nr.50, 1970
52. Haibaoh, E., H. Köbler: Der Unregelmässigkeitsfaktor für einen stationären Gauss-Prozess. LBF - Technische Mitteilung, T.M. Nr.64, 1972
53. Haibaoh, E., R. Olivier: Remarks on the re-analysis of fatigue data for welded joints in steel by Gurney and Maddox.

Doc. IIS/IIW XV-349-74, Part II

54. Haigh, C.: Journal of the West Scotland Iron and Steel Institute, vol.23
55. Hajdu, I., A. Bernath, T. Herlesou: O mașină de încercare la oboseală sub sarcină progresivă. In: Studii și cercetări, Tom VII, nr.3-4, 1960
56. Halohini, C., H. Sălăgeanu: Studii și cercetări referitoare la comportarea în exploatare a elementelor metalice ale podului peste Dunăre la Cernavodă. Referat ICPTT, 1976
57. Halohini, C.: Considérations concernant le dépouillement des résultats de mesures extensométriques sur des ponts métalliques. DT 58 (D 128), Utrecht, 1976
58. Halohini, C., H. Sălăgeanu: Considérations concernant la détermination expérimentale du coefficient de majoration dynamique des contraintes de fatigue pour les longerons et pièces de ponts métalliques ferroviaires. In: VDI-Berichte Nr.313, 1978, p.833-836
59. Harris, D.O.: A means of assessing the effect of periodic testing and NDE on the reliability of cyclically loaded structures. In: Journal of Pressure Vessel Technology, 100, nr.2, 1978, p.150-157
60. Hänel, B.: Spektraldichte und Kollektiv. In: IfL-Mitteilungen, nr.1-2, 1975, p.42-49
61. Hänel, B.: Betriebsfestigkeitsnachweis auf der Grundlage der Spektraldichte des regellosen Beanspruchungsprozesses. In: IfL-Mitteilungen, nr.7-8, 1976, p.252-260
62. Hoffmann, K.: Über die Ermittlung von Kenngrößen metallischer Dehnungsmess-Streifen. In: Archiv für technisches Messen, nr.2, 1976, p.65-68
63. Jacoby, G.: Neuzeitliche Prüfverfahren und Prüfmaschinen. In: Rheinstahl-Technik, nr.1, 1972, p.20-28
64. Jacoby, G.: Das Problem der Schwingfestigkeit im Kraftfahrzeugbau. SCHENCK-Druckschrift, 1972
65. Jacoby, G.: Arten von Betriebsbeanspruchungen. SCHENCK-Druckschrift, 1973
66. Kowalewski, J.: On the relation between fatigue lives under random loading and under correspondence programme loading. In lucrările "Amsterdam Symposium on Full Scale Fatigue Testing of Aircraft Structures", Pergamon Press, 1960, p.60-78

67. Kowalewski, J.: Beschreibung regelloser Vorgänge. In: FB-VDI-Zeitschrift, Reihe 5, nr.7, 1969
68. Langer, B.F.: Fatigue failure from stress cycles of varying amplitude. In: Transactions of the ASME, nr.4, 1937, p.160-167
69. Mahnenko, V.: Effect of residual stresses on fatigue crack propagation in welded structure components. In: Avtomaticheskaja svarka, nr.4, 1979, p.1-4
70. Malcolm, M.A., W.J. Crichtlow, A.J. McCulloch: An engineering evaluation of methods for the prediction of fatigue life in aircraft structures. Tech. Report ASD-TR 61-434 Lockheed California Company, 1962
71. Mateescu, D., I. Caraba: Asupra aspectelor economice ale elementelor metalice cu secțiune variabilă. In lucrările simpozionului "Probleme și tendințe actuale în construcții metalice", Timișoara, 1976, p.1-5
72. Max, J.: Traitement du signal. Ed. Masson & Cie., Paris, 1972
73. Mercer, C.A., J. Livesey: Analysis of bridge loading histories by statistical counting methods. Report of the Institute of Sound and Vibration Research, University of Southampton, 1972
74. Mihoc, Gh., M. Craiu: Inferență statistică pentru variabile dependente. Ed. Academiei RSR, București, 1972
75. Mocanu, D.R.: Îmbunătățirea calității construcțiilor sudate. In: Revista căilor ferate, 59, nr.2, 1972, p.57-63
76. Mocanu, D.R., colectiv: Analiza experimentală a tensiunilor. (vol. I,II). Ed. tehnică, București, 1977
77. Moore, H.F., J.B. Kammers: The fatigue of metals. Ed. McGraw-Hill, London, 1927
78. Nagy, I.: Betrachtungen über die Messunsicherheit bei der Bestimmung des ebenen Verzerrungszustandes mittels DMS-Rosetten. In: HBM-Messtechnische Briefe, nr.1, 1973, p.1-6
79. Naumann, F., N. Eugene: Fatigue under random programmed methods. NASA TN.D.2629, 1963
80. Nădășan, St.: Mașini de încercări la oboseală. Calculul la solicitări variabile în construcțiile de mașini. In: ASIT 1955, p.31-40

81. Nădășan, St.: Încercări la oboseală la încercări ciclice și combinate asupra oțelurilor pentru osii de vagoane de cale ferată. In: Studii și cercetări, Tom III, 1956, p.12-17
82. Nădășan, St., I. Hajdu: Un aspect nou al rezistenței la oboseală. Influența șocurilor adiționale repetate. In: Studii și cercetări, Tom III, 1956, p.29-41
83. Nădășan, St., I. Hajdu: Influența variației raportului dintre frecvența șocurilor adiționale și a solicitărilor ciclice asupra durabilității oțelurilor. In: Studii și cercetări, Tom V, 1958, p.9-15
84. Nădășan, St., B. Herovitz, A. Bernath, V. Safta: Oboseala metalelor. Ed. tehnică, București, 1962
85. Otto, J., D. Böhme: Einfluss von Fertigungsbeschichtungsporen auf die Schwingfestigkeit querbeanspruchter Kehlnähte. In: Schweißen und Schneiden, 31, nr.3, 1979, p.109-113
86. Paasch, F., F. Pfeiffer: Betriebsfestigkeit. In: Schwingfestigkeit (ed. W. Günther), DVG, Leipzig, 1973
87. Papazoglou, U.I., K. Masubuchi: Analysis and control of distortion in welded aluminium structures. In: Welding Journal, 57, nr.9, 1978, p.256-262
88. Payne, A.O.: Random and programmed load sequence fatigue tests. ARL Report SM244, Melbourne, 1956
89. Pereș, Gh., colectiv: Cercetarea solicitărilor dinamice din transmisia autocamionului ROMAN 8135-F cu ajutorul calculatorului FELIX C-256. In: Construcția de mașini, 29, nr.11, 1977, p.535-540
90. Petresou, N., B. Popesou: Culegerea datelor pentru încercări simulative și stabilirea regimurilor de încălzire. In: Construcția de mașini, 29, nr.6, 1977, p.276-283
91. Poisson, C.: Informatique documentaire appliquée au soudage. In: Soudage et techniques connexes, 33, nr.1-2, 1979, p.65-70
92. Rațiu, M.: Influența rigidității îmbinărilor sudate asupra spectrului solicitărilor. In: Revue roum. sc. techn., Métallurgie, 16, nr.2, 1971, p.201-212
93. Rațiu, M., L. Soflete, C. Halohini: Spectrul de solicitare în exploatarea șasiurilor de boghiuri. In lucrările

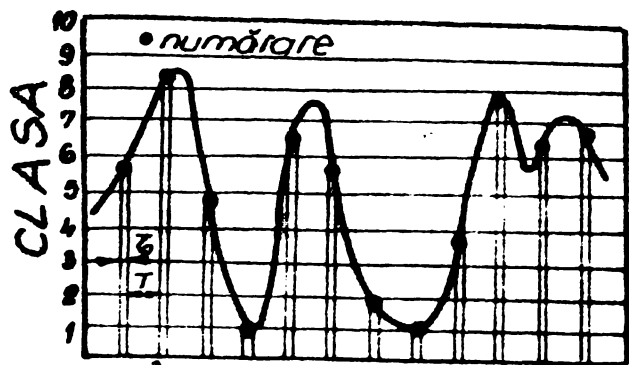
sesiunii științifice a ICPTT, București, 1971

94. Rațiu, M.: Analiza spectrului solicitărilor din sudurile șasiurilor de boghiuri. In: Construcția de mașini, 25, nr.4, 1973, p.231-234
95. Rațiu, M., T. Schulz: Prelucurarea statistică biparametrică a spectrelor extensometrice înregistrate în exploatare. In lucrările Primului Simpozion Național de Tensometrie, Iași, 1977, vol.III, p.475-489
96. Rațiu, M., C. Halphini, T. Schulz: On random fatigue life evaluation of welded railway bogie structures based on experimental stress analysis. In lucrările "7-th Congress on Material Testing", Budapesta, 1978, vol.II, p.649-654
97. Rațiu, M., T. Schulz: Uber Lebensdauer-Betriebszuverlässigkeits-Diagramme für regellos beanspruchte Schweissverbindungen. In: ZIS-Mitteilungen, nr.3, 1979, p.341-350
98. Reinhardt, K.G., E. Zimdahl: Automatisierte Messwerterfassung und Verarbeitung in der Werkstoffprüfung. In: ZIS-Mitteilungen, nr.3, 1979, p.287-296
99. Renert, M., A. Musoan: Probleme de fiabilitate a utilajului tehnologic pentru industria chimică. In: Construcția de mașini, 29, nr.1, 1977, p.1-4
100. Renert, M., colectiv: Studiul zonelor de concentrare a eforturilor unitare ale recipientelor sub presiune, folosind metoda tensometrică. In lucrările Primului Simpozion Național de Tensometrie, Iași, 1977, vol.I, p.57-70
101. Rice, S.O.: Selected papers on noise and stochastic processes. (ed. N. Wax), Dover Publications, 1954
102. Rice, J.A., P.P. Beer, P.C. Paris: On the prediction of some random loading characteristics relevant to fatigue. In: Acoustical fatigue in aerospace structures. Syracuse University Press, 1965
103. Rozanov, Y.: Processus aléatoires.(traducere din limba rusă). Ed. Mir, Moscova, 1975
104. Safta, V., A. Bernath: Contribuții la determinarea rezistenței la oboseală prin încercarea cu încălzire continuă progresivă. In: Studii și cercetări, Tom X, 1963, p.49-56

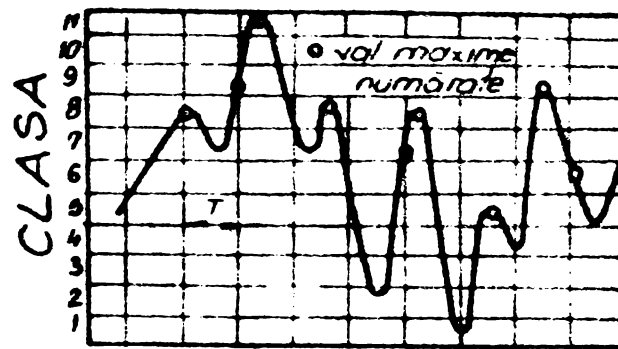
105. Safta, V., M. Rațiu, M. Drăghici, T. Schulz, H. Mateiu:
Realizări pe calea promovării tehnicilor de control
al calității îmbinărilor și structurilor sudate. In
lucrările sesiunii "Săptămîna științei și tehnicii
românești", București, 1978
106. Safta, V., H. Mateiu, N. Farbaș: Fatigue life investigations
on bearing steels. In lucrările "7-th Congress on
material testing", Budapesta, 1978, vol.1, p.297-
302
107. Safta, V., T. Schulz, I. Arghiriade: Über den Einfluss von
Spannungskonzentration und -amplitude auf die Riss-
fortpflanzung in ARMCO-Eisen. In lucrările conferinței
"VII. Konferenz über den Bruch", Magdeburg, 1979
108. Sălăgean, T.: Oțeluri pentru structuri sudate. Ed. Facla,
Timișoara, 1974
109. Schijve, J., F.A. Jacobs: Programme fatigue tests on notched
light alloy specimens of 2024 and 7075 material.
Technical Report, National Luchtvaartlaboratorium,
Amsterdam, 1961
110. Schijve, J.: Fatigue life and crack propagation under random
and programmed load sequences. In: Current Aero-
nautical Fatigue Problems, Pergamon Press, 1965
111. Schulz, T.: Testarea simulativă a structurilor de rezistență.
In lucrările sesiunii de comunicări științifice -
IUG-Brăila, 1978, vol.I, p.93-97
112. Schulz, T.: Evaluarea automată a datelor extensometrice în
domeniului deformațiilor elasto-plastice. In lucră-
rile sesiunii jubiliare a IP-Cluj-Napoca, vol.II
1978
113. Schulz, T.: O nouă metodă de analiză și sinteză a proceselor
de solicitare aleatoare. In lucrările sesiunii de
comunicări tehnico-științifice a IS-Reșița, 1979
114. Schütz, D.: A standardized flight by flight test program for
the fatigue life evaluation of wing components of
transport airplanes. BAE - TR 7318, 1978
115. Schütz, W.: Zum Stand der Betriebsfestigkeitsforschung. In:
ZEV-Glasers Annalen, 98, nr.10, 1974, p.334-338
116. Schütz, W.: Generierung zufallsartiger Belastungsfolgen auf
Grund eines Markov-Prozesses. Interner Bericht der
IABG, Ottobrunn/München, 1978

117. Sherratt, F., B.C. Fisher: Extracting fatigue testing and design data from service loading records. In lucrările "Conference of the Joint British Committee for Stress Analysis", London, 1972, vol.II, p.27-33
118. Sjöström, S.: Fatigue under statistical load spectra and devices for obtaining such spectra in special cases. IIS/IIW Doc. XII-171-58
119. Sjöström, S.: On random load analysis. In: Transactions of the Royal Inst. of Technology, Stockholm, nr.181, 1961
120. Smighelschi, O., A. Woinaroschi: Optimizarea proceselor în industria chimică. Ed. tehnică, București, 1978
121. Taran, T., colectiv: Cercetări experimentale privind oscilațiile de tensiune în osii de locomotivă, utilizând tensometria electrică rezistivă. In lucrările Primului Simpozion Național de Tensometrie, Iași, 1977, vol.I, p.225-233
122. Taylor, J.: Measurement of gust loads in aircraft. In: Journal of Royal Ac. of Sciences, 57, nr.2, 1953, p.68-79
123. Teichmann, A.: Grundsätzliches zum Betriebsfestigkeitsversuch. In: Jahrbuch 1941 der deutschen Luftfahrtforschung, p.467-483
124. Teodorescu, C.C., D.R. Moceanu, M. Buga: Imbinări sudate. Ed. tehnică, București, 1972
125. Thomas, D.R.: Acoustical fatigue in aerospace structures. Syracuse University Press, 1965
126. Thum, A., Bautz W., O. Svenson: Zeitfestigkeit. In: VDI-Zeitschrift nr.81, 1937, p.1407-1412
127. Trapp, U.J., D.M. Forney: Fatigue - an interdisciplinary approach. Syracuse University Press, 1965
128. Troost, A., O. Benning: Auswertung gemessener elastisch-plastischer Dehnungen. In: Konstruktion, 26, nr.4, 1974, p.395-402
129. Ueda, Y., Y. Kuramoto, T. Yac: Effects of initial imperfection due to welding on rigidity and strength of triangular corner brackets. In: Transact. Japan WRI, 6, nr.1 p.39-45
130. Umbach, R., W. Schuh: Statische und dynamische Festigkeitsuntersuchungen an Bauteilen für Schienenfahrzeuge.

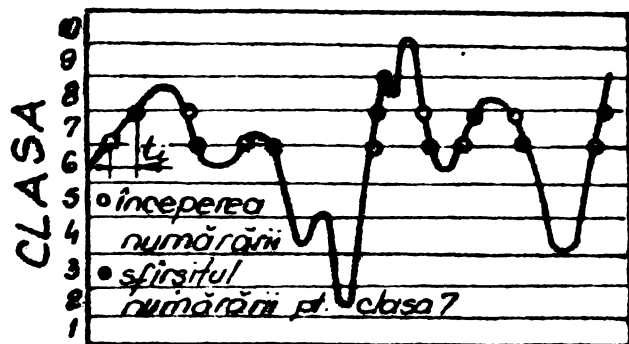
- In: *Rheinstahl-Technik*, 11, nr.1, 1977, p.76-85
131. Văduva, I.: *Modele de simulare ou calculatorul*. Ed. tehnică, București, 1977
132. Verhagen, C.J., J.C. de Does: A special stress analyser for use on board ship. In: *Internat. Shipbuilding Progress*, Rotterdam, 1956
133. Walker, W.G., M.R. Copp: Summary of VGH and VG data obtained from piston-engine transport airplanes from 1947 to 1958. NASA TN D-29, 1959
134. Wallace, C.E.: *Acoustical fatigue in aerospace structures*. Syracuse University Press, 1965
135. Whaley, R.E.: Fatigue investigation of full scale transport airplane wing variable amplitude tests with a gust load spectrum. NACA TN 4050, 1957
136. Wiener, N.: Generalized harmonic analysis. In: *Acta Math.*, 55, 1930, p.117-258
137. Wöhler, A.: Berichte über Versuche im Eisenbahnwesen. In: *Z. Bauwesen*, 8, 1858, 9.641-652
138. Wöhler, A.: Über die Festigkeitsversuche mit Stahl und Eisen. In: *Z. Bauwesen*, 20, 1870, p.73-106
139. xxx : Strain gage selectio criteria procedures recommendation. MM-Vishay TN 132, 1976
140. xxx : k-Faktor und Dauerschwingverhalten von 90° Rosetten. MM-Vishay TN-D01, 1978
141. xxx : Hydropuls-System. Schenck Druckschrift, P 2701/2, 1978
142. xxx : Hydropuls-Prozessrechner-System GA-16/440j3. Programmpaket "Wissenschaft". Schenck Druckschrift P 2062, 1978



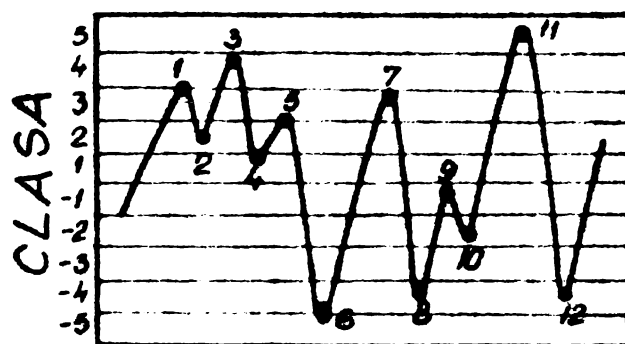
a) valoarea instantanee la perioade T egale



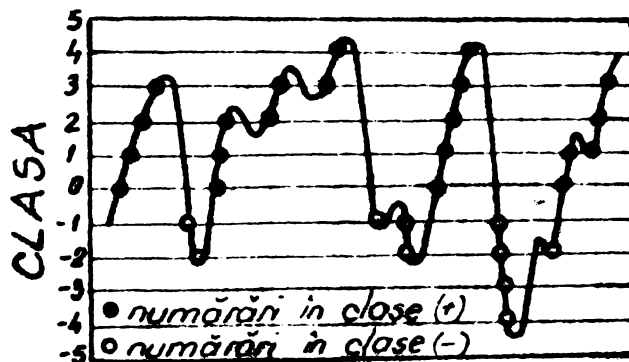
d.) valoarea maximă în perioada T



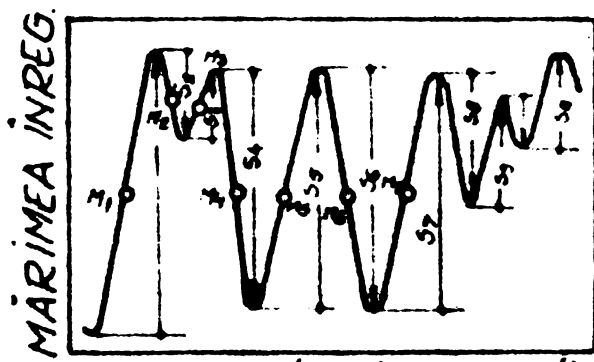
b) timpul de menținere între nivele



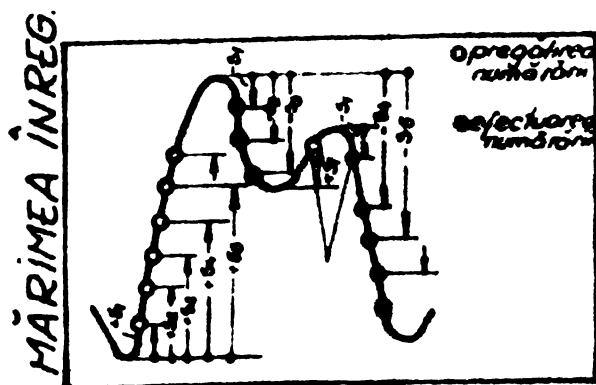
e) extreme (maxime, minime)



c) depășiri nivele



f) perechi de variații interextreme



g) rain-flow (separare amplitudini suprapuse)

ANEXA I. Metode de clasare digitală.

ANEXA II - CONDITII TEHNICE SPECIALE LA URMARIREA SPECTRELOR EXTENSOMETRICE

1. Deformația specifică maximă pînă la care este garantată precizia măsurării depinde de tipul materialului (suport + grilă) TER, tehnologia de aplicare, adezivul utilizat ș.a. În general alegerea tipului TER și a modului de aplicare trebuie făcută funcție de nivelul maxim al deformațiilor specifice care se preconizează a fi măsurate. Din fig.1 rezultă că pentru condițiile de măsurare uzuale (temperatură, presiune, umiditate conform atmosferei ambiante) ou TER standard se pot acoperi măsurări în domeniul deformațiilor elasto-plastice mici ($\epsilon = \epsilon^e + \epsilon^{pl} \leq 2 \cdot 10^{-2}$ m/m).

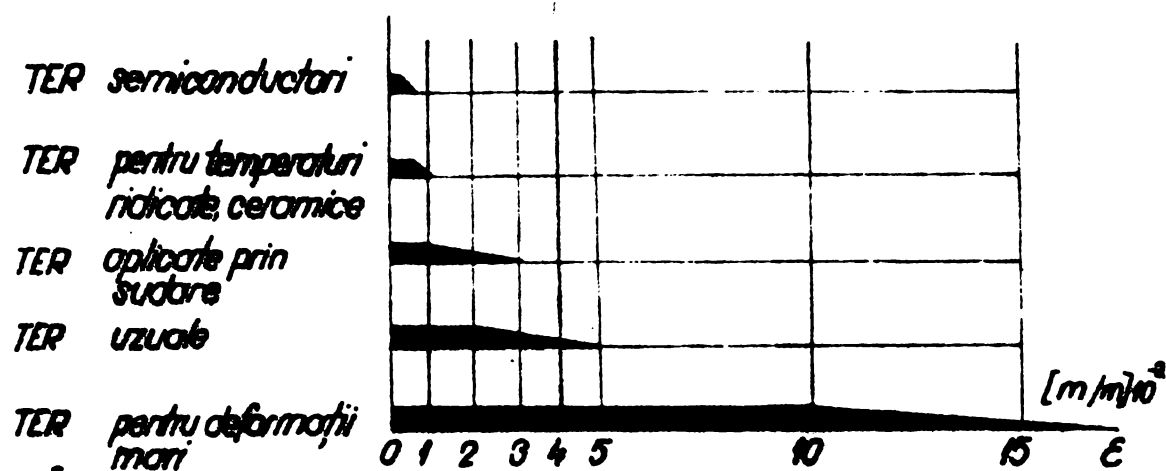


Fig.1 - Domeniul de măsurare a deformației specifice ou diferite tipuri TER - adaptat după HOFFMANN (1976)

2. Comportarea la solicitări ciclice (oboseală) a TER este funcție de tipul constructiv (grilă de sîrmă sau folie decupată fotochimic), materialul grilei și suportului, adezivul utilizat, modul de fixare a conexiunilor. Această caracteristică trebuie analizată din punct de vedere al conservării în timp a acurateții măsurărilor, limitîndu-se efectele de derivă de nul și variație a sensibilității datorită fenomenelor de fluaj și relaxare a cuplului adeziv-suport TER, respectiv datorită fenomenelor de ecruisare și înmuiere ciclică a materialului grilei. La urmărirea

periodică în timp a procesului de solicitare sau la înregistrări continue pe o durată mai lungă (extinderea selecției trebuie să depășească uneori valori de $10^4 \dots 10^5$ cicluri pentru o consistență a prelucrării statistice), este necesară cunoașterea diagramei de oboseală a TER ($\epsilon - N$), având drept criteriu deriva de zero acceptată pe baza considerentelor de precizie a măsurărilor - fig.2.

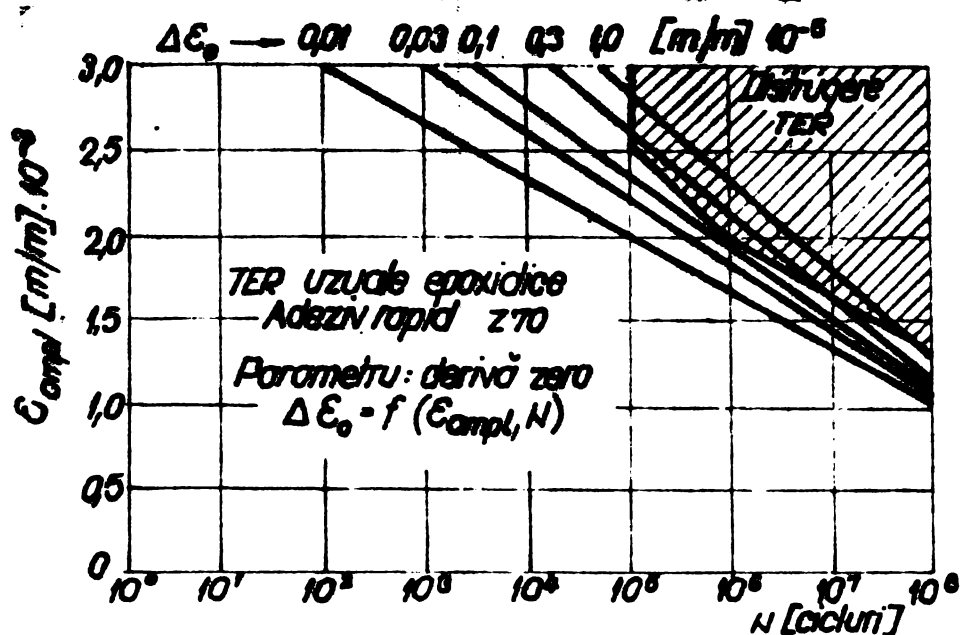


Fig. 2 - Diagrame de oboseală a TER - adaptat după DORSEY (1978)

3. Prevența limită a fenomenelor de vibrații și șocuri mecanice, care pot fi măsurate fără distorsiuni cu ajutorul TER, se apreciază în jur de 100 kHz ; s-au efectuat pînă în prezent măsurări de șocuri cu TER pînă la viteze de creștere a flancului semnalului frecvenței de 500 kHz. Aceste valori limită ale frecvenței măsurabile cu TER sînt mult acoperitoare față de domeniul de frecvențe uzual (0 ... 200 Hz) care este definitiv din punct de vedere a rezistenței la oboseală, pentru procese de solicitare din structurile de rezistență ale construcțiilor de mașini.

Din diagrama din fig.3 se indică domeniul deformațiilor specifice și al frecvențelor limită corelate, acoperit de metoda extensometrică electrică rezistivă . Valoarea limită inferioară a deformațiilor specifice măsurabile apare nu datorită unei sensibilități sau rezoluții necorespunzătoare a metodei, ci datorită unui semnal de ieșire de valoare mică, puternic influențat de

perturbațiile ambientale (temperatură, frecvențe parazite, cîmpuri magnetice etc...) respectiv de modul sollicitării (statio sau dinamic) la care apar surse de erori suplimentare datorită unor fenomene de fluaj/ relaxare respectiv ecruisare/inmuiere ciclică a TER.

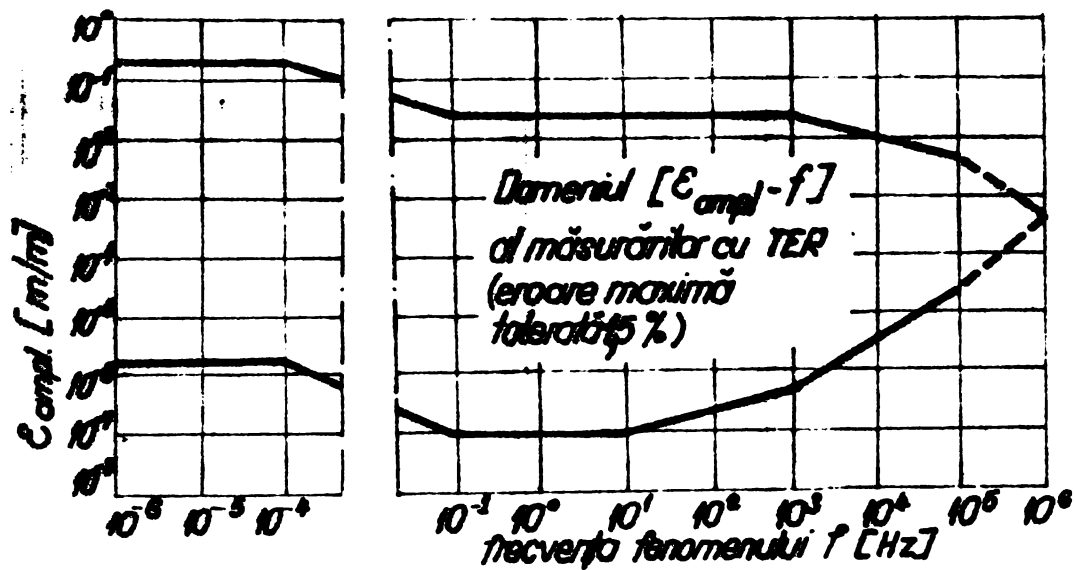


Fig.3 - Domeniul de frecvențe și deformații specifice acoperit prin măsurări extensometrice - adaptat după BERCKERS (1975), DORSEY (1978), MM-VISHAY TN 127-3, TN 128-2, TN 139-2, TN-D01

4. In cîmpuri de deformații specifice ou gradienti puternici care apar în zone ou efecte de concentrare geometrice/ constructive sau datorită modului de aplicare a încălzirilor, dimensiunile bazei de măsurare a TER influențează valoarea măsurată. Această valoare, rezultată ca valoare medie integrată de-a lungul bazei de măsurare, diferă numai atunci de valoarea locală reală - deci depinde de lungimea bazei de măsurare - dacă variația deformației specifice după direcția axei TER se abate de la variația liniară (caz particular : omogenă). In zone ou concentratori , variația deformației specifice poate fi aproximată în general printr-o lege parabolică. Pentru cazul unei astfel de distribuții specifice $\epsilon(x)$ în vecinătatea unui punct de măsurare $x = x_m$:

$$\epsilon(x) = C_0 + C_1(x - x_m) + C_2(x - x_m)^2 \quad (1)$$

Un TER plasat simetric față de punctul $x = x_m$ măsoară o valoare medie integrată :

$$\epsilon_{TER} = \frac{1}{l_g} \int_{x_0}^{x_u} \epsilon(x) \cdot dx \quad (2)$$

intre limitele de integrare :

$$x_0 = x_m - \frac{l_g}{2}$$

$$x_u = x_m + \frac{l_g}{2}$$

Rezultă expresia :

$$\epsilon_{TER} = \epsilon(x_m) + \frac{1}{3} C_2 \left(\frac{l_g}{2}\right)^2 \quad (3)$$

Valoarea locală a deformației specifice, egală ou valoarea măsurată efectiv, apare la o distanță dată față de punctul de măsurare considerat. Din fig. 4 a,b rezultă că această distanță este egală ou $x = x_m = 0,3 l_g$. In fig.5.a este reprezentată variația raportului dintre tensiunea maximă din concentrator σ_{max} și tensiunea σ_{TER} determinată pe baza măsurărilor extensometrice pentru TER amplasate la diferite distanțe de la punctul de racordare a razei concentratorului ($\alpha_k = 1,7$).

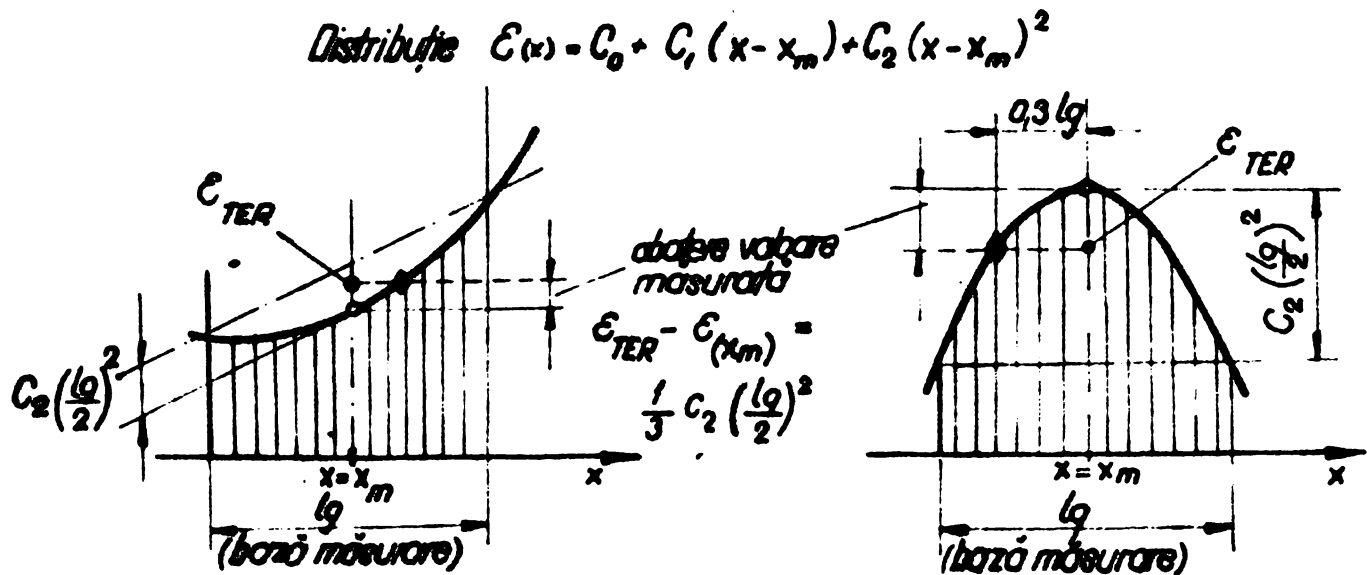


Fig.4 - Măsurarea deformațiilor specifice în zone ou gradienti : a) variația $\epsilon = \epsilon(x)$
 b) abaterea rezultată față de variația liniară

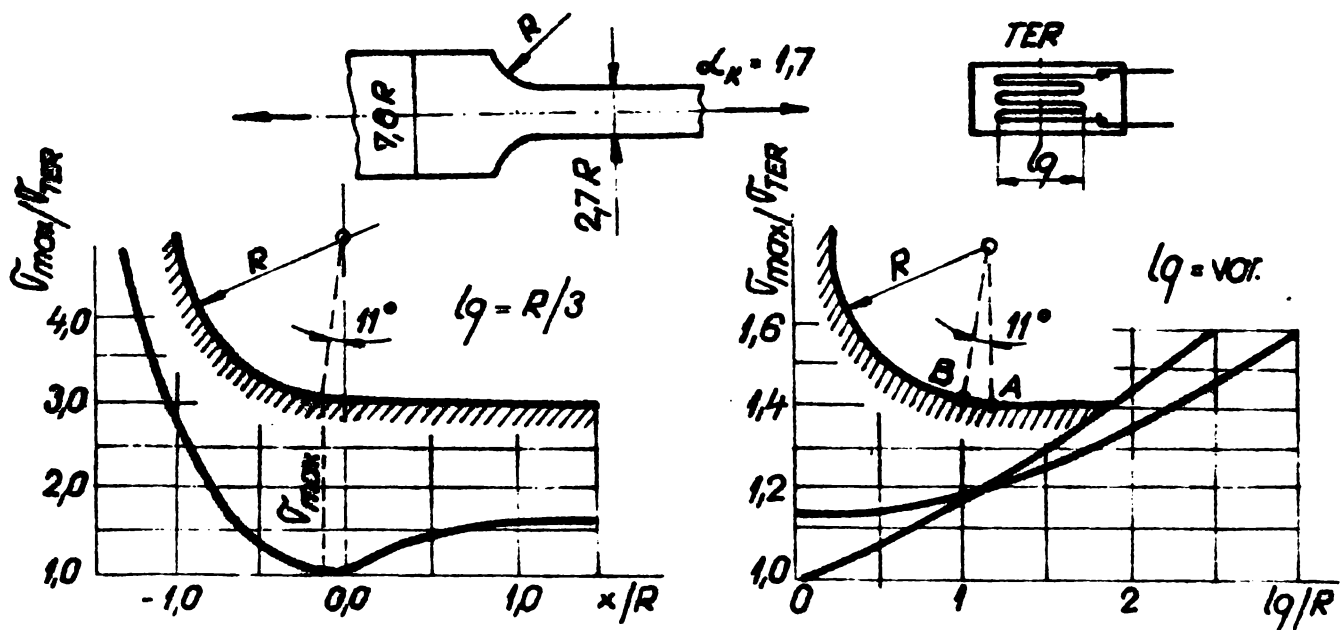


Fig.5 - Eroarea determinării tensiunii într-un concentrator : a) funcție de amplasarea TER
b) funcție de baza de măsurare l_g a TER - după HAIBACH (1968), HOFFMANN (1973)

Pentru o bază de măsurare $l_g = R/3$ constantă, la o distanță $x > R$ de la punctul de racordare, TER măsoară practic tensiunea nominală $\sigma_n = (1/1,7) \cdot \sigma_{max}$. Plasînd un TER în dreptul vîrfului maxim al concentratorului de tensiune, valoarea măsurată are o eroare de -3% față de σ_{max} , datorită integrării mediate de-a lungul bazei de măsurare $l_g = R/3$.

În fig.5 b, este prezentată variația raportului $\sigma_{max} / \sigma_{TER}$ în funcție de lungimea bazei de măsurare, pentru două puncte fixe de măsurare : în punctul de racordare a razei (A) și în dreptul vîrfului maxim al tensiunii (B). În punctul A, pentru o bază de măsurare mică, tensiunea măsurată este de 1,12 ori mai mică decît cea reală.

La $l_g > R$ raportul $\sigma_{max} / \sigma_{TER}$ depășește 1,15 iar tensiunile măsurate în punctul A sînt mai mari decît cele din punctul B, deoarece tensiunea scade pronunțat în zona de trecere datorită efectului de margine.

Erorile de determinare experimentală a maximelor tensiunii în zone cu concentratori nu depășește plaaja de erori uzuale ale metodei extensometrice, cu condiția ca bază de măsurare a TER să nu depășească valoarea $l_g = R/3$.

ANEXA III - LEGI DE DISTRIBUTIE TEORETICE SPECIALE APLICABILE
LA JUSTAREA COLECTIVELOR DE SOLICITARE

Nr. ord.	Tipul distribuției	Funcția densității de probabilitate	Observații
1.	JOHNSON (1)	$p(x) = \frac{\eta}{\sqrt{2\pi} \cdot (x-\epsilon)} \exp \left\{ -\frac{1}{2} \left[\eta + \eta \ln \left(\frac{x-\epsilon}{\lambda} \right) \right]^2 \right\}$	Derivată din prima transformare a variabilei normale normale $z = \eta + \eta \ln \left(\frac{x-\epsilon}{\lambda} \right)$ $\eta, \lambda > 0; -\infty < x < \infty$
2.	JOHNSON (2)	$p(x) = \frac{\eta}{\sqrt{2\pi} (x-\epsilon)(\lambda-x)} \cdot \exp \left\{ -\frac{1}{2} \left[\eta + \eta \ln \left(\frac{x-\epsilon}{\lambda-x} \right) \right]^2 \right\}$	Derivată din a 2-a transformare a variabilei normale normale $z = \eta + \eta \ln \left(\frac{x-\epsilon}{\lambda-x} \right)$
3.	JOHNSON (3)	$p(x) = \frac{\eta}{\sqrt{2\pi} \sqrt{(x-\epsilon)^2 + \lambda^2}} \cdot \exp \left\{ \frac{1}{2} \left[\eta + \eta \ln \left(\frac{x-\epsilon}{\lambda} + \sqrt{\left(\frac{x-\epsilon}{\lambda} \right)^2 + 1} \right) \right]^2 \right\}$	Derivată din a 3-a transformare a variabilei normale normale $z = \eta + \eta \operatorname{arc} \operatorname{sh} \left(\frac{x-\epsilon}{\lambda} \right)$ $\eta, \lambda > 0; -\infty < x < \infty$
4.	WEIBULL	$p(x) = \frac{\alpha}{\lambda} \left(\frac{x-\mu}{\lambda} \right)^{\alpha-1} \cdot e^{-p \left[- \left(\frac{x-\mu}{\lambda} \right)^\alpha \right]}$	$x > \mu, \alpha, \lambda > 0$
5.	GAMMA (3)	$p(x) = \frac{1}{\beta} x \left(\frac{x-\mu}{\beta} \right)^{\alpha-1} e^{-p \left[- \left(\frac{x-\mu}{\beta} \right)^\alpha \right]}$	$\beta > 1, \alpha > \mu, \alpha, \beta > 0$

**ANEXA IV - CALCULUL DE DURABILITATE A ELEMENTELOR
CU SOLICITARI MAXIME ALE BOGHIULUI M.D.
(conform normativului DIN 15018-74)**

In normativul DIN 15018-74 tensiunea admisibilă este dată pentru un coeficient de siguranță $C = 1,33$ față de curba rezistenței de exploatare aferentă probabilității de supraviețuire $P_g = 90\%$, funcție de durabilitatea impusă și plenitudinea colectivului de solicitare. Pentru solicitări pulsante ($r \geq 0$), tensiunile admisibile se determină cu relațiile :

$$\sigma_{ar} = \frac{5/3 \cdot \sigma_{-1}}{1 - \left(1 - \frac{5/3 \cdot \sigma_{-1}}{0,75 \cdot R_m}\right) \cdot r} \quad \text{Traucțiune} \quad (1)$$

$$\sigma_{ar} = \frac{2 \cdot \sigma_{-1}}{1 - \left(1 - \frac{2 \cdot \sigma_{-1}}{0,9 R_m}\right) \cdot r} \quad \text{Compresiune} \quad (2)$$

Tensiunile admisibile trebuie să fie mai mici decât $0,75 R_{eH}$ ($0,75 R_{p0,2}$) pentru orice valoarea a gradului de asimetrie. In cazul unor solicitări accidentale, care datorită frecvenței de apariție reduse (sub 1% din numărul total de cicluri) pot fi neglijate, tensiunea admisibilă σ_{HS} poate fi majorată cu max. 10% față de valoarea σ_{HZ} admisă pentru încercări utile suplimentare.

In tabelul 1 este redată componența statistică a spectrului de solicitare global al materialului rulant, diferențiată funcție de clasificarea solicitărilor după DIN 15018-74 și funcție de caracteristicile oăii de rulare.

In tabelele 2 și 3 sînt prezentate rezultatele analizei solicitărilor maxime (pentru cadrul boghiului respectiv traversa principală), determinate in exploatarea pe traseul test, diferențiate funcție de caracteristicile oăii, pentru regimul de exploatare cel mai sever $v = 160$ km/h.

Pentru durata de exploatare de 30 de ani a unui boghiu corespunzător unui parcurs total impus de $3 \cdot 10^6$ km, rezultă o durabilitate de 10^8 cicluri. Evaluarea durabilității trebuie extinsă in domeniul durabilităților megaciclice, dincolo de durabilitatea $N_D = 2 \cdot 10^6$ considerată in DIN 15018-74 ca semnifi-

oativă pentru rezistența la oboseală, întrucît cercetări experimentale recente au invalidat existența unei astfel de limite - HAIBACH și OLIVER (1974, 1975), LIEURADE (1978). Calcululele se efectuează în paralel în 2 ipoteze :

- extrapolarea liniară pînă la $N = 10^8$ a curbelor echiprobabile $\sigma_a - N$ ($P_g = 0t$) stabilite pentru domeniul $N \leq N_D = 2 \cdot 10^6$ acceptată în normativul BS 153-1972 :

$$N = N_D \left(\sigma_{aN} / \sigma_{aND} \right)^{-k} \quad (3)$$

în care σ_{aND} reprezintă nivelul tensiunii admisibile pentru durabilitatea $N = N_D$, la gradul de asimetrie r dat ;

- modificarea pantei curbelor $\sigma_a - N$ ($P_g = 0t$) în domeniul $N > N_D$, conform metodei LBF (Laboratorium für Betriebsfestigkeit - Darmstadt), bazată pe o ipoteză de cumulare liniară modificată a degradărilor la oboseală :

$$N = N_D \left(\sigma_{aN} / \sigma_{aND} \right)^{-(2k-1)} \quad (4)$$

La interpretarea rezultatelor se prevalează metoda LBF, întrucît extrapolarea liniară apare ca o condiție prea acoperitoare din punct de vedere a dimensionării, iar acceptarea unei rezistențe pentru o durabilitate nelimitată conform DIN 15018-74 este fenomenologic incompatibilă cu efectul cumulativ al degradărilor induse la nivele de tensiuni $\sigma < \sigma_{aND}$.

În cazul traversei crapodinei, zona traductorului TER 102 R se încadrează în grupa de concentratori K_3 după DIN 15018-74, materialul traversei fiind OL 52.3. Durabilitatea acestui element constructiv este determinată de circulația în aliniament și palier, fiind apar tensiuni de pînă la $\sigma = 254 \text{ N/mm}^2$, și depășește $4 \cdot 10^9$ km conform ipotezei LBF - fig.1.

În cazul cadrului boghiului, zona îmbinării sudate lonjeron - traversă se încadrează în grupa de concentratori K_4 după DIN 15018-74, materialul fiind OL 37. Perturbațiile la trecerea peste pasaj, în stație și în abaterea induc tensiuni superioare valorii $\sigma = 167 \text{ N/mm}^2$, definitive pentru circulația în aliniament. Ponderea acestor cicluri de solicitare în spectrul global depășind 1,35%, se iau în considerare la calculul ciclurilor pînă

la 173 N/mm^2 , nivel care acoperă 99% din numărul total de ocluri înregistrate. În aceste condiții, durabilitatea este de aproximativ 200.000 km, insuficientă față de cea impusă de considerente de eficiență economică a exploatării - fig.2.

Pentru studiul posibilităților de consolidare a construcției cadrului prin atenuarea concentratorului, se efectuează calculul de durabilitate pentru cazul îmbinării sudate în execuție cu colțare de racordare, încadrată în grupa de concentratori K_3 .

COMPONENTA STATISTICĂ A SPECTRULUI DE SOLICITARE GLOBAL

Durata de exploatare : 30 ani
 Paroursul total : $3 \cdot 10^6$ km

Tabelul 1

Componenta	Solicitarea cîiolioă		Cicluri de solioitare pt. $3 \cdot 10^6$ km
	Sursa	Frecvența solioitării	
fundamentală	ourbele căii (40% din parours lungime medie ourbă 0,5 km)	0,4 cîioluri/ /km	$1,2 \cdot 10^6$
complementară	abaterile uzuale ale căii, oorelate ou caractéristioile de transfer ale vagonului : ooplîanța și oapacitatea de amortizare	1,5 Hz (33,7 cîiol./km la v = 160 km/h)	$1 \cdot 10^8$
accidentală	perturbațiile căii (2-4 perturbații/km 3-5 cîioluri induse/perturbație)	6-20 cîiol./km	$(1,8-6) \cdot 10^7$

Tabelul 2 a)

Regim exploatare (v = 160 Km/h)	Distributia amplitudinilor			Tensiunea adm. var		Durabilitatea				Virfuri accident. $\sigma > 254$ cicluri
	σ_{max}	r	$\varphi-1$	$N < 2 \cdot 10^6$	$N > 2 \cdot 10^6$	LBF		BS 153		
	N/mm ²	-	%	N/mm ²	N/mm ²	10 ⁶ cic.	10 ⁶ Km	10 ⁶ cic.	10 ⁶ Km	
1 Aliniament	-254	0,60	25	-351	-270	135,0	3960	18,1	531	-
2 Curbă	-254	0,60	25	-351	-270	135,0	2499	18,1	335	-
3 Pasaj	-283	0,44	39	-318	-247	6,0	175	3,6	105	1
4 Trecere statie	-268	0,52	32	-334	-265	20,0	608	7,9	233	1
5 Abotere	-266	0,53	31	-336	-267	24,5	181	7,9	58	4

b)

Tensiunea maxima [N/mm ²]	Număr cicluri	r	Frecventa cum.		Durabilitate (10 ⁶ Km)		Parametri exploatare
			cicluri	%	LBF	BS 153	
< 254	2690	0,60	2690	99,65	3960	531	v = 160 Km/h f = 1,5 Hz H = 2700 cicl.
255 268	8	0,53	2698	99,94	608	233	
269 283	2	0,44	2700	100	175	105	

Tabelul 3 a)

Regim exploatare (v = 160 Km/h)	Distributia amplitudinilor			Tensiunea adm. var		Durabilitatea				Virfuri accident. $\sigma > 167$ cicluri
	σ_{max}	r	$\varphi-1$	$N < 2 \cdot 10^6$	$N > 2 \cdot 10^6$	LBF		BS 153		
	N/mm ²	-	%	N/mm ²	N/mm ²	10 ⁶ cic.	10 ⁶ Km	10 ⁶ cic.	10 ⁶ Km	
1 Aliniament	167	0,68	19	202	167	28,7	0,850	8,0	0,236	-
2 Curbă	167	0,68	19	202	167	28,7	0,531	8,0	0,147	-
3 Pasaj	181	0,54	30	180	142	1,9	0,058	1,9	0,058	1
4 Trecere statie	185	0,52	32	177	139	1,6	0,047	1,6	0,047	18
5 Abotere	185	0,52	32	177	139	1,6	0,012	1,6	0,012	4

b)

Tensiunea maxima [N/mm ²]	Număr cicluri	r	Frecventa cum.		Durabilitate (10 ⁶ Km)		Parametri exploatare
			cicluri	%	LBF	BS 153	
< 167	2663	0,68	2663	98,65	0,850	0,236	v = 160 Km/h f = 1,5 Hz H = 2700 cicl.
168 173	10	0,68	2673	99,00	0,198	0,108	
174 181	21	0,54	2694	99,76	0,058	0,058	
182 185	6	0,52	2700	100	0,047	0,047	

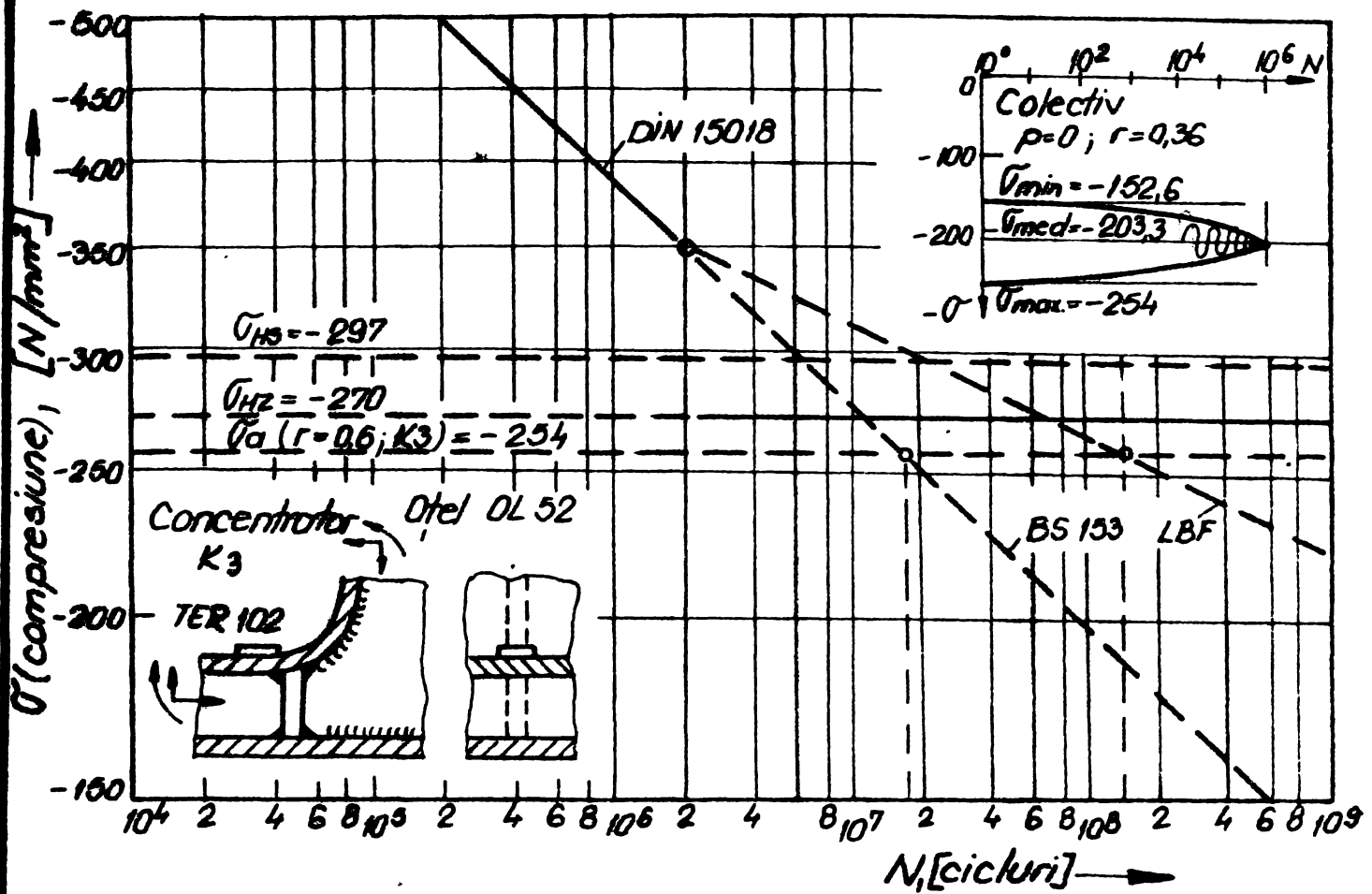


Fig. 1

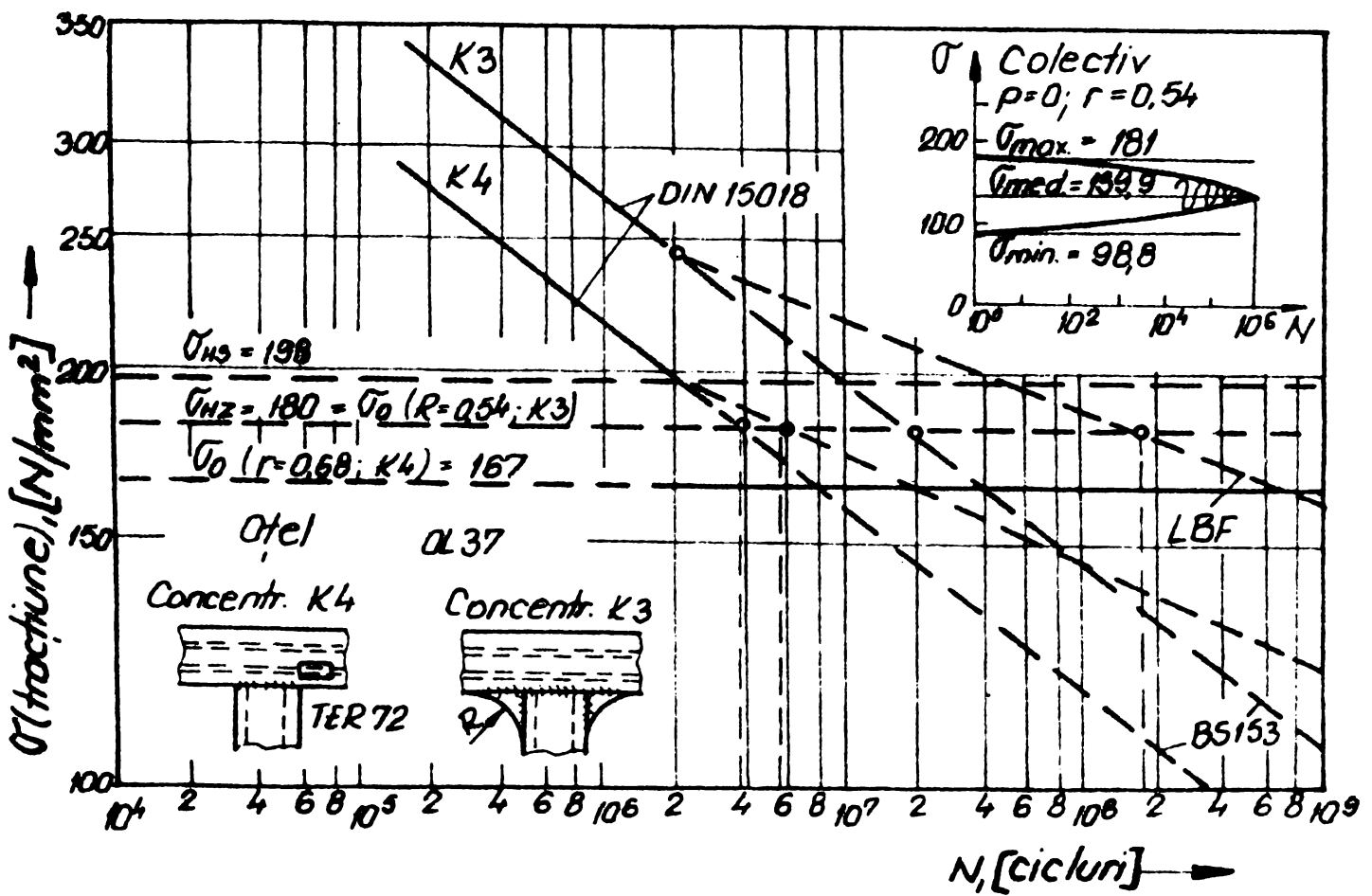


Fig. 2